Grigori Petrovich
GRABOVOÏ

GUIDE PRATIQUE

DE RÉGÉNÉRATION DE L'ORGANISME HUMAIN

PAR LA CONCENTRATION
SUR LES SÉRIES NUMÉRIQUES

LES ÉDITIONS SAINT-GERMAIN-MORYA

1

Grigori Petrovich
GRABOVOÏ

GUIDE PRATIQUE

DE RÉGÉNÉRATION DE L'ORGANISME HUMAIN

PAR LA CONCENTRATION
SUR LES SÉRIES NUMÉRIQUES

Docteur en science physico-mathématique d'origine russe, Grigori Petrovich Grabovoï est également philosophe, maître spirituel et auteur de l'enseignement sur le développement harmonieux et le salut global. Doté d'une capacité de clairvoyance unique, il peut analyser la matière en n'importe quel point de l'espace, en détecter les éventuelles déficiences et la régénérer grâce au pouvoir de sa conscience.

Le docteur Grabovoï, qui reçoit ses informations directement de la Conscience cosmique, a élaboré une méthode infaillible de régénération de l'organisme humain en créant un ensemble de séries numériques basées sur la vibration des chiffres.

Dans ce guide abondamment illustré, où est reproduit la totalité de l'organisme humain, le docteur Grabovoï présente de façon claire et simple comment utiliser les séries numériques associées à chaque partie du corps. Il y décrit aussi la méthode de concentration sur ces séries numériques, qui permet d'atteindre l'état spirituel correspondant à la régénération complète de l'organisme humain, étape à franchir afin de le reconstituer.

L'impulsion spirituelle qui crée la matière dont l'organisme est constitué augmente le potentiel de la régénération. Pour reconstituer cette matière, il est donc nécessaire d'atteindre le niveau spirituel auquel il est possible à l'organisme humain de se régénérer et de recouvrer ses fonctions physiques normales.

LES ÉDITIONS SAINT-GERMAIN-MORYA

2

Grigori Petrovich Grabovoï

GUIDE PRATIQUE

DE RÉGÉNÉRATION
DE L'ORGANISME HUMAIN
PAR LA CONCENTRATION
SUR LES SÉRIES NUMÉRIQUES

LES ÉDITIONS SAINT-GERMAIN-MORYA

Titre
Guide pratique de régénération de l'organisme humain
par la concentration sur les séries numériques

Auteur
Grigori Petrovich Grabovoï

Traduit du russe

Grigori Grabovoï ©
© rpaôoBoh TIL, 2002

Éditions
Les Éditions Saint-Germain-Morya
C. P. 67004, succ. LeMoyne
Saint-Lambert (Québec) J4R 2T8
Canada

Diffusion
www.saint-germain-morya.com
edition@saint-germain-morya.com
direction@saint-germain-morya.com

Tous droits réservés
Les Éditions Saint-Germain-Morya
© Copyright Ottawa 2016

Dépôt légal
Bibliothèque et Archives nationales du Québec
Bibliothèque et Archives Canada
Bibliothèque Nationale de France
1er trimestre 2016

ISBN: 978-2-923568-24-9

1 2 3 4 5 - 16 - 20 19 18 17 16

Imprimé au Canada

Grigori Petrovich GRABOVOÏ

DU MÊME AUTEUR

Déjà parus aux Éditions Saint-Germain-Morya

La résurrection et la vie éternelle
sont désormais notre réalité

Exercices de concentration
et d'expansion de la conscience

La régénération de l'organisme humain
par la concentration sur des nombres

Séries numériques pour une normalisation
psychologique, tomes 1 et 2

Les nombres pour réussir dans les affaires

Hayrukulus

Le système de connaissances unifiées

Les étapes de l'éducation
De la conception jusqu'à l'Éternité

Introduction au pilotage de la réalité

Les Étoiles — Séries numériques pour la vie éternelle

Avis au lecteur

Les techniques contenues dans ce livre sont données à titre de référence seulement et ne doivent pas être utilisées comme avis médical. L'information contenue dans ce document est destinée à vous donner les outils nécessaires pour prendre des décisions éclairées au sujet de votre santé et ainsi vous apporter le style de vie que vous souhaitez. Il ne devrait pas être utilisé comme un substitut à un traitement qui a été prescrit ou recommandé et seul un médecin qualifié peut en décider autrement. L'auteur et l'éditeur de ce livre ne sont pas des professionnels de la santé et déclinent toute responsabilité quant aux effets indésirables éventuels découlant de l'utilisation des présentes informations ou suggestions. Ce livre est offert à titre informatif quant à une question de santé et doit servir pour votre utilisation personnelle seulement. Comme toujours, ne jamais entamer de traitement sans consulter au préalable un professionnel de la santé qualifié. Votre utilisation de ce livre indique que vous acceptez ces termes.

SOMMAIRE

INTRODUCTION.....10

LES CELLULES ET LES TISSUS.....14
Les cellules.....15
Les tissus.....16
Le tissu épithélial.....16
Le tissu conjonctif.....16
Les tissus musculaires.....16
Le tissu nerveux.....17

LES OS.....:.....19
Le squelette.....20
Les os de la tête.....22
Les os du crâne facial.....26
Les os des membres.....31
Les os du membre supérieur.....31
Les os du membre supérieur libre.....32
Les os du membre inférieur.....35
La ceinture du membre inférieur.....35
Le pelvis.....35
Les os de la partie libre du membre inférieur.....36
Les articulations.....38
Les articulations du membre supérieur.....38
Les articulations du membre inférieur.....39
Les ligaments du bassin et de l'articulation coxale.....41

LA COLONNE VERTÉBRALE.....42
La colonne vertébrale.....43
Les vertèbres.....44
Le segment vertébral-moteur.....50

Les muscles et ligaments vertébraux.....51
Les articulations vertébrales.....51
Les syndesmoses de la colonne vertébrale.....51
Les synchondroses de la colonne vertébrale.....51
Les articulations de la colonne vertébrale.....51

LE SYSTÈME DENTOFACIAL.....54
Les os du nez.....55
Les dents.....57
Les organes de la cavité orale..... 67
Les muscles masticateurs
et les muscles de l'expression faciale.....69
Les muscles et les fascias de la tête et du cou.....69
Les muscles masséters (masticateurs).....71
L'articulation temporo-mandibulaire.....71
Les glandes vestibulaires et les glandes buccales.....72

LE SYSTÈME MUSCULAIRE.....73
Le système musculaire.....74
Les muscles et les fascias du tronc.....75
Les muscles et les fascias du dos et de la nuque.....75
Les fascias du dos.....75
Les fascias de la tête.....80
Les muscles du cou..... 81
Les muscles profonds du cou..... 81
Les muscles et les fascias du membre supérieur..... 82
Les muscles du membre inférieur.....84
Les muscles de la partie libre du membre inférieur.....85
Les muscles jambiers.....85
Les muscles pédieux.....85
Les fascias du membre inférieur.....85
Les fascias jambiers.....85
Le bassin commun.....85
Les muscles du bassin.....85

LE SYSTÈME NERVEUX.....85
Le système nerveux central.....86
La moelle épinière.....86
Le cerveau.....89
La moelle allongée.....91
Le pont et le cervelet.....91
Le métencéphale.....91
Le mésencéphale.....92
Le diencéphale.....93
Les ventricules cérébraux.....94
Les méninges cérébrales.....95
Le système nerveux périphérique.....95
Les nerfs crâniens.....95
Les nerfs spinaux.....104
Le système nerveux autonome (végétatif).....107
Le système sympathique.....107
Le système parasympathique.....107
Les aires cytoarchitectoniques du cortex cérébral.....107
Les systèmes d'alarme.....108

LES ORGANES SENSORIELS.....108
L'organe de la vision.....109
Les organes accessoires de l'œil..... ..110
L'organe auditif et l'organe de l'équilibre..... ..111
L'organe gustatif..... ..113
L'organe olfactif.....113
La peau.....113

LES GLANDES À SÉCRÉTION INTERNE.....116
L'hypophyse et l'épiphyse.....117
L'hypophyse.....117
La glande pinéale (épiphyse).....118
Les glandes thyroïde et parathyroïde.....118
La glande thyroïde.....118
Les glandes parathyroïdes.....118
Le thymus.....118
La glande surrénale.....118
La partie endocrine du pancréas.....118
La partie endocrine des gonades.....118
La régulation des glandes à sécrétion interne.....119

LA GLANDE MAMMAIRE.....119

LE SYSTÈME CARDIOVASCULAIRE.....123
Le cœur.....124
La vascularisation et l'innervation du cœur.....125
Les artères et les veines du cœur.....125
Les veines du cœur.....127
Le système cardionecteur.....128
Les artères et les veines de la tête et du cou.....129
Les artères cérébrales.....133
Les vaisseaux de la petite circulation.....137
Les veines pulmonaires.....137
Les vaisseaux de la grande circulation.....137
Les branches de l'arc aortique.....137
Les rameaux de la partie thoracique de l'aorte.....138
Les rameaux de la partie abdominale de l'aorte.....138
Les veines de la grande circulation.....140
Le système de la veine cave supérieure.....140
Le système de la veine cave inférieure.....141
Le système de la veine porte.....141
Les veines des membres inférieurs.....142
Les artères, les veines et les capillaires.....143

LES SYSTÈMES HÉMATOPOÏÉTIQUE ET IMMUNITAIRE.....145
Les systèmes hématopoïétique et immunitaire.....146
Les organes hématopoïétiques et immunitaires centraux.....147
Les organes hématopoïétiques et immunitaires périphériques.....148
Les organes hématopoïétiques.....148
Le système immunitaire unique des muqueuses.....148
Les cellules sanguines.....150
La thrombopoïétine.....150
Les leucocytes.....150
Les agranulocytes.....150
Les granulocytes.....151
Le système lymphatique.....152

LE SYSTÈME RESPIRATOIRE.....155
La cavité laryngée.....156
Le larynx.....157
Les cartilages laryngés.....157
Les muscles laryngés.....157
La cavité nasale.....157
La trachée et les bronches.....157
Les poumons.....158
La plèvre et le médiastin.....158

LES VISCÈRES.....160
Le système digestif.....161
La cavité buccale.....162
Les glandes de la bouche.....162
Le pharynx..... 162
L'œsophage.....162
L'estomac.....162
L'intestin grêle.....163
Le foie, le duodénum, le pancréas.....163
Le gros intestin.....164
L'abdomen et le péritoine.....164

LE SYSTÈME GÉNITO-URINAIRE..... 164
Le rein.....165
Les uretères.....166
La vessie.....166
L'urètre.....166
L'appareil génital masculin.....167
Les organes génitaux féminins.....167
Les organes génitaux féminins internes.....168
Les organes génitaux féminins externes.....169

LES ORGANES.....170

LES SYSTÈMES D'ORGANES.....170

L'ORGANISME HUMAIN COMME UN TOUT UNIQUE.....170

QUI EST GRIGORI PETROVICH GRABOVOÎ.....172

INTRODUCTION

Pour régénérer les tissus, les cellules, les organes ou n'importe quel élément constitutif de l'organisme humain, autrement dit la « matière », grâce à la concentration sur les séries numériques, vous pouvez utiliser les méthodes décrites ci-dessous.

1. Lisez les chiffres de la série numérique correspondant à la matière à régénérer.
2. Prononcez mentalement les chiffres de la série numérique correspondant à la matière à régénérer.
3. Regardez le nom de la matière ou l'image qui la représente et prononcez mentalement les chiffres de la série numérique appropriée.
4. Imaginez que vous vous trouvez au milieu des chiffres de la série numérique associée à la matière à régénérer. Essayez de percevoir clairement dans votre imagination les chiffres parmi lesquels vous vous situez. Il se peut que la lumière de ces chiffres vous atteigne. Vous pouvez effectuer les actions décrites ci-dessus avec tous les chiffres de la série.
5. Imaginez que vous regardez la série numérique d'en haut.
6. Imaginez que la série numérique se trouve dans la partie du corps que vous êtes en train de restaurer. Pour le faire, il faut utiliser les images fournies dans cet ouvrage correspondant à la série numérique que vous êtes en train d'utiliser.

7. Imaginez que la série numérique se trouve entre l'image représentant la matière en question et la partie reflétée de cette image.
8. En comparant les chiffres des séries, vous pouvez déterminer une interaction qui se produit entre différentes matières du corps et qui vous dirige vers la norme. Il est également possible de régénérer la matière grâce à la série numérique associée à une autre matière. Dans ce cas, en vous concentrant sur la série numérique de la matière à reconstituer, vous pouvez utiliser en même temps ou successivement la série numérique associée à un autre élément. Ce faisant, focalisez-vous d'abord sur les chiffres de la série de l'autre élément, qui coïncident avec ceux de la série de la matière que vous êtes en train de régénérer. Puis, utilisez la série numérique complète de l'autre élément. Imaginez qu'un rayon de lumière provient de cette série numérique et traverse celle de la matière que vous voulez régénérer ou bien la matière même. En percevant l'effet régénérateur immédiat, vous pouvez détecter le point ou la zone dans le corps, qui se trouve directement derrière la matière régénérée. C'est à travers ce point ou la zone que la matière est régénérée. Ce champ va se trouver dans l'autre matière dont vous utilisez la série numérique pour régénérer la matière choisie. Il peut y avoir plusieurs points ou zones à travers lesquels il est possible de créer la matière. Le premier point ou la première zone de la création de la matière en question se trouve dans la matière même.

   Si vous détectez les points et les zones de la création de la matière à reconstituer par les séries numériques, vous serez capable de régénérer la matière en vous concentrant sur ces points et ces zones. Ce faisant, vous devez également établir l'état spirituel correspondant à la régénération et à la norme de la matière choisie. En vous souvenant de cet état spirituel, vous pouvez régénérer la matière au moyen de l'esprit vivifiant. Appliquez cette action spirituelle à toute la matière du corps en tenant compte des événements extérieurs pour obtenir l'état spirituel correspondant au développement éternel. Dans certains cas, différentes séries numériques peuvent correspondre à la matière à régénérer en fonction de l'angle de votre perception.
9. Pour accélérer la régénération de la matière constitutive du corps humain, vous pouvez percevoir les espaces dans les séries numériques comme les espaces entre les mots dans une phrase. Ainsi, un mot se trouve derrière chaque composante numérique de la série. La composante est divisée par un espace, et le mot équivaut au fonctionnement normal de la matière respective. En percevant ce mot, vous pouvez également distinguer le niveau qui crée la matière associée à la série numérique et la matière correspondant au corps entier. La lumière qui crée la matière associée à une série numérique se répand selon les lois de l'optique sur toute la matière du corps humain et sur le milieu environnant. De ce fait, on peut comprendre pourquoi on a l'impression que certaines sensations et émotions proviennent de l'extérieur. Cela vous aide à déterminer plus exactement s'il faut piloter les événements en vous basant sur l'interaction des tissus du corps ou sur l'interaction de la matière constitutive de l'organisme humain et du milieu ambiant. Cette méthode vous permet de piloter les événements plus efficacement et de les faire évoluer jusqu'à l'état normal de la matière, indépendamment de toutes les circonstances.

   Par conséquent, vous percevez en même temps la matière constitutive de l'organisme humain et les événements l'entourant

comme si vous les regardiez avec votre vision physique. Ainsi, vous avez la possibilité de savoir de quelle façon il faut agir en fonction de la situation pour assurer le développement éternel. Vous pouvez entreprendre des actions physiques ou spirituelles, selon le cas, pour normaliser les événements en vue de la vie éternelle. La perception qui se produit de cette manière fait évoluer votre esprit et votre corps physique jusqu'au niveau permettant de créer la matière du corps humain par l'esprit. Les chiffres vous donnent la possibilité d'atteindre l'état spirituel correspondant à la norme de la matière du corps humain. Pour renforcer le pilotage, vous pouvez utiliser les lois de la physique bien connues et ancrées dans la conscience collective. Il s'agit de loi sur la dualité onde particule de la matière selon laquelle un objet peut montrer aussi bien les propriétés ondulatoires que les propriétés de la particule de la matière. En vous focalisant sur les séries numériques et en créant ainsi les ondes lumineuses selon la norme de la matière de l'organisme humain, vous créez la matière pour un fonctionnement normal.

Vous pouvez utiliser toutes les méthodes de la régénération de l'organisme humain présentées dans cet ouvrage pour prévenir et guérir les maladies, rajeunir les humains, reconstituer la matière indépendamment des données initiales servant de base pour la régénération. Si vous recourez aux méthodes 1 à 9 décrites ci-dessus, vous pouvez prendre en compte les choses suivantes :

1. En cas d'utilisation des séries numériques pour prévenir une maladie, il est nécessaire d'étendre votre action à l'avenir.
2. Si vous travaillez sur le rajeunissement, vous devez d'abord vous focaliser sur les séries numériques tout en tenant compte du développement éternel. Ensuite, concentrez-vous sur la matière que vous êtes en train de rajeunir.
3. Si vous pratiquez la régénération de la matière du corps humain, vous pouvez vous concentrer sur les séries numériques en utilisant les différentes méthodes décrites dans ce livre. Ce faisant, vous pouvez utiliser aussi bien les séries numériques associées à la matière à régénérer que celles correspondant à la zone où se trouve cette matière.
4. Si vous souhaitez régénérer la matière après la mort biologique de la personne, focalisez-vous d'abord sur les chiffres de gauche à droite, puis de droite à gauche.

L'impulsion spirituelle qui crée la matière du corps humain permet d'élargir les méthodes de sa régénération. Lorsque vous reconstituez la matière de l'organisme humain, vous devez concevoir le niveau spirituel jusqu'à ce que vous atteigniez l'état où la matière de l'organisme humain se crée et induit un fonctionnement sur la base des principes biologiques et événementiels, mais également grâce à l'action spirituelle. Un tel état spirituel doit assurer la régénération complète de l'organisme humain indépendamment des données initiales ou de circonstances quelconques.

LES CELLULES ET LES TISSUS

829 379 429 841

Image 2. **La structure ultra-microscopique de la cellule**

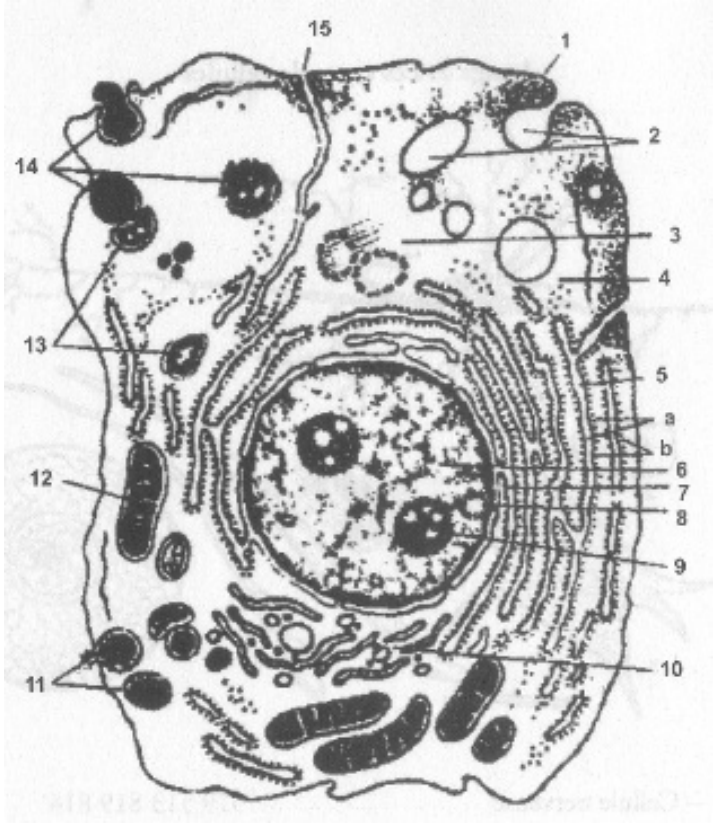

1 - Plasmalemme
(membrane plasmique) 814 718 314 213
2 - Vésicules de pinocytose 214 718 314 218
3 - Centrosome (centre cellulaire) 519 217 018 017
4 - Hyaloplasme 614 217 321 218
5 - Réticulum endoplasmique
a - Membranes du réticulum
b - Ribosomes 819 517 319 418
6 - Noyau 814 321 718 912
7 - Lien entre l'espace périnucléaire et les cavités du réticulum endoplasmique 819 421 719 378
8 - Pores nucléaires 918 472 519 318
9 - Nucléole 918 412 718 814
10 - Appareil réticulaire interne (appareil de Golgi) 819 918 319 217
11 - Vacuoles sécrétoires 979 974 348 522
12 - Mitochondries 819 317 419 814
13 - Lysosomes 519 712 314 518
14 - Étapes successives de la phagocytose 819 412 714 321
15 - Lien de la paroi cellulaire avec les membranes du réticulum endoplasmique 514 816 314 819

Les tissus
898 314 988 889

Le tissu épithélial
891 389 426 319

Image 3. **Les différents types d'épithélium**

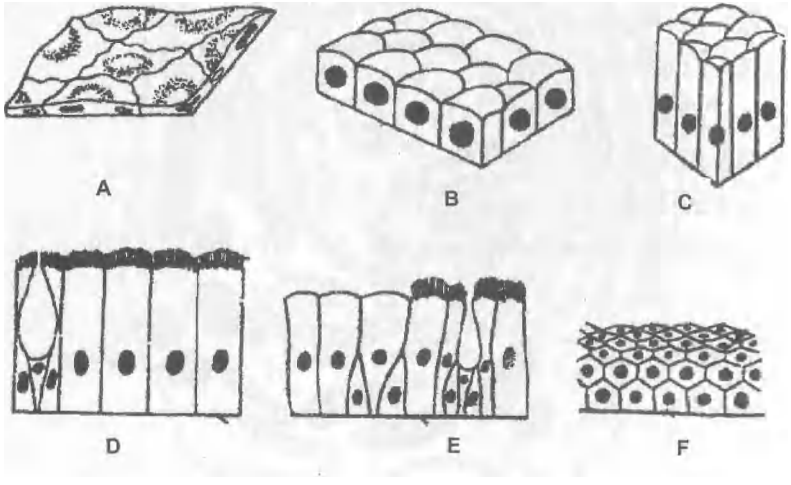

A - Épithélium pavimenteux unistratifié 819 417 319 817
B - Épithélium cubique unistratifié 518 611 918 716
C - Épithélium cylindrique 318 216 718 916
D - Épithélium cilié unistratifié 319 821 319 719
E - Épithélium pseudostratifié 918 216 917 418
F - Épithélium pluristratifié kératinisant 428 614 048 910

Le tissu conjonctif
719 317 918 517

Les tissus musculaires
514 312 814 312

Image 4. **Les types de tissus musculaires**

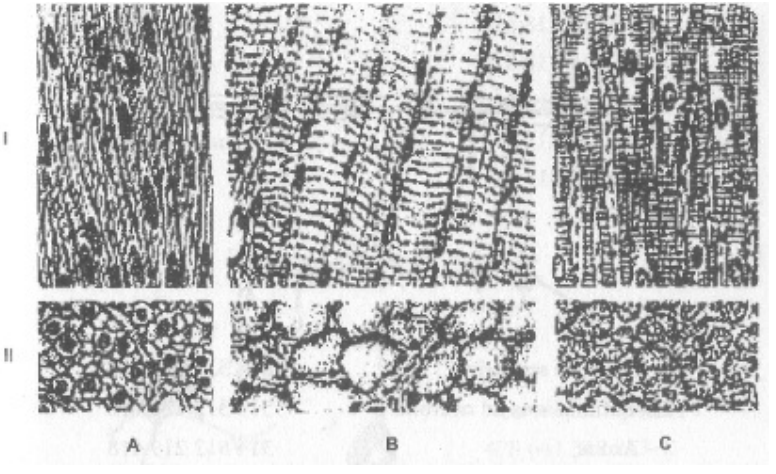

I - Coupe longitudinale
II - Coupe transversale
A - Tissu lisse (non strié) 514 718 314 218
B - Tissu squelettique strié 917 312 218 412
C - Tissu cardiaque strié 914 318 514 712

Le tissu nerveux

718 412 518 914

Image 5. **La structure du neurone**

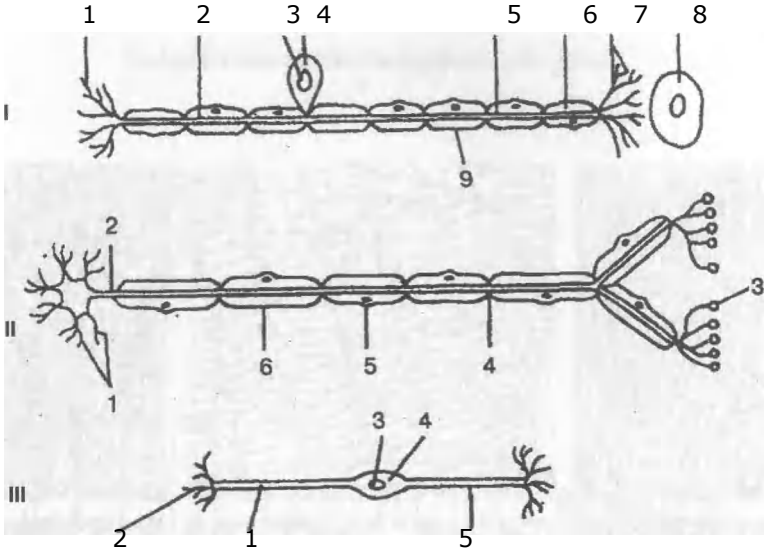

I - Neurone sensoriel	814 317 914 918
1 - Terminaisons du neurone	519 312 214 712
2 - Axone	314 812 219 418
3 - Noyau	314 812 219 217
4 - Corps cellulaire	917 219 817 519
5 - Dendrite	318 517 918 241
6 - Gaine de myéline	514 717 814 317
7 - Récepteur	518 214 019 481
8 - Organe	814 317 914 817
9 - Névrilème	714 312 814 512

II - Neurone moteur	319 816 819 312
1 - Dendrites	318 517 918 241
2 - Axone	314 812 219 418
3 - Plaque terminale	214 217 814 312
4 - Étranglement annulaire de Ranvier	518 217 818 217
5 - Noyau de la cellule de Schwann	214 312 814 212
6 - Cellule de Schwann	841 218 412 518

III - Interneurone	314 517 214 817
1 - Axone	314 812 219 418
2 - Dendrites	318 517 918 241
3 - Noyau	314 812 219 217
4 - Corps cellulaire	917 219 817 519
5 - Dendrone	518 418 719 281

Image 6. **Les types de neurones**

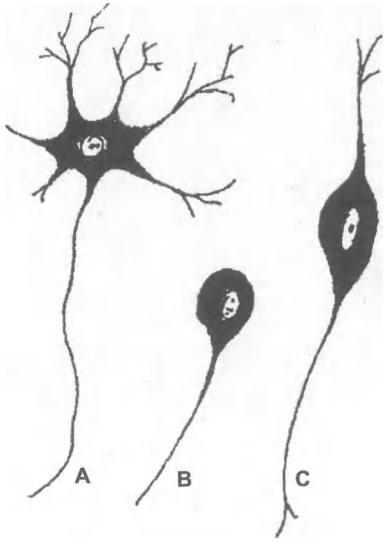

A - Neurone multipolaire
478 641 318 217
B - Neurone unipolaire
514 371 848 961
C - Neurone bipolaire
818 217 318 514

LES OS

214 318 214 818

Le squelette

219 314 819 217

Image 7. **Le squelette**

219 317 918 428

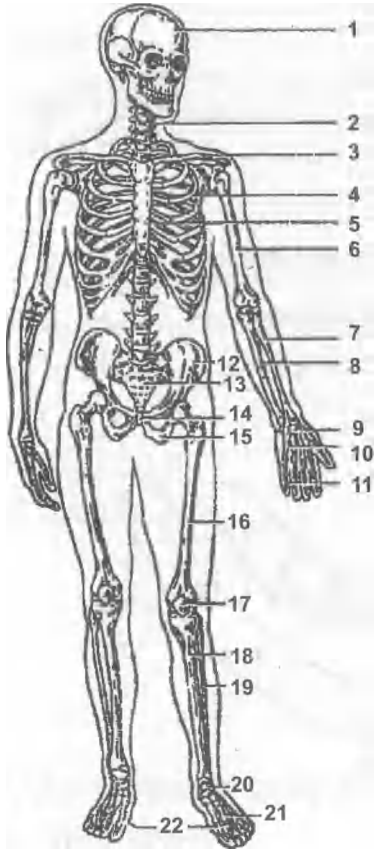

1 - Crâne

519 515 919 894

2 - Colonne vertébrale

328 488 984 012

3 - Clavicule

409 382 984 712

4 - Côte

519 312 918 722

5 - Sternum

518 417 289 897

6 - Humérus

524 377 914 877

7 - Radius

529 321 919 742

8 - Péroné

529 341 419 811

9 - Carpe

318 712 918 212

10 - Métacarpes 214 371 814 911

11- Phalanges 548 317 918 217

12 - Ilium 218 317 228 917

13 - Sacrum 514 716 814 226

14 - Pubis 512 478 212 238

15 - Ischium	498 216 748 227
16 - Fémur	918 275 784 325
17 - Rotule	421 891 529 328
18 - Tibia	918 321 989 711
19 - Péroné	498 217 888 917
20 - Os du tarse	498 215 298 315
21 - Os du métatarse	494 216 894 317
22 - Phalanges du pied	548 321 984 671

Image 8. **La première et la deuxième côtes**

(vue de dessus)

214 712 814 312

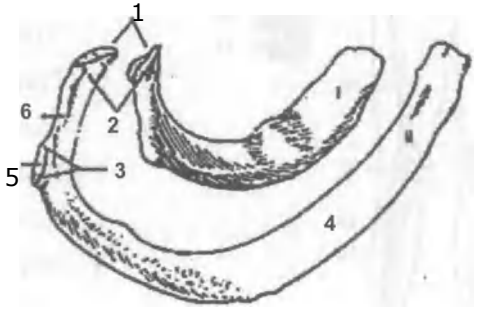

1 - Facette articulaire de la tête de la côte	512 318 912 218
2 - Tête de la côte	214 718 218 214
3 - Tubercule de la côte	518 380 218 910
4 - Corps de la côte	538 712 818 222
5 - Facette articulaire du tubercule de la côte	419 710 819 210
6 - Col de la côte	498 217 218 317

Image 9. **La septième côte** (face postérieure)

519 318 919 218

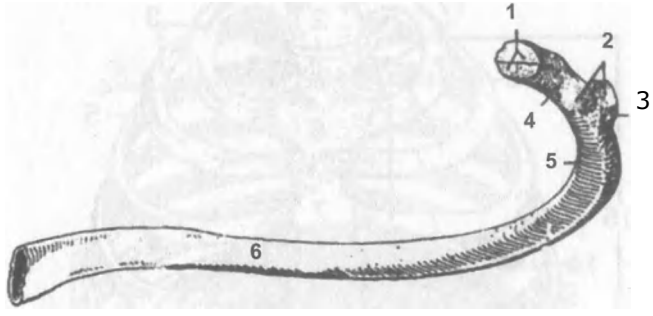

1 - Facette articulaire de la tête de la côte	598 641 398 061
2 - Facette articulaire du tubercule de la côte	489 681 717 414
3 - Tubercule de la côte	518 714 318 214
4 - Col de la côte	074 216 519 421
5 - Angle costal	219 718 218 312
6 - Corps de la côte	217 419 218 219

Image 10. **Le squelette de la cage thoracique**

(vue de face)

248 668 712 298

1 - Ouverture supérieure du thorax	520 319 210 299
2 - Incisure jugulaire	548 717 818 997
3 - Côtes (1-12)	431 898 211 328
4 - Première côte	317 814 217 214
5, 16 - Deuxième côte	518 513 918 913
6 - Manubrium sternal	819 312 219 312
7 - Corps du sternum	514 318 219 217

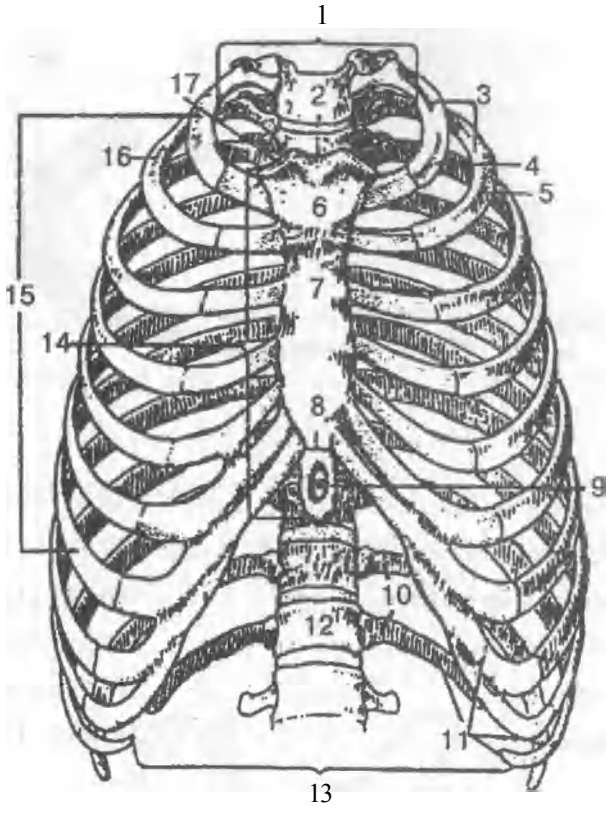

8 - Jonction entre le corps du sternum et le processus xiphoïde 512 318 918 212

9 - Processus xiphoïde 219 318 719 228

10 - Côtes flottantes (11-1) 514 217 214 317

11- Fausses côtes (8-10) 548 212 228 312

12 - Vertèbre thoracique 542 317 212 227

13 - Ouverture inférieure du thorax 009 217 819 317

14 - Sternum 518 417 289 897

15 - Côtes sternales (1-7) 789 641 298 514

17 - Incisure claviculaire 312 814 212 418

Les os de la tête

231 138 918 212

Image 11. **L'os frontal**

248 003 398 213

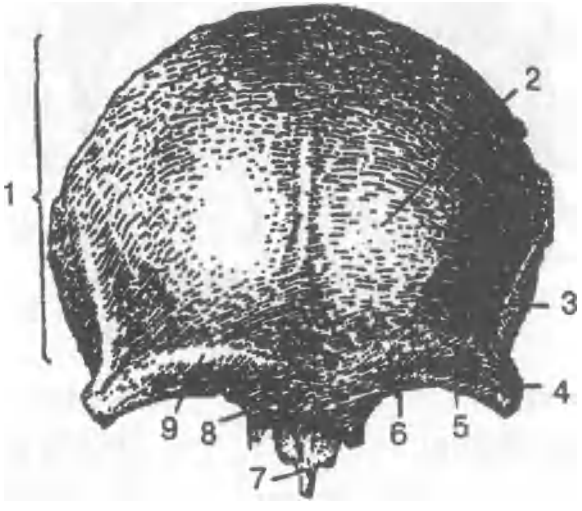

1 - Écaille 214 317 818 217

2 - Éminence frontale 219 317 818 227

3 - Ligne temporale 248 312 298 222

4 - Apophyse zygomatique 248 714 318 214

5 - Bord supraorbitaire 249 312 289 228

6 - Foramen supraorbitaire 312 278 229 312

7 - Partie nasale 248 217 228 327

8 - Glabelle (bosse frontale moyenne) 814 712 214 312

9 - Arcade sourcilière 428 517 228 917

Image 12. **L'os pariétal droit** (face interne)

312 718 212 218

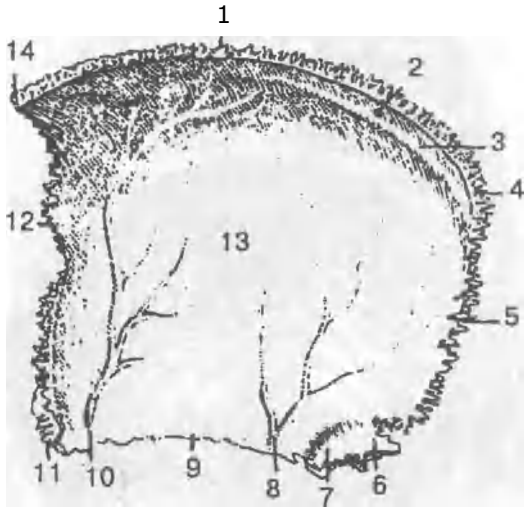

1 - Bord sagittal	519 417 319 816
2 - Foramen pariétal	312 219 218 271
3 - Sillon du sinus sagittal supérieur	214 317 228 271
4 - Angle occipital	248 712 219 220
5 - Bord occipital	319 714 219 514
6 - Angle mastoïdien	314 217 214 227
7 - Sillon du sinus sigmoïde	278 213 228 913
8, 10 - Sillon de l'artère méningée moyenne	514 317 814 717
11 - Angle sphénoïdal	594 018 294 318
12 - Bord frontal	364 618 972 318
13 - Face interne	234 712 814 212
14 - Angle frontal	514 001 814 321

Image 13. **L'os pariétal gauche** (face externe)

326 718 216 718

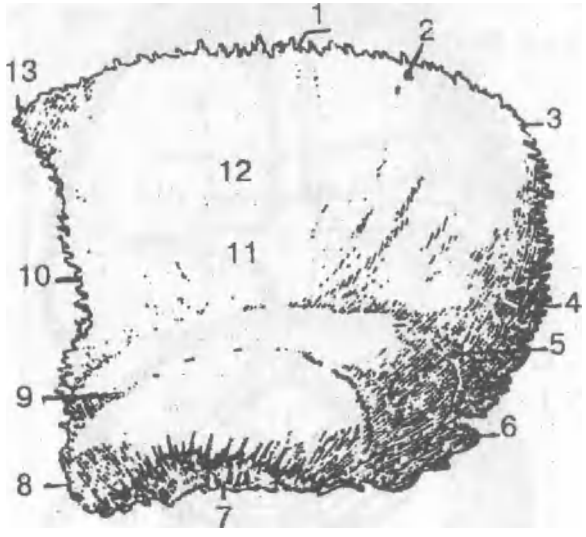

1 - Bord sagittal	519 417 319 816
2 - Fosse pariétale	312 219 218 271
3 - Angle occipital	248 712 219 220
4 - Bord occipital	319 714 219 514
5 - Ligne temporale supérieure	548 312 718 212
6 - Angle mastoïdien	314 217 214 227
7 - Bord squameux	298 714 888 914
8 - Angle sphénoïdal	594 018 294 318
9 - Ligne temporale inférieure	548 317 818 717
10 - Bord frontal	364 618 972 318
11 - Éminence pariétale	219 317 918 227
12 - Face externe	519 318 719 288
13 - Angle frontal	514 001 814 321

Image 14. **L’os occipital** (face interne)

214 712 219 312

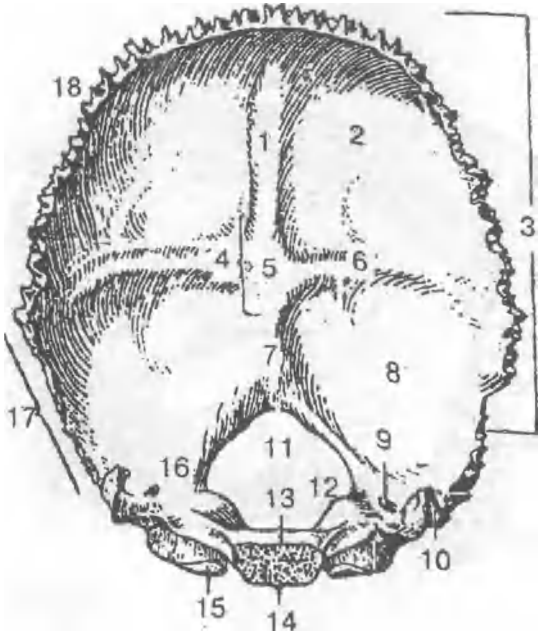

1 - Sillon du sinus sagittal supérieur	214 317 228 271
2 - Fosse cérébrale	549 312 919 217
3 - Ecaille de l’os occipital	598 317 919 217
4 - Éminence cruciforme	519 312 299 812
5 - Protubérance occipitale interne	312 818 712 918
6 - Sillon du sinus transverse	594 361 298 061
7 - Crête occipitale interne	521 316 919 488
8 - Fosse cérébrale	219 213 919 223
9 - Canal condylien	231 918 298 221
10 - Apophyse zygomatique	498 317 998 227
11 - Foramen magnum	201 398 721 778
12 - Tubercule zygomatique	548 715 328 225
13 - Partie basilaire	549 713 919 223
14 - Tubercule pharyngien	548 712 228 312
15 - Condyle occipital	549 317 819 223
16 - Partie latérale	549 717 229 237
17 - Bord mastoïdien	542 713 222 203
18 - Bord lambdoïde	519 321 009 811

Image 15. **L’os occipital**

(vue arrière et de dessous)

548 717 218 317

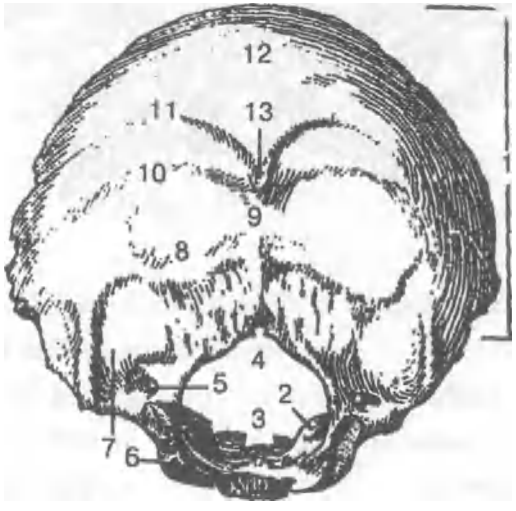

1 - Écaille de l’os occipital	598 317 919 217
2 - Tubercule zygomatique	548 715 328 225
3 - Clivus	319 778 219 228
4 - Foramen magnum	201 398 721 778
5 - Canal condylien	231 918 298 221
6 - Condyle occipital	549 317 819 223
7 - Fosse condylienne	539 812 918 222
8 - Ligne nucale inférieure	514 701 814 321
9 - Crête occipitale externe	514 312 814 722

10 - Ligne nucale supérieure	548 717 888 999
11 - Ligne nucale suprême	599 000 089 319
12 - Planum occipital	538 721 918 211
13 - Protubérance occipitale externe	429 312 819 228

Image 16. **L'os sphénoïde** (vue de dessus)

321 694 019 181

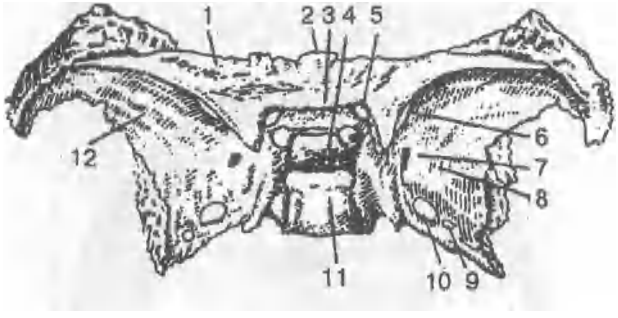

1 - Petite aile (gauche)	329 717 229 317
2 - Corps	429 811 319 321
3 - Sillon préchiasmatique	314 717 814 217
4 - Fosse hypophysaire	519 317 919 218
5 - Canal optique	538 712 918 222
6 - Fissure orbitaire supérieure	409 505 898 305
7 - Foramen rond	514 318 618 711
8, 12 - Grandes ailes	217 318 917 228
9 - Foramen ovale	298 714 318 214
10 - Foramen épineux	219 542 319 712
11 - Dos de la selle	548 713 918 213

Image 17. **L'os temporal droit** (face interne)

549 317 914 317

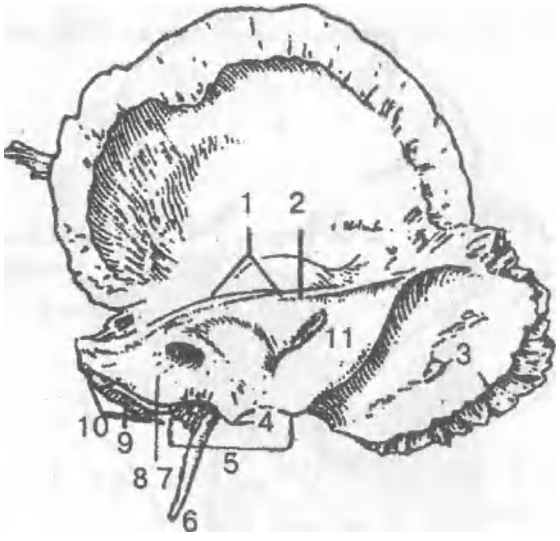

1 - Bord supérieur de la pyramide	319 716 818 012
2 - Sillon du sinus pétreux supérieure	549 312 819 229
3 - Sillon du sinus sigmoïde	278 213 228 913
4 - Apophyse interne	214 712 914 229
5 - Incisure jugulaire	531 918 911 218
6 - Apophyse styloïde	598 312 818 212
7 - Orifice auditif interne	548 211 918 211
8 - Conduit auditif interne	531 988 411 888
9 - Sillon du sinus pétreux inférieur	219 213 919 733
10 - Bord postérieur de la pyramide	214 313 219 733
11 - Face postérieure de la pyramide	519 312 814 222

Image 18. **L’os temporal droit** (face externe)

519 312 419 812

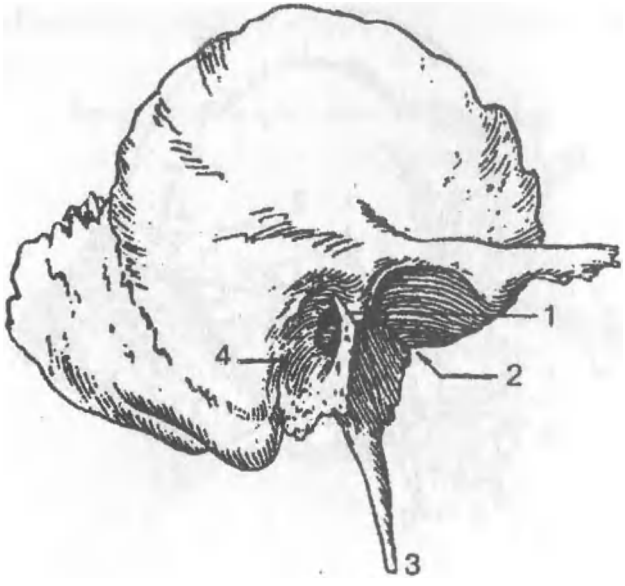

1 - Fissure tympano-squameuse	514 317 814 317
2 - Fissure pétro-tympanique	548 321 948 221
3 - Apophyse styloïde	598 312 818 212
4 - Fissure tympano-mastoïdienne	598 712 898 223

Les os du crâne facial

219 715 819 815

Image 19. **Le maxillaire supérieur** (vue latérale)

519 371 919 811

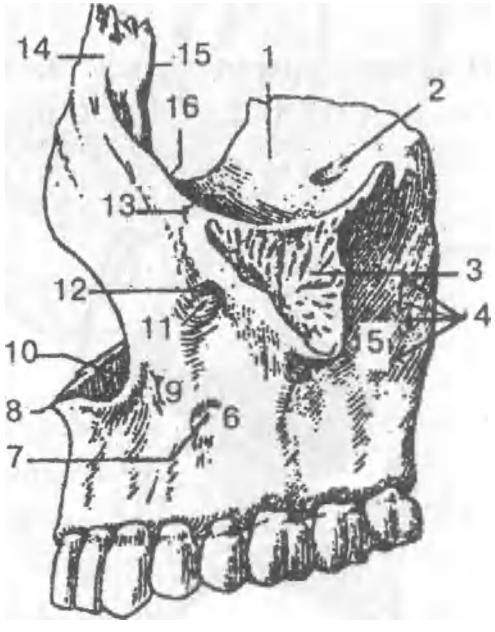

1 - Face orbitaire	398 216 718 226
2 - Sillon infraorbitaire	319 717 819 227
3 - Apophyse zygomatique	419 312 214 222
4 - Foramens alvéolaires	214 712 814 229
5 - Face infratemporale	538 722 918 222
6 - Face antérieure	548 888 019 648
7 - Fosse canine	539 717 819 317
8 - Épine nasale antérieure	529 513 919 813
9 - Corps du maxillaire supérieur	548 712 818 212

10 - Échancrure nasale	548 716 298 444
11 - Canal infraorbitaire	319 717 819 217
12 - Foramen infraorbitaire	489 061 298 541
13 - Suture zygomatico-maxillaire	214 711 898 211
14 - Apophyse frontale	590 421 019 481
15- Bord lacrymal	548 884 918 888
16 - Bord infraorbitaire	512 219 312 919

Image 20. **Le maxillaire supérieur gauche** (face médiale)

421 718 911 328

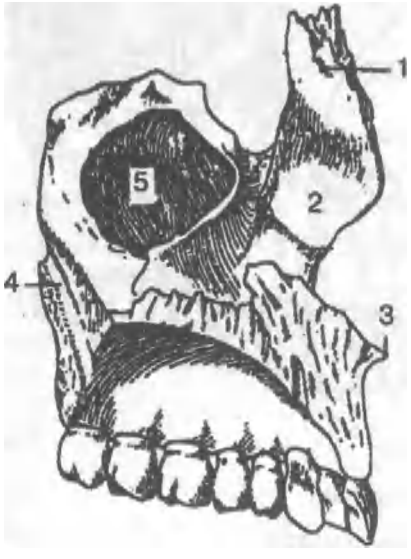

1 - Apophyse frontale	590 421 019 481
2 - Face nasale	598 648 319 711
3 - Épine nasale antérieure	529 513 919 813
4 - Fosse ptérygo-palatine	428 321 814 221
5 - Sinus maxillaire (antre de Highmore)	519 321 814 471

Image 21. **La mandibule**

514 712 814 312

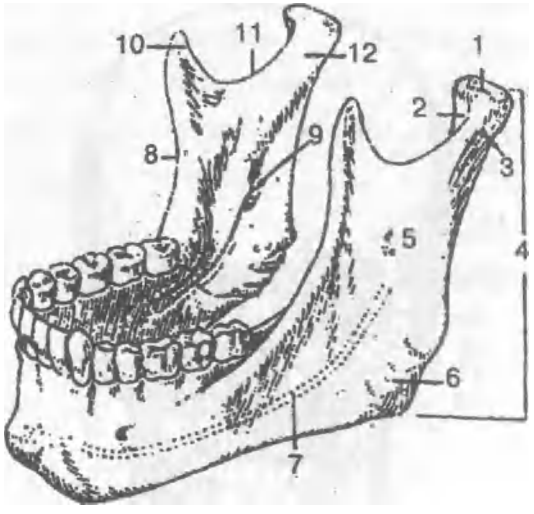

1 - Tête de la mandibule	548 321 848 721
2 - Fosse ptérygoïde	519 317 919 007
3 - Col de la mandibule	319 814 919 714
4, 5 - Branches mandibulaires	518 317 918 001
6 - Angle de la mandibule	548 219 289 008
7 - Canal mandibulaire	009 217 319 227
8 - Crête temporale	418 317 228 227
9 - Foramen mandibulaire	489 201 319 871
10 - Apophyse coronoïde	528 317 918 228
11 - Incisure de la mandibule	419 317 819 828
12 - Processus condylien	891 319 898 789

Image 22. **Le crâne** (vue de face)

829 317 229 817

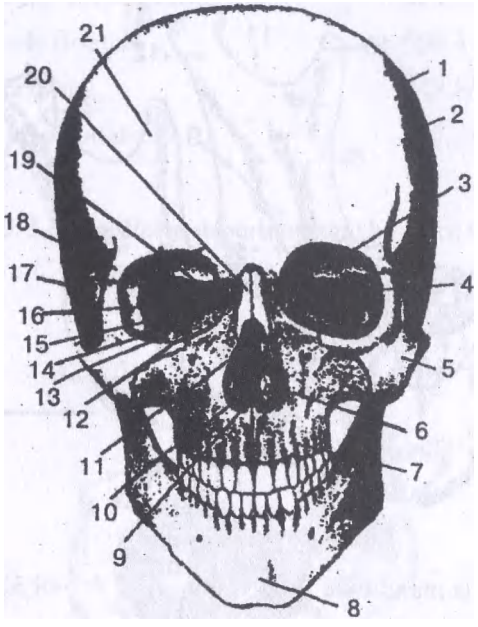

1 - Suture coronale	419 289 917 814
2 - Os pariétal	519 987 219 317
3 - Partie orbitaire de l'os frontal	998 261 378 471
4 - Face orbitaire de la grande aile de l'os sphénoïde	548 261 378 213
5 - Os zygomatique	899 817 818 317
6 - Cornet nasal inférieur	478 218 918 217
7 - Maxillaire supérieur	521 718 221 918
8 - Protubérance mentonnière de la mandibule	518 001 219 671
9 - Cavité nasale	428 317 818 227
10 - Vomer	429 317 819 228
11 - Lame perpendiculaire de l'os ethmoïde	501 608 919 219
12 - Face orbitaire du maxillaire supérieur	428 712 818 212
13 - Fissure orbitaire inférieure	429 731 819 221
14 - Os lacrymal	209 605 319 205
15 - Lame orbitaire de l'os ethmoïde	398 667 818 917
16 - Fissure orbitaire supérieure	409 505 898 305
17 - Partie squameuse de l'os temporal	428 319 288 299
18 - Apophyse zygomatique de l'os frontal	248 714 318 214
19 - Foramen du canal optique	498 712 818 222
20 - Os nasal	518 314 818 214
21 - Éminence frontale	219 317 818 227

Image 23. **Le crâne** (vue latérale)

829 317 229 817

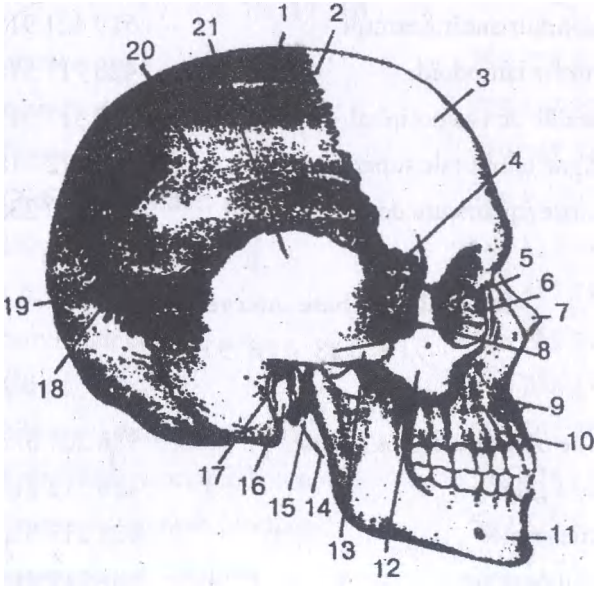

1 - Os pariétal	519 987 219 317
2 - Suture coronale	419 289 917 814
3 - Eminence frontale	219 317 818 227

4 - Face temporale de la grande aile de l'os sphénoïde 514 317 049 612
5 - Lame orbitaire de l'os ethmoïde 398 667 818 917
6 - Os lacrymal 209 605 319 205
7 - Os nasal 518 314 818 214
8 - Fosse temporale 548 312 448 212
9 - Épine nasale antérieure 529 513 919 813
10 - Corps du maxillaire supérieur 518 312 818 212
11 - Mandibule 514 712 814 312
12 - Os zygomatique 899 817 818 317
13 - Arcade zygomatique 528 317 918 917
14 - Apophyse styloïde 598 312 818 212
15 - Processus condylien de la mandibule 891 319 898 789
16 - Apophyse mastoïde 918 217 319 817
17 - Conduit auditif externe 519 421 919 811
18 - Suture lambdoïde 428 711 318 911
19 - Écaille de l'os occipital 598 317 919 217
20 - Ligne temporale supérieure 548 312 718 212
21 - Partie squameuse de l'os temporal 428 319 288 299

Image 24. **La base interne du crâne**

519 318 418 917

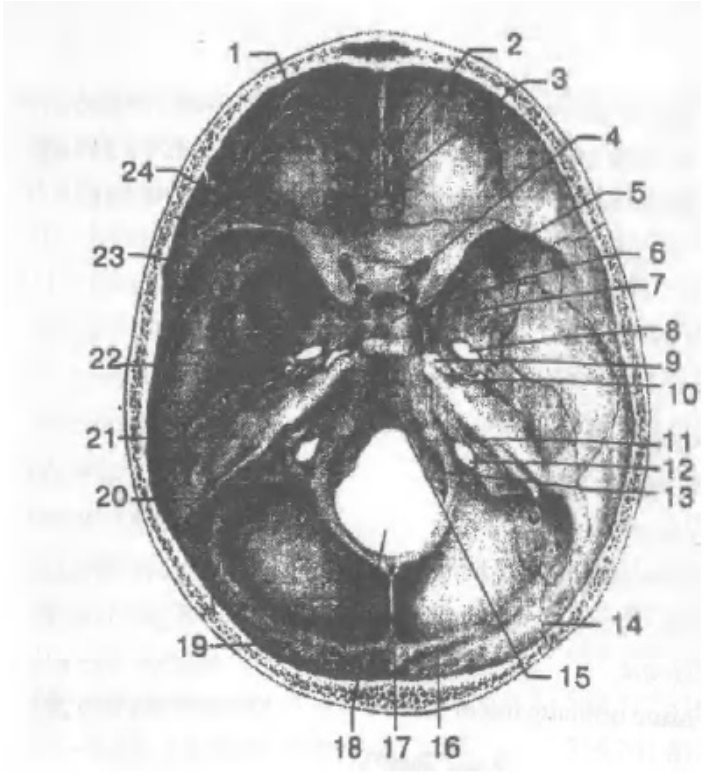

1 - Partie orbitaire de l'os frontal 998 261 378 471
2 - Crista galli 428 312 818 222
3 - Lame criblée 428 217 328 917
4 - Canal optique 538 712 918 222
5 - Fosse hypophysaire 519 317 919 218
6 - Dos de la selle 513 988 813 488
7 - Foramen rond 514 318 618 711
8 - Foramen ovale 298 714 318 214
9 - Foramen déchiré 529 317 216 489
10 - Foramen épineux 219 542 319 712
11 - Orifice du conduit auditif interne 548 211 918 211
12 - Foramen jugulaire 589 317 919 897
13 - Canal hypoglosse 319 317 919 777
14 - Suture lambdoïde 428 711 318 911
15 - Clivus 319 778 219 228
16 - Sillon du sinus transverse 594 361 298 061
17 - Protubérance occipitale interne 312 818 712 918
18 - Foramen magnum (occipital) 549 317 819 227
19 - Écaille de l'os occipital 598 317 919 217
20 - Sillon du sinus sigmoïde 278 213 228 913
21 - Pyramide (partie pétreuse) de l'os temporal 498 317 014 219

22 - Partie squameuse de l’os temporal 428 319 288 299
23 - Grande aile de l’os sphénoïde 222 719 333 419
24 - Petite aile de l’os sphénoïde 213 914 817 977

Image 25. **La base externe du crâne**

894 312 918 322

1 - Apophyse palatine du maxillaire supérieur 819 312 419 222
2 - Foramen incisif 498 555 978 377
3 - Suture palatine médiane 519 312 919 222
4 - Suture palatine transverse 478 217 378 227
5 - Choane 529 371 999 811
6 - Fissure orbitaire inférieure 429 731 819 221

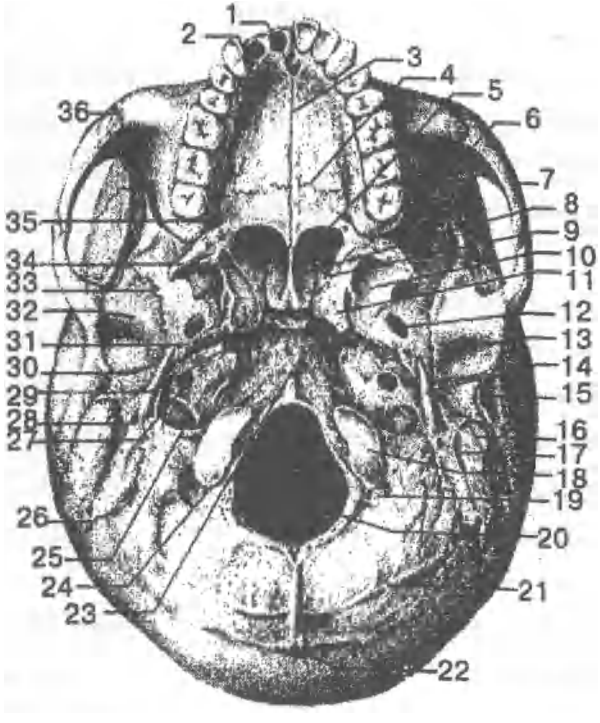

7 - Arcade zygomatique 528 317 918 917
8 - Aile du vomer 918 312 818 212
9 - Fosse ptérygoïde 519 317 919 007
10 - Lame latérale du processus ptérygoïde 548 321 918 221
11 - Processus ptérygoïde 219 311 919 211
12 - Foramen ovale 298 714 318 214
13 - Fosse submandibulaire 558 912 918 222
14 - Apophyse styloïde 598 312 818 212
15 - Conduit auditif externe 519 421 919 811
16 - Apophyse mastoïde 918 217 319 817
17 - Incisure mastoïdienne 519 312 819 221
18 - Condyle occipital 549 317 819 223
19 - Fosse condylienne 539 812 918 222
20 - Foramen magnum (occipital) 549 317 819 227
21 - Ligne nucale inférieure 514 701 814 321
22 - Protubérance occipitale externe 429 312 819 228
23 - Tubercule pharyngien 548 712 228 312
24 - Canal condylien 231 918 298 221
25 - Foramen jugulaire 589 317 919 897
26 - Suture occipito-mastoïdienne 214 312 827 488
27 - Orifice externe du canal carotidien 389 219 217 419
28 - Foramen stylo-mastoïdien 514 318 214 818
29 - Foramen déchiré 529 317 216 489
30 - Fissure pétro-tympanique 548 321 948 221
31 - Foramen épineux 219 542 319 712
32 - Condyle du temporal 288 412 298 322
33 - Suture sphéno-squameuse 298 717 298 277
34 - Crochet ptérygoïdien 598 328 219 830
35 - Foramen grand palatin 219 498 817 312
36 - Suture zygomatico-maxillaire 214 711 898 211

Les os des membres

548 212 788 272

Les os du membre supérieur

971 981 319 212

Image 26. **L'omoplate droite** (vue arrière)

429 312 819 312

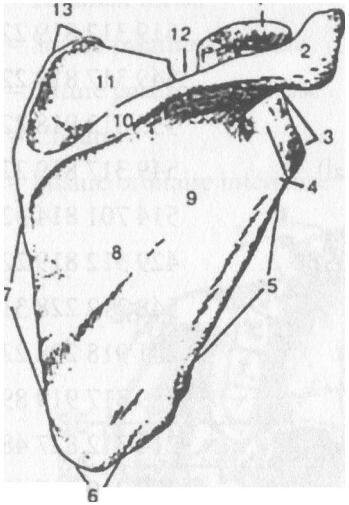

e

1 - Apophyse coracoïde
918 318 519 714

2 - Acromion
529 319 919 712

3 - Angle latéral
498 712 519 282

4 - Col de l'omoplate
498 710 218 220

5 - Bord latéral
489 770 919 220

6 - Angle inférieur 319 814 919 814

7 - Bord médial 519 311 819 911

8 - Face postérieure de l'omoplate 918 712 514 317

9 - Fosse infra-épineuse 219 712 819 222

10 - Épine de l'omoplate 498 712 328 822

11 - Fosse supra-épineuse 512 488 912 988

12 - Incisure scapulaire 319 714 819 214

13 - Angle supérieur 489 617 319 441

Image 27. **L'omoplate droite** (vue de face)

429 312 819 312

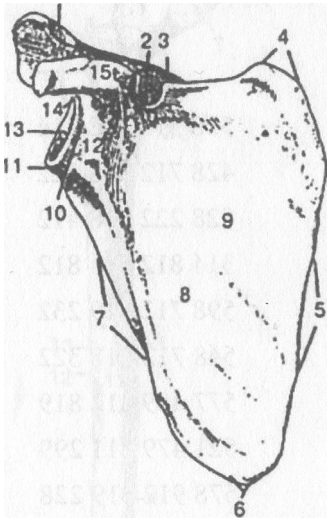

1 - Surface articulaire de l'acromion
519 311 919 211

2 - Incisure scapulaire
319 714 819 214

3 - Epine de l'omoplate
498 712 328 822

4 - Angle supérieur
489 617 319 441

5 - Bord médial
519 311 819 911

6 - Angle inférieur 319 814 919 814

7 - Bord latéral 489 770 919 220

8 - Fosse sous-scapulaire 528 621 389 710

9 - Face costale 519 412 819 312

10 - Col de l'omoplate 498 710 218 220

11 - Tubercule infraglénoïdal 212 317 412 917

12 - Bord latéral 528 318 914 818

13 - Bord médial 548 912 928 312

14 - Tubercule supraglénoïdal 488 312 818 222

15 - Apophyse coracoïde 918 318 519 714

Image 28. **La clavicule droite** (vue de dessous)

528 312 918 222

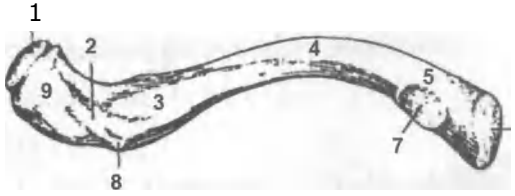

1 - Facette articulaire acromiale 528 314 818 214
2 - Ligne trapézoïde 428 712 928 222
3 - Sillon du muscle subclavier 528 222 918 412
4 - Corps de la clavicule 314 812 514 812
5 - Extrémité sternale 598 712 819 232
6 - Facette articulaire sternale 548 712 918 322
7 - Ligament costo-claviculaire 577 489 312 819
8 - Tubercule conoïde 521 479 811 299
9 - Point acromial 578 912 319 228

Image 29. **Les articulations sterno-claviculaires**

512 714 312 814

1 - Ligament costo-claviculaire 529 319 819 478

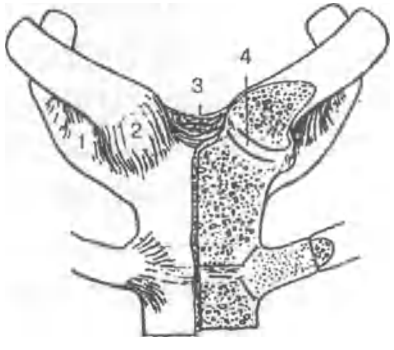

2 - Ligament sterno-claviculaire antérieur 319 814 219 217
3 - Ligament interclaviculaire 848 061 219 714
4 - Disque articulaire 519 712 819 912

Les os du membre supérieur libre

219 317 918 817

Image 30. **L'humérus droit** (vue de face)

524 377 914 877

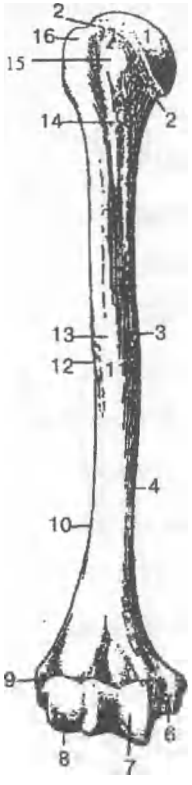

1 - Capitulum de l'humérus 219 312 819 778
2 - Col anatomique 219 312 819 887
3 - Face antéro-médiale 594 716 888 219
4 - Bord médial 428 712 328 718
5 - Condyle de l'humérus 213 428 219 488
6 - Épicondyle médial 219 317 819 217
7 - Bloc de l'humérus 539 817 919 817
8 - Tête du condyle de l'humérus 219 317 229 812
9 - Épicondyle latéral 419 418 712 319
10 - Bord latéral 513 814 713 914
11 - Corps de l'humérus 548 912 938 817
12 - Tubérosité deltoïdienne 548 714 818 217
13 - Face antéro-latérale 548 321 918 711
14 - Col chirurgical 542 718 312 918
15 - Tubercule mineur 328 784 548 914
16 - Tubercule majeur 328 722 588 731

Image 31. **L'humérus droit** (vue arrière)

524 377 914 877

1 - Capitulum de l'humérus

219 312 819 778

2 - Col anatomique

219 312 819 887

3 - Tubercule majeur

328 722 588 731

4 - Col chirurgical

542 718 312 918

5 - Condyle de l'humérus

213 428 219 488

6 - Épicondyle latéral

419 418 712 319

7 - Cavité olécranienne

519 317 818 907

8 - Bloc de l'humérus

539 817 919 817

9 - Sillon du nerf ulnaire

298 712 319 212

10 - Épicondyle médial

219 317 819 217

Image 32. **Le radius et le cubitus droits** (vue de face)

598 712 498 217

A - Radius

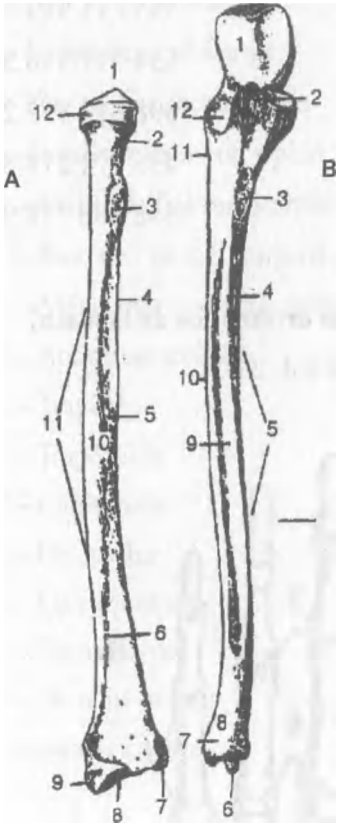

529 321 919 742

1 - Tête du radius

328 471 918 221

2 - Col du radius

248 312 818 222

3 - Tubérosité du radius

548 712 918 272

4 - Bord interosseux

599 614 819 314

5 - Face antérieure

548 371 998 211

6 - Bord antérieur

428 317 918 917

7 - Échancrure cubitale

498 318 919 887

8 - Surface articulaire carpienne

319 817 919 617

9 - Apophyse styloïde

514 317 914 987

10 - Face antéro-latérale

598 712 918 312

11 - Corps du radius

598 321 719 811

12 - Circonférence articulaire

549 312 919 812

B - Cubitus

529 341 419 811

1 - Incisure trochléaire

219 217 919 817

2 - Apophyse coronoïde

319 374 819 814

3 - Tubérosité du cubitus 818 906 319 481
4 - Bord antérieur 518 614 318 488
5 - Corps du cubitus 598 417 218 611
6 - Apophyse styloïde 514 317 914 987
7 - Circonférence articulaire 519 342 819 221
8 - Tête du cubitus 548 711 919211
9 - Face antérieure 534 217 918 377
10 - Bord interosseux 598 321 918 211
11 - Crête du muscle supinateur 498 871 218 321
12 - Incisure radiale 548 388 718 918

Image 33. **Les os de la main droite** (dos de la main)
548 722 888 222

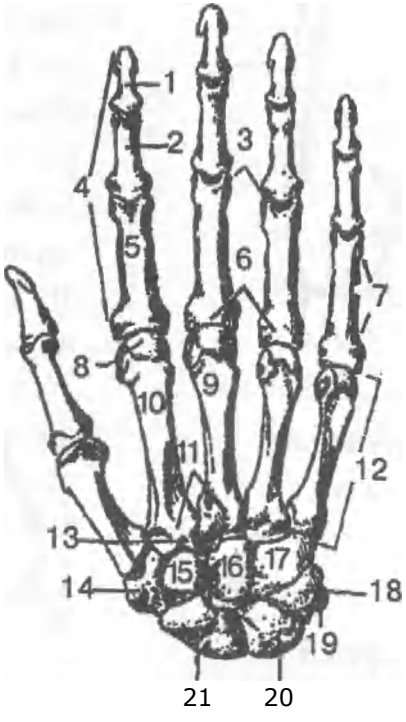

1 - Phalange distale 219 333 819 444
2 - Phalange intermédiaire 478 212 978 111
3 - Tête de la phalange 513 918 216 097
4 - Phalanges (os des doigts) 213 918 712 889
5 - Phalange proximale 248 617 319 516
6 - Base de la phalange 519 819 312 888
7 - Corps de la phalange 891 319 498 519
8 - Tête de l'os métacarpien 519 614 819 310
9 - Troisième os métacarpien 714 016 218 961
10 - Corps de l'os métacarpien 498 712 988 318
11 - Base de l'os métacarpien 528 313 818 713
12 - Métacarpe (os métacarpiens de 1 à 5) 598 318 488 712
13 - Apophyse styloïde 528 899 319 217
14 - Trapèze 988 713 428 755
15 - Trapézoïde 598 317 988 978
16 - Capitatum 298 317 898 007
17 - Os crochu 598 382 488 722
18 - Os triquetrum 598 213 009 216
19 - Os pisiforme 598 377 988 217
20 - Os semi-lunaire 598 327 918 227
21 - Os naviculaire 599 891 488 788

Les os du membre inférieur

529 531 919 811

La ceinture du membre inférieur

429 712 918 222

Le pelvis

584 316 719 041

Image 34. L'os coxal droit

214 317 918 227

A - Vue latérale

1 - Crête iliaque	298 327 918 887
2 - Bord interne	291 398 218 612
3 - Ligne intermédiaire	549 715 819 315
4 - Bord externe	599 422 899 322
5 - Épine iliaque antérieure supérieure	529 312 919 914
6 - Épine iliaque antérieure inférieure	598 714 818 914
7 - Sillon supra-acétabulaire	594 321 714 811
8 - Corps de l'ilium	548 377 914 817
9 - Bord de la fosse de l'acétabulum	519 718 918 212
10 - Face semi-lunaire	498 712 519 312
11 - Fond de la fosse de l'acétabulum	548 712 918 312
12 - Incisure de l'acétabulum	509 714 219 314
13 - Fosse de l'acétabulum	591 614 318 790
14 - Foramen obturé	521 782 219 332
15 - Tubérosité ischiatique	529 312 918 812
16 - Épine sciatique	898 918 314 517
17 - Ligne fessière postérieure	517 318 215 428
18 - Épine iliaque postérieure inférieure	912 914 712 714
19 - Épine iliaque postérieure supérieure	319 812 892 319
20 - Ilium	218 317 228 917
21 - Ligne fessière inférieure	519 312 891 421
22 - Face glutéale	519 311 819 211
23 - Aile de l'ilium	529 301 229 721
24 - Ligne fessière antérieur	498 312 898 222
25 - Tubercule iliaque	594 312 894 222

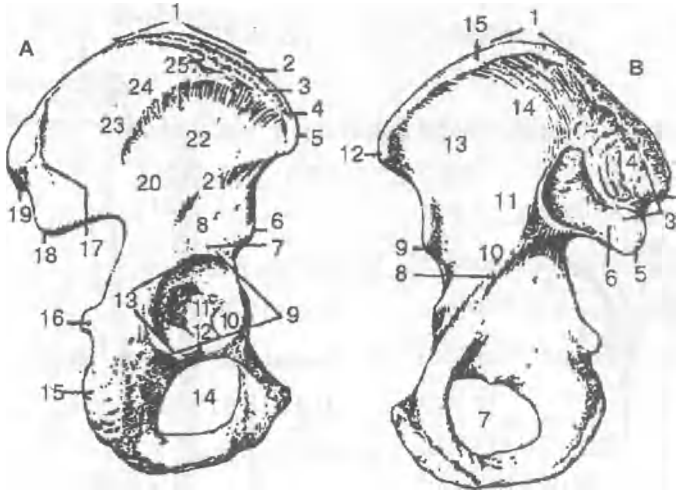

B - Vue médiane

1 - Crête iliaque	298 327 918 887
2 - Epine iliaque postérieure supérieure	319 812 892 319
3 - Face sacro-pelvienne	298 712 518 312
4 - Tubérosité iliaque	498 213 009 671
5 - Épine iliaque postérieure inférieure	912 914 712 714
6 - Surface auriculaire	931 489 219 819
7 - Foramen obturé	521 782 219 332

8 - Ligne arquée 512 098 096 681

9 - Épine iliaque antérieure inférieure 598 714 818 914

10 - Corps de l'ilium 488 714 818 381

11 - Ilium 218 317 228 917

12 - Épine iliaque antérieure supérieure 529 312 919 914

13 - Fosse iliaque 489 091 213 719

14 - Aile de l'ilium 529 301 229 721

15 - Bord interne 291 398 218 612

Les os de la partie libre du membre inférieur

298 321 918 557

Image 35. **Le fémur droit** (vue de face)
918 275 784 325

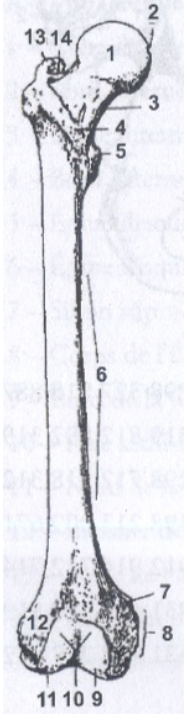

1 - Tête du fémur
519 517 919 917

2 - Fossette de la tête du fémur
319 318 919 818

3 - Col du fémur
498 312 718 212

4 - Ligne intertrochantérique
519 312 219 772

5 - Petit trochanter
918 714 518 914

6 - Corps du fémur
489 061 398 719

7 - Tubercule de l'adducteur
498 312 000 612

8 - Épicondyle médial 469 718 919 318

9 - Condyle médial 598 317 898 617

10 - Surface patellaire 514 318 914 888

11 - Condyle latéral 598 314 888 914

12 - Épicondyle latéral 519 714 814 919

13 - Grand trochanter 529 318 729 888

14 - Fosse trochantérienne 598 712 888 412

Image 36. **Le tibia et le péroné droits** (vue de face)
519 714 479 509

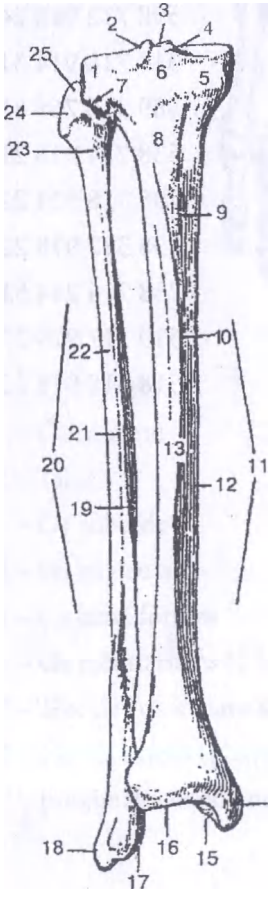

1 - Condyle latéral
519 514 319 314

2 - Tubercule intercondylaire latéral
539 712 819 222

3 - Éminence intercondylaire
548 917 328 227

4 - Tubercule intercondylaire médial
219 713 829 223

5 - Condyle médial
394 815 519 815

6 - Aire intercondylaire antérieure
591 488 219 181

7 - Facette articulaire de la tête du péroné
598 617 298 319

8 - Tubérosité du tibia 529 327 819 227
9 - Face médiale 548 912 914 272
10 - Bord antérieur 428 319 819 228
11 - Corps du tibia 829 714 329 214
12 - Bord médial 314 812 914 712
13 - Face antéro-latérale 519 312 914 212
14 - Malléole médiale 589 741 299 421
15 - Facette articulaire de la malléole 528 714 328 214
16 - Facette articulaire inférieure 594 321 317 811
17 - Facette articulaire de la malléole du péroné 598 712 918 241
18 - Malléole latérale du péroné 514 718 914 318
19 - Face médiale du péroné 489 916 769 817
20 - Corps du péroné 538 714 918 214
21 - Bord antérieur du péroné 298 718 314 228
22 - Face latérale du péroné 298 317 918 227
23 - Col du péroné 238 714 214 816
24 - Tête du péroné 519 317 919 221
25 - Apex de la tête du péroné 518 318 918 227

Image 37. **Les os du pied droit** (vue de dessus)
594 317 214 817

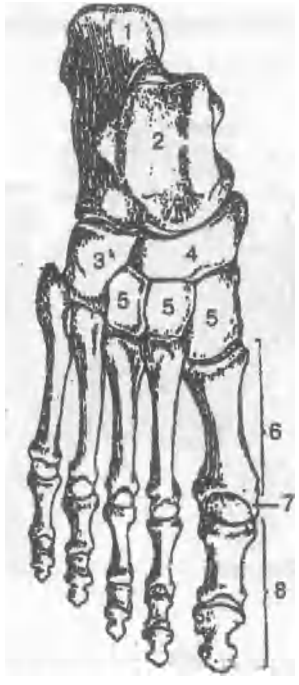

1 - Calcanéum 594 312 814 712
2 - Talus 594 317 814 227
3 - Os cuboïde 598 317 998 217
4 - Os naviculaire 598 317 918 228
5 - Os cunéiformes 284 318 914 278
6 - Os métatarsiens (1 à 5) 918 714 888 914
7 - Tête de l'os métatarsien 538 717 918 227
8 - Os des orteils (phalanges proximales, médianes et distales) 598 317 888 999

Les articulations
814 312 214 712

Image 38. **Les types d'articulations**

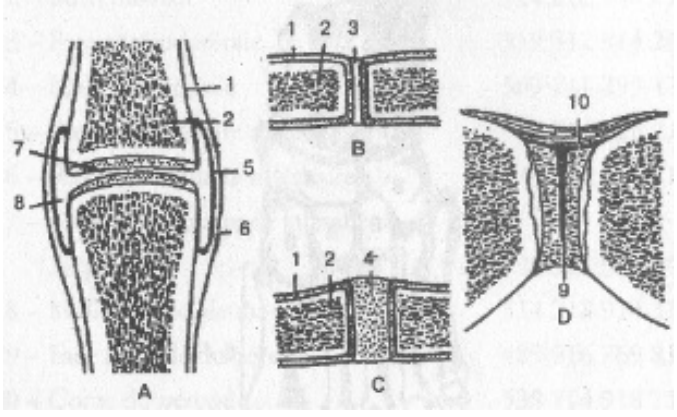

A - Articulation 314 812 514 212
B - Articulations fibreuse 719 312 819 212
C - Synchondrose
(articulation cartilagineuse) 314 217 914 818
D - Symphyse 519 488 617 314
1 - Périoste 598 061 318 041
2 - Os 418 517 918 217
3 - Tissu fibreux 519 318 219 417
4 - Cartilage 314 217 914 819
5 - Membrane synoviale 214 317 914 817
6 - Membrane fibreuse 319 217 916 074
7 - Cartilage articulaire 314 217 914 914
8 - Cavité articulaire 312 817 918 217
9 - Fente du disque interpubien 514 318 217 218
10 - Disque interpubien 219 312 219 212

Les articulations du membre supérieur
248 916 319 281

Image 39. **L'articulation humérale** (coupe longitudinale)
219 419 213 818

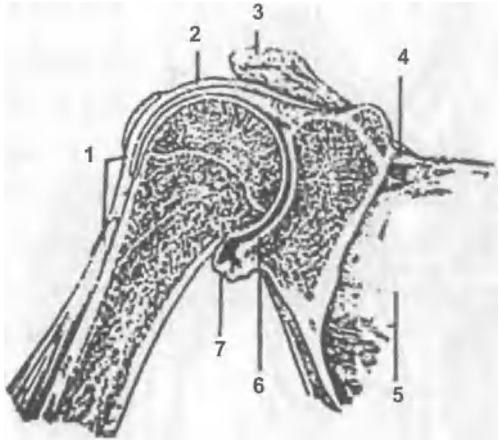

1 - Tendon du long biceps brachial 529 321 919 478
2, 7 - Capsule articulaire 471 818 321 988
3 - Acromion de l'omoplate 519 312 948 212
4 - Ligament transverse supérieur
de l'omoplate 418 694 398 016
5 - Omoplate 219 312 988 712
6 - Cavité glénoïdale de l'omoplate 918 317 988 817

Image 40. **L’articulation du coude droit** (vue de face)
598 312 419 812

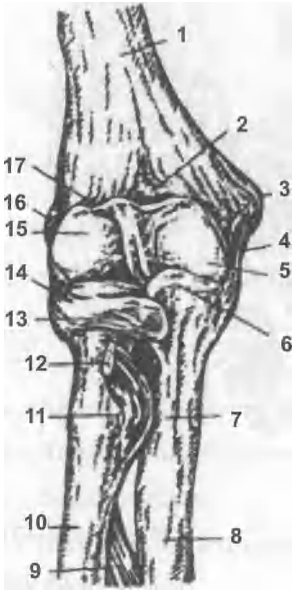

1 - Humérus
524 377 914 877

2 - Cavité coronaire
599 917 319 878

3 - Épicondyle médial
219 317 819 217

4, 13, 14 - Ligaments
594 316 918 071

5 - Trochlée humérale
539 817 919 817

6 - Apophyse coronoïde
319 374 819 814

7 - Tubérosité du cubitus
818 906 319 481

8 - Cubitus
529 341 419 811

9 - Membrane interosseuse de l’avant-bras 918 312 888 512

10 - Radius 529 321 919 742

11 - Tubérosité du radius 548 712 918 272

12 - Tendon du biceps brachial 528 377 948 724

15 - Capitulum de l’humérus 219 312 819 778

16 - Épicondyle latéral 419 418 712 319

17 - Fosse radiale 529 213 719 333

Les articulations du membre inférieur
918 999 000 818

Image 41. **La hanche droite**
319 489 219 318

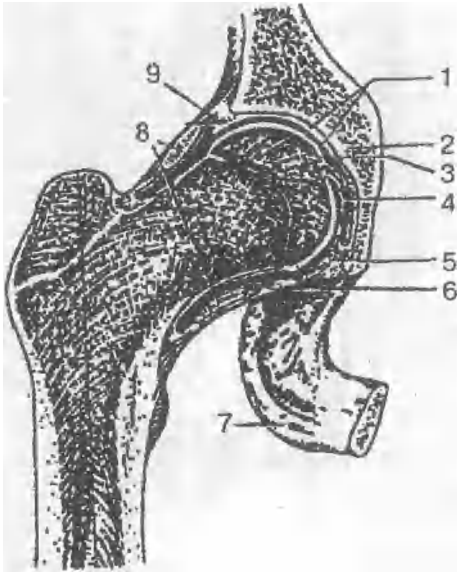

1 - Cartilages articulaires 219 914 319 814

2 - Os coxal 598 019 319 181

3 - Cavité articulaire 519 318 919 888

4 - Ligament de la tête du fémur 548 317 228 917

5 - Ligament transverse de l’acétabulum 514 318 814 228

6 - Capsule articulaire 987 421 328 921

7 - Tubérosité ischiatique 529 312 918 812

8 - Ligament annulaire 598 712 998 212

9 - Labrum acétabulaire 219 317 559 417

Image 42. **L'articulation du genou**
419 718 214 328

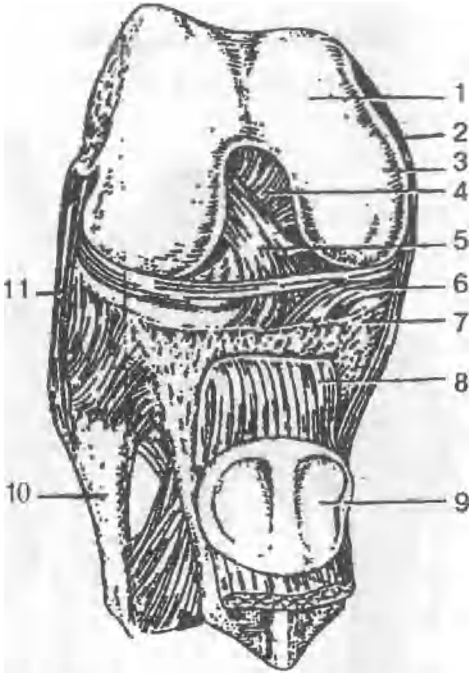

1 - Fémur 918 275 784 325
2 - Ligament collatéral tibial 548 617 019 311
3 - Condyle médial 498 712 919 812
4 - Ligament croisé postérieur 419 321 819 221
5 - Ligament croisé antérieur 219 314 919 814
6 - Ménisque médial 928 601 598 219
7 - Tibia 918 321 989 711
8 - Ligament rotulien 594 312 894 882
9 - Rotule 421 891 529 328
10 - Péroné 498 217 888 917
11 - Ligament collatéral fibulaire 529 317 889 227

Image 43. **Les articulations et les ligaments du pied droit**
419 417 819 817

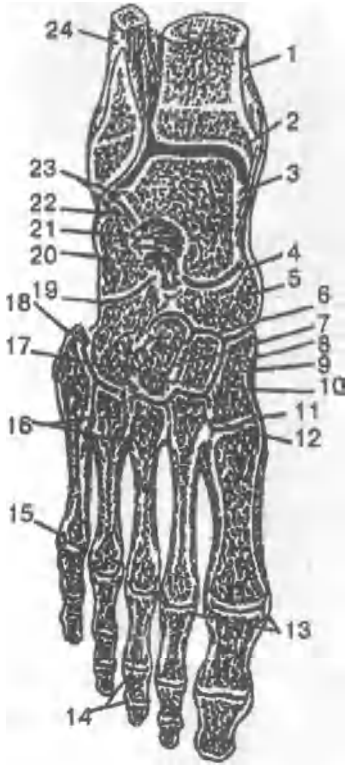

1 - Tibia
918 321 989 711
2 - Cavité articulaire
de la cheville
429 327 919 877
3,7,12,13,16,18,19,20,21
23 - Ligaments articulaires
510 648 219 310
4 - Articulation transverse
du tarse
391 819 291 919
5 - Os naviculaire
598 317 918 228
6 - Articulation
cunéo-naviculaire
514 387 914 327
8, 9, 10 - Os cunéiformes
284 318 914 278

11 - Articulation tarso-métatarsienne 519 518 919 818
14 - Articulations interphalangiennes 518 716 319 498
15 - Articulation métatarso-
phalangienne 594 312 814 212
17 - Os cuboïde 594 317 998 217
22 - Articulation talo-calcanéo-naviculaire 594 317 814 217
24 - Péroné 498 217 888 917

Les ligaments du bassin et de l'articulation coxale

498 641 798 478

Image 44. **Les ligaments du bassin et de l'articulation coxale**

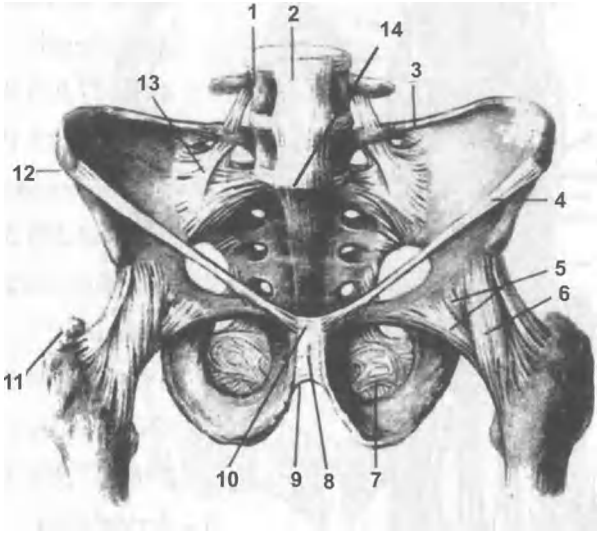

Vue de face

1 - Quatrième vertèbre lombaire	467 198 219 481
2 - Ligament longitudinal antérieur	848 471 219 819
3 - Ligament ilio-lombaire	319 641 289 798
4 - Ligament inguinal	949 641 289 541
5 - Capsule articulaire de l'articulation coxale	589 671 218 498
6 - Ligament ilio-fémoral	364 911 894 564
7 - Membrane obturatrice	312 689 319 716
8 -Symphyse pubienne	368 214 598 471
9 - Ligament pubien inférieur	496 549 718 614
10 - Ligament pubien supérieur	894 216 218 498
11 - Grand trochanter	519 814 089 319
12 - Épine iliaque antérieure supérieure	379 041 298 517
13 - Ligament sacro-iliaque antérieur	589 491 291 478
14 - Articulation lombo-sacral	591 071 298498

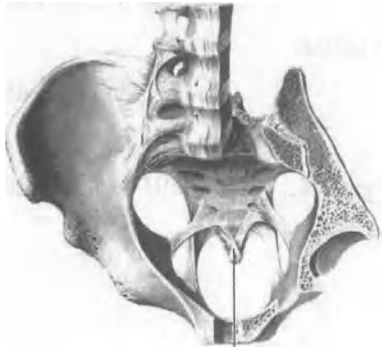

15 - Ligament sacro-coccygien antérieur 578 601 949 011

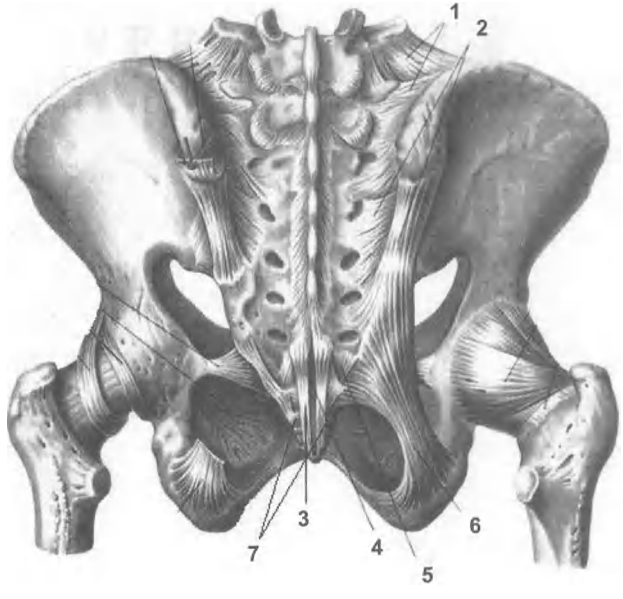

Vue arrière

1 - Ligament ilio-lombaire	479 681 598 718
2 - Ligament sacro-iliaque postérieur	574 981 319 818

3 - Ligament sacro-coccygien dorsal superficiel 498 688 715 301

4 - Ligament sacro-coccygien dorsal profond 594 072 319 401

5 - Ligament sacro-coccygien dorsal latéral 719 317 908 481

6 - Ligament sacro-tubéral 501 489 714 211

7 - Articulation lombo-coccygienne 291 081 407 201

LA COLONNE VERTÉBRALE

214 217 000 819

La colonne vertébrale

214 217 000 819

Image 45. **La colonne vertébrale**

1 - Vertèbres cervicales

312 218 212 918

2 - Vertèbres thoraciques

498 614 319 712

3 - Vertèbres lombaires

498 217 218 227

4 - Sacrum

514 716 814 226

5 - Coccyx

519 513 819 213

Image 46. **Les courbures et le canal vertébraux**

214 217 000 819

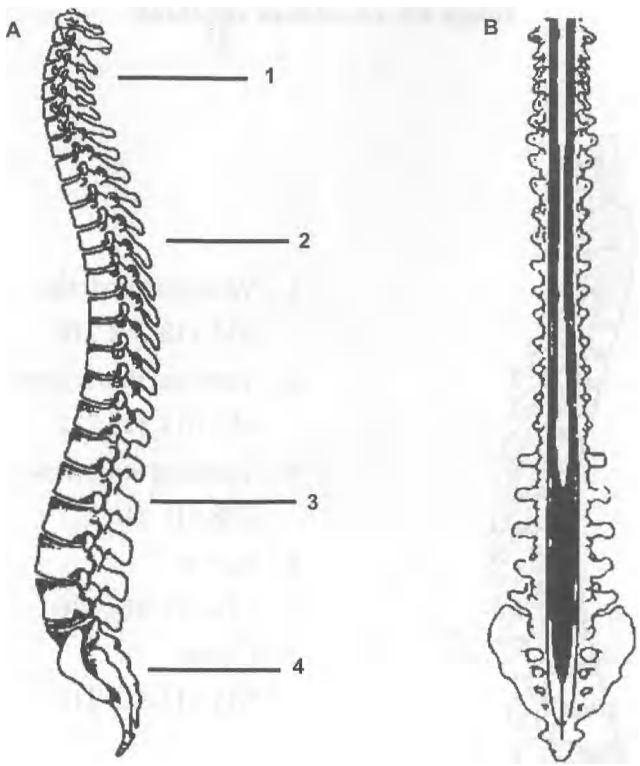

A - Courbures physiologiques de la colonne vertébrale 598 614 818 017

Les courbures primaires 319 892 964 718

2 - Cyphose thoracique 379 491 814 219

4 - Cyphose sacrée 598 061 719 898

Les courbures secondaires 598 718 419 061

1 - Lordose cervicale 898 716 919 041

4 - Lordose lombaire 584 061 718 910

B - Canal vertébral 521 314 818 214

Les vertèbres

498 641 319 048

Image 47. **La vertèbre cervicale**

219 213 319 721

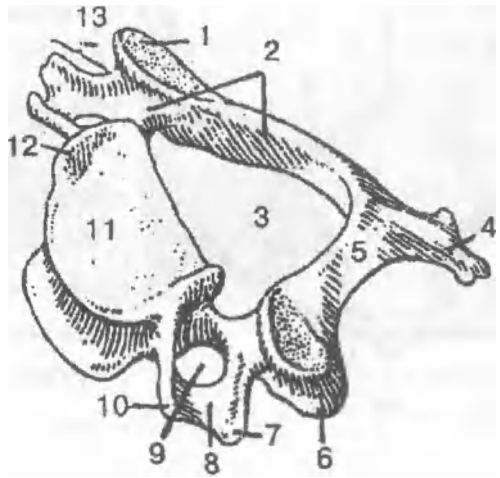

1 - Processus articulaire supérieur	519 317 819 217
2 - Arc vertébral	519 312 919 212
3 - Foramen vertébral	489 016 219 715
4 - Apophyse épineuse	548 312 848 212
5 - Lame de l'arc vertébral	517 218 317 918
6 - Processus articulaire inférieur	517 919 217 398
7 - Tubercule postérieur	498 641 518 919
8 - Sillon du nerf spinal	219 317 819 218
9 - Foramen de l'apophyse transverse	514 318 218 214
10 - Tubercule antérieur	519 218 218 914
11 - Corps vertébral	317 689 318 918
12 - Crochet du corps	316 219 819 478
13 - Apophyse transverse	548 610 989 241

Image 48. **La première vertèbre cervicale** (atlas)

914 816 978 496

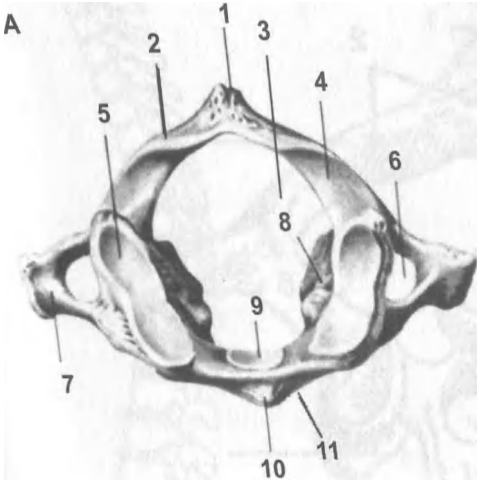

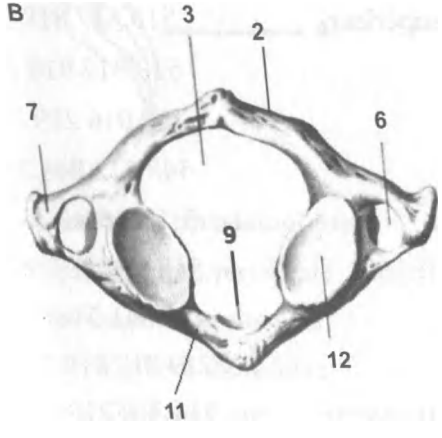

A - Vue de dessus

B - Vue de dessous

1 -Tubercule postérieur

894 217 319 498

2 - Arc postérieur

894 617 319 497

3 - Foramen vertébral

864 914 898 516

4 - Sillon de l'artère vertébrale

749 891 218 641

5 - Fossette articulaire supérieure

598 691 219 674

6 - Foramen transversaire (foramen du processus transverse)

649 581 219 697

7 - Processus transverse

584 316 918 581

8 - Masse latérale

648 719 218 541

9 - Fovéa dentis

694 197 289 471

10 - Tubercule antérieur

319 691 218 712

11 - Arc antérieur

649 171 218 641

12 - Fossette articulaire inférieure

598 317 294 817

Image 49. **La deuxième vertèbre cervicale** (axis)

794 218 849 617

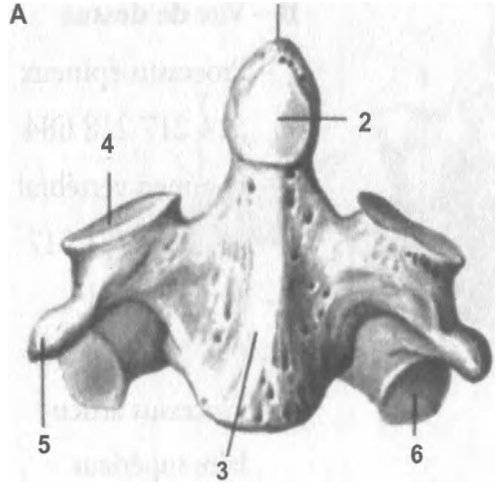

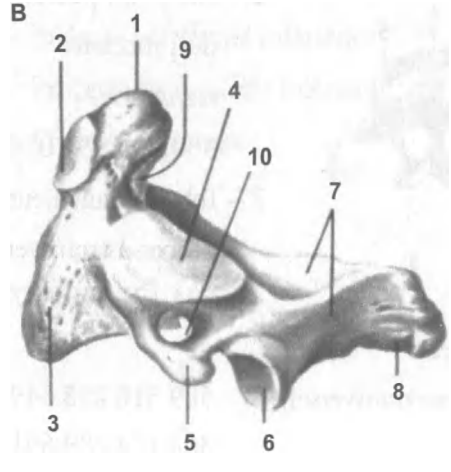

A - Vue de face

B - Vue de côté

1 - Dent de l'axis

598 314 219 617

2 - Facette articulaire antérieure

698 591 219 491

3 - Corps vertébral

598 674 218 514

4 - Processus articulaire supérieur

589 491 218 641

5 - Processus transverse

698 371 294 811

6 - Processus articulaire inférieur

541 319 894 361

7 - Arc vertébral

898 561 219 364

8 - Processus épineux

581 319 619 714

9 - Facette articulaire postérieure

598 612 819 498

10 - Foramen transversaire (foramen du processus transverse)

594 612 898 714

Image 50. **Les troisième et quatrième vertèbres cervicales**

498 317 218 641

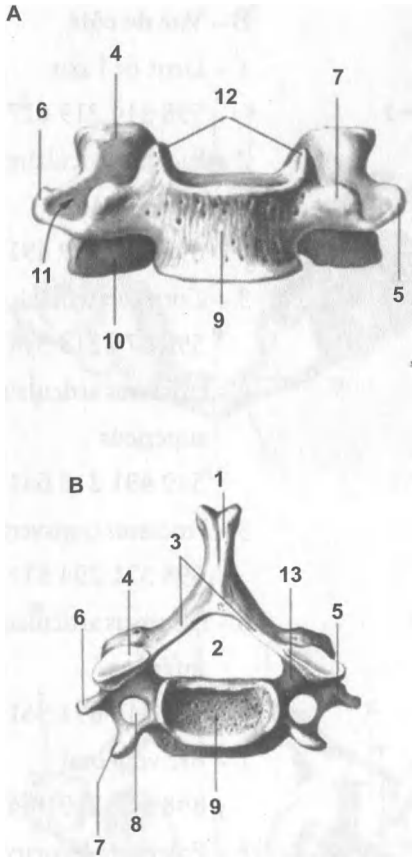

A - Vue de face

B - Vue de dessus

1 - Processus épineux

514 217 218 684

2 - Foramen vertébral

319 648 281 317

3 - Arc vertébral

094 701 278 649

4 - Processus articulaire supérieur

894 361 219 897

5 - Processus transverse

698 317 298 641

6 - Tubercule postérieur du processus transverse

550 694 931 074

7 - Tubercule antérieur du processus transverse

894 171 219 647

8 - Foramen transversaire (foramen du processus transverse) 589 316 298 649

9 - Corps vertébral 368 174 289 691

10 - Processus articulaire inférieur 519 581 314 891

11 - Sillon du nerf spinal 649 718 219 417

12 - Crochet du corps 689 517 219 618

13 - Incisure vertébrale supérieure 216 541 319 714

Image 51. **La septième vertèbre cervicale** (vue de côté)

319 648 519 647

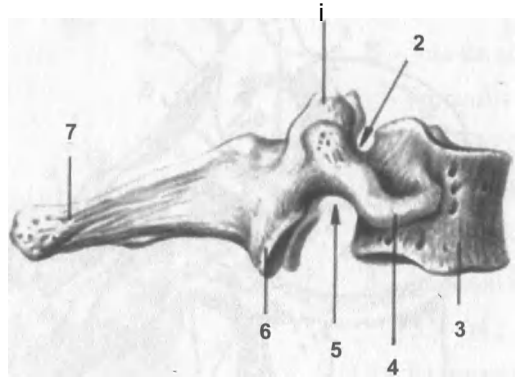

1 - Processus articulaire supérieur 584 216 549 617

2 - ncisure vertébrale supérieure 594 691 798 714

3 - Corps vertébral 918 694 319 896

4 - Processus transverse 698 712 319 641

5 - Incisure vertébrale inférieure 549 598 694 714

6 - Processus articulaire inférieur 548 217 219 691

7 - Processus épineux 591 316 214 278

Image 52. **Les vertèbres thoraciques**

498 614 319 712

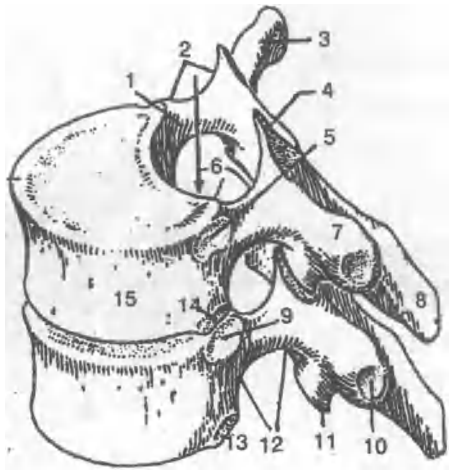

1 - Pédicule de l'arc vertébral	498 317 218 217
2 - Incisure vertébrale supérieure	598 641 398 011
3,7 - Apophyse transverse	598 642 319 811
4 - Processus articulaire supérieur	219 715 319 215
5, 9 - Facette costale supérieure	549 312 814 212
6 - Canal vertébral	521 314 818 214
8 - Apophyse épineuse	518 617 218 141
10 - Facette costale de l'apophyse transverse	821 319 921 819
11 - Processus articulaire inférieur	528 644 328 016
12 - Incisure vertébrale inférieure	512 314 812 214
13, 14 - Facette costale inférieure	019 712 219 312
15 - Corps vertébral	517 219 319 617

Image 53. **La vertèbre thoracique**

542 317 212 227

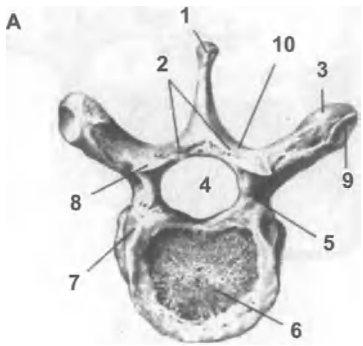

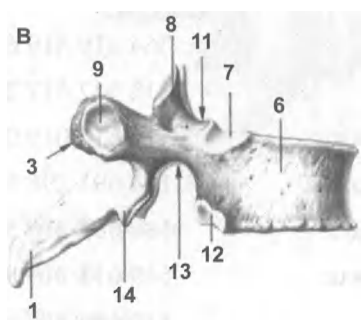

A - Vue de dessus

B - Vue de côté

1 - Processus épineux
518 617 218 141

2 - Arc vertébral
648 549 819 712

3 - Processus transverse
598 642 319 811

4 - Foramen vertébral
798 621 319 416

5 - Pédicule de l'arc vertébral
498 317 218 217

6 - Corps vertébral
517 219 319 617

7 - Facette costale supérieure
549 312 814 212

8 - Processus articulaire supérieur
219 715 319 215

9 - Facette costale du processus transverse	821 319 921 819
10 - Lame de l'arc vertébral	514 218 619 719
11 - Incisure vertébrale supérieure	598 641 398 011
12 - Facette costale inférieure	019 712 219 312
13 - Incisure vertébrale inférieure	512 314 812 214
14 - Processus articulaire inférieur	528 644 328 016

Image 54. **Les onzième et douzième vertèbres thoraciques**

(vue de côté)

496 819 318 514

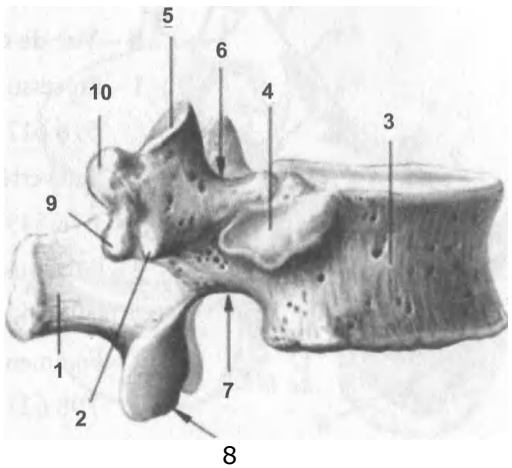

1 - Processus épineux	314 815 619 718
2 - Processus transverse	218 316 514 471
3 - Corps vertébral	364 819 519 614
4 - Facette costale	818 542 617 218
5 - Processus articulaire supérieur	514 618 019 008
6 - Incisure vertébrale supérieure	194 691 298 511
7 - Incisure vertébrale inférieure	584 317 218 584
8 - Processus articulaire inférieur	549 613 219 814
9 - Processus accessoire	319 684 218 514
10 - Apophyse mastoïde	819 617 218 419

Image 55. **La vertèbre lombaire**

618 513 219 418

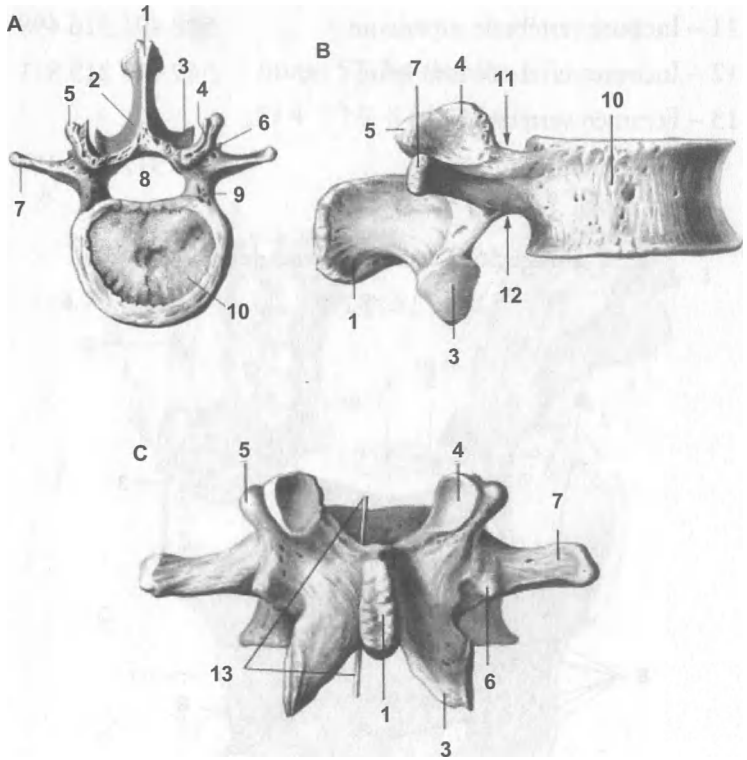

A - Vue de dessus

B - Vue de côté

C - Vue arrière

1 - Processus épineux	513 219 813 919
2 - Arc vertébral	391 498 016 217
3 - Processus articulaire inférieur	549 316 218 494
4 - Processus articulaire supérieur	519 617 299 017
5 - Apophyse mastoïde	918 217 319 817
6 - Processus accessoire	518 431 219 917
7 - Processus costal	317 814 214 917

8 - Foramen vertébral 828 317 918 217
9 - Pédicule de l'arc vertébral 498 317 218 217
10 - Corps vertébral 598 641 319 071
11 - Incisure vertébrale supérieure 518 491 316 498
12 - Incisure vertébrale inférieure 549 617 219 811
13 - Foramen vertébral
(projection du foramen) 828 317 918 217

Image 56. **Le sacrum** (vue de face)
514 716 814 226

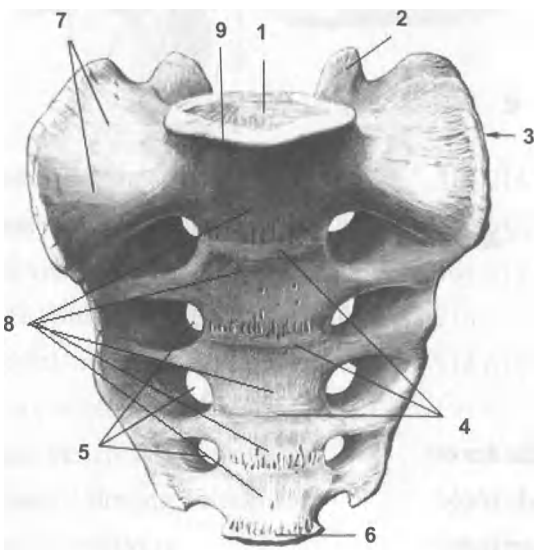

1 - Base du sacrum 519 614 319 812
2 - Processus articulaire supérieur 519 328 919 228
3 - Partie latérale 319 712 919 212
4 - Lignes transverses 428 213 328 333
5 - Foramens sacrés antérieurs 489 213 217 289
6 - Apex du sacrum 408 217 229 327
7 - Aile du sacrum 519 618 514 217
8 - Vertèbres sacrées 584 317 218 498
9 - Promontoire 428 327 828 227

Image 57. **Le sacrum**
514 716 814 226

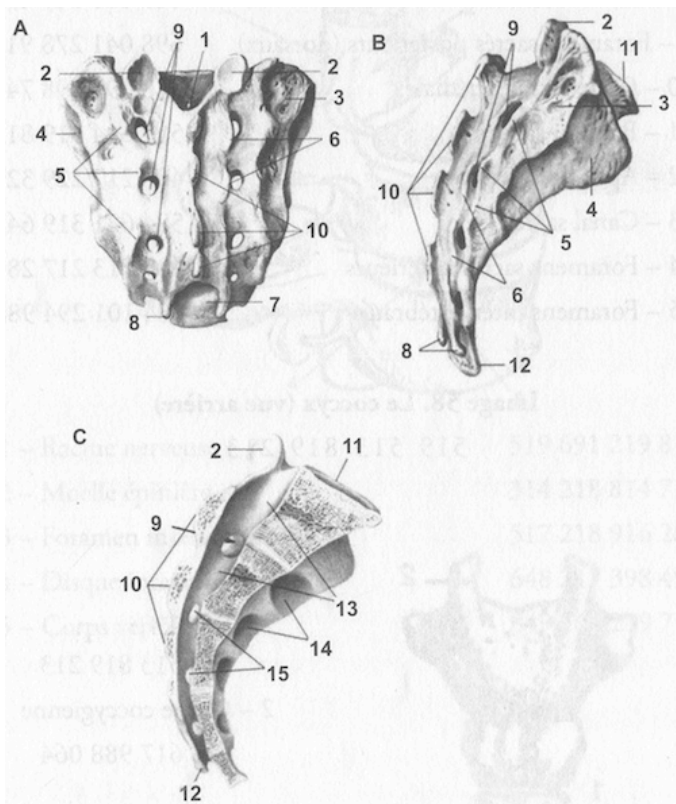

A - Vue postérieure (face dorsale)
B - Vue de côté
C - Vue interne (plan longitudinal médian)
1 - Canal sacral (foramen supérieur) 594 647 289 391
2 - Processus articulaire supérieur 519 328 919 228

3 - Tubérosité du sacrum 498 316 219 471
4 - Surface auriculaire 594 561 378 541
5 - Crête sacrale latérale 584 816 219 471
6 - Crête sacrale intermédiaire 319 641 281 491
7 - Hiatus sacré (orifice inférieur du canal sacral) 316 218 319 091
8 - Cornes sacrales 019 001 849 471
9 - Foramens sacrés postérieurs (dorsaux) 698 041 278 914
10 - Crête sacrale médiale 518 691 298 741
11 - Base du sacrum 519 614 319 812
12 - Apex du sacrum 408 217 229 327
13 - Canal sacral 584 621 319 647
14 - Foramens sacrés antérieurs 489 213 217 289
15 - Foramens intervertébraux 584 101 294 988

Image 58. **Le coccyx** (vue arrière)
519 513 819 213

1 - Coccyx
519 513 819 213
2 - Corne coccygienne
428 617 988 064

Le segment vertébral-moteur
714 986 219 694

Image 59. **Le segment vertébral-moteur**
714 986 219 694

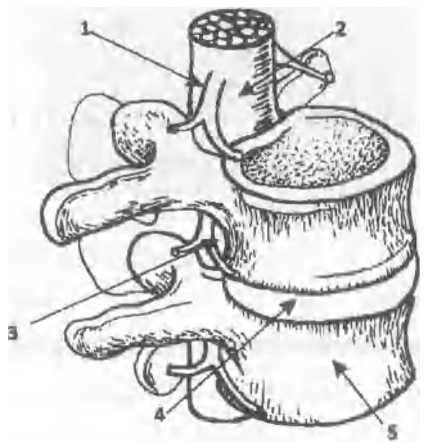

1 - Racine nerveuse 519 691 219 814
2 - Moelle épinière 314 218 814 719
3 - Foramen intervertébral 517 218 916 284
4 - Disque intervertébral 648 217 398 491
5 - Corps vertébral 849 161 219 711

Les muscles et ligaments vertébraux

549 641 894 217

Les articulations vertébrales

894 216 819 048

Les syndesmoses (ligaments)

de la colonne vertébrale

398 947 019 818

Les synchondroses de la colonne vertébrale

519 312 498 061

Les articulations de la colonne vertébrale

719 891 498 061

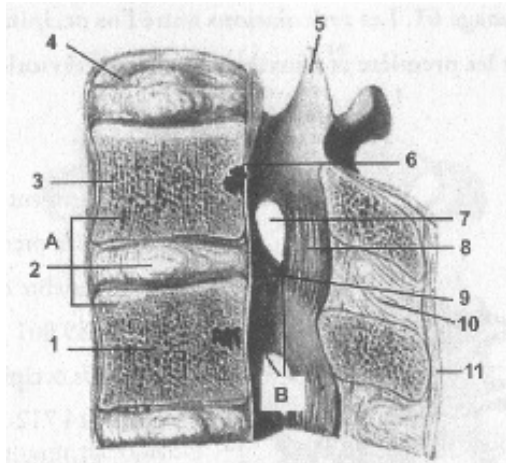

Image 60. **Les articulations vertébrales**

(séquence sagittale au niveau de deux vertèbres lombaires)

498 641 917 218

A - Symphyse intervertébrale	898 064 317 219
B - Articulation zygapophysaire	598 071 319 481
1 - Corps vertébral	598 641 319 071
2 - Noyau pulpeux du disque intervertébral	514 891 518 316
3 - Ligament longitudinal antérieur	689 174 219 814
4 - Anneau fibreux du disque intervertébral	498 716 219 714
5 - Processus articulaire supérieur de la vertèbre lombaire	519 617 299 017
6 - Ligament longitudinal postérieur	548 691 218 781
7 - Foramen intervertébral du rachis lombaire	916 048 219 491
8 - Ligament jaune	549 488 194 016
9 - Capsule articulaire de l'articulation zygapophysaire (intervertébrale)	364 198 278 471
10 - Ligament interépineux	368 142 894 216
11 - Ligament supraépineux	890 149 540 691

Image 61. **Les articulations entre l'os occipital et les première et deuxième vertèbres cervicales**

379 814 919 718

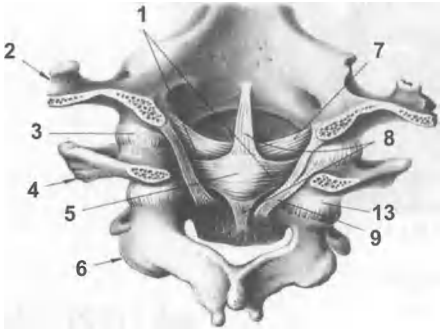

1 - Ligament transverse de la première vertèbre cervicale 589 061 319 498

2 - Os occipital 214 712 219 312

3 - Articulation atlanto-occipitale 591 048 319 491

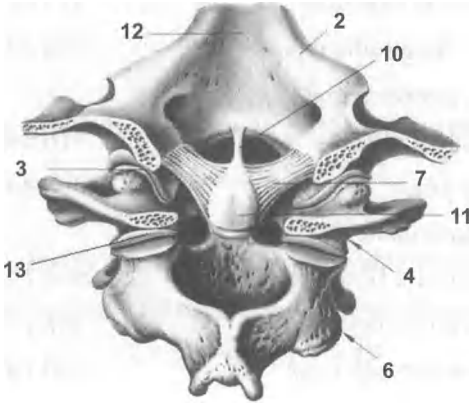

4 - Première vertèbre cervicale 914 816 978 496

5 - Ligament cruciforme de l'atlas 618 717 919 064

6 - Deuxième vertèbre cervicale 794 218 849 617

7 - Ligament alaire 598 019 318 941

8 - Faisceaux longitudinaux 541 061 719 801

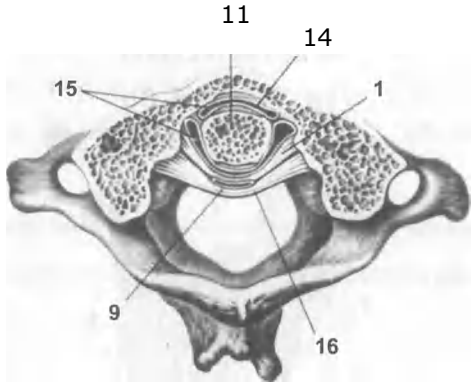

9 - Membrane tectoriale 391 848 319 064

10 - Ligament de l'apex de la dent 718 391 898 491

11 - Dent de l'axis 598 314 219 617

12 - Clivus de la base du crâne 319 778 219 228

13 - Articulation atlanto-axoïdienne latérale 719 891 906 217

14 - Articulation atlanto-axoïdienne médiane 598 089 319 641

15 - Cavité articulaire de l'articulation atlanto-axoïdienne médiane 489 061 918 217

16 - Ligament longitudinal postérieur 384 619 818 061

Image 62. **Les ligaments des vertèbres cervicales et de l'os occipital**

718 119 498 064

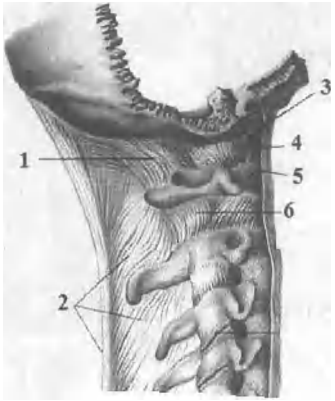

1 - Membrane atlanto-occipitale postérieure	598 817 319 048
2 - Ligament de la nuque	517 319 049 811
3 - Ligament atlanto-occipital antérieur	490 391 849 061
4 - Membrane atlanto-occipitale antérieure	598 601 819 317
5 - Première vertèbre cervicale	914 816 978 496
6 - Articulation atlanto-axoïdienne latérale	719 891 906 217

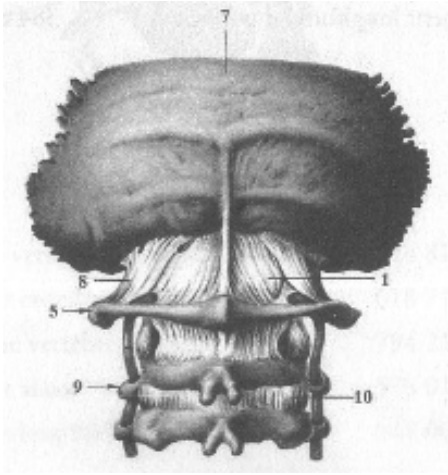

7 - Os occipital	214 712 219 312
8 -Ligament atlanto-occipital latéral	974 217 298 041
9 - Deuxième vertèbre cervicale	794 218 849 617
10 - Ligament jaune	549 488 194 016

Image 63. **Les ligaments vertébraux** (thorax) **et les ligaments des articulations costovertébrales**

514 891 219 478

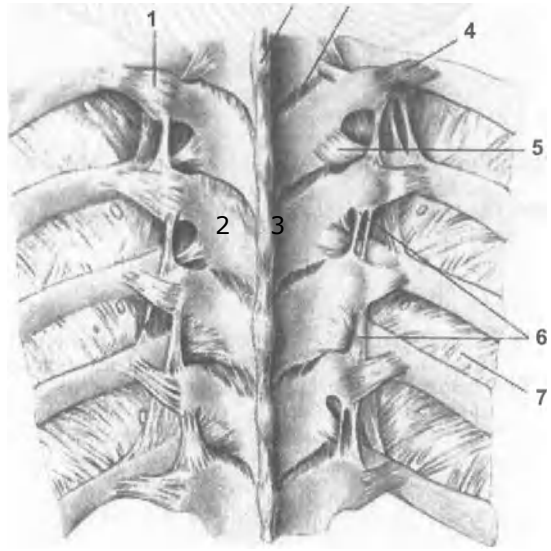

1 - Ligament du tubercule de la côte	698 714 219 811
2 - Ligament supraépineux	890 149 540 691
3 - Ligament jaune	549 488 194 016
4 - Ligament costo-transversaire	948 691 219 794
5 - Ligament costo-transversaire latéral	894 691 217 474
6 - Ligaments intertransversaires	514 692 899 714
7 - Membrane intercostale interne	598 726 319 491

Image 64. **Le disque intervertébral**

648 217 398 491

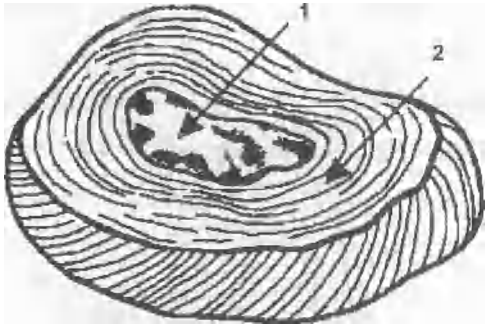

1 - Noyau pulpeux 514 891 518 316

2 - Noyau fibreux 498 716 219 714

LE SYSTÈME DENTOFACIAL

216 548 219 716

Les os du crâne facial

219 715 819 815

Les os du nez et du palais

Image 65. **Le squelette ostéo-cartilagineux du nez**

948 547 219 641

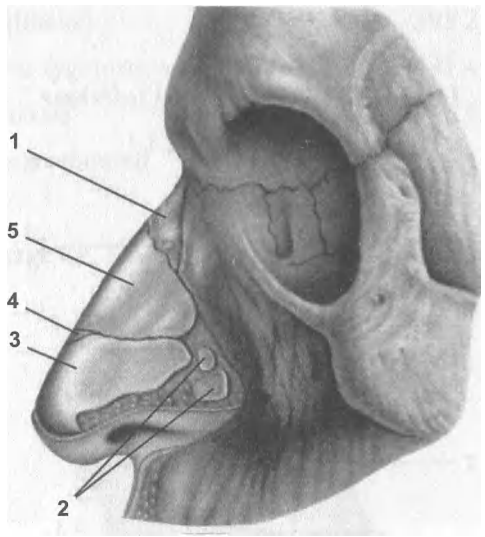

1 - Os nasal	518 314 818 214
2 - Petits cartilages alaires	916 814 219 618
3 - Grand cartilage alaire	719 316 219 494
4 - Cartilage nasal accessoire	989 617 318 641
5 - Cartilage latéral	289 671 318 491

Image 66. **L’os nasal**

518 314 818 214

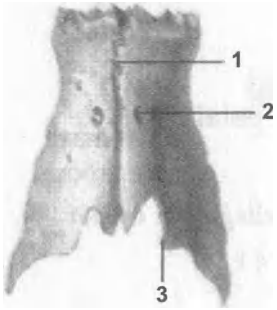

1 - Suture internasale

514 314 218 578

2 - Orifice nasal

316 581 314 891

3 - Bord libre

598 641 719 471

Image 67. **Le cornet nasal inférieur**

478 218 918 217

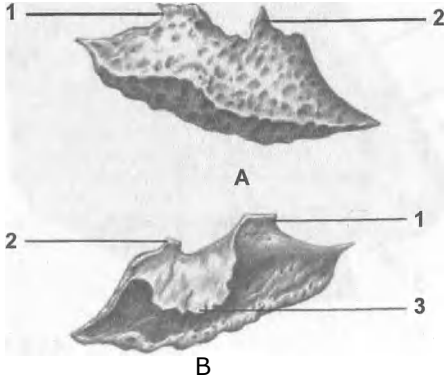

A - Vue extérieure

B - Vue intérieure

1 - Processus lacrymal	548 671 219 491
2 - Processus ethmoidal	491 897 319 648
3 - Processus maxillaire	589 671 918 491

Image 68. **L’os zygomatique**

899 817 818 317

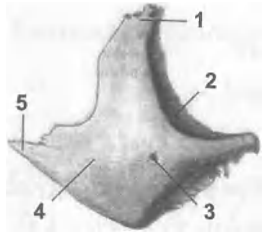

1 - Processus frontal	590 421 019 481
2 - Face orbitaire	398 216 718 226
3 - Foramen zygomatico-orbitaire	481 467 219 891
4 - Face latérale	948 541 698 718
5 - Processus temporal	694 171 219 548

Image 69. **L’os palatin** (droit) (vue extérieure)

641 214 918 516

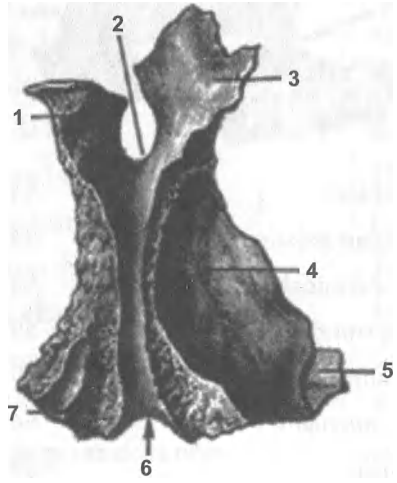

1 - Processus sphénoïdal	584 218 649 317
2 - Incisure sphéno-palatine	549 641 219 811

3 - Processus orbital	549 674 317 581
4 - Lame perpendiculaire	648 171 219 549
5 - Lame horizontale	691 814 217 318
6 - Sillon palatin grand	394 698 598 714
7 - Processus pyramidal	691 218 514 317

Image 70. **L'os palatin droit** (vue intérieure)
649 314 219 516

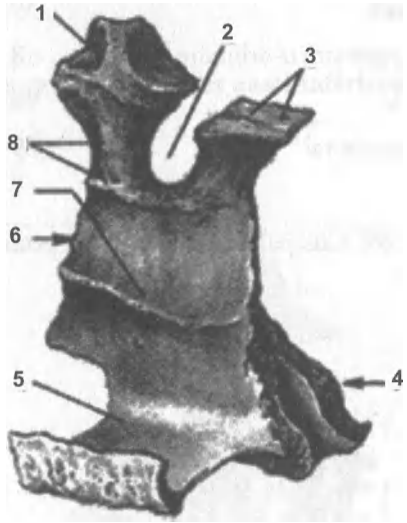

1 - Processus orbital	549 674 317 581
2 - Incisure sphéno-palatine	549 612 814 914
3 - Processus sphénoïdal	584 218 649 317
4 - Processus pyramidal	691 218 514 317
5 - Lame horizontale	691 814 217 318
6 - Lame perpendiculaire	648 171 219 549
7 - Crête conchale	698 314 218 597
8 - Crête ethmoïdale	467 214 909 814

Les dents

698 314 819 516

Image 71. **La structure générale de la dent**

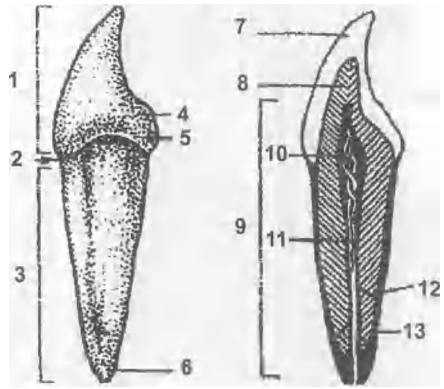

1 - Couronne de la dent	319 594 938 716
2 - Col de la dent	364 891 219 491
3 - Racine de la dent	368 549 188 794
4 - Tubercule de la dent	364 198 501 248
5 - Cingulum de la dent	601 549 906 714
6 - Apex de la racine de la dent	594 315 498 515
7 - Émail de la dent	618 374 898 161
8 - Dentine, tissu dentaire	548 314 819 716
9 - Pulpe de la dent	316 481 219 649
10 - Pulpe coronale	318 691 378 549
11 - Pulpe radiculaire	471 649 398 591
12 - Canal de la racine de la dent	894 160 498 497
13 - Cément dentaire	314 861 219 492

Image 72. **La structure de la dent et des tissus l'entourant**

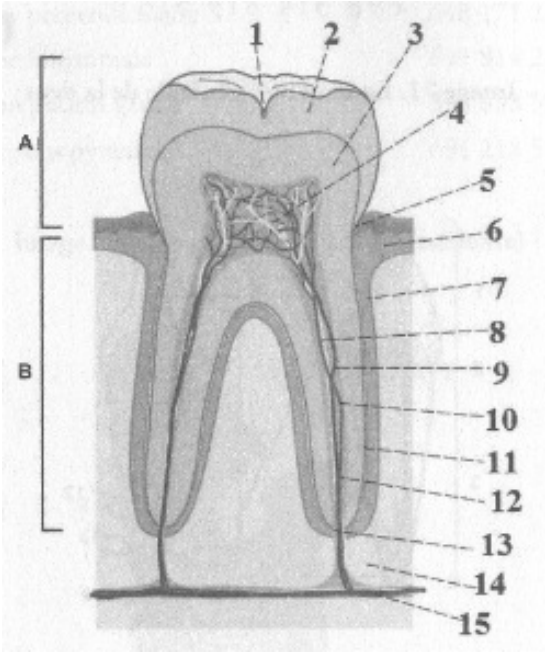

A - Couronne 319 594 938 716
B - Racine 368 549 188 794
1 - Fissure 546 218 319 491
2 - Émail de la dent 618 374 898 161
3 -Dentine 548 314 819 716
4 - Pulpe 316 481 219 649
5 - Sillon gingival 518 316 549 471
6 - Gencive 479 168 318 517
7 - Périodonte 482 316 219 491
8 - Neurofibres 478 514 219 671
9 - Artères 894 378 214 316
10 - Veines 319 681 214 784
11 - Cément de la racine 698 541 349 172
12 - Canal de la racine de la dent 894 160 498 497
13 - Foramen apical 485 694 319 718
14 - Os maxillaire/mandibulaire 318 549 468 019
15 - Faisceau vasculo-nerveux magistral 589 314 694 817

Image 73. **La structure du segment alvéo-dentaire**

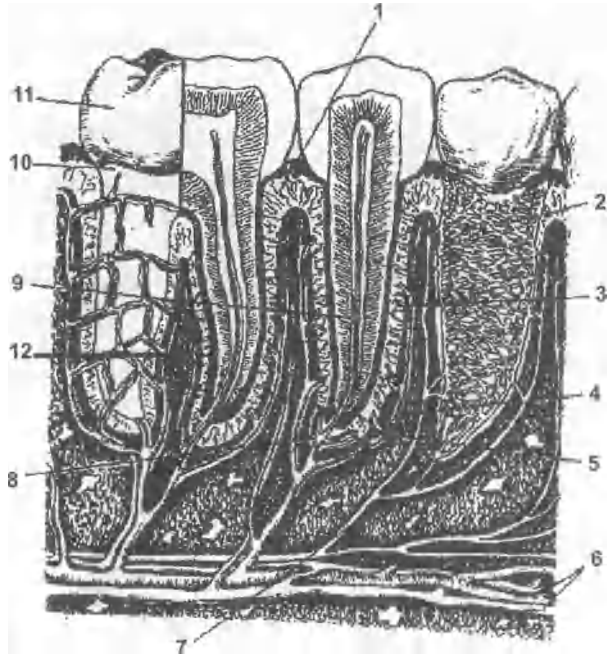

1 - Fibres gingivo-dentaires 461 519 819 479
2 - Paroi alvéolaire 584 216 319 481
3 - Fibres alvéolo-dentaires 584 167 219 491
4 - Rameau alvéolo-gingival 479 581 316 594
5 - Vaisseaux du périodonte 891 478 219 641
6 - Artères et veines de la mâchoire 984 517 219 648
7 - Rameau dentaire du nerf 794 281 298 641
8 - Fond de l'alvéole 514 368 791 498
9 - Racine de la dent 368 549 188 794

10 - Col de la dent 364 891 219 491

11 - Couronne de la dent 319 594 938716

12 - Fibres interdentaires (interradiculaires) 314 548 914 281

Image 74. **Les dents permanentes du maxillaire et de la mandibule** (côté droit)
594 819 498 716

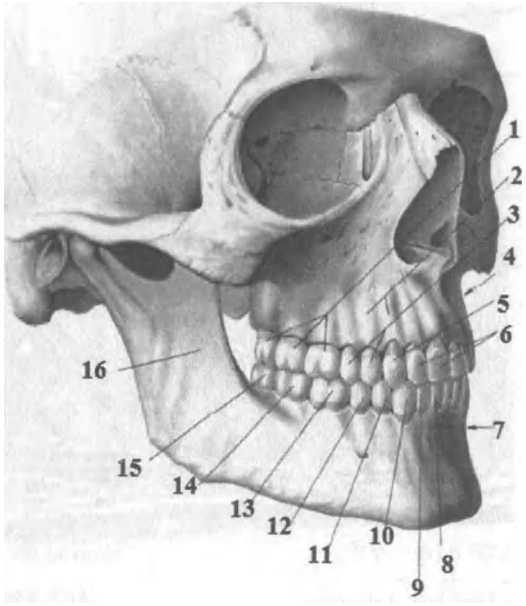

1 - Molaires supérieures (de gauche à droite) 648 517 216 318

- Molaire supérieure III 498 516 318 914
- Molaire supérieure II 548 491 478 694
- Molaire supérieure I 369 481 319 478

2 - Jugums alvéolaires du maxillaire 594 318 498 614

3 - Prémolaires supérieures (de gauche à droite) 694 317 219 498

- Prémolaire supérieure II 378 498 514 916
- Prémolaire supérieure I 614 218 598 781

4 - Processus alvéolaire du maxillaire 986 149 318 518

5 - Canine supérieure 471 891 016 498

6 - Incisives supérieures (de gauche à droite) 519 671 918 459

- Incisive latérale 549 691 718 548
- Incisive centrale 914 501 604 981

7 - Partie alvéolaire de la mandibule 519 317 218 498

8 - Incisive centrale inférieure 584 716 914 219

9 - Incisive latérale inférieure 989 718 514 601

10 - Canine inférieure 589 318 499 164

11 - Prémolaire inférieure I 518 016 949 148

12 - Prémolaire inférieure II 514 817 316 498

13 - Molaire inférieure I 518 495 319 816

14 - Molaire inférieure II 519 814 317 984

15 - Molaire inférieure III 541 219 016 898

16 - Mandibule 514 712 814 312

Image 75. **L'incisive centrale supérieure droite**
914 501 604 981

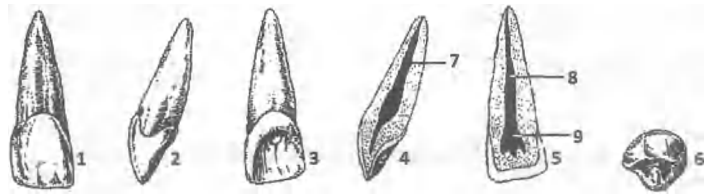

1 - Face vestibulaire 514 568 219 317

2 - Face mésiale 314 894 319 892

3 - Face linguale 598 471 219 648

4 - Vue interne (vue vestibulo-linguale) 914 818 016 594

5 - Vue interne (vue mésio-distale) 317 648 519 819

6 - Face incisive 498 317 219 491

7 - Canal de la racine de la dent 584 641 718 547

8 - Pulpe radiculaire 910 849 189 647

9 - Pulpe coronale 319 648 519 987

Image 76. **L'incisive latérale supérieure droite**

549 691 718 548

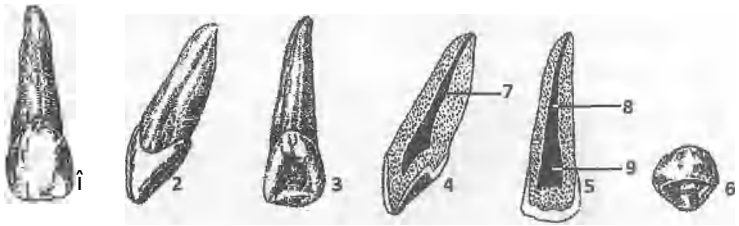

1 - Face vestibulaire 514 916 917 518

2 - Face mésiale 498 614 819 594

3 - Face linguale 718 594 319 681

4 - Vue interne (vue vestibulo-linguale) 594 716 918 916

5 - Vue interne (vue mésio-distale) 549 817 394 617

6 - Face incisive 581 349 619 817

7 - Canal de la racine de la dent 398 641 594 818

8 - Pulpe radiculaire 318 691 219 348

9 - Pulpe coronale 819 601 698 149

Image 77. **L'incisive centrale inférieure droite**

584 716 914 219

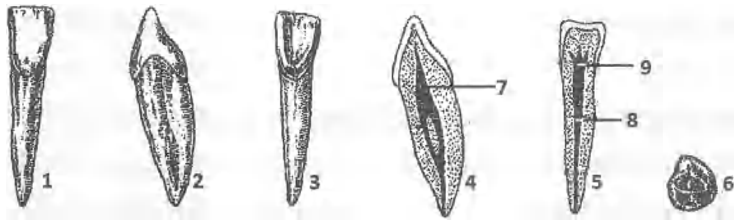

1 - Face vestibulaire 496 198 216 291

2 - Face mésiale 481 478 594 316

3 - Face linguale 894 594 168 917

4 - Vue interne (vue vestibulo-linguale) 198 649 319 641

5 - Vue interne (vue mésio-distale) 894 167 318 491

6 - Face incisive 364 517 219 581

7 - Canal de la racine de la dent 318 694 369 471

8 - Pulpe radiculaire 949 516 817 919

9 - Pulpe coronale 949 190 649 871

Image 78. **L'incisive latérale inférieure droite**

989 718 514 601

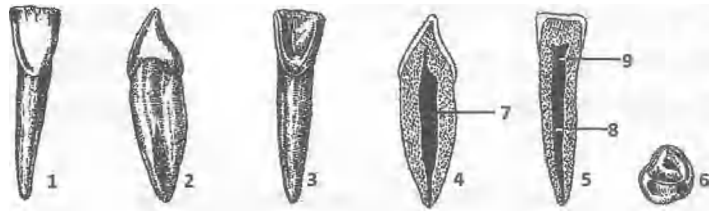

1 - Face vestibulaire 694 187 219 471

2 - Face mésiale 468 271 398 497

3 - Face linguale 894 561 219 718

4 - Vue interne (vue vestibulo-linguale) 584 617 219 714

5 - Vue interne (vue mésio-distale) 689 318 514 712

6 - Face incisive 799 814 218 564

7 - Canal de la racine de la dent 368 194 371 894

8 - Pulpe radiculaire 964 718 519 498

9 - Pulpe coronale 698 318 564 917

Image 79. **La canine supérieure droite**
471 891 016 498

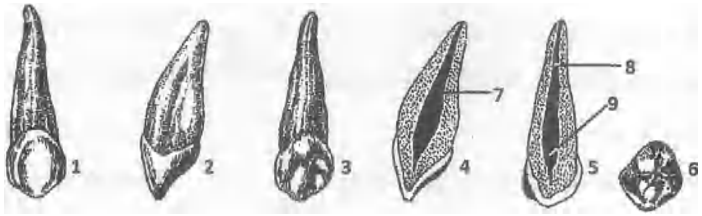

1 - Face vestibulaire	468 716 519 498
2 - Face mésiale	618 471 219 472
3 - Face linguale	549 316 218 581
4 - Vue interne (vue vestibulo-linguale)	918 516 319 491
5 - Vue interne (vue mésio-distale)	819 604 916 989
6 - Face incisive	641 519 318 491
7 - Canal de la racine de la dent	384 591 689 374
8 - Pulpe radiculaire	989 618 054 132
9 - Pulpe coronale	968 108 604 271

Image 80. **La canine inférieure droite**
589 318 499 164

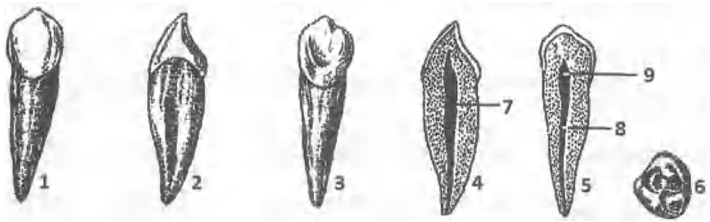

1 - Face vestibulaire	698 318 514 217
2 - Face mésiale	319 481 318 641
3 - Face linguale	948 564 008 904
4 - Vue interne (vue vestibulo-linguale)	368 014 218 548
5 - Vue interne (vue mésio-distale)	648 781 949 064
6 - Face incisive	546 981 941 568
7 - Canal de la racine de la dent	714 801 498 541
8 - Pulpe radiculaire	398 614 718 581
9 - Pulpe coronale	689 841 598 671

Image 81. **La première prémolaire supérieure** (droite)
614 218 598 781

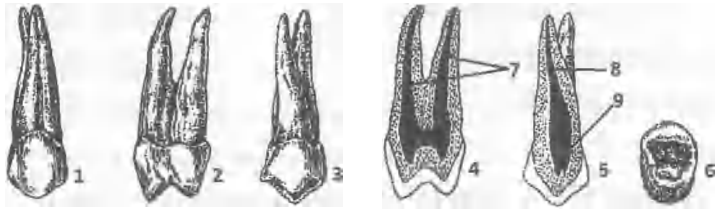

1 - Face vestibulaire	691 378 594 971
2 - Face mésiale	498 617 898 541
3 - Face linguale	894 671 219 818
4 - Vue interne (vue vestibulo-linguale)	594 317 589 171
5 - Vue interne (vue mésio-distale)	478 641 219 891
6 - Surface occlusale	364 810 068 901
7 - Canaux de la racine de la dent	301 514 609 891
8 - Pulpe radiculaire	478 514 618 717
9 - Pulpe coronale	984 018 198 601

Image 82. **La deuxième prémolaire supérieure** (droite)
378 498 514 916

1 - Face vestibulaire	948 561 319 818
2 - Face mésiale	319 801 498 561
3 - Face linguale	467 219 498 541

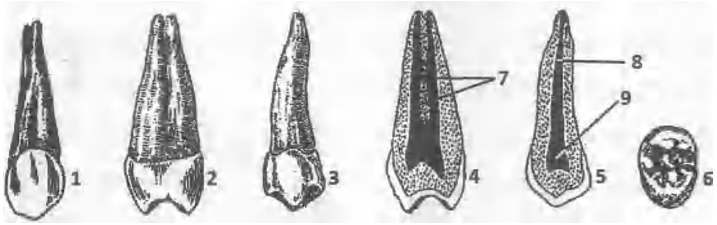

4 - Vue interne (vue vestibulo-linguale)	398 548 589 617
5 - Vue interne (vue mésio-distale)	549 819 319 616
6 - Surface occlusale	389 541 379 818
7 - Canaux de la racine de la dent	648 546 319 818
8 - Pulpe radiculaire	894 361 219 012
9 - Pulpe coronale	064 541 218 317

Image 83. **La première prémolaire supérieure** (droite)

518 016 949 148

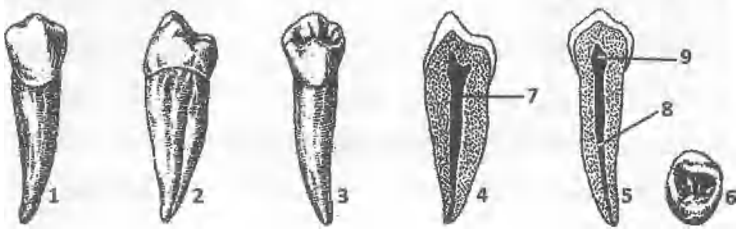

1 - Face vestibulaire	491 679 318 541
2 - Face mésiale	549 361 819 497
3 - Face linguale	469 817 318 541
4 - Vue interne (vue vestibulo-linguale)	918 541 219 678
5 - Vue interne (vue mésio-distale)	814 319 898 514
6 - Surface occlusale	518 618 319 714
7 - Canal de la racine de la dent	589 491 319 614
8 - Pulpe radiculaire	214 819 318 617
9 - Pulpe coronale	914 218 519 641

Image 84. **La deuxième prémolaire inférieure** (droite)

514 817 316 498

1 - Face vestibulaire	698 517 319 641
2 - Face mésiale	498 549 617 218
3 - Face linguale	894 317 218 491
4 - Vue interne (vue vestibulo-linguale)	469 518 519 641
5 - Vue interne (vue mésio-distale)	898 416 019 848
6 - Surface occlusale	841 319 718 491
7 - Canal de la racine de la dent	198 741 894 848
8 - Pulpe radiculaire	168 571 219 491
9 - Pulpe coronale	371 549 619 814

Image 85. **La première molaire supérieure** (droite)

369 481 319 478

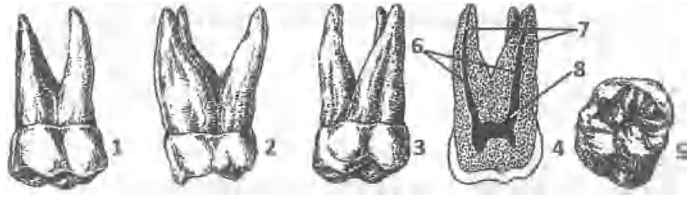

1 - Face vestibulaire	491 614 718 541
2 - Face mésiale	849 516 219 491
3 - Face linguale	684 517 919 486
4 - Vue interne (vue vestibulo-linguale)	584 619 319 814
5 - Surface occlusale	714 318 519 491

6 - Canaux des racines de la dent 584 168 319 817
7 - Pulpe radiculaire 849 516 914 971
8 - Pulpe coronale 318 619 819 498

Image 86. **La deuxième molaire supérieure** (droite)

548 491 478 694

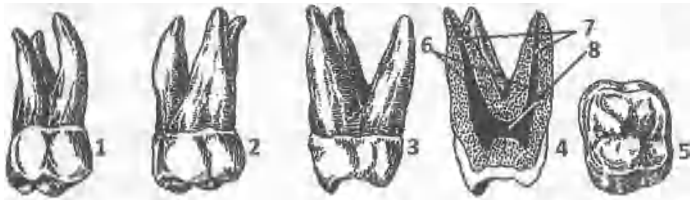

1 - Face vestibulaire 984 316 219 491
2 - Face mésiale 894 518 319 491
3 - Face linguale 914 816 317 498
4 - Vue interne (vue vestibulo-linguale) 467 548 919 814
5 - Surface occlusale 214 391 898 491
6 - Canaux des racines de la dent 316 598 368 498
7 - Pulpe radiculaire 648 718 598 647
8 - Pulpe coronale 894 517 219 498

Image 87. **La troisième molaire supérieure** (droite)

498 516 318 914

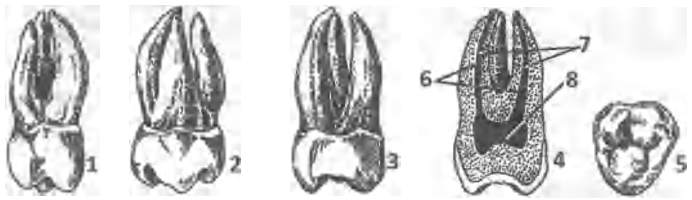

1 - Face vestibulaire 618 317 319 641
2 - Face mésiale 689 064 194 818
3 - Face linguale 549 618 598 641
4 - Vue interne (vue vestibulo-linguale) 594 198 574 891
5 - Surface occlusale 648 591 318 498
6 - Canaux des racines de la dent 491 684 898 718
7 - Pulpe radiculaire 964 717 988 149
8 - Pulpe coronale 691 948 584 161

Image 88. **La première molaire inférieure** (droite)

518 495 319 816

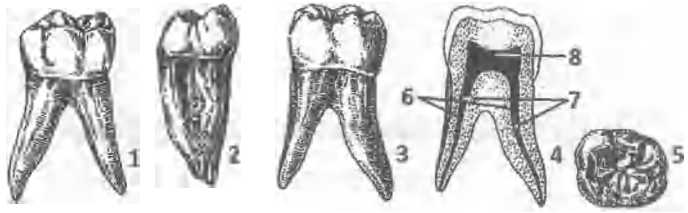

1 - Face vestibulaire 319 681 519 894
2 - Face mésiale 594 895 619 548
3 - Face linguale 694 171 218 541
4 - Vue interne (vue vestibulo-linguale) 549 614 318 541
5 - Surface occlusale 364 918 598714
6 - Canaux des racines de la dent 398 617 218 541
7 - Pulpe radiculaire 368 914 898 516
8 - Pulpe coronale 319 891 498 516

Image 89. **La deuxième molaire inférieure** (droite)

519 814 317 984

1 - Face vestibulaire 419 815 319 641
2 - Face mésiale 498 316 318 541
3 - Face linguale 398 814 516 817

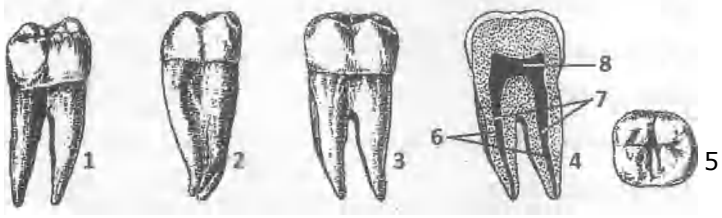

4 - Vue interne (vue vestibulo-linguale)	648 512 319 649
5 - Surface occlusale	504 194 981 369
6 - Canaux des racines de la dent	894 016 598 641
7 - Pulpe radiculaire	897 491 219 896
8 - Pulpe coronale	649 197 598 621

Image 90. **La troisième molaire inférieure** (droite)
541 219 016 898

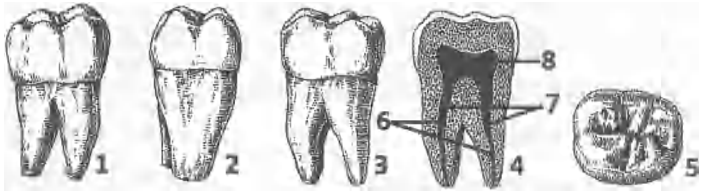

1 - Face vestibulaire	617 218 219 491
2 - Face mésiale	694 817 219 497
3 - Face linguale	694 181 364 971
4 - Vue interne (vue vestibulo-linguale)	598 564 319 916
5 - Surface occlusale	948 516 218 949
6 - Canaux des racines de la dent	319 491 819 647
7 - Pulpe radiculaire	384 161 219 491
8 - Pulpe coronale	489 516 219 496

Image 91. **L'incisive de lait centrale supérieure** (droite)
491 518 614 917

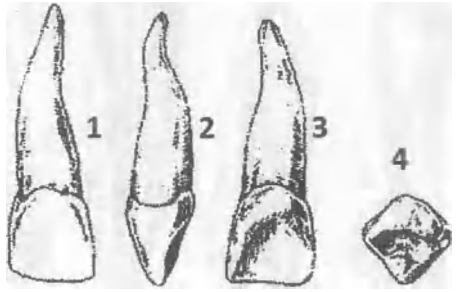

1 - Face vestibulaire	549 618 219 814
2 - Face mésiale	497 148 684 598
3 - Face linguale	248 379 064 898
4 - Face incisive	491 897 319 648

Image 92. **L'incisive de lait latérale supérieure** (droite)
514 218 919 648

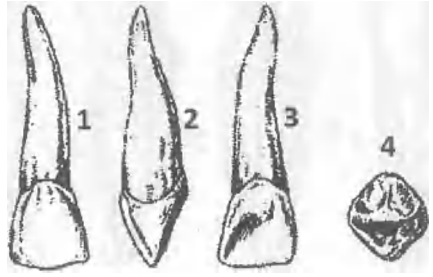

1 - Face vestibulaire	894 161 917 219
2 - Face mésiale	619 517 319 498
3 - Face linguale	689 142 398 191
4 - Face incisive	218 589 649 171

Image 93. **L'incisive de lait centrale inférieure** (droite)
584 917 219 498

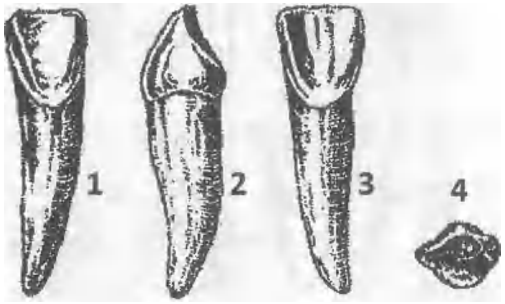

1 - Face vestibulaire	514 817 219 648
2 - Face mésiale	491 318 598 641
3 - Face linguale	461 598 597 681
4 - Face incisive	364 891 989 641

Image 94. **L'incisive de lait latérale inférieure** (droite)
817 219 491

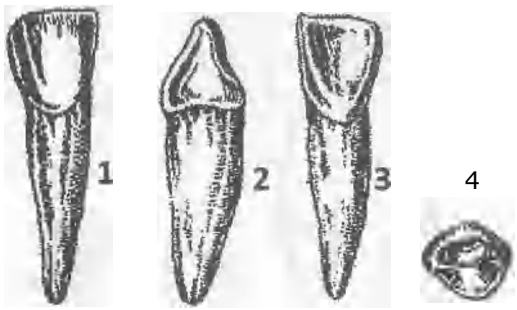

1 - Face vestibulaire	589 314 898 614
2 - Face mésiale	386 149 948 511
3 - Face linguale	064 018 549 898
4 - Face incisive	414 818 619 710

Image 95. **La canine de lait supérieure droite**
498 691 798 541

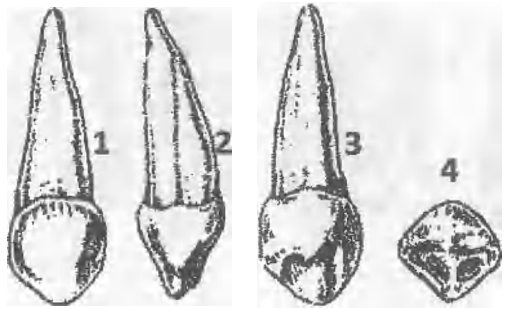

1 - Face vestibulaire	461 318 518 491
2 - Face mésiale	498 641 319 814
3 - Face linguale	467 891 218 541
4 - Face incisive	318 491 819 617

Image 96. **La canine de lait inférieure droite**
619 317 218 491

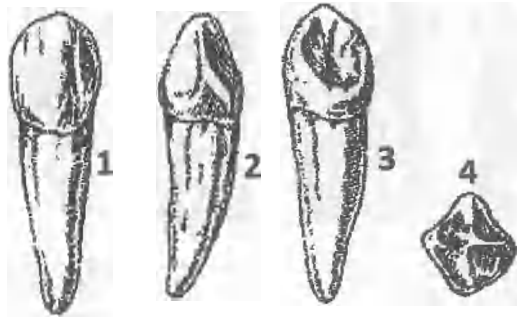

1 - Face vestibulaire	218 491 319 614
2 - Face mésiale	214 817 218 316
3 - Face lingua	648 517 219 491
4 - Face incisive	314 817 219 617

Image 97. **La première molaire de lait supérieure droite**

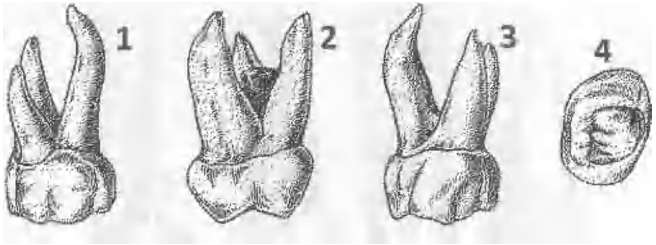

1 - Face vestibulaire	491 718 519 497
2 - Face mésiale	519 491 619 819
3 - Face linguale	594 817 219 648
4 - Surface occlusale	948 218 319 681

Image 98. **La deuxième molaire de lait supérieure droite**

594 168 319 491

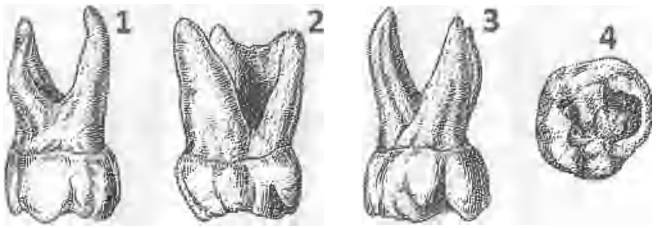

1 - Face vestibulaire	619 518 219 491
2 - Face mésiale	469 518 319 641
3 - Face linguale	584 316 589 491
4 - Surface occlusale	891 498 319 617

Image 99. **La première molaire de lait inférieure droite**

491 318 519 491

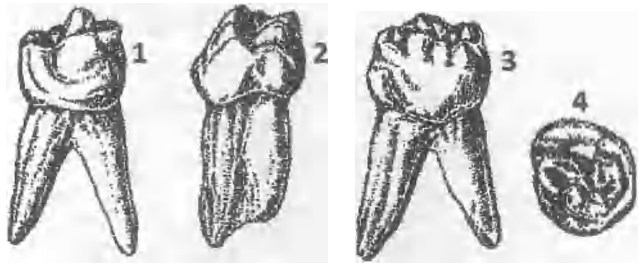

1 - Face vestibulaire	614 817 219 817
2 - Face mésiale	486 519 719 491
3 - Face linguale	801 698 598 641
4 - Surface occlusale	894 219 319 810

Image 100. **La deuxième molaire de lait inférieure droite**

916 849 319 496

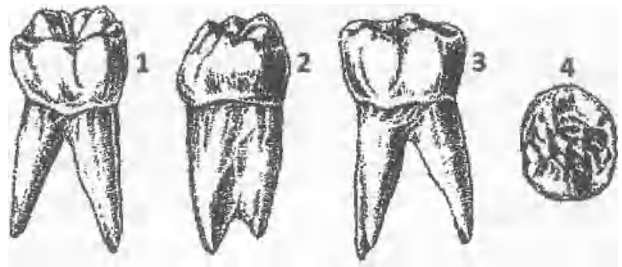

1 - Face vestibulaire	514 217 218 494
2 - Face mésiale	584 564 819 718
3 - Face linguale	496 549 891 548
4 - Surface occlusale	649 817 918 491

Les organes de la cavité orale

Image 101. **La lèvre**
498 718 494 814

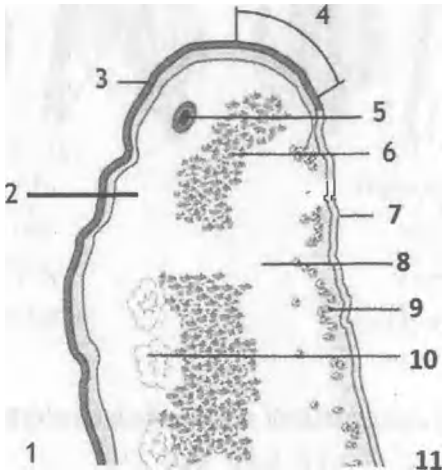

1 - Face interne de la lèvre (cavité orale)	496 849 316 714
2 - Sous-muqueuse	498 516 219 314
3 - Muqueuse	589 641 218 549
4 - Vermillon	598 714 219 674
5 - Artère labiale	598 541 219 491
6 - Muscle orbiculaire de la bouche	548 321 818 221
7 - Epiderme	598 718 889 888
8 - Tissu adipeux	594 817 549 164
9 - Glandes du goût	198 016 219 491
10 - Glandes salivaires	584 106 294 647
11 - Face externe de la lèvre (peau)	319 891 498 647

Image 102. **La cavité buccale et le gosier**
489 461 319 891

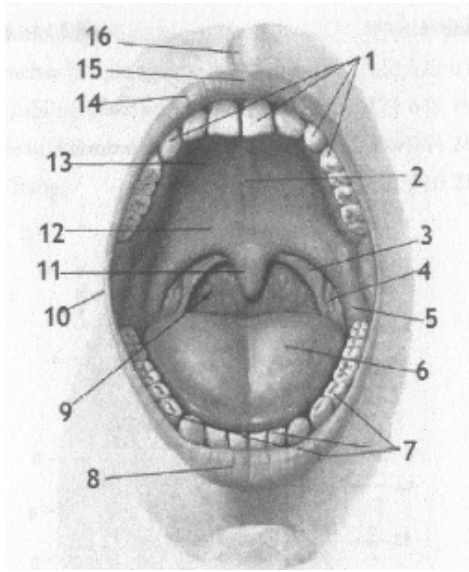

1 - Arcade dentaire supérieure	514 618 519 714
2 - Raphé du palais	318 549 219 641
3 - Arc palato-pharyngien	549 174 819 714
4 - Amygdale palatine	514 218 319 671
5 - Arc palato-glosse	479 604 594 219
6 - Dos de la langue	489 617 218 481
7 - Arcade dentaire inférieure	518 317 219 416
8 - Lèvre inférieure	549 618 317 491
9 - Gosier	584 317 894 517
10 - Commissure des lèvres	584 316 318 497
11 - Uvule palatine	314 841 219 647
12 - Palais mou	549 561 718 649

13 - Palais dur 564 817 219 481
14 - Lèvre supérieure 314 816 319 471
15 - Tubercule de la lèvre supérieure 648 716 498 721
16 - Philtrum 642 148 894 216

Image 103. **La cavité buccale**
(vue de face avec la langue soulevée)
498 641 918 974

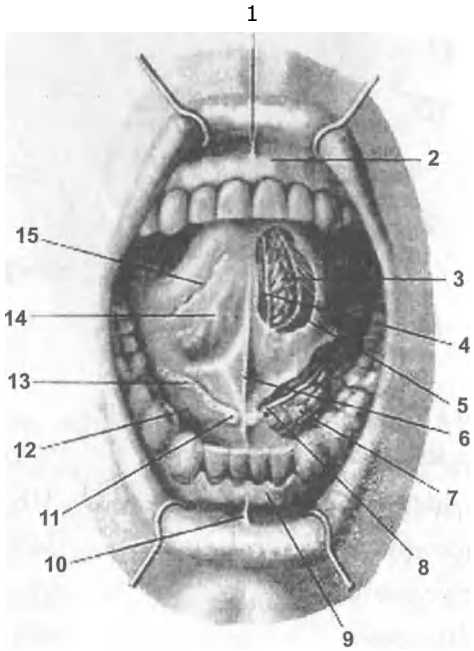

1 - Frein de la lèvre supérieure 498 691 719 497
2 - Gencive supérieure 898 691 319 497
3 - Glande linguale antérieure 486 194 718 541
4 - Nerf lingual 214 318 714 818
5 - Muscle longitudinal inférieur de la langue 319 648 319 781
6 - Frein de la langue 316 584 219 671
7 - Glande sublinguale 849 671 219 371
8 - Conduit submandibulaire 896 318 316 948
9 - Gencive inférieure 519 318 219 641
10 - Frein de la lèvre inférieure 318 364 891 871
11 - Caroncule sublinguale 894 217 248 564
12 - Plancher (diaphragme) de la bouche 548 612 016 498
13 - Pli sublingual 421 649 198 791
14 - Face inférieure de la langue 219 064 284 714
15 - Pli frangé 891 316 219 714

Image 104. **La langue**
398 716 219 841

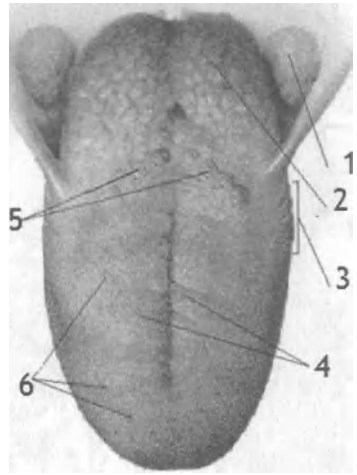

1 - Amygdale palatine 514 218 319 671
2 - Amygdale linguale 498 791 648 219
3 - Papilles foliées 418 644 319 515
4 - Papilles filiformes 589 617 298 471
5 - Papilles caliciformes 891 319 481 617
6 - Papilles fongiformes 314 218 914 888

Les muscles masticateurs
et les muscles de l'expression faciale

Image 105. **Les muscles de la langue**
(vue de droite, derrière la moitié droite
du maxillaire et de la mandibule)
594 218 598 641

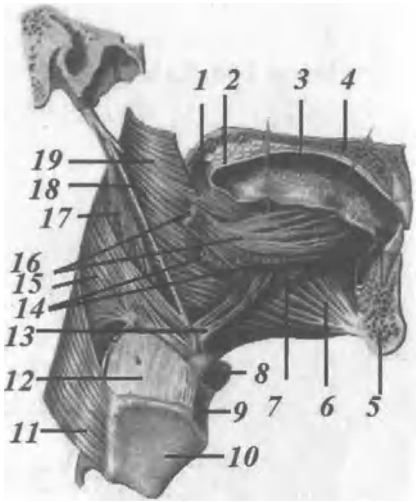

1 - Muscle palato-glosse	194 891 319 491
2 - Palais mou	549 561 718 649
3 - Langue	398 716 219 841
4 - Palais dur	564 817 219 481
5 - Mandibule	514 712 814 312
6 - Muscle génio-glosse	218 614 319 718
7 - Muscle longitudinal inférieur de la langue	319 648 319 781
8 - Os hyoïde	549 316 219 841
9 - Ligament thyro-hyoïdien médian	598 617 219 641
10 - Cartilage thyroïde	549 891 364 218
11 - Muscle constricteur inférieur du pharynx	584 216 234 271
12 - Ligament thyro-hyoïdien médian	584 691 219 478
13 - Muscle chondro-glosse	594 281 319 641
14 - Muscle hyo-glosse	814 316 498 384
15 - Muscle constricteur moyen du pharynx	548 314 894 851
16 - Muscle stylo-glosse	584 391 314 891
17 - Muscle stylo-pharyngien	598 617 218 491
18 - Ligament stylo-hyoïdien	584 217 278 061
19 - Muscle constricteur supérieur du pharynx	348 541 618 714

Les muscles et les fascias de la tête et du cou
219 214 419 314

Image 106. **Les muscles superficiels de l'expression faciale**
219 317 914 817

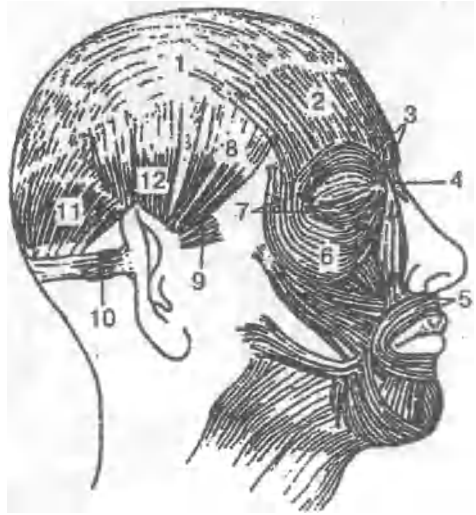

1 - Aponévrose épicrânienne	314 812 914 212
2 - Muscle occipito-frontal	009 812 214 312

3, 6,7 - Muscle orbiculaire de l'œil 214 317 914 217
4 - Muscle procérus 829 312 714 712
5 - Muscle orbiculaire de la bouche 548 321 818 221
8 - Muscle temporo-pariétal 409 641 219 741
9 - Muscle auriculaire antérieur 519 312 518 222
10 - Muscle auriculaire postérieur 548 314 214 317
11 - Muscle occipito-frontal 009 812 214 312
12 - Muscle auriculaire supérieur 519 812 919 912

Image 107. **Les muscles de l'expression faciale**
(vue de face)
598 641 398 719

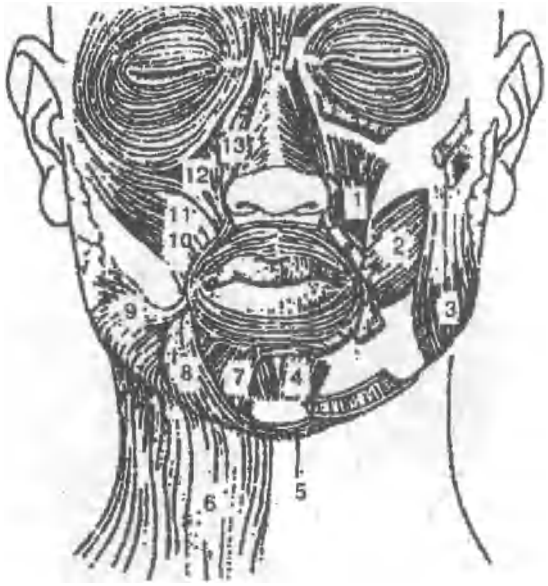

1 - Muscle élévateur de l'angle de la bouche 598 712 918 242
2 - Muscle buccinateur 549 317 849 217
3 - Muscle masséter 598 712 918 212

4 - Muscle mentonnier 314 312 814 212
5 - Muscle transverse du menton 519 784 398 419
6 - Platysma 518 317 918 227
7 - Muscle abaisseur de la lèvre inférieure 521 319 221 919
8 - Muscle abaisseur de l'angle de la bouche 518 519 318 919
9 - Muscles risorius 418 716 818 999
10 - Muscle grand zygomatique 548 712 998 218
11 - Muscle petit zygomatique 598 217 918 227
12 - Muscle élévateur de la lèvre supérieure 319 817 219 227
13 - Muscle élévateur de la lèvre supérieure et de l'aile du nez 419 227 299 327

Image 108. **Les muscles profonds de l'expression faciale**
328 721 428 919

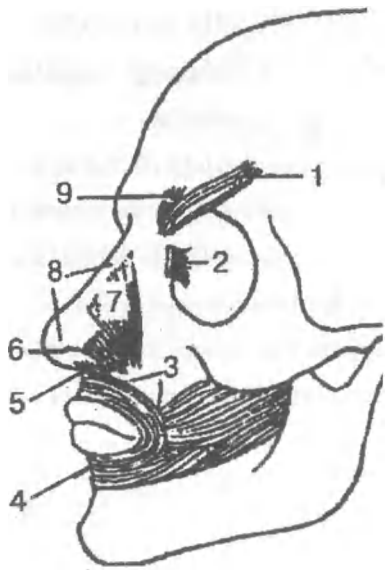

1 - Muscle corrugator du sourcil 512 428 912 728
2 - Partie lacrymale du muscle orbiculaire de l'œil 319 742 819 222
3 - Partie marginale du muscle orbiculaire de la bouche 548 232 619 722
4 - Partie labiale du muscle orbiculaire de la bouche 428 713 918 523

5 - Muscle abaisseur
de la cloison nasale 521 216 719 226

6 - Partie alaire du muscle nasal 428 921 321 481

7- Partie transverse du muscle nasal 219 317 819 228

8 - Muscle nasal 498 712 518 232

9 - Muscle abaisseur du sourcil 514 217 914 217

Les muscles masséters (masticateurs)
519 314 819 214

Image 109. **Les muscles masséters**

1 - Muscle temporal
218 317 918 217

2 - Muscle ptérygoïdien latéral
219 214 319 214

3 - Muscle ptérygoïdien médial
819 912 314 272

4 - Muscle buccinateur
549 317 849 217

L’articulation temporo-mandibulaire

Image 110. **L’articulation temporo-mandibulaire**
(séquence sagittale)

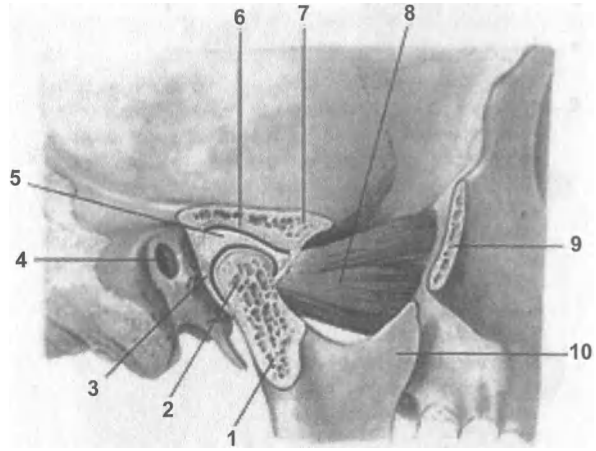

1 - Processus articulaire (condylien)
de la mandibule 891 319 898 789

2 - Tête de la mandibule 548 321 848 721

3 - Capsule articulaire 498 641 718 491

4 - Conduit auditif externe 519 421 919 811

5 - Disque articulaire (intra-articulaire) 894 516 219 497

6 - Fosse submandibulaire 558 912 918 222

7 - Condyle du temporal 288 412 298 322

8 - Muscle ptérygoïdien latéral 219 214 319 214

9 - Processus temporal de l’os zygomatique 694 171 219 548

10 - Processus coronoïde de la mandibule 528 317 918 228

Image 111. **Les ligaments de l'articulation temporo-mandibulaire** (vue médiale)
819 491 319 848

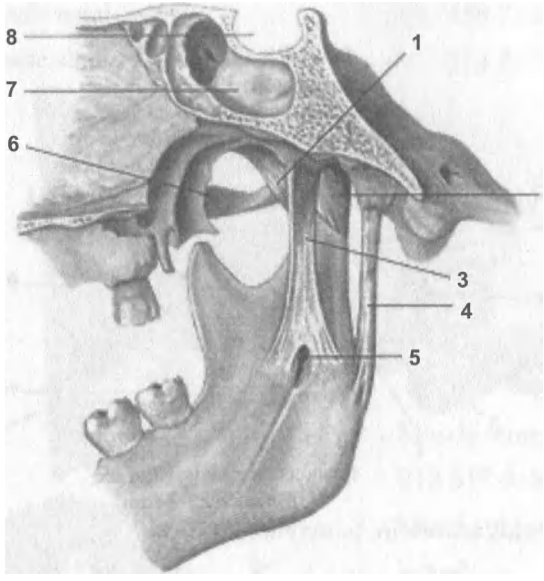

1 - Ligament latéral de l'articulation temporo-mandibulaire	519 647 218 541
2 - Capsule de l'articulation temporo-mandibulaire	498 641 718 491
3 - Ligament sphéno-mandibulaire	584 317 219 497
4 - Ligament stylo-mandibulaire	898 514 518 316
5 - Foramen mandibulaire	489 201 319 871
6 - Arcade zygomatique	528 317 918 917
7 - Sinus sphénoïdal	584 217 319 841
8 - Fosse hypophysaire de la selle turcique	519 317 919 218

Les glandes vestibulaires et les glandes buccales
498 617 219 491

Image 112. **Les glandes vestibulaires et les glandes buccales** (vue de droite)
498 617 219 491

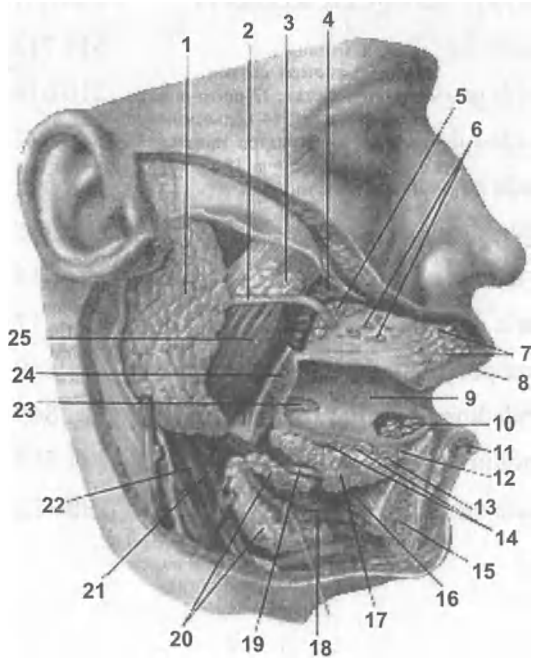

1 - Glande parotide	194 817 219 418
2 - Conduit parotidien	218 491 619 317
3 - Glande parotide accessoire	514 816 719 497
4 - Muscle buccinateur	549 317 849 217
5 - Glandes molaires	514 817 219 498
6 - Glandes buccales	548 742 819 461

7 - Glandes labiales 548 649 319 817
8 - Lèvre supérieure 314 816 319 471
9 - Langue 398 716 219 841
10 - Glande linguale antérieure 486 194 718 541
11 - Lèvre inférieure 549 618 317 491
12 - Caroncule sublinguale 894 316 598 718
13 - Conduit sublingual principal 548 717 219 418
14 - Conduits sublinguaux accessoires 498 641 318 374
15 - Mandibule 514 712 814 312
16 - Muscle génio-glosse 218 614 319 718
17 - Glande sublinguale 849 671 219 371
18 - Muscle mylo-hyoïdien 498 541 316 841
19 - Conduit submandibulaire 896 318 316 948
20 - Glande submandibulaire 498 714 319 481
21 - Muscle stylo-hyoïdien 594 217 298 647
22 - Ventre postérieur du muscle digastrique 316 849 918 716
23 - Glande linguale postérieure 314 849 216 371
24 - Mandibule 514 712 814 312
25 - Muscle masticateur 598 712 918 212

LE SYSTÈME MUSCULAIRE

214 712 314 222

Le système musculaire

214 712 314 222

Image 113. **La focalisation sur les formes de muscle**

898 811 919 218

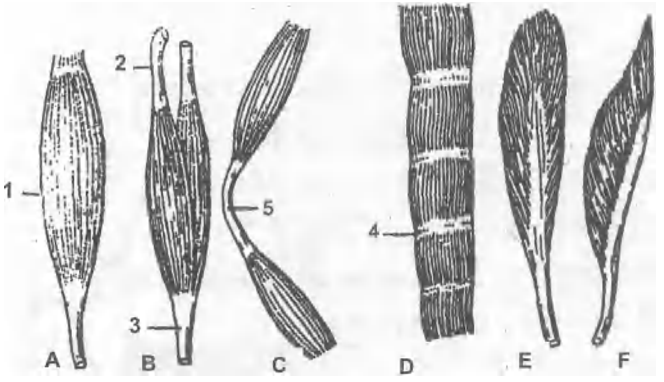

A - Muscle fusiforme	319 241 809 217
B - Biceps	914 312 219 312
C - Muscle digastrique	214 318 914 718
D - Muscle avec intersection tendineuse	519 317 914 817
E - Muscle bipenné	498 712 319 212
F - Muscle penné	519 314 219 814
1 - Ventre du muscle	719 618 914 217
2,3 - Tendons du muscle	598 317 918 227
4 - Intersection tendineuse	519 641 319 071
5 - Tendon intermédiaire	319 919 819 318

En vous concentrant sur les séries numériques qui assurent la régénération de la matière, vous pouvez utiliser l'état spirituel correspondant à de tels exercices pour reconstituer les organes et le corps humain.

Les muscles et les fascias du tronc

519 614 819 317

Les muscles et les fascias du dos et de la nuque

798 041 261 509

Les fascias du dos

214 718 314 888

Image 114. **Les muscles superficiels du dos**

819 314 914 812

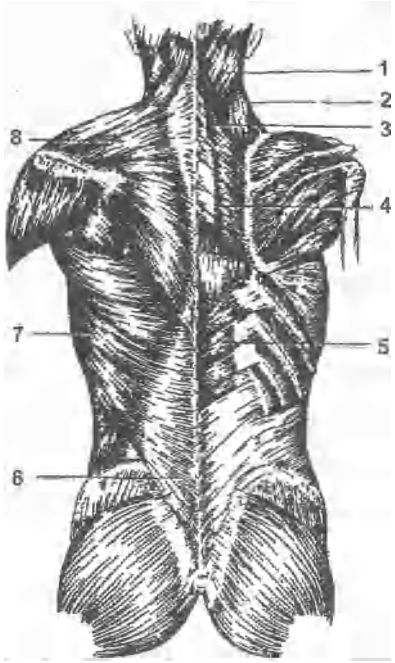

1 - Muscle splénius 298 742 279 488

2 - Muscle élévateur de l'omoplate 214 317 914 717

3 - Muscle rhomboïde mineur 319 061 919 618

4 - Muscle rhomboïde majeur 584 317 914 016

5 - Muscle dentelé postérieur inférieur 549 317 919 817

6 - Fascia thoraco-lombaire 529 317 919 817

7 - Muscle grand dorsal 429 318 829 998

8 - Muscle trapèze 421 317 921 817

Image 115. **Les muscles suboccipitaux**

531 814 212 814

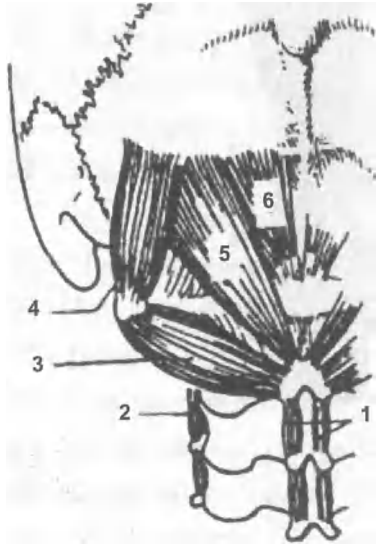

1 - Muscles inter-épineux du cou
489 617 819 398

2 - Muscles inter-transversaires
519 314 819 312

3 - Muscle oblique inférieur de la tête
218 317 918 227

4 - Muscle oblique supérieur de la tête
218 417 918 817

5 - Muscle grand droit postérieur de la tête 594 318 614 715

6 - Muscle petit droit postérieur de la tête 219 817 819 227

Image 116. **Les muscles du dos et de la partie postérieure du cou** (superficiels, 1e, 2e et 3e couches)
519 648 218 741

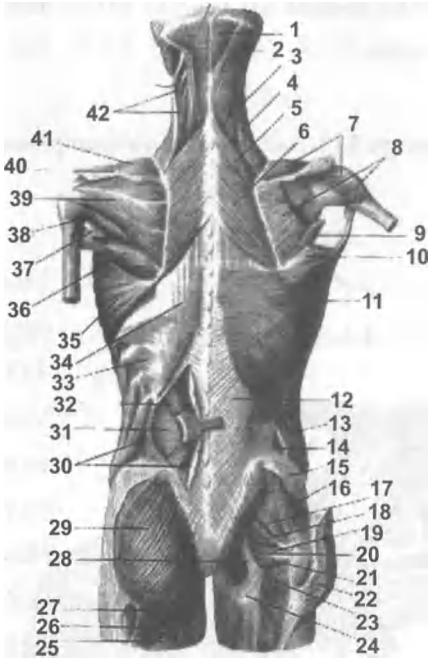

1 - Muscle semi-épineux de la tête 914 217 218 498
2 - Splénius de la tête 298 742 279 488
3 - Splénius du cou 216 498 948 741
4 - Muscle élévateur de l'omoplate 214 317 914 717
5 - Muscle rhomboïde mineur 319 061 919 618
6 - Muscle rhomboïde majeur 584 317 914 016
7 - Muscle supraépineux 312 214 812 514
8 - Muscle infra-épineux (représentation partielle) 894 314 818 574
9 - Muscle petit rond (représentation partielle) 498 518 491 748
10 - Muscle grand rond (représentation partielle) 849 516 319 478
11 - Muscle grand dorsal 429 318 829 998
12 - Aponévrose du muscle grand dorsal 549 718 219 478
13 - Muscle oblique externe de l'abdomen 529 312 419 272
14 - Triangle lombaire 894 568 514 811
15 - Aponévrose glutéale 598 314 698 718
16 - Muscle moyen fessier 589 491 219 641
17 - Muscle petit fessier 364 917 584 218
18 - Muscle piriforme 498 571 218 498
19 - Muscle jumeau supérieur 364 581 219 644
20 - Muscle obturateur interne 398 711 264 814
21 - Muscle jumeau inférieur 314 894 219 471
22 - Muscle grand fessier (représentation partielle) 548 361 894 317
23 - Muscle carré fémoral 694 584 219 471
24 - Tubérosité ischiatique 529 312 918 812
25 - Biceps de la cuisse 598 617 329 817
26 - Muscle semi-tendineux 549 381 714 817
27 - Muscle grand adducteur 374 841 219 471
28 - Ligament sacro-tubéral 316 497 218 914
30 - Feuillet superficiel du fascia thoraco-lombaire 494 848 514 216
31 - Feuillet profond du fascia thoraco-lombaire 481 319 614 714
32 - Muscle spinal (étiré vers le côté médial) 598 748 519 491
33 - Muscle dentelé postérieur inférieur 549 317 919 817
34 - Fascia thoraco-lombaire 529 317 919 817
35 - Muscle dentelé antérieur 219 475 819 355

36 - Muscle grand rond 849 516 319 47
37 - Chef long du triceps brachial (représentation partielle) 514 819 498 614
38 - Muscle petit rond 498 518 491 748
39 - Muscle infra-épineux 894 314 818 574
40 - Epine de l'omoplate 498 712 328 822
41 - Muscle supraépineux 312 214 812 514
42 - Muscle élévateur de l'omoplate (étiré vers le côté) 214 317 914 717

Image 117. **Les muscles du dos et de la nuque**
498 549 618 714
(muscles et os de la ceinture scapulaire non représentés)

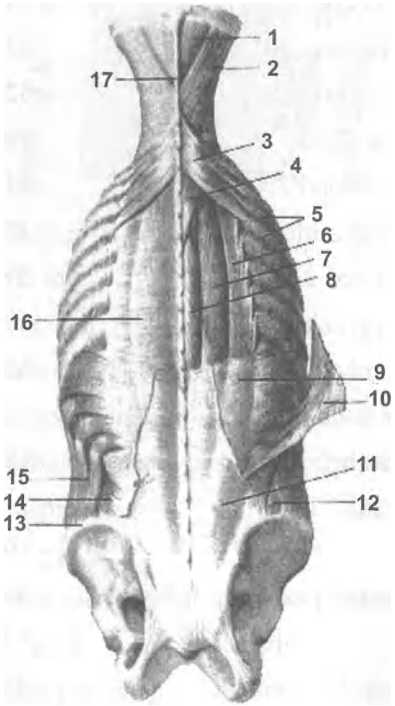

1 - Muscle semi-épineux de la tête 914 217 218 498
2 - Splénius de la tête 298 742 279 488
3 - Muscle dentelé postérieur supérieur 898 549 694 714
4 - Splénius du cou 216 498 948 741
5 - Muscles intercostaux externes 398 591 294 168
6 - Muscle ilio-costal du dos 319 647 218 471
7 - Muscle long dorsal 497 549 819 714
8 - Muscle épineux 396 891 319 471
9 - Muscle dentelé postérieur inférieur 549 317 919 817
10 - Muscle grand dorsal (retourné vers le côté) 429 318 829 998
11 - Aponévrose du muscle grand dorsal 549 718 219 478
12 - Triangle lombaire 894 568 514 811
13 - Crête iliaque 894 547 218 471
14 - Muscle oblique interne de l'abdomen 398 217 818 417
15 - Muscle oblique externe de l'abdomen 529 312 419 272
16 - Fascia thoraco-lombaire 584 317 019 641
17 - Ligament de la nuque 589 691 319 714

Image 118. **Les muscles profonds du dos et de la nuque**
498 714 219 614

1 - Muscle semi-épineux de la tête 914 217 218 498
2 - Muscle petit droit postérieur de la tête 219 817 819 227
3 - Muscle oblique supérieur de la tête 218 417 918 817
4 - Muscle grand droit postérieur de la tête 594 318 614 715
5 - Muscle oblique inférieur de la tête 218 317 918 227
6 - Muscle semi-épineux de la tête (partie renversée) 914 217 218 498
7 - Muscle semi-épineux du cou 319 714 218 412

8 - Muscle semi-épineux du dos 318 694 218 421

9 - Muscle élévateur de la côte 689 714 298 514

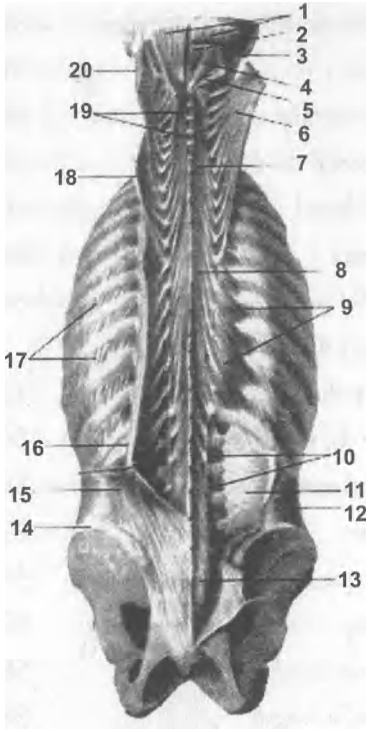

10 - Muscles intertransversaires 519 314 819 312

11 - Feuillet profond du fascia thoraco-lombaire 481 319 614 714

12 - Muscle transverse de l'abdomen 555 813 915 513

13 - Muscle multifide 549 781 219 471

14 - Aile de l'ilium 529 301 229 721

15 - Muscle ilio-costal 364 712 819 418

16 - Muscle long 589 641 289 714

17 - Muscles intercostaux externes 369 581 298 471

18 - Muscle long du cou 699 186 019 491

19 - Muscles interépineux du cou 489 617 819 398

20 - Muscle long de la tête 389 497 368 141

Image 119. **Le muscle ilio-costal**

314 841 619 714

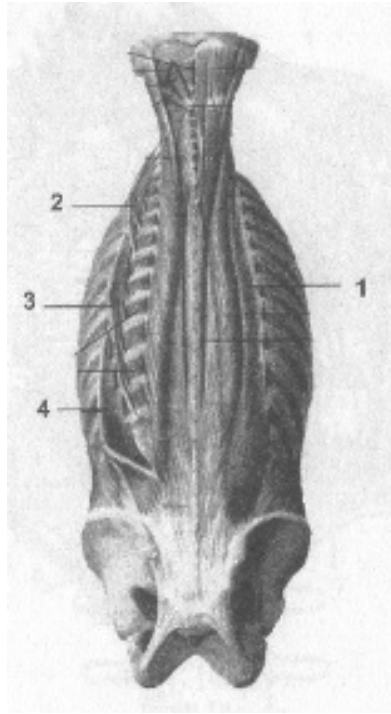

1 - Muscle ilio-costal 314 841 619 714

2 - Muscle ilio-costal du cou 491 481 471 819

3 - Muscle ilio-costal du dos 584 461 489 714

4 - Muscle ilio-costal des lombes 578 714 218 417

Image 120. **Les pectoraux**
489 611 098 217

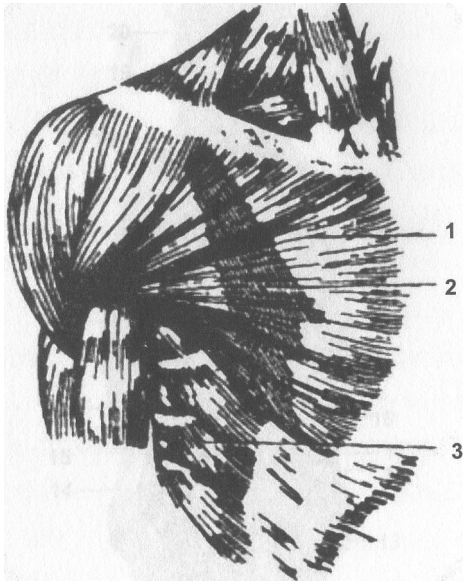

1 - Muscle grand pectoral 214 718 918 228
2 - Muscle petit pectoral
(bords du muscle) 521 618 919 192
3 - Muscle dentelé antérieur 219 475 819 355

Image 121. **Le diaphragme** (vue de dessous)
219 289 228 317

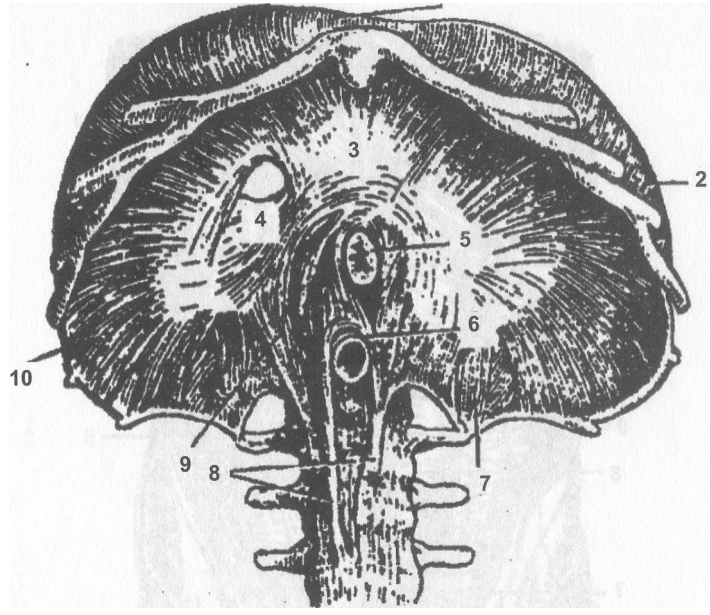

1 - Partie sternale du diaphragme 519 517 819 217
2, 10 - Partie costale du diaphragme 214 312 489 212
3 - Centre tendineux 528 974 319 641
4 - Orifice de la veine cave inférieure 519 518 919 218
5 - Orifice de l'œsophage 528 317 918 227
6 - Orifice aortique 548 312 918 227
7, 8, 9 - Piliers de la partie lombaire
du diaphragme 549 316 860 219

Image 122. **Les muscles de l’abdomen**
517 318 917 918

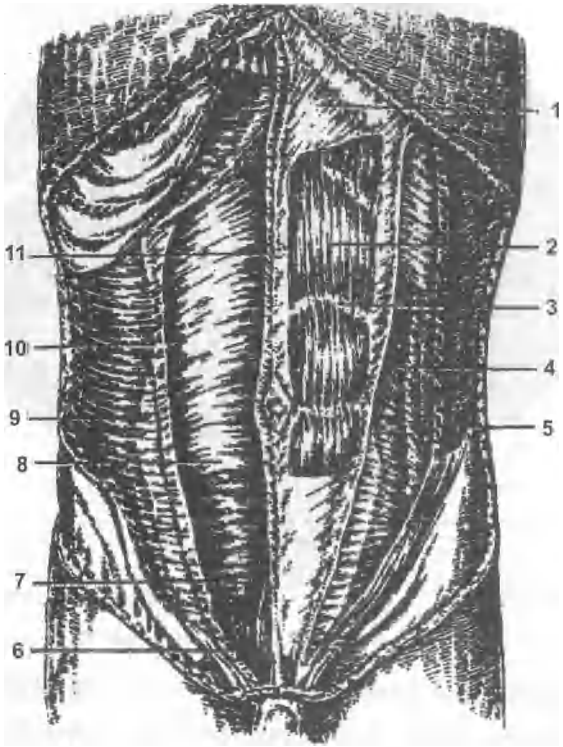

1 - Aponévrose du muscle oblique externe de l’abdomen 498 641 819 071
2 - Muscle droit de l’abdomen 598 712 319 217
3 - Intersection tendineuse 528 714 328 917
4 - Muscle oblique interne de l’abdomen 398 217 818 417
5 - Muscle oblique externe de l’abdomen 529 312 419 272
6 - Muscle pyramidal 598 742 218 228
7, 8 - Paroi postérieure de la gaine du muscle droit de l’abdomen 213 019 514 219
9 - Aponévrose du muscle transverse de l’abdomen 418 714 918 444
10 - Muscle transverse de l’abdomen 555 813 915 513
11 - Ligne blanche de l’abdomen 319 481 219 321

Les fascias de la tête
519 718 218 314

Image 123. **Les fascias de la tête**

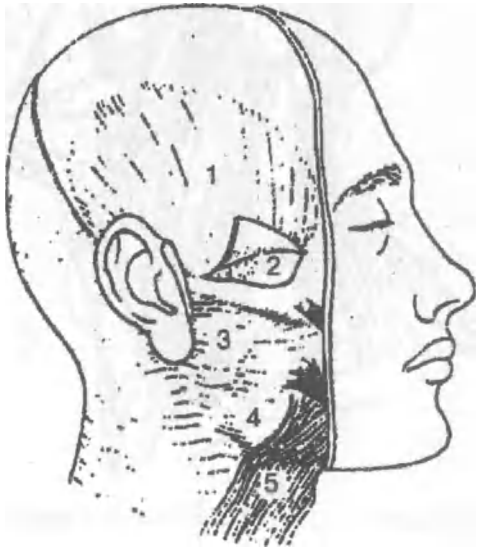

1 - Fascia temporal 319 814 919 214
2 - Lame profonde du fascia temporal 498 641 319 712
3 - Fascia de la glande parotide 519 814 719 314
4 - Fascia massétérin 898 716 214 319
5 - Platysma 518 317 918 227

Les muscles du cou

548 007 998 227

Image 124, **Les muscles de la tête et du cou**

(vue de droite et de dessus)

528 342 918 712

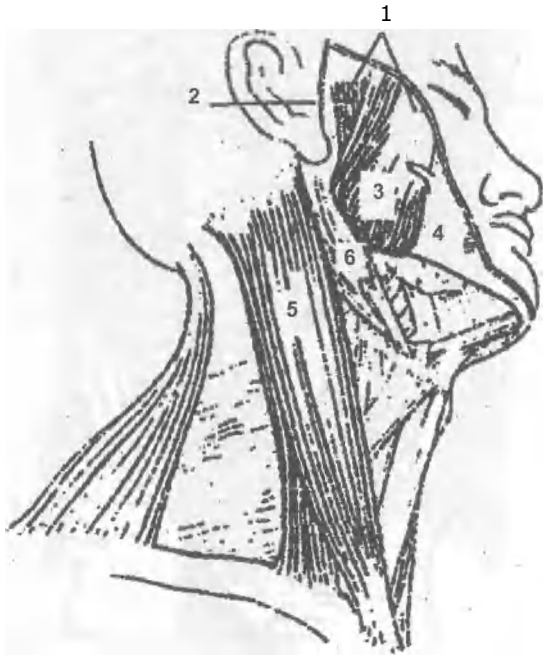

1 - Muscle masséter	598 712 918 212
2 - Partie profonde du muscle masséter	574 321 914 211
3 - Partie superficielle du muscle masséter	584 312 984 212
4 - Fascia bucco-pharyngé	217 317 519 715
5 - Muscle sterno-cléido-mastoïdien	548 712 218 312
6 - Muscle digastrique	214 318 914 718

Les muscles profonds du cou

819 341 919 841

Image 125. **Les muscles profonds du cou**

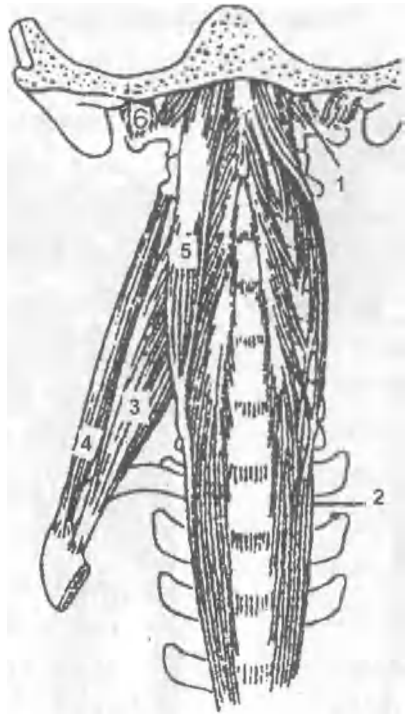

1 - Muscle droit antérieur de la tête	519 642 068 917
2 - Muscle long du cou	213 418 913 818
3 - Muscle scalène antérieur	599 681 917 298
4 - Muscle scalène moyen	489 316 718 916
5 - Muscle long de la tête	519 817 319 817
6 - Muscle droit latéral de la tête	498 061 319 789

Les muscles et les fascias du membre supérieur

219 314 819 914

Image 126. **Les muscles de la ceinture du membre supérieur et de l'épaule** (vue de face)

498 711 598 321

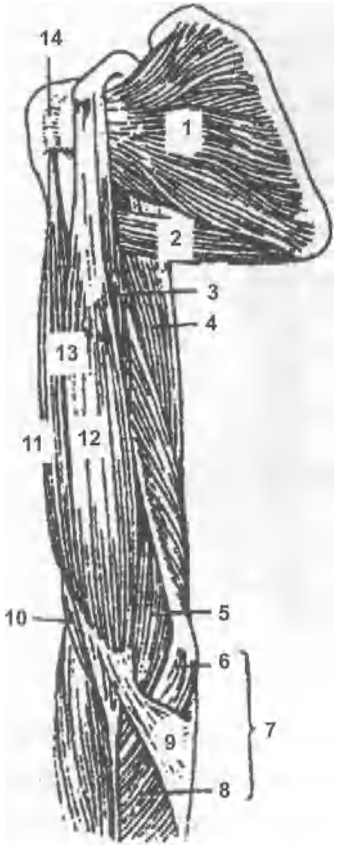

1 - Muscle subscapulaire
519 312 219 282

2 - Muscle grand rond
459 321 989 721

3 - Muscle coraco-brachial
219 371 419 871

4 - Triceps brachial
419 812 599 322

5, 10 - Muscle brachial
319 717 819 317

6 - Chef huméral du muscle rond pronateur
598 317 819 217

7 - Muscle rond pronateur
214 888 219 317

8 - Chef ulnaire du muscle rond pronateur
919 814 319 214

9 - Aponévrose du tendon du biceps brachia 428 312 818 512

11 - Chef long du biceps brachial 519 817 919 017

12 - Chef court du biceps brachial 584 712 584 389

13 - Biceps brachial 549 817 319 217

14 - Gaine du tendon intertuberculaire du chef long du bicep 214 987 914317

Image 127. **Les muscles de la ceinture du membre supérieur et de l'épaule** (vue arrière)

498 711 598 321

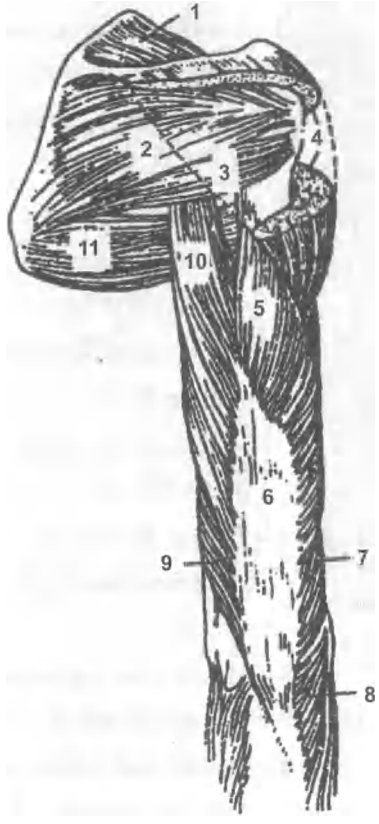

1 - Muscle supraépineux
312 214 812 514

2 - Muscle infra-épineux
548 619 319 071

3 - Muscle petit rond
555 333 918 433

4 - Muscle deltoïde
598 371 888 911

5 - Chef latéral du triceps brachial
598 909 913 718

6 - Triceps brachial
419 812 599 322

7, 9 - Chef médial du triceps brachial
529 382 728 814

8 - Muscle anconé
517 214 917 814

10 - Chef long du triceps brachial 512718 912 229

11- Muscle grand rond 459 321 989 721

Image 128. **Les muscles de l'avant-bras** (groupe antérieur)
798 064 219 317

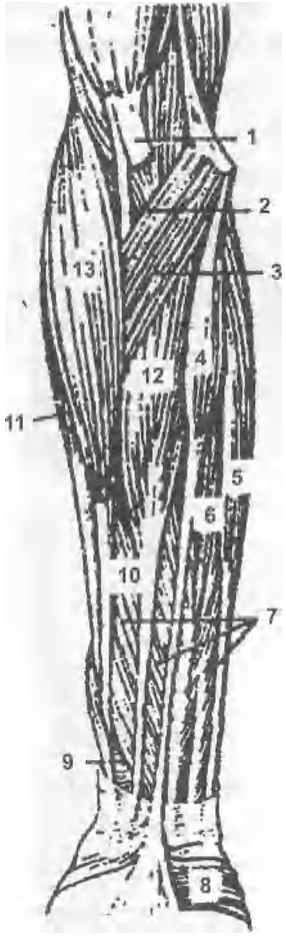

1 - Aponévrose du tendon
du biceps brachial
428 312 818 512

2 - Biceps brachial
549 817 319 217

3 - Muscle rond pronateur
214 888 219 317

4 - Muscle long palmaire
498 715 318 225

5 - Muscle fléchisseur
ulnaire du carpe
498 094 319 591

6 - Chef huméro-ulnaire
muscle fléchisseur
superficiel des doigts
513 819 913 514

7 - Muscle fléchisseur
superficiel des doigts
319 811 919 891

8 - Muscle court palmaire
598 319 719 818

9 - Muscle carré pronateur
489 016 718 941

10 - Chef radial du muscle fléchisseur
superficiel des doigts 598 317 588 817

11- Muscle long extenseur radial du carpe 598 214 319 814

12 - Muscle fléchisseur radial du carpe 511 408 219 319

13 - Muscle brachio-radial 429 318 229 718

Image 129. **Les muscles du carpe droit** (vue de face)
214 717 814 327

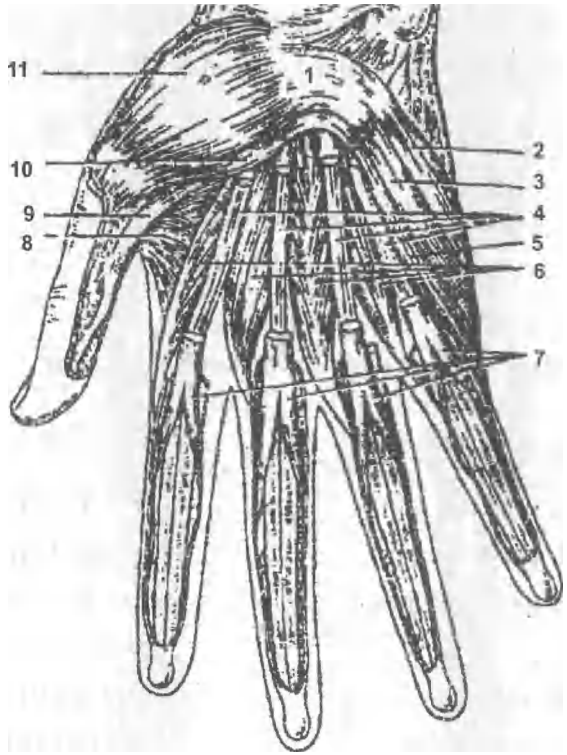

1 - Rétinaculum des fléchisseurs 519 321 019 614

2 - Muscle adducteur du petit doigt 318 912 818 006

3 - Muscle court fléchisseur
du petit doigt 519 388 498 514

4 - Tendons du muscle fléchisseur
profond des doigts 588 317 918 777

5 - Muscle opposant du petit doigt 988 888 314 007

6 - Muscles lombricaux 568 721 328 521
7 - Tendons du muscle fléchisseur superficiel des doigts 598 712 899 422
8 - Muscle adducteur du pouce 599 712 899 329
9 - Tendon du muscle long fléchisseur du pouce 548 916 379 816
10 - Muscle court fléchisseur du pouce 898 317 879 917
11 - Muscle court adducteur du pouce 389 671 899 211

Les muscles du membre inférieur

514 311 914 527

Image 130. **Les muscles du membre inférieur**

A - Vue de face

1 - Muscle ilio-psoas 319 311 919 811
2 - Muscle pectiné 519 712 918 412
3 - Muscle long adducteur 519 312 819 712
4 - Muscle gracile 319 042 219 822
5 - Muscle couturier 899 389 919 388
6 -Muscle vaste médial 988 091 891 491
7 - Tendon du muscle quadriceps crural 514 517 814 317
8 - Ligament rotulien 594 312 894 882
9 - Muscle gastrocnémien 589 319 814 228
10 - Muscle soléaire 498 513 818 933
11 - Muscle long extenseur des orteils 318 512 818 064
12 - Muscle long fibulaire 528 426 918 726
13 - Muscle tibial antérieur 548 717 318 917
14 - Muscle vaste latéral 548 964 328 744
15 - Muscle droit de la cuisse 589 371 841 218

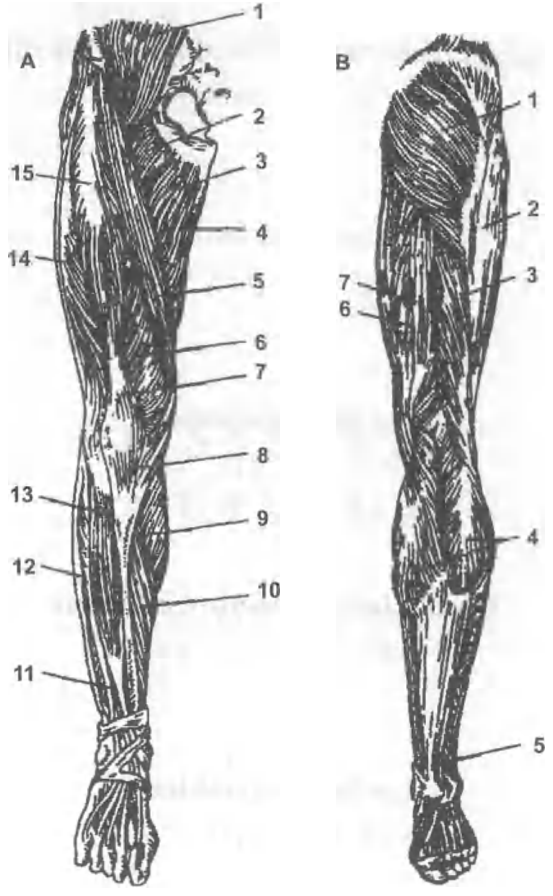

B - Vue arrière

1 - Muscle grand fessier 498 614 319 214
2 - Tractus ilio-tibial (partie du fascia lata de la cuisse) 219 371 819 511
3 - Biceps de la cuisse 598 617 329 817
4 - Muscle gastrocnémien 589 319 814 228
5 - Tendon calcanéen (d'Achille) 598 317 418 917

6 - Muscle semi-membraneux 388 427 918 227
7 - Muscle semi-tendineux 549 381 714 817

Les muscles de la partie libre du membre inférieur
319 715 819 555

Les muscles jambiers
329 481 918 511

Les muscles pédieux
519 371 819 511

Les fascias du membre inférieur
529 377 429 879

Les fascias jambiers
539 427 819 677

Le bassin commun
494 714 516 841

Les muscles du bassin
298 317 919 817

LE SYSTÈME NERVEUX

219 317 819 298

LE SYSTÈME NERVEUX CENTRAL

291 384 074 217

La moelle épinière

314 218 814 719

Image 131. **La moelle épinière** (schéma de présentation)

A

1 - Moelle épinière

314 218 814 719

2 - Renflement cervical

298 387 984 721

3 - Renflement lombo-sacré

429 317 219 817

4 - Cône médullaire

219 381 419 971

5 - Filum terminal

519 317 919 218

B

1 - Ventricule terminal

419 814 218 914

2 - Filum terminal

519 317 919 218

Image 132. **Les segments de la moelle épinière**

219 317 888 847

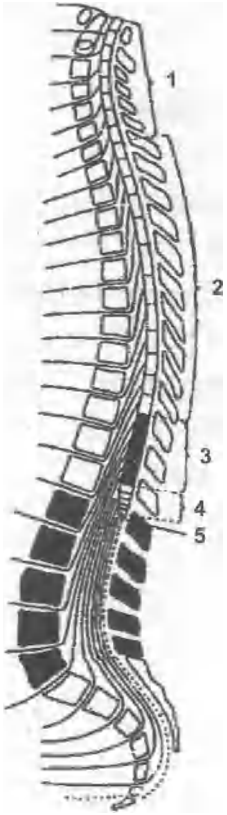

1 - Segments cervicaux (1-8)

218 828 204 217

- partie cervicale

849 218 314 918

2 - Segments thoraciques (1-12)

- partie thoracique

234 891 019 217

3 - Segments lombaires (1-5)

- partie lombaire

219 004 489 668

4 - Segments sacrés (1-5)

- partie sacrée

229 317 916 021

5 - Segments coccygiens (1-3)

- partie coccygienne

834 219 918 715

Image 133. **La moelle épinière** (spinale)
(schéma de présentation)

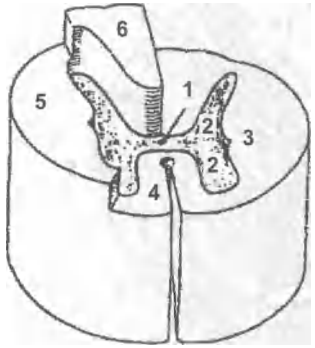

1 - Canal central

888 991 213 451

2 - Substance grise

891 021 328 423

3 - Substance blanche

478 217 219 328

4 - Cordon antérieur

489 219 219 321

5 - Cordon latéral

290 029 432 517

6 - Cordon postérieur

048 217 428 471

Image 134. **Les colonnes de substance grise de la moelle épinière**

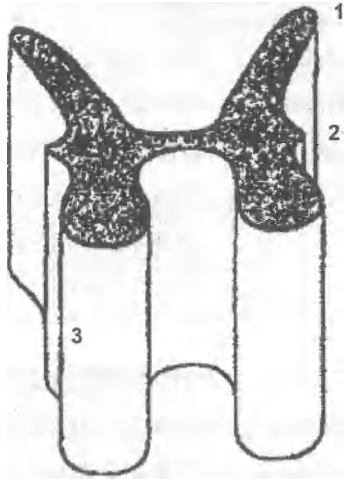

1 - Colonne postérieure

219 482 319 213

2 - Colonne latérale

214 712 218 521

3 - Colonne antérieure

317 484 217 244

Image 135. **Les voies de conduction de la substance blanche**
(coupe transversale de la moelle épinière)

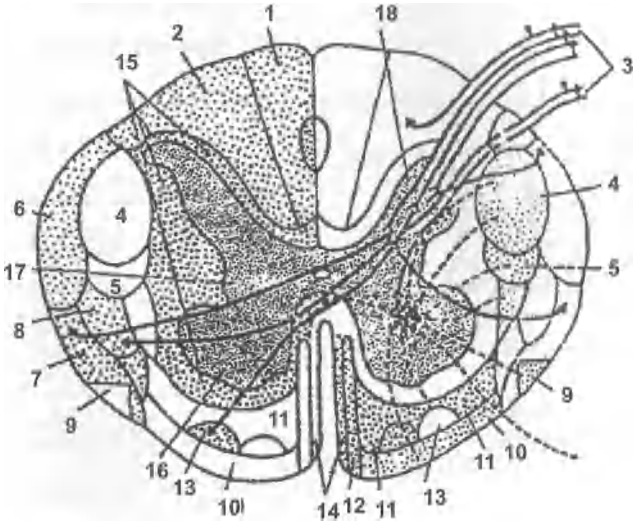

1 - Faisceau gracile	219 317 418 217
2 - Faisceau cunéiforme	319 215 219 317
3 - Racine postérieure	214 317 219 224
4 - Tractus cortico-spinal (pyramidal)	248 317 218 321
5 - Tractus rubro-spinal	428 521 328 721
6 - Tractus spino-cérébelleux postérieur	888 917 218 912
7 - Tractus spino-cérébelleux antérieur	918 214 218 217
8 - Tractus spino-thalamique latéral	318 217 218 914
9 - Tractus olivo-spinal	514 219 314 819
10 - Tractus vestibulo-spinal	219 444 558 913
11 - Tractus réticulo-spinal	219 317 418 213
12 - Tractus cortico-spinal antérieur (pyramidal)	219 318 214 217
13 - Tractus spino-thalamique antérieur	219 317 218 214
14 - Tractus tecto-spinal	218 317 219 217
15 - Faisceaux fondamentaux postérieur, latéral et antérieur	219 314 214 315
16 - Corne antérieure	218 217 314 218
17 - Corne latérale	218 317 214 218
18 - Corne postérieure	489 641 728 591

Image 136. **Les méninges de la moelle épinière**
219 317 819 312

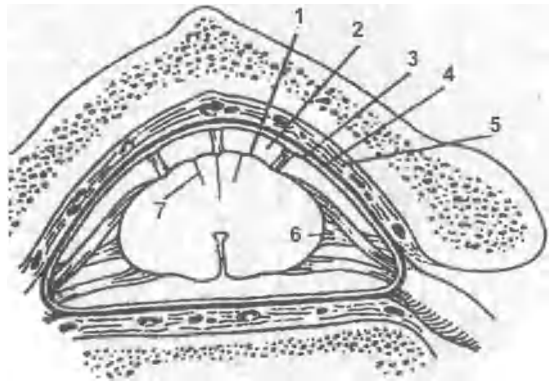

1 - Pie-mère de la moelle épinière	849 312 219 814
2 - Espace sous-arachnoïdien	314 712 814 212
3 - Arachnoïde spinale	219 317 814 218
4 - Dure-mère de la moelle épinière	218 217 319 218
5 - Espace épidural	217 314 218 217
6 - Ligament dentelé	217 318 219 312
7 - Septum cervical intermédiaire	214 321 814 712

Le cerveau

814 729 318 818

Image 137. **La base du cerveau**

219 888 676 021

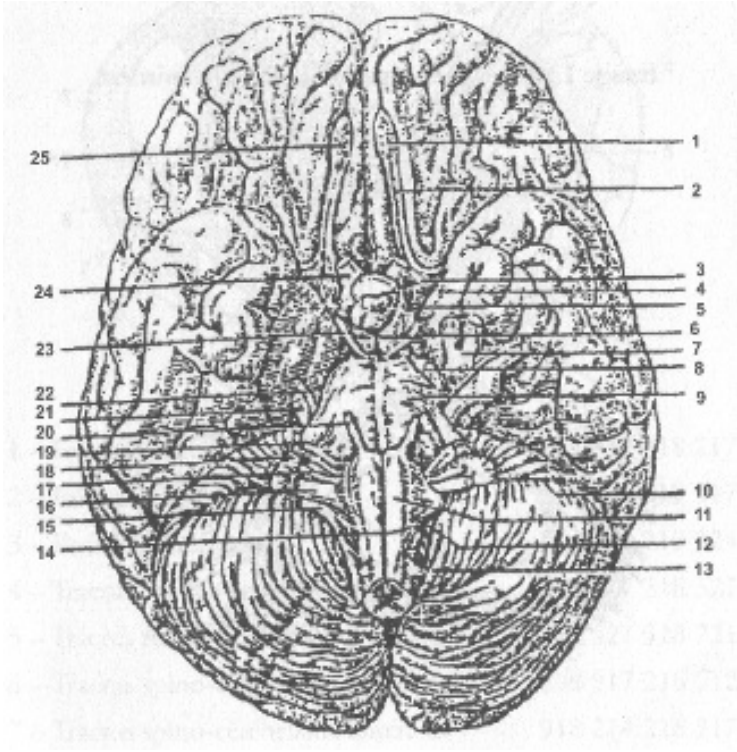

1 - Bulbe olfactif	024 312 598 742
2 - Tractus olfactif	718 217 458 917
3 - Substance perforée antérieure	218 317 219 218
4 - Tuber cinereum	519 317 219 417
5 - Tractus optique	519 218 919 245
6 - Corps mamillaires	534 817 214 712
7 - Ganglion trigéminal	418 217 218 217
8 - Substance perforée postérieure	510 716 519 064
9 - Pont	248 317 284 271
10 - Cervelet	828 219 328 299
11 - Pyramide de la moelle allongée	928 321 728 521
12 - Olive	489 217 319 271
13 - Nerfs rachidiens	489 218 918 217
14 - Nerf hypoglosse	548 321 555 678
15 - Nerf accessoire	489 917 319 712
16 - Nerf vague	489 981 728 221
17 - Nerf glosso-pharyngien	519 371 214 572
18 - Nerf vestibulo-cochléaire	548 217 918 421
19 - Nerf facial	999 811 319 211
20 - Nerf abducens	514 517 214 812
21 - Nerf trijumeau	549 319 818 711
22 - Nerf trochléaire	498 064 318 712
23 - Nerf oculomoteur	519 217 519 217
24 - Nerf optique	448 817 918 217
25 - Nerfs olfactifs	478 215 589 315

Image 138. **Le cerveau** (coupe sagittale)

1 - Sillon du corps calleux	248 312 848 212
2 - Scissure calloso-marginale	579 312 919 021
3 - Circonvolution du corps calleux	898 312 024 712
4 - Corps calleux	498 712 328 071
5 - Scissure de Rolando	489 213 048 217
6 - Lobule paracentral	811 017 319 218
7 - Scissure calcarine	214 318 414 888
8 - Lame tectale (quadrijumeau)	514 317 818 212
9 - Cervelet	828 219 328 299

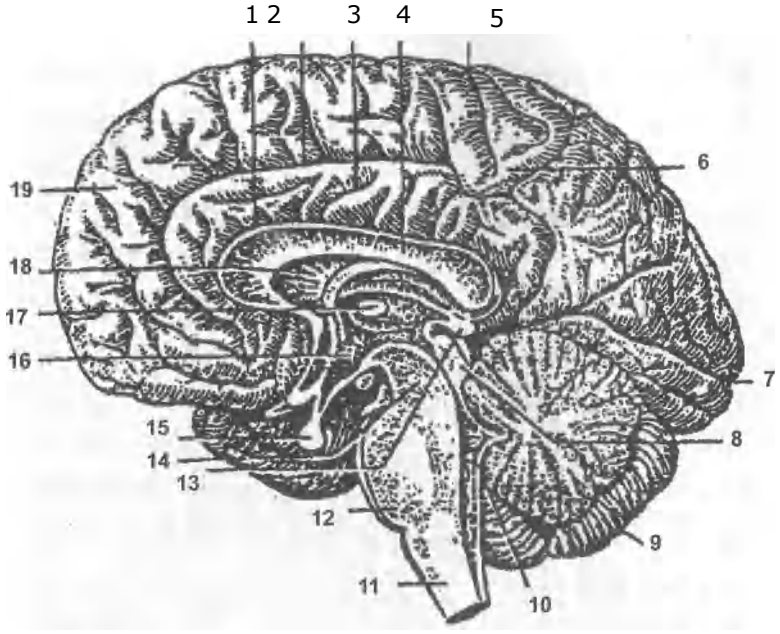

10 - Quatrième ventricule	514 321 414 218
11 - Moelle allongée	514 417 814 217
12 - Pont	248 317 284 271
13 - Glande pinéale (épiphyse)	489 641 399 042
14 - Pédoncules cérébraux	918 412 818 212
15 - Hypophyse	317 218 219 819
16 - Troisième ventricule	818 217 418 217
17 - Commissure grise	819 312 919 222
18 - Septum lucidum	214 817 914 817
19 - Gyrus frontal supérieur	918 918 919 217

Image 139. **L'hypothalamus et l'hypophyse**
918 671 818 971 - 317 218 219 819

1 - Nerf oculomoteur	519 217 519 217
2 - Noyaux médiaux et latéraux du corps mamillaire	498 716 219 418

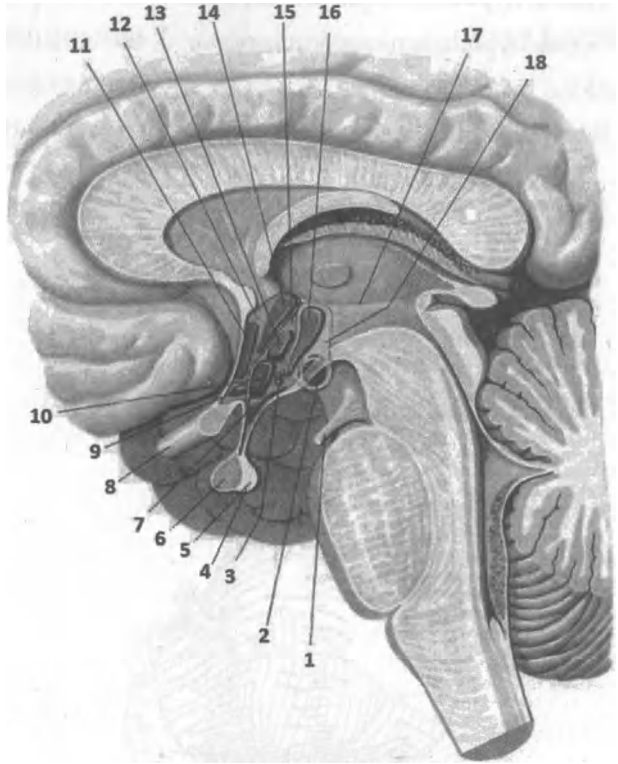

3 - Noyaux tubéraux	898 141 218 718
4 - Hypophyse	317 218 219 819
5 - Neurohypophyse	814 061 217 041
6 - Adénohypophyse (lobe antérieur)	518 041 219 498
7 - Noyau infundibulaire (noyau arqué)	497 581 264 714
8 - Nerf optique	448 817 918 217
9 - Noyau supraoptique	948 516 714 271
10 - Noyau hypothalamique inféro-médial	178 491 219 617
11 - Noyau préoptique	718 471 219 648
12 - Région hypothalamique antérieure	749 164 218 541
13 - Noyau hypothalamique dorso-médial	549 716 218 541
14 - Noyaux paraventriculaires	598 612 317 491

15 - Région hypothalamique intermédiaire 471 218 549 016
16 - Noyau hypothalamique postérieur 001 495 018 547
17 - Sillon hypothalamique 016 489 808 489
18 - Région hypothalamique postérieure 018 418 488 518

La moelle allongée

514 417 814 217

Image 140. **La moelle allongée** (vue ventrale)

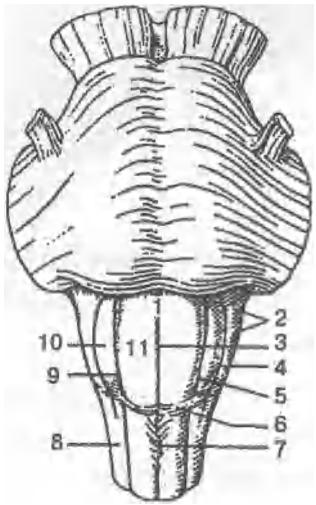

1 - Moelle allongée 514 417 814 217
2 - Aire rétro-olivaire 548 617 319 071
3 - Fissure médiane antérieure 598 641 398 216
4 - Sillon rétro-olivaire 319 217 819 317
5, 9 - Sillon antéro-latéral 519 310 819 210
6 - Fibres arquées ventrales externes 918 217 918 719
7 - Décussation des pyramides 910 918 819 312
8 - Cordon latéral 314 912 814 712

10 - Olive 489 217 319 271
11- Pyramide de la moelle allongée 928 321 728 521

Le pont et le cervelet

310 564 219 142

Le métencéphale

219 317 219 817

Image 141. **Le métencéphale**
219 317 219 817

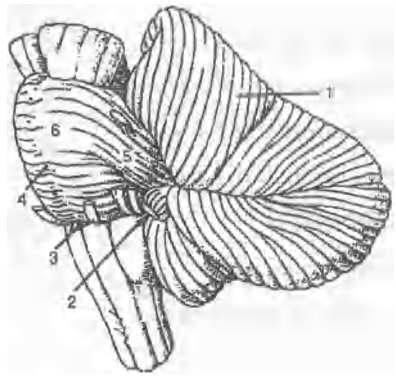

1 - Cervelet 828 219 328 299
2 - Angle ponto-cérébelleux 214 312 814 912
3 - Sillon ponto-bulbaire 819 312 219 217
4 - Sillon basilaire 519 312 219 212
5 - Pédoncule cérébral médian 219 710 819 210
6 - Pont 248 317 284 271

Image 142. **Le pont** (coupe transversale)

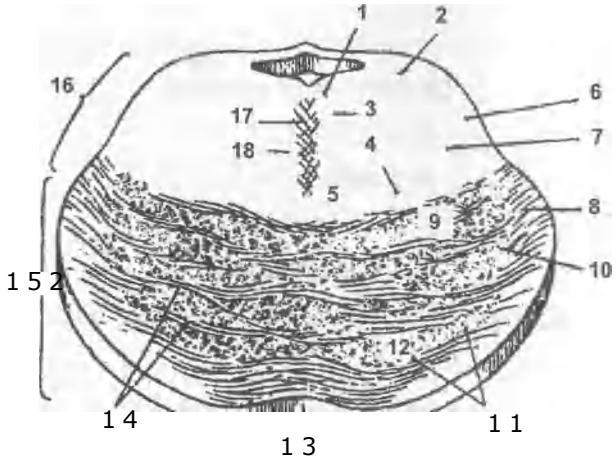

1 - Faisceau longitudinal dorsal 519 317 819 213
2 - Tractus mésencéphalique du nerf trijumeau 519 017 819 317
3 - Faisceau longitudinal médian 517 918 917 819
4 - Ruban de Reil médian 319 021 713 211
5 - Formation réticulée 519 312 919 812
6 - Lemnisque trigéminal (tractus trigémino-thalamique) 819 417 919 817
7 - Lemnisque spinal 514 312 914 212
8 - Fibres ponto-cérébelleuses 519 471 919 012
9 - Fibres cortico-nucléaires 519 315 219 818
10 - Faisceau corticopontique 398 641 988 042
11 - Noyaux du pont 514 312 914 214
12 - Faisceaux cortico-spinaux 218 319 219 418
13 - Sillon basilaire 519 312 219 212
14 - Fibres pontiques transverses 519 312 919 218
15 - Partie antérieure (basilaire) du pont 588 217 918 214
16 - Partie postérieure du pont 819 312 919 212
17 - Jonction du pont 319 481 498 671
18 -Tractus tecto-spinal 518 217 918 217

Le mésencéphale

519 417 819 210

Image 143. **Le mésencéphale et la fosse rhomboïde**

519 317 888 910

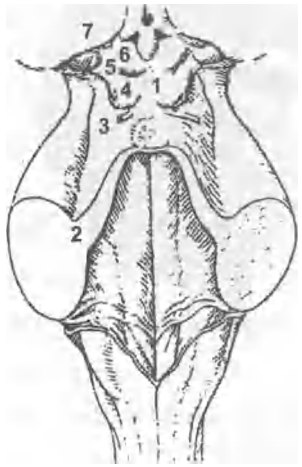

1 - Lame tectale (quadrijumeau) 514 317 818 212
2 - Pédoncule cérébelleux supérieur 219 716 219 511
3 - Trigone du lemniscus 519 217 314 717
4 - Colliculus inférieur 514 817 914 917
5 - Colliculus supérieur 918 071 518 971
6 - Bras du colliculus inférieur 519 217 918 201
7 - Bras du colliculus supérieur 519 322 068 290

Le diencéphale

919 213 819 223

Image 144. **Le cerveau**
(face supéro-latérale, sillons et gyrus)

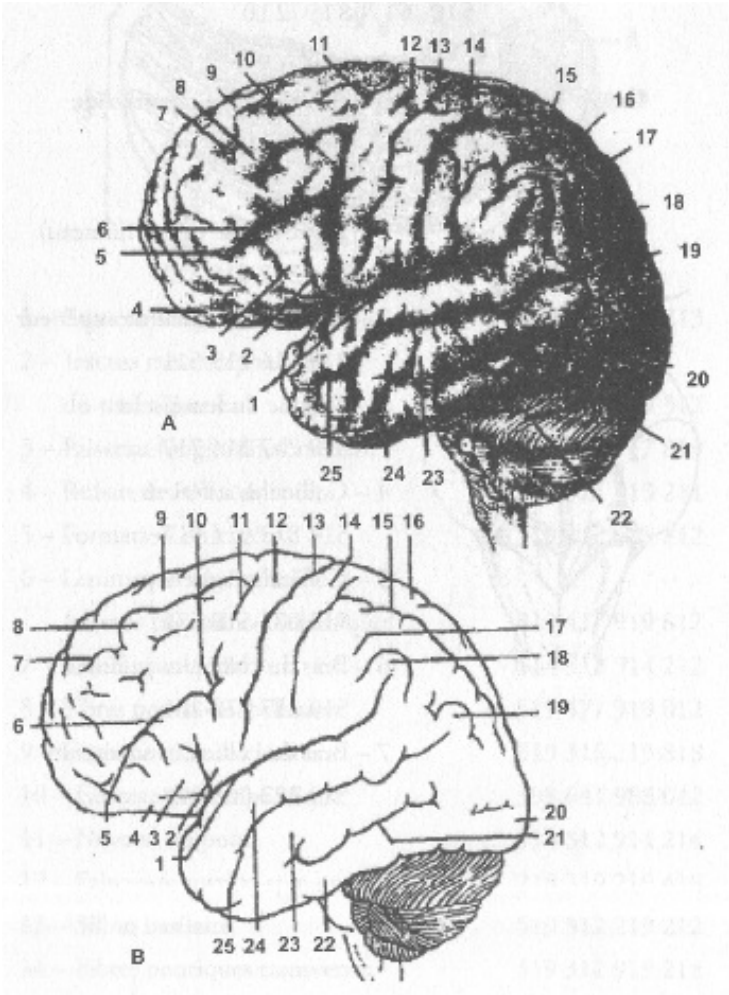

1 - Sillon latéral 514 213 814 213
2 - Partie frontale du gyrus frontal inférieur 219 312 819 222
3 - Partie triangulaire du gyrus frontal inférieur 888 917 918 217
4 - Partie orbitaire du gyrus fronral inférieur 498 641 398 071
5 - Sillon frontal inférieur 498 213 718 223
6 - Gyrus frontal inférieur 519 312 519 212
7 - Sillon frontal supérieur 514 317 514 817
8 - Gyrus frontal moyen 514 017 314 917
9 - Gyrus frontal supérieur 918 918 919 217
10 - Sillon précentral inférieur 519 217 919 817
11 - Sillon précentral supérieur 918 512 318 412
12 - Gyrus précentral 479 318 012 891
13 - Sillon central 489 213 048 217
14 - Sillon postcentral 519 217 918 227
15 - Sillon intrapariétal 418 218 219 371
16 - Lobule pariétal supérieur 514 318 914 818
17 - Lobule pariétal inférieur 514 319 214 819
18 - Gyrus supramarginal 918 883 518 913
19 - Gyrus angulaire 519 311 918 911
20 - Lobe occipital 519 317 819 517
21 - Sillon temporal inférieur 519 217 219 317
22 - Gyrus temporal inférieur 519 218 919 519
23 - Gyrus temporal moyen 519 712 919 212
24 - Gyrus temporal supérieur 518 317 918 217
25 - Sillon temporal supérieur 514 219 314 919

Les ventricules cérébraux

989 061 714 318

Image 145. **Les ventricules latéraux du cerveau**

919 814 919 217

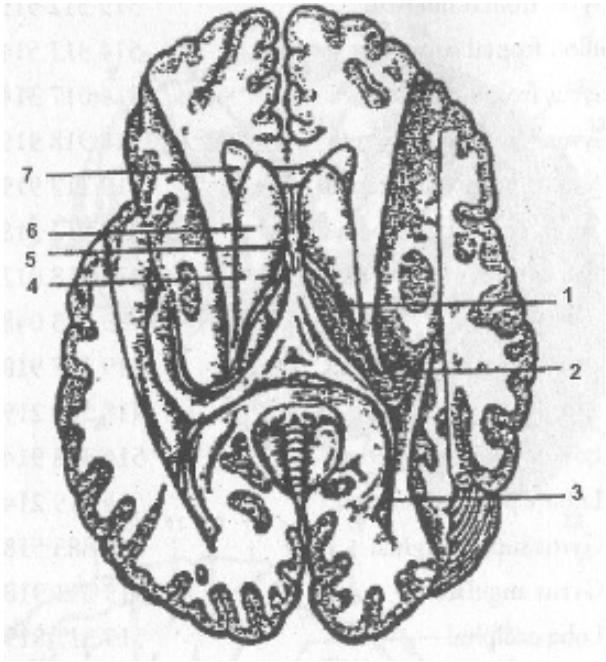

1 - Partie centrale du ventricule latéral	248 614 319 641
2 - Corne inférieure	319 817 919 917
3 - Corne dorsale	798 617 398 541
4 - Foramen interventriculaire	548 321 918 811
5 - Septum lucidum	214 817 914 817
6 - Tête du noyau caudé	511 064 918 244
7 - Corne antérieure	514 312 518 212

Image 146. **Le rhombencéphale** (vue sagittale)

314 617 918 554

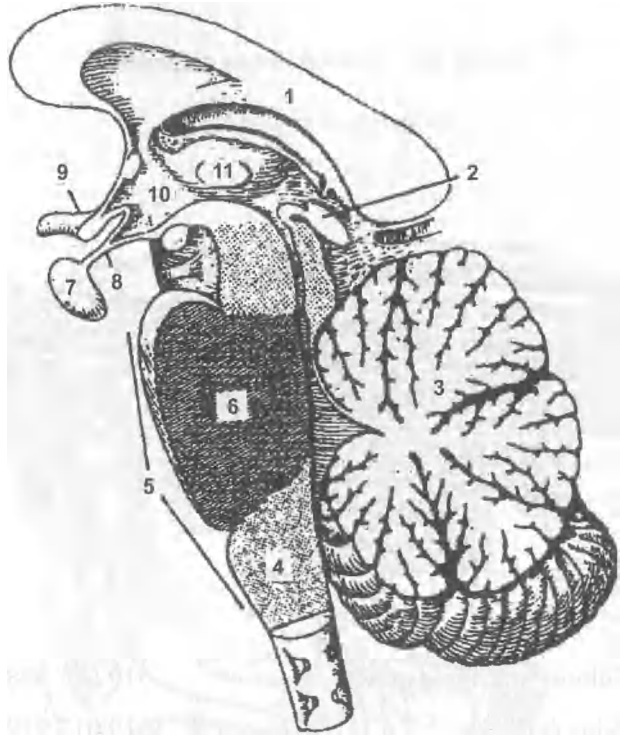

1 - Corps calleux	498 712 328 071
2 - Glande pinéale (épiphyse)	489 641 399 042
3 - Cervelet	828 219 328 299
4 - Moelle allongée	514 417 814 217
5 - Rhombencéphale	314 617 918 554
6 - Pont	248 317 284 271
7 - Hypophyse	317 218 219 819
8 - Infundibulum	519 211 919 000
9 - Chiasma optique	010 216 319 517
10 - Hypothalamus	918 671 818 971
11 - Adhésion interthalamique	248 719 361 989

Les méninges cérébrales

519 317 819 217

Image 147. **Les méninges cérébrales**

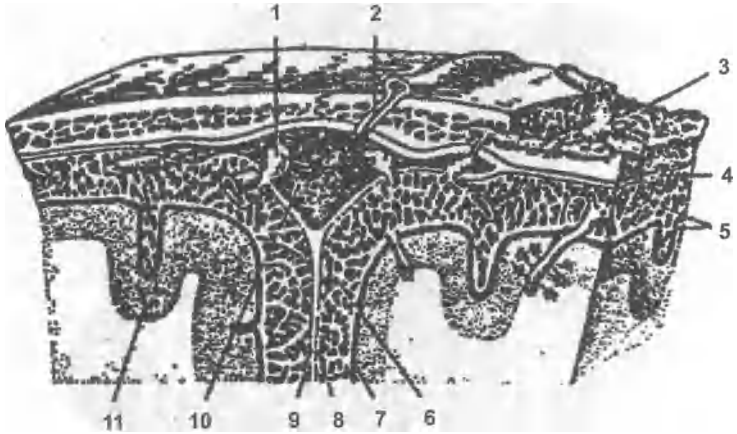

1 - Villosité arachnoïdienne	519 617 888 918
2 - Veine émissaire	519 012 919 722
3 - Veine de l'os spongieux	518 712 318 222
4 - Dure-mère	333 489 312 289
5 - Trabécules arachnoïdiennes	519 317 919 227
6 - Espace sous-arachnoïdien	318 271 228 971
7 - Paroi vasculaire cérébrale	514 322 814 212
8 - Arachnoïde	319 217 064 827
9 - Faux du cerveau	001 918 021 378
10 - Sinus sagittal supérieur	914 715 514 292
11 - Manteau	918 617 619 017

LE SYSTÈME NERVEUX PÉRIPHÉRIQUE

519 555 819 915

Les nerfs crâniens

814 212 314 812

Image 148. **Le nerf olfactif**

219 312 819 212

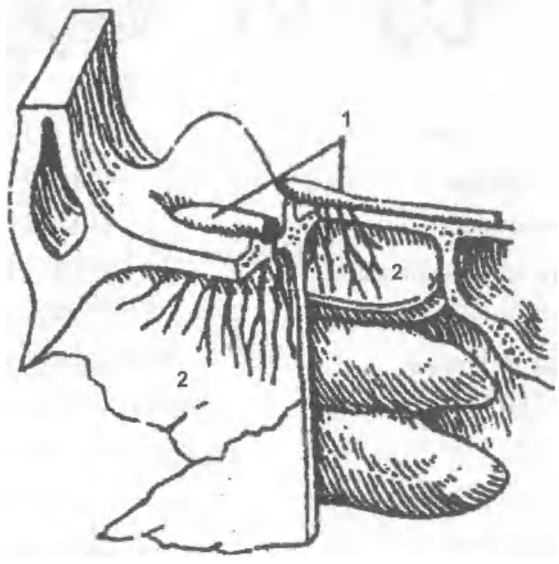

1 - Bulbes olfactifs	024 312 598 742
2 - Nerfs olfactifs	219 312 819 212

Image 149. **Le nerf optique**
448 817 918 217

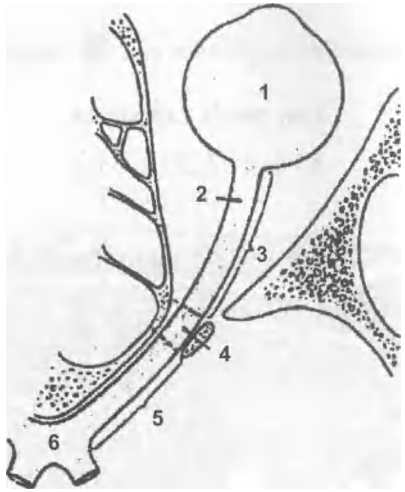

1 - Globe oculaire	519 321 819 288
2 - Nerf optique	448 817 918 217
3 - Partie orbitaire	219 316 019 517
4 - Partie intracanaliculaire	514 317 814 218
5 - Partie intracrânienne	219 321 919 821
6 - Chiasma optique	010 216 319 517

Image 150. **Les nerfs oculomoteur et trochléaire**
819 321 919 821

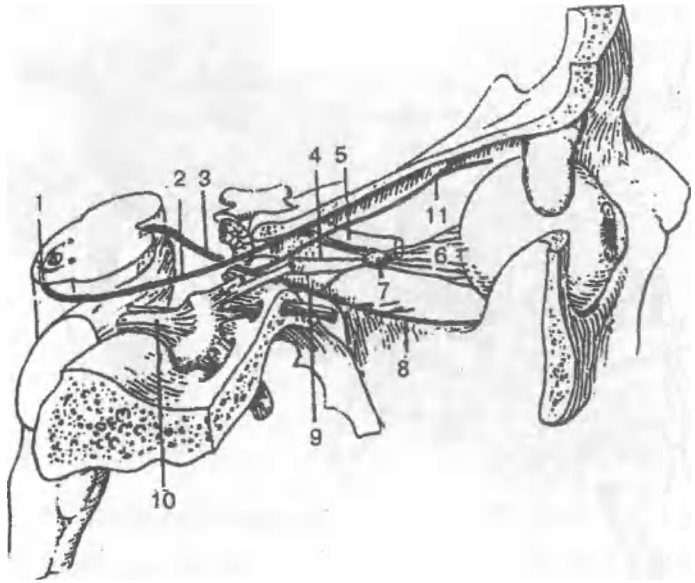

1 - Décussation des nerfs trochléaires	519 819 210 248
2 - Nerf trochléaire	498 064 318 712
3 - Nerf oculomoteur	519 217 519 217
4 - Racine sympathique	548 571 918 221
5 - Nerf (la partie) optique	448 817 918 217
6 - Nerfs ciliaires courts	478 521 928 321
7 - Ganglion ciliaire	519 788 589 228
8 - Rameau inférieur du nerf oculomoteur	219 888 999 617
9 - Racine naso-ciliaire	519 512 879 002
10 - Nerf trijumeau	549 319 818 711
11 - Rameau supérieur du nerf oculomoteur	501 048 998 118

Image 151. **Le nerf optique**

(première branche du nerf trijumeau)

914 815 914 715

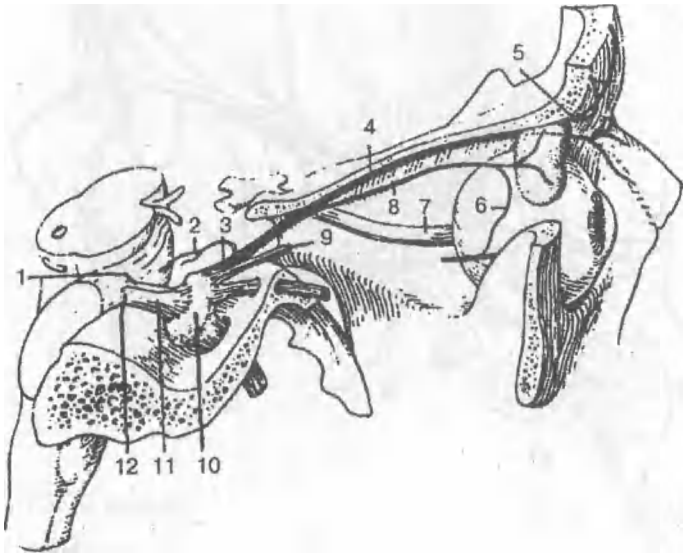

1 - Racine motrice	929 317 918 817
2 - Rameau tentoriel (méningé)	929 317 918 513
3 - Nerf optique	317 918 478 217
4 - Nerf frontal	519 712 919 812
5 - Nerf supraorbitaire	948 517 218 557
6 - Rameau communicant (avec le nerf zygomatique)	514 827 918 527
7 - Nerf optique	448 817 918 217
8 - Nerf lacrymal	478 217 378 217
9 - Nerf naso-ciliaire	519 318 219 298
10 - Ganglion trigéminal	418 217 218 217
11 - Nerf trijumeau	549 319 818 711
12 - Racine sensitive	514 321 814 721

Image 152. **Le nerf maxillaire supérieur**

(deuxième branche du nerf trijumeau)

519 712 819 222

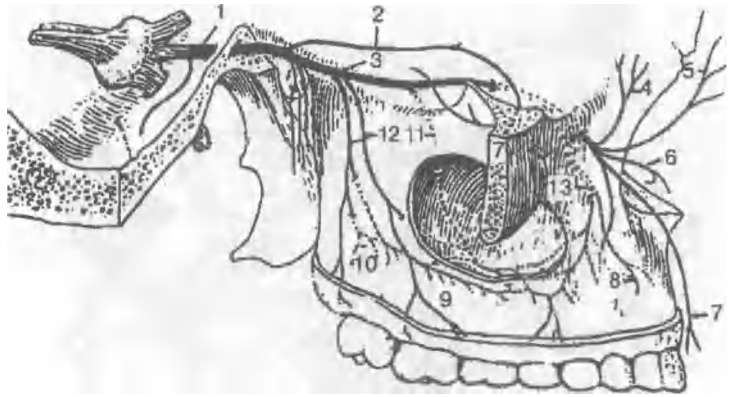

1 - Nerf maxillaire supérieur	519 712 919 222
2 - Nerf zygomatique	498 517 018 917
3 - Nerf sous-orbitaire	599 864 728 216
4 - Rameaux inférieurs des paupières	519 231 919 811
5 - Rameaux nasaux externes	519 817 919 227
6 - Rameaux nasaux internes	498 515 918 225
7 - Rameaux labiaux supérieurs	514 273 518 223
8 - Rameaux dentaires supérieurs	519 816 319 777
9 - Rameaux gingivaux supérieurs	418 217 918 227
10 - Plexus dentaire supérieur	519 621 978 911
11 - Nerf dentaire moyen supérieur	514 371 948 211
12 - Rameaux alvéolaires postérieurs supérieurs	514 327 549 247
13 - Rameaux alvéolaires antérieurs supérieurs	548 217 217 319

Image 153. **Le nerf maxillaire inférieur**
(troisième branche du nerf trijumeau)
514 321 814 221

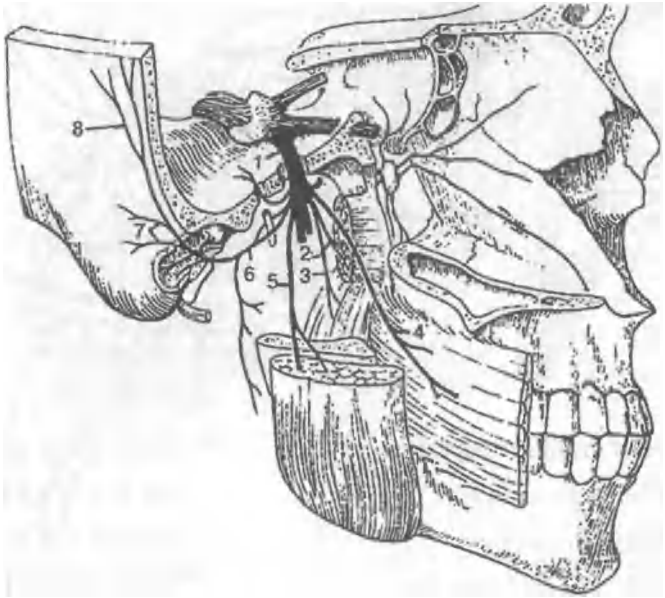

1 - Nerf maxillaire inférieur	514 321 814 221
2 - Nerf ptérygoïdien latéral	214 712 814 212
3 - Nerf ptérygoïdien médial	519 712 819 212
4 - Nerf buccal	489 061 278 671
5 - Nerf massétérin	518 217 918 227
6 - Nerf auriculo-temporal	319 721 919 221
7 - Nerfs auriculaires antérieurs	248 655 448 755
8 - Rameaux temporaux superficiels	429 321 899 411

Image 154. **Le nerf lingual**
214 318 714 818

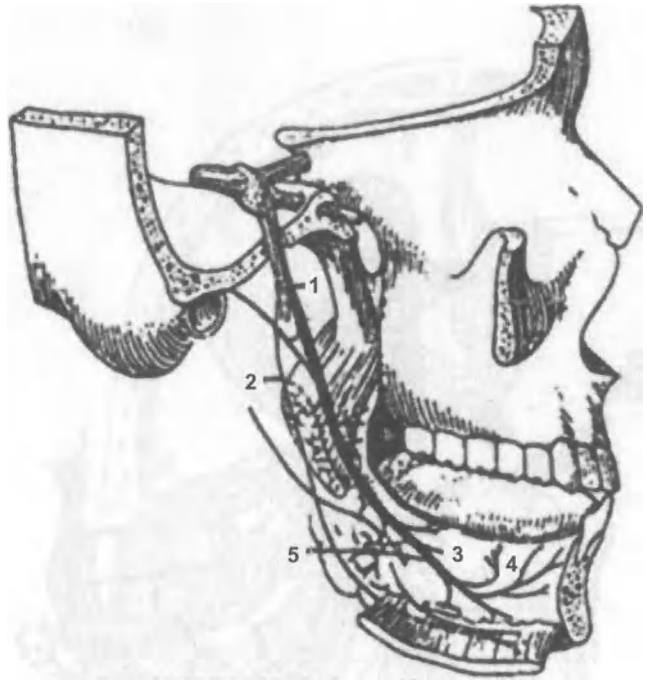

1 - Nerf lingual	214 318 714 818
2 - Nerf mylo-hyoïdien	519 312 419 712
3 - Rameaux linguaux	819 418 519 718
4 - Nerf hypoglosse	548 321 555 678
5 - Ganglion submandibulaire parasympathique	314 815 214 915

Image 155. **Le nerf alvéolaire inférieur**

891 318 519 458

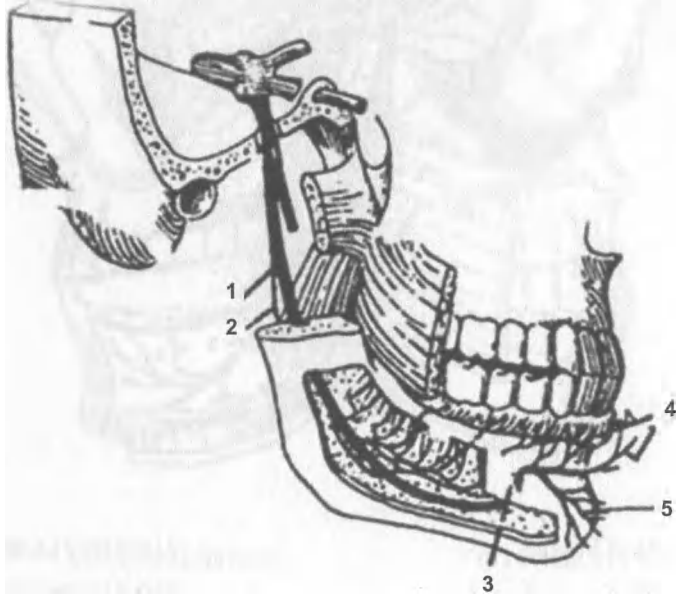

1 - Nerf alvéolaire inférieur	891 318 519 458
2 - Nerf mylo-hyoïdien	519 312 419 712
3 - Nerf mentonnier	319 814 819 914
4 - Rameaux gingivaux et labiaux	514 813 914 608
5 - Rameaux mentonniers	319 812 819 312

Image 156. **Le nerf abducens**

514 517 214 812

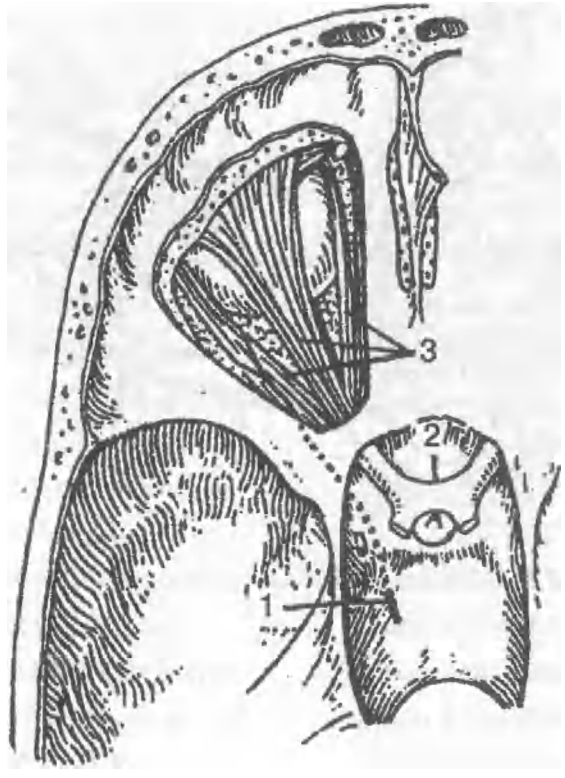

1 - Nerf abducens	514 517 214 812
2 - Nerf optique	448 817 918 217
3 - Muscles de l'œil	548 712 818 912

Image 157. **Le nerf facial**
999 811 319 211

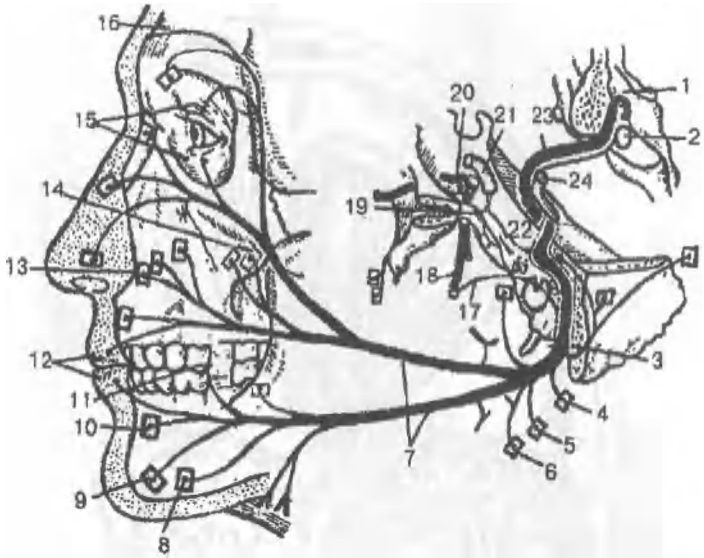

1 - Fond du quatrième ventricule 519 318 010 624
2 - Noyau du nerf facial 668 317 918 517
3 - Foramen stylo-mastoïdien 514 318 214 818
4 - Rameau vers le muscle auriculaire postérieur 919 312 819 512
5 - Rameau vers le ventre postérieur du muscle digastrique 519 318 918 312
6 - Rameau vers le muscle stylo-hyoïdien 514 812 819 412
7 - Rameau communicant du nerf facial avec les muscles de l'expression faciale et le muscle peaucier du cou 514 317 418 219
8 - Rameau vers le muscle abaisseur de l'angle de la bouche 514 317 214 317
9 - Rameau vers le muscle de la houppe du menton 919 512 418 712
10 - Rameau vers le muscle abaisseur de la lèvre inférieure 519 312 518 712
11 - Rameau vers le muscle buccinateur 418 317 814 217
12 - Rameau vers le muscle orbiculaire des lèvres 219 379 891 472
13 - Rameau vers le muscle élévateur de la lèvre supérieure 519 314 718 213
14 - Rameau vers le muscle zygomatique 521 378 421 278
15 - Rameau vers le muscle orbiculaire de l'œil 498 781 398 217
16 - Rameau vers le ventre frontal du muscle épicrânien 548 371 898 217
17 - Corde du tympan 519 712 891 421
18 - Nerf lingual 214 318 714 818
19 - Ganglion sphénopalatin 548 317 814 312
20 - Ganglion trigéminal 418 217 218 217
21 - Artère carotide interne 549 712 810 248
22 - Nerf intermédiaire 219 381 648 719
23 - Nerf facial 999 811 319 211
24 - Nerf vestibulo-cochléaire 548 217 918 421

Image 158. **Le nerf vestibulo-cochléaire**
548 217 918 421

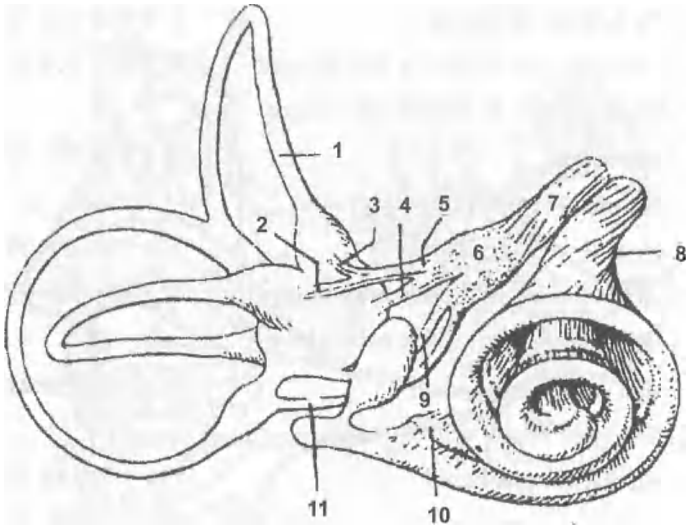

1 - Canaux semi-circulaires	841 918 219 312
2 - Nerf ampullaire latéral	519 471 898 371
3 - Nerf ampullaire antérieur	548 317 918 221
4 - Nerf utriculaire	519 328 499 228
5 - Nerf utriculo-ampullaire	514 312 814 882
6 - Ganglion vestibulaire	719 317 919 817
7 - Nerf vestibulaire	519 481 919 371
8 - Nerf cochléaire	518 317 918 221
9 - Nerf sacculaire	518 472 918 222
10 - Ganglion de Corti (ganglion spiral de Corti)	914 712 814 212
11 - Nerf ampullaire postérieur	219 473 218 223

Image 159. **Le nerf glosso-pharyngien**
519 371 214 572

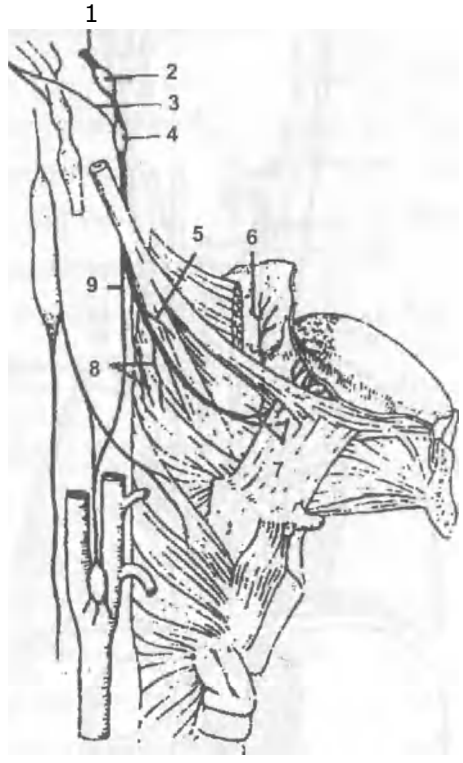

1 - Nerf glosso-pharyngien	519 371 214 572
2 - Ganglion supérieur	501 784 968 781
3 - Rameau communicant	519 317 068 007
4 - Ganglion inférieur	319 216 519 428
5 - Rameau du muscle stylo-pharyngien	542 718 212 328
6 - Rameaux tonsillaires	549 317 229 327
7 - Rameaux linguaux	819 418 519 718
8 - Rameaux pharyngiens	498 217 228 417
9 - Rameau du sinus carotidien	319 421 219 221

Image 160. **Le nerf vague**

489 981 728 221

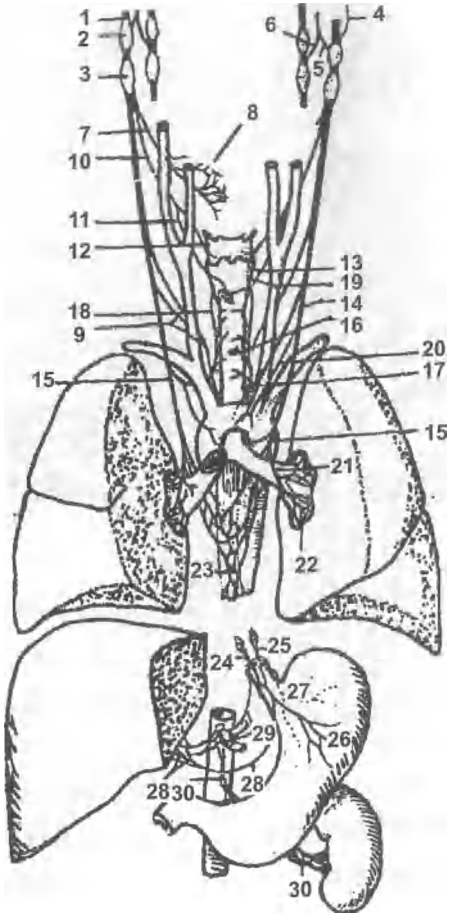

1 - Nerf vague	489 981 728 221
2 - Ganglion supérieur	501 784 968 781
3 - Ganglion inférieur	319 216 519 428
4 - Rameau méningé	548 640 294 371
5 - Rameau auriculaire	519 318 919 287
6 - Rameau communicant	519 321 919 811
7 - Rameaux pharyngiens	498 217 228 417
8 - Plexus pharyngien	519 315 919 885
9 - Rameaux cardiaques cervicaux supérieurs	498 712 319 882
10 - Nerf laryngé supérieur	498 882 319 982
11 - Rameau extérieur	519 831 918 281
12 - Rameau intérieur	498 215 298 195
13 - Rameau communicant avec le nerf laryngé récurrent	591 061 974 891
14 - Rameaux cardiaques cervicaux inférieurs	498 761 998 251
15 - Nerf laryngé récurrent	518 472 888 912
16 - Rameaux trachéaux	919 810 499 310
17 - Rameaux œsophagiens	519 512 319 812
18 - Nerf laryngé inférieur	514 312 814 222
19 - Rameau communicant du rameau laryngé interne	519 321 718 221
20 - Rameaux cardiaques thoraciques	989 312 918 212
21 - Rameaux bronchiques	619 321 819 221
22 - Plexus pulmonaire	428 317 888 917
23 - Plexus œsophagien	219 641 298 581
24 - Tronc vagal antérieur	214 217 914 817
25 - Tronc vagal postérieur	219 317 219 228
26 - Rameaux gastriques antérieurs	289 317 299 277
27 - Rameaux gastriques postérieurs	298 312 678 212
28 - Rameaux hépatiques	214 213 219 312
29 - Rameaux cœliaques	298 012 718 202
30 - Rameaux rénaux	219 317 209 717

Image 161. **Le nerf accessoire**

489 917 319 712

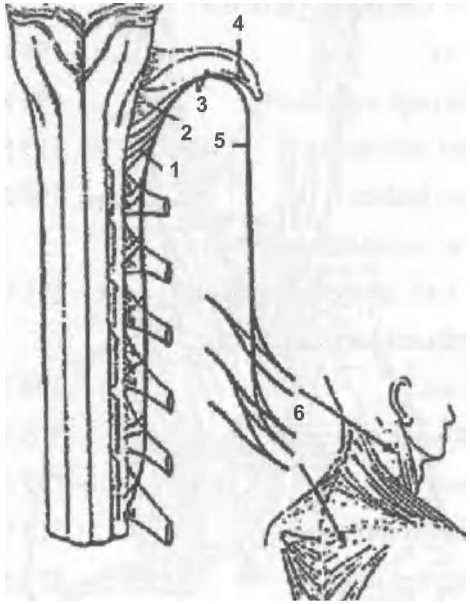

1 - Racines rachidiennes	519 641 918 471
2 - Racines crâniennes (partie vagale)	548 217 319 227
3 - Tronc du nerf accessoire	419 061 918 432
4 - Rameau interne	498 215 298 195
5 - Rameau externe	519 831 918 281
6 - Rameaux musculaires	214 312 814 282

Image 162. **Le nerf hypoglosse et le plexus cervical** (hyoïdien)

214 332 817 728

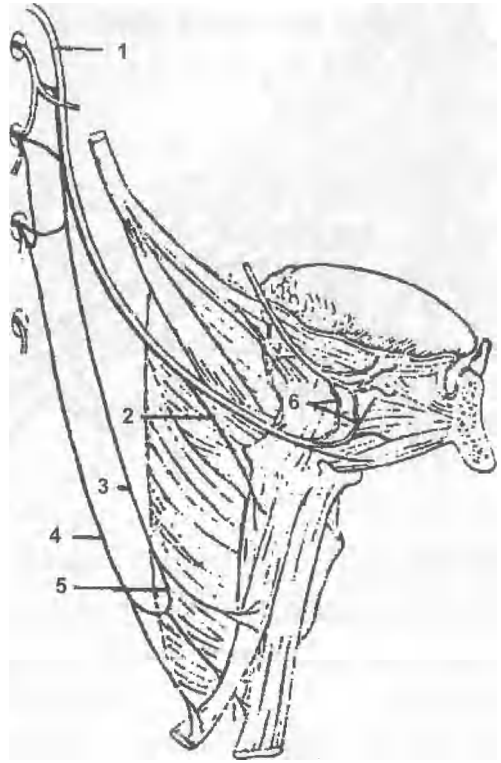

1 - Nerf hypoglosse	548 321 555 678
2 - Rameau thyro-hyoïdien	519 513 419 213
3 - Racine antérieure	519 317 819 228
4 - Racine postérieure	409 272 819 322
5 - Plexus cervical (hypoglosse)	841 332 817 798
6 - Rameaux linguaux	819 418 519 718

Les nerfs spinaux

489 218 918 217

Image 163. **Le nerf spinal**

489 218 918 217

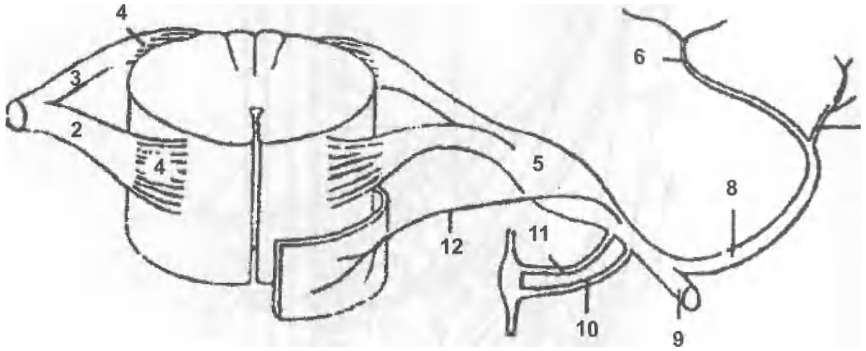

1 - Tronc du nerf spinal	848 312 888 202
2 - Racine antérieure (motrice)	248 317 881 204
3 - Racine postérieure (sensitive)	512 312 489 202
4 - Filets radiculaires	514 327 988 189
5 - Ganglion spinal (sensitif)	918 312 889 202
6 - Partie médiane du rameau postérieur	819 317 228 227
7 - Partie latérale du rameau postérieur	519 312 819 272
8 - Rameau postérieur	548 715 888 215
9 - Rameau antérieur	598 671 098 317
10 - Rameau blanc	519 064 319 711
11 - Rameau gris	229 829 318 912
12 - Rameau méningé	498 517 328 777

Image 164. **Le plexus brachial**

312 314 512 214

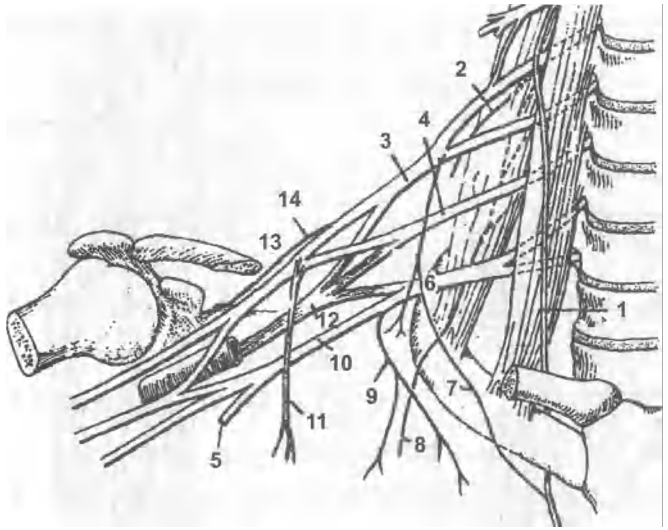

1 - Nerf phrénique	519 378 219 888
2 - Nerf dorsal de l'omoplate	888 888 919 017
3 - Tronc supérieur du plexus brachial	428 217 228 277
4 - Tronc moyen du plexus brachial	514 312 814 222
5 - Tronc sous-clavier	498 217 289 277
6 - Tronc inférieur du plexus brachial	748 213 888 213
7 - Nerfs phréniques accessoires	067 214 327 224
8 - Nerf thoracique long	519 641 598 714
9 - Nerf pectoral médial	418 722 888 222
10 - Nerf pectoral latéral	214 317 914 777
11 - Faisceau médial	819 312 819 314
12 - Faisceau postérieur	889 212 478 312
13 - Faisceau latéral	514 312 889 212
14 - Nerf suprascapulaire	418 319 218 912

Image 165- **Les nerfs du bras, de l'avant-bras et de la main**
412 818 219 314

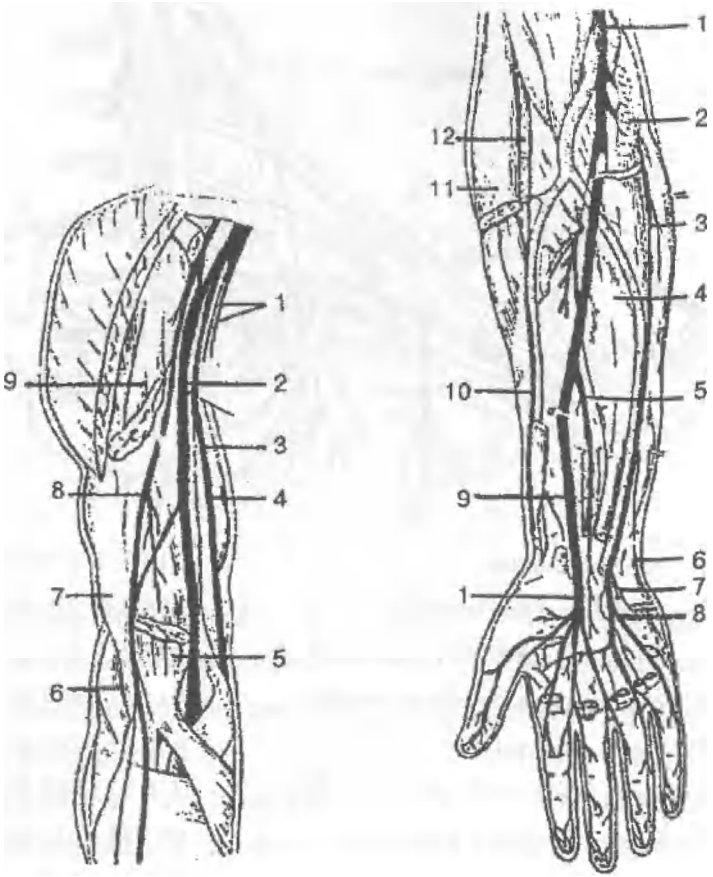

A - Nerfs du bras	429 561 989 079
1 - Nerf cutané médial du bras et nerf cutané médial de l'avant-bras	428 312 518 212
2 - Nerf médian	498 717 818 217
3 - Artère brachiale	598 641 389 071
4 - Nerf cubital	319 817 919 016
5 - Biceps du bras (extrémité distale)	598 064 389 517
6 - Nerf radial	514 317 814 212
7 - Muscle brachial	319 717 819 317
8 - Nerf musculo-cutané	512 314 212 814
9 - Biceps du bras (extrémité proximale)	514 319 064 818
B - Nerfs de l'avant-bras et de la main	218 001 209 317
1 - Nerf médian	498 717 818 217
2 - Muscle rond pronateur	214 888 219 317
3 - Nerf cubital	319 817 919 016
4 - Muscle fléchisseur commun profond des doigts	213 814 818 217
5 - Nerf interosseux antérieur	548 312 819 272
6 - Branche dorsale du nerf cubital	428 577 928 227
7 - Branche profonde du nerf cubital	458 317 218 757
8 - Branche superficielle du nerf cubital	419 312 819 422
9 - Muscle carré pronateur	489 016 718 941
10 - Branche superficielle du nerf radial	548 217 328 227
11 - Muscle brachio-radial	429 318 229 718
12 - Nerf radial	514 317 814 212

Image 166. **Le plexus lombo-sacral**
214 712 814 328

1 - Rameaux postérieurs des nerfs lombaires	418 712 818 322
2 - Rameaux antérieurs des nerfs lombaires	514 372 814 222
3 - Nerf ilio-hypogastrique	514 371 814 211
4 - Nerf génito-crural	518 317 989 316
5 - Nerf ilio-inguinal	518 471 299 317
6 - Nerf cutané latéral de la cuisse	519 618 919 818
7 - Rameau fémoral	514 317 814 818
8 - Rameau génital	528 712 328 912

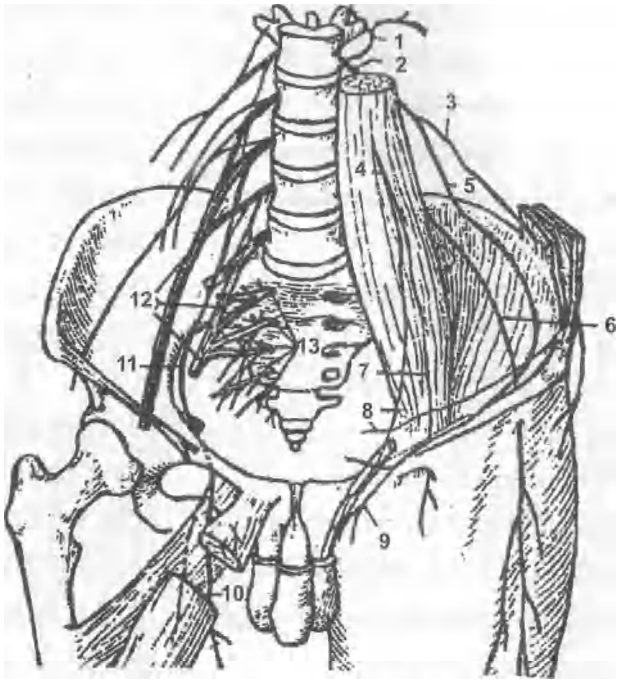

9 - Nerfs scrotaux antérieurs
428 319 718 219

10 - Rameau antérieur du nerf obturateur
514 718 219 317

11 - Nerf obturateur
589 317 919 217

12 - Plexus lombo-sacré
214 712 814 328

13 - Branches antérieures du plexus sacré
548 312 219 228

Image 167. **Les nerfs fessiers et les nerfs de la face postérieure de la cuisse**
214 718 219 312

1 - Nerf fessier supérieur
419 715 819 215

2 - Nerf sciatique
898 919 719 828

3,4 - Rameaux musculaires du nerf sciatique
214 312 814 712

5 - Nerf tibial
518 714 818 914

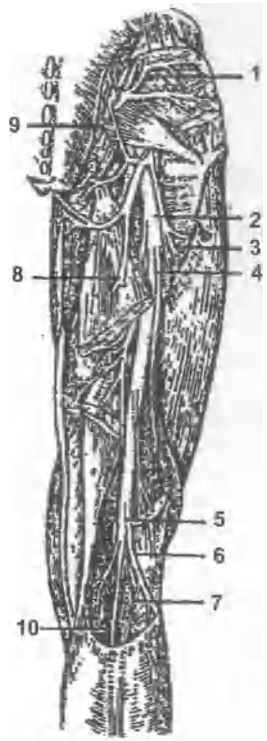

6 - Nerf fibulaire commun
498 217 998 717

7 - Nerf cutané sural latéral
492 517 212 817

8 - Nerf cutané postérieur de la cuisse
514 317 218 277

9 - Nerf fessier inférieur
819 215 518 225

10 - Nerf cutané dorsal médial
514 312 814 872

Image 168. **Les nerfs jambiers** (face postérieure)
548 217 218 887

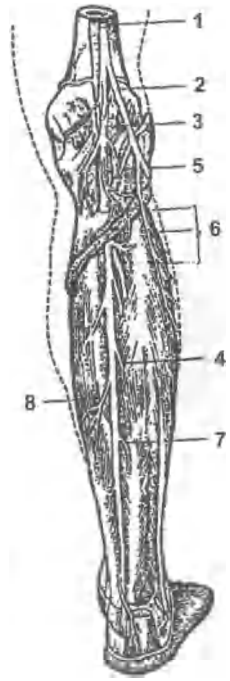

1 - Nerf sciatique
898 919 719 828

2 - Nerf fibulaire commun
498 217 998 717

3 - Nerf tibial
514 812 919 222

4, 7, 8 - Branches musculaires du nerf tibial
548 714 818 214

5 - Nerf cutané sural latéral
492 517 212 817

6 - Rameaux musculaires du nerf sciatique
548 219 319 878

LE SYSTÈME NERVEUX

AUTONOME (VÉGÉTATIF)

514 312 819 981

Le système sympathique

891 418 318 888

Le système parasympathique

418 217 318 918

Les aires cytoarchitectoniques

du cortex cérébral

219 047 819 215

Image 169. **L'arc réflexe**

219 317 819 892

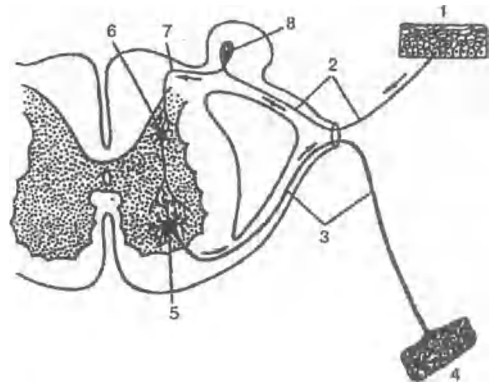

1 - Terminaisons nerveuses

du neurone sensitif de la peau 428 317 918 217

2 - Processus périphérique
du neurone sensitif 591 489 766 281
3 - Axone de la cellule motrice 428 312 918 212
4 - Terminaison nerveuse du muscle 519 317 918 287
5 - Cellule motrice de la corne antérieure 491 218 519 328
6 - Interneurone 314 517 214 817
7 - Processus central du neurone sensitif 512 216 219 327
8 - Ganglion spinal 428 312 219 217

Les systèmes d'alarme

891 312 918 412

LES ORGANES SENSORIELS

214 712 514 312

L’organe de la vision

219 317 989 312

Image 170. **L’œil**

514 317 814 917

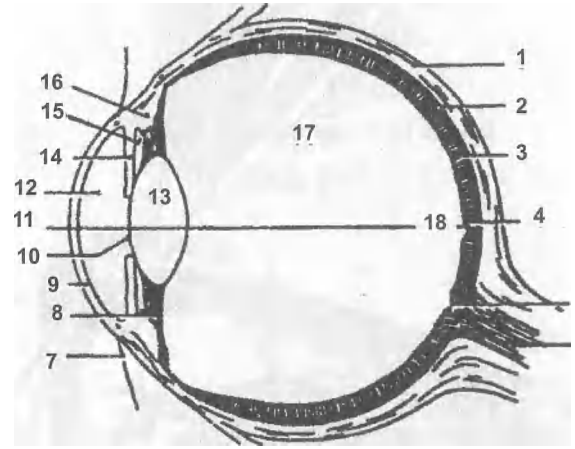

1 - Sclère	928 317 818 917
2 - Uvée	218 712 819 312
3 - Rétine	319 218 918 217
4 - Fovéa	548 614 719 641
5 - Point aveugle	489 000 909 216
6 - Nerf optique	448 817 918 217
7 - Conjonctive	528 317 312 819
8 - Corps ciliaire	898 312 519 482
9 - Cornée	489 317 219 217
10 - Pupille	489 319 218 213
11, 18 - Axe optique	519 317 419 817
12 - Chambre antérieure	489 715 219 816
13 - Cristallin	519 321 819 221
14 - Iris	428 218 318 219

15 - Chambre postérieure 489 312 918 216
16 - Muscle ciliaire 219 312 719 312
17 - Corps vitré 519 322 819 212

Les organes accessoires de l'œil

219 899 319 214

Image 171. **Les muscles de l'œil**
512 901 318 201

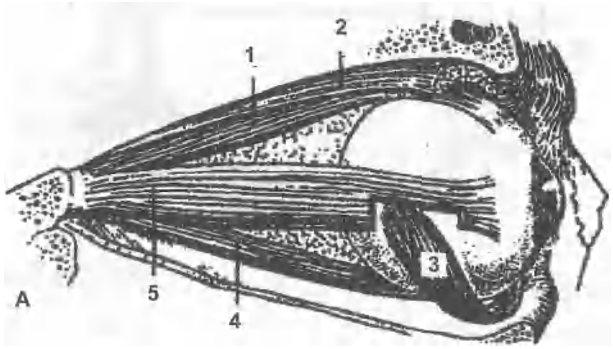

A - Vue latérale

1 - Muscle droit supérieur 498 617 219 190
2 - Muscle élévateur de la paupière supérieure 512 419 312 228
3 - Muscle oblique inférieur 319 618 204 881
4 - Muscle droit inférieur 219 317 219 827
5 - Muscle droit latéral 328 421 898 712

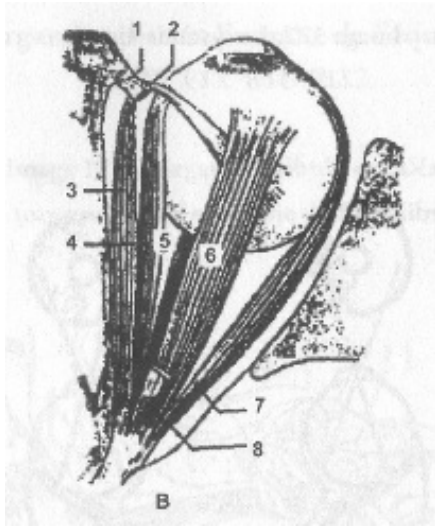

B - Vue de dessus

1 - Bloc 229 457 298 788
2 - Gaine du tendon du muscle oblique supérieur 248 272 458 299
3 - Muscle oblique supérieur 219 312 919 802
4 - Muscle droit médial 898 782 988 312
5 - Muscle droit inférieur 219 317 219 827
6 - Muscle droit supérieur 498 617 219 190
7 - Muscle droit latéral 328 421 898 712
8 - Muscle élévateur de la paupière supérieure 512 419 312 228

Image 172. **Le système visuel**
219 318 719 817

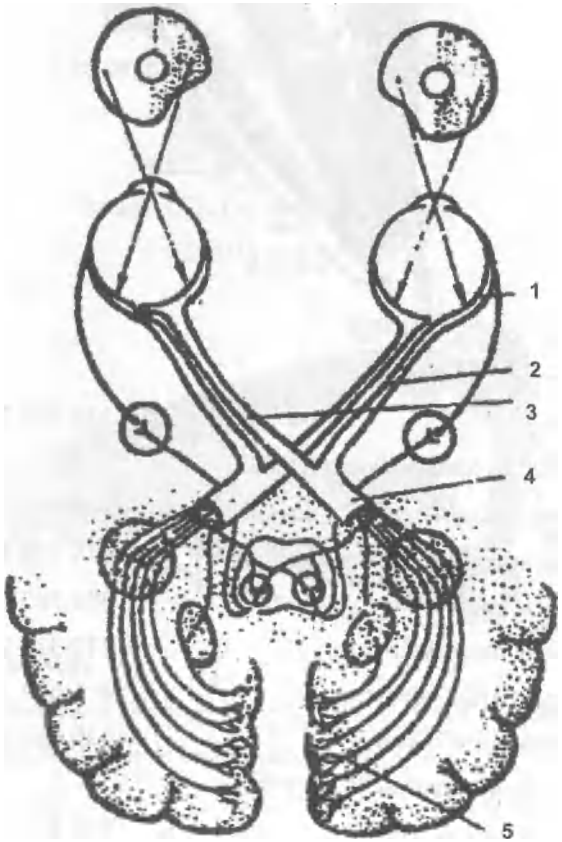

1 - Rétine	319 218 918 217
2 - Fibres non croisées du nerf visuel	214 317 819 007
3 - Fibres croisées du nerf visuel	719 300 800 111
4 - Tractus optique	519 218 919 245
5 - Système cortical	519 312 819 227

L'organe auditif et l'organe de l'équilibre
248 712 318 222

Image 173. **L'organe vestibulo-cochléaire**
(organe auditif et organe de l'équilibre)

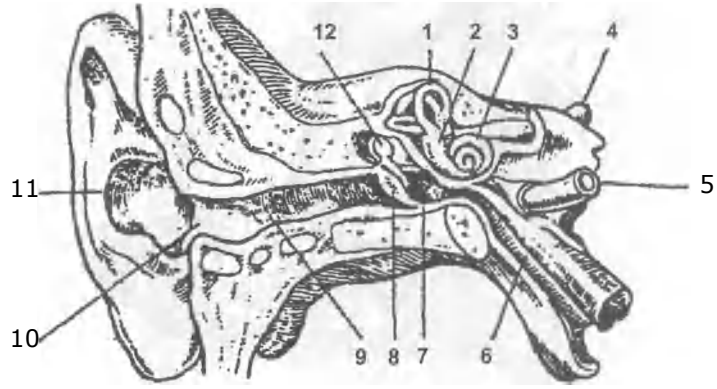

1 - Canal semi-circulaire supérieur	498 312 818 221
2 - Vestibule	948 218 298 820
3 - Cochlée	321 018 204 516
4 - Nerf auditif	458 912 312 819
5 - Artère carotide	428 713 828 213
6 - Trompe auditive	429 318 919 228
7 - Cavité tympanique	519 317 919 827
8 - Membrane du tympan	429 317 229 817
9 - Conduit auditif externe	519 421 919 811
10 - Orifice du conduit auditif	52 917 319 817
11 - Pavillon auriculaire	421 918 518 717
12 - Marteau	521 328 421 891

Image 174. **Les osselets de l'ouïe**

428 317 218 227

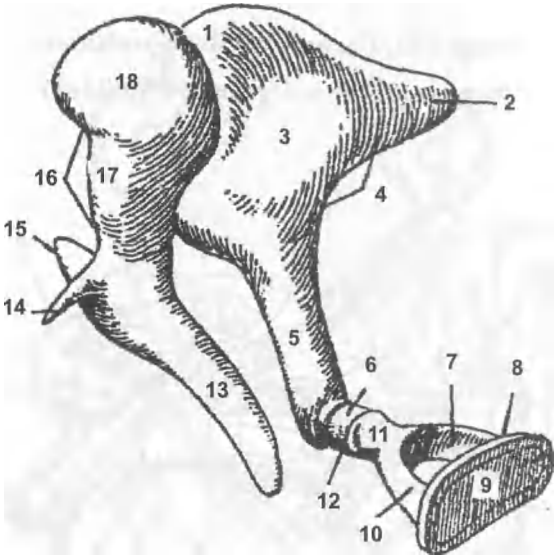

1 - Articulation incudo-malléaire	214 312 914 212
2 - Courte apophyse de l'enclume	512 612 218 377
3 - Corps de l'enclume	889 891 892 712
4 - Enclume	521 488 711 918
5 - Longue apophyse de l'enclume	548 712 528 312
6 - Apophyse lenticulaire	528 219 312 219
7 - Branche postérieure de l'étrier	428 517 928 717
8 - Étrier	498 714 889 216
9 - Base de l'étrier	378 819 498 881
10 - Branche antérieure de l'étrier	488 711 294 301
11 - Tête de l'étrier	481 499 816 701
12 - Articulation incudo-stapédienne	797 014 398 481
13 - Manche du marteau	878 421 891 216
14 - Processus antérieur du marteau	219 054 398 716
15 - Processus latéral du marteau	481 898 714 849
16 - Marteau	521 328 421 891
17 - Col du marteau	891 219 311 919
18 - Tête du marteau	214 312 814 918

Image 175. **Le canal cochléaire** (coupe transversale)

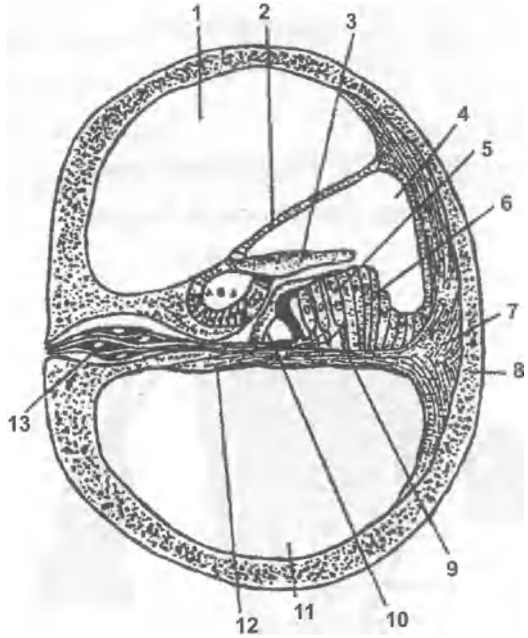

1 - Rampe vestibulaire	219 317 918 516
2 - Paroi vestibulaire du conduit cochléaire	498 641 919 319
3 - Membrane tectoriale	498 516 679 210
4 - Aqueduc cochléaire	312 814 219 322
5 - Cellules auditives ciliées	512 418 622 898
6 - Cellules de soutien	548 312 988 822
7 - Limbe spiral (ligament spiral)	528 318 618 227
8 - Tissu osseux de la cochlée	428 219 319 891

9 - Cellule de soutien 294 316 819 511
10 - Piliers de l'organe spiral (de Corti) 214 316 719 816
11 - Rampe tympanique 918 421 519 317
12 - Lame basilaire 514 321 898 218
13 - Cellules nerveuses du ganglion spiral 428 317 428 527

L'organe gustatif

419 317 819 227

Image 176. **Les papilles linguales**
(zones gustatives de la langue)
419 381 489 294

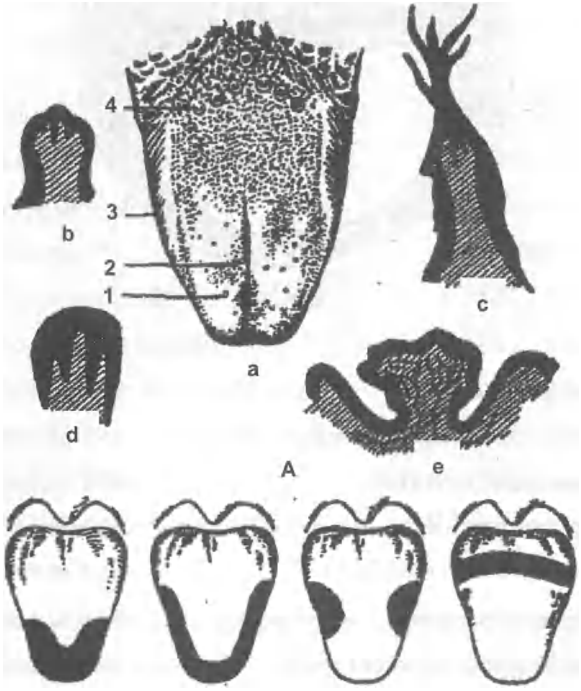

A - Papilles linguales 419 381 489 294
a - Habitus 914 819 319 821
b - Papille fongiforme 314 218 914 888
c - Papille filiforme 589 617 298 471
d - Papille foliée 418 644 319 515
e - Papille caliciforme 891 319 481 617
1 - Papilles fongiformes 314 218 914 888
2 - Papilles filiformes 589 617 298 471
3 - Papilles foliées 418 644 319 515
4 - Papilles caliciformes 891 319 481 617
B - Zones gustatives de la langue 419 317 819 217

L'organe olfactif

914 782 214 389

La peau

319 606 901 319

Image 177. **La peau**
(A - Coupe transversale, B - Structures visibles)

1 - Couche granuleuse 514 317 814 297
2 - Couche cornée 548 671 918 311
3 - Couche de Malpighi 914 917 414 897
4 - Follicule pileux 314 912 814 889
5 - Glandes sébacées 498 791 229 321
6 - Cellules sécrétrices 519 818 229 398
7 - Glande sudoripare 519 488 598 719

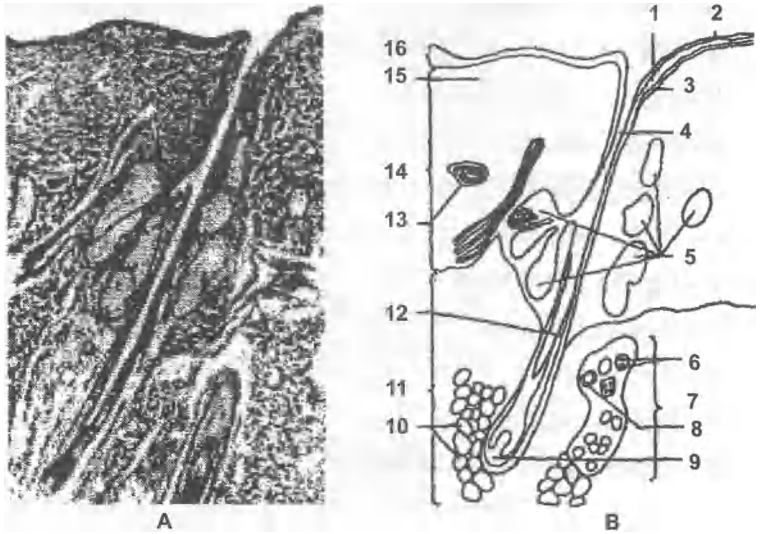

8 - Conduit glandulaire	891 098 789 016
9 - Papille pileuse	918 781 298 391
10 - Cellules graisseuses sous-cutanées	898 712 918 312
11 - Hypoderme	519 861 719 211
12 - Partie de la tige du poil	598 061 214 711
13 - Vaisseau sanguin	217 918 294 888
14 - Derme	498 718 519 317
15 - Fibres collagènes et élastiques	519 618 718 215
16 - Épiderme	598 718 889 888

Lorsque vous vous concentrez sur la peau, vous activez la régénération de la matière des organes en interaction avec l'organisme entier. La peau de l'homme sépare l'espace intérieur de son organisme de l'espace extérieur. C'est pourquoi, en vous concentrant sur les séries numériques correspondant au corps humain vous arrivez à piloter les événements qui se produisent dans l'organisme et à l'extérieur plus facilement que si vous vous focalisiez sur les séries numériques correspondant à d'autres éléments. Par conséquent, il est plus judicieux d'utiliser les séries numériques correspondant à la peau comme un élément d'accélération si vous souhaitez piloter les événements. En vous concentrant sur les séries numériques associées à la peau, vous arrivez à éliminer plus facilement les micro- et les macro-objets qui sont nocifs pour le corps humain, notamment les infections, ou à les empêcher d'affaiblir l'organisme humain.

LES GLANDES À SÉCRÉTION INTERNE

889 314 219 798

L’hypophyse et l’épiphyse

214 318 908 210

L’hypophyse

317 218 219 819

Image 178. **La position des glandes à sécrétion interne**

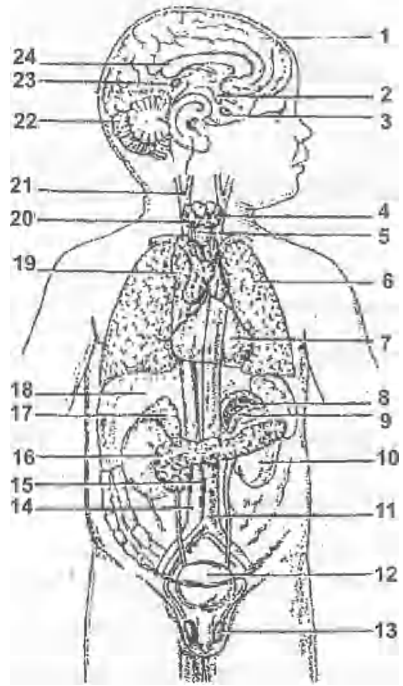

1 - Hémisphère cérébral	819 917 819 319
2 - Noyaux de l’hypothalamus	890 498 319 718
3 - Hypophyse	317 218 219 819
4 - Glande thyroïde	829 319 409 819
5 - Trachée	429 318 919 888
6 - Poumon	519 418 319 818
7 - Péricarde	989 387 988 878

8 - Substance médullaire de la glande surrénale	549 378 918 268
9 - Substance corticale (cortex) de la glande surrénale	912 898 949 319
10 - Rein	289 391 814 216
11 - Aorte	398 071 890 498
12 - Vessie	219 389 998 419
13 - Testicule	298 017 319 487
14 - Veine cave inférieure	549 671 919 871
15 - Paraganglion aortique	591 488 018 713
16 - Pancréas	589 317 919 877
17 - Glande surrénale	891 418 712 319
18 - Foie	219 712 919 222
19 - Thymus	481 914 319 814
20 - Glande parathyroïde	219 319 895 219
21 - Glomus carotidien	549 641 898 017
22 - Cervelet	828 219 328 299
23 - Glande pinéale (épiphyse)	489 641 399 042
24 - Corps calleux	498 712 328 071

Pour vous concentrer sur les glandes à sécrétion interne, vous devez prendre en considération leur emplacement et vous focaliser successivement sur les chiffres appropriés, à savoir 889 314 219 798, ainsi que sur les séries numériques associées aux organes qui se trouvent près d'elles. Il est judicieux d'utiliser cette méthode lorsque vous avez besoin de régénérer non seulement la matière mais également les organes avoisinants.
Afin d'accélérer la régénération de la matière, vous pouvez également utiliser la série pour la régularisation du fonctionnement des glandes à sécrétion interne, à savoir 519 317 219 416.

La glande pinéale (épiphyse)
489 641 399 042

Les glandes thyroïde et parathyroïde
219 318 219 471

La glande thyroïde
829 319 409 819

Les glandes parathyroïdes
219 319 895 219

Le thymus
481 914 319 814

La glande surrénale
891 418 712 319

La partie endocrine du pancréas
918 712 818 229

La partie endocrine des gonades
519 318 914 019

La régulation des glandes à sécrétion interne

519 317 219 416

LA GLANDE MAMMAIRE

648 317 219 491

La glande mammaire

648 317 219 491

Image 179. **La structure et la topographie de la glande mammaire**

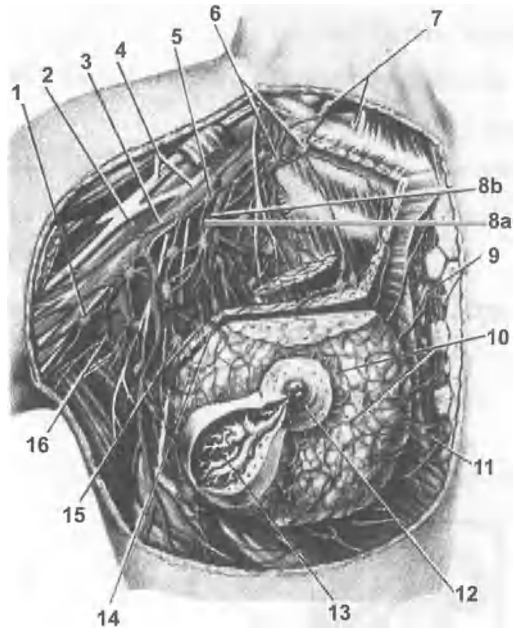

1 - Ganglion lymphatique axillaire latéral	497 218 217 498
2 - Artère axillaire	694 718 217 491
3 - Veine axillaire	849 716 218 471
4 - Plexus brachial	312 314 512 214
5 - Nœud lymphatique axillaire central	648 516 201 505
6 - Nœuds lymphatiques axillaires apicaux	618 471 298 741
7 - Nœuds lymphatiques supraclaviculaires	598 641 264 271
8a - Artère thoracique latérale	598 722 918 213
8b - Veine thoracique latérale	584 317 248 517
9 - Nœuds lymphatiques thoraciques	649 318 714 618

10 - Plexus des vaisseaux lymphatiques et sanguins 510 314 784 617
11- Rameau de l'artère thoracique interne dans la glande mammaire 479 841 589 641
12 - Aréole mammaire 394 647 198 518
13 - Conduits lactiferes 471 691 284 714
14 - Rameaux artériels latéraux de la glande mammaire 691 014 398 517
15 - Nœuds lymphatiques axillaires pectoraux 749 148 519 618
16 - Nœuds lymphatiques subscapulaires 184 816 014 214

Image 180. **L'anatomie de la glande mammaire**

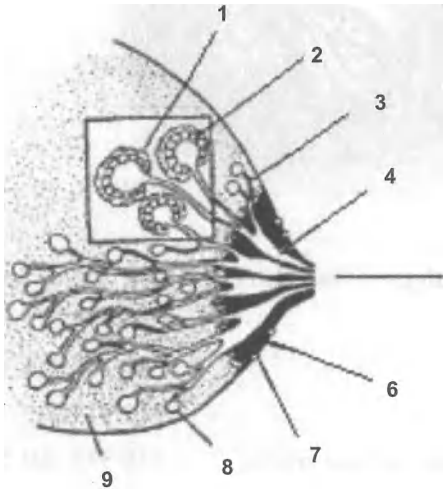

1 - Cellules musculaires 494 816 319 481
2 - Cellules mammaires 859 169 794 217
3 - Conduits lactiferes 471 691 284 714
4 - Sinus lactiferes 584 316 219 478

1 - Mamelon 894 181 319 718
2 - Aréole mammaire 394 647 198 518
3 - Glandes de Montgomery 491 819 488 514
4 - Alvéoles 614 819 319 714
5 - Tissus adipeux et de soutien 898 617 219 419

LE SYSTÈME CARDIO-VASCULAIRE

214 700 819 891

Le cœur

918 749 328 081

Image 181-**Le coeur** (vue de face)

918 749 328 081

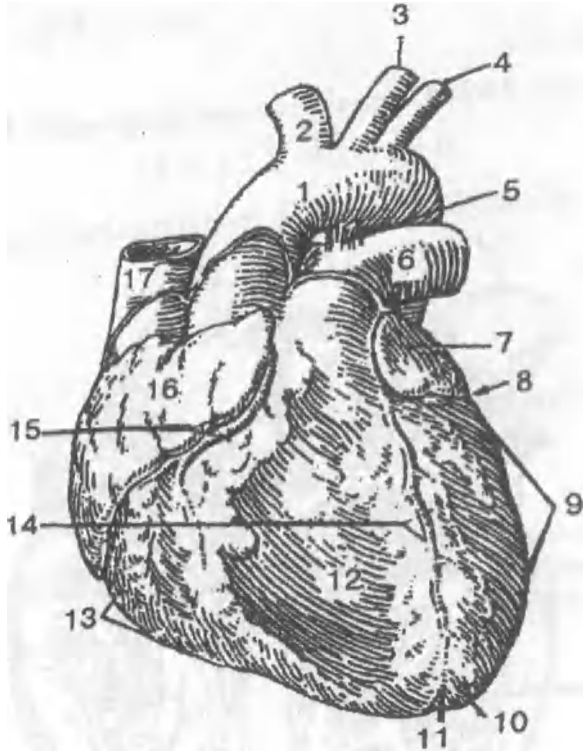

1 - Aorte	398 071 890 498
2 - Tronc brachio-céphalique	998 301 248 227
3 - Artère carotide commune gauche	428 712 488 913
4 - Artère subclavière gauche	429 387 219 377
3 - Ligament artériel	519 481 319 818
6 - Tronc pulmonaire	519 421 819 221
7 - Oreillette gauche	519 318 219 481
8, 15 - Sillon coronaire	519 312 814 829
9 - Ventricule gauche	589 348 914 918
10 - Apex du cœur	519 421 899 321

11 - Incisure de l'apex du cœur 528 944 988714
12 - Face sterno-costale (antérieure) du cœur 519 317 988 547
13 - Ventricule droit 598 371 988 011
14 - Sillon interventriculaire antérieur 909 817 398 787
16 - Oreillette droite 598 714 321 898
17 - Veine cave supérieure 398 712 988 012

Image 182. **Le cœur** (coupe longitudinale)
918 749 328 081

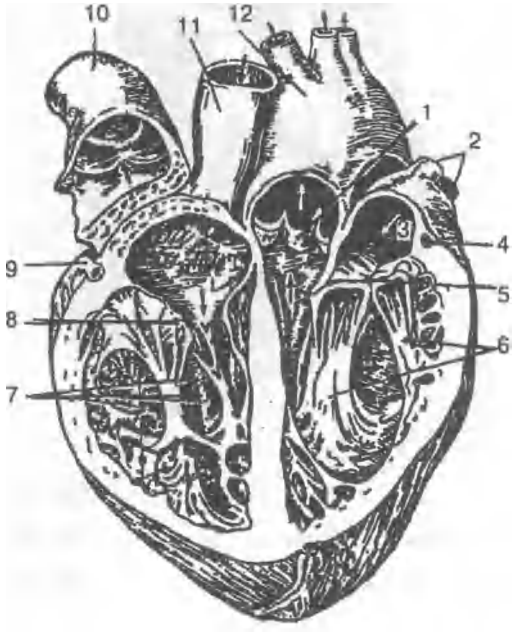

1 - Valvules semi-lunaires de la valve aortique 591 487 919 877
2 - Veines pulmonaires 309 428 519 421
3 - Atrium gauche 518 712 314 887
4, 9 - Artères coronaires 519 817 319 487
5 - Valve atrio-ventriculaire gauche
(valvule mitrale, valvule bicuspide) 598 517 818 617
6 - Muscles papillaires 598 717 918 317
7 - Ventricule droit 598 371 988 011
8 - Valve atrio-ventriculaire droit
(valvule tricuspide) 389 412 819 322
10 - Tronc pulmonaire 519 421 819 221
11 - Veine cave supérieure 398 712 988 012
12 - Aorte 398 071 890 498

La vascularisation et l'innervation du cœur
891 318 910 488

Les artères et les veines du cœur
514 814 219 417

Image 183. **Les artères et les veines du cœur**
(face sterno-costale)
514 814 219 417

1 - Ventricule droit du coeur 598 371 988 011
2 - Cône artériel 548 647 219 741
3 - Rameau marginal droit
de l'artère coronaire droite 518 617 219 419
4 - Veines antérieures du coeur 648 715 594 317
5 - Rameaux atriaux intermédiaires 594 781 978 471
6 - Sillon coronaire 519 312 814 829
7 - Rameau du cône artériel 394 168 574 971
8 - Artère coronaire droite 691 368 519 479
9 - Oreillette droite du coeur 598 714 321 898

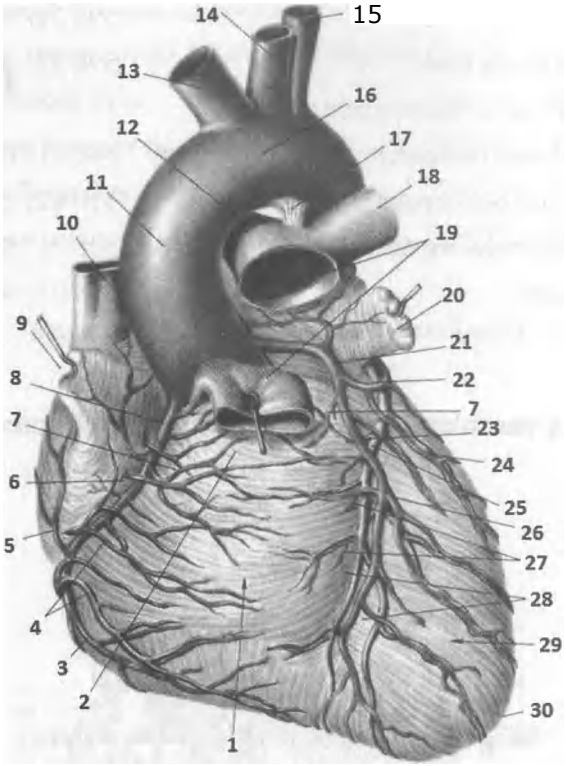

10 - Veine cave supérieure 398 712 988 012
11 - Aorte ascendante 598 712 898 612
12 - Artère pulmonaire droite 694 897 594 716
13 - Tronc brachio-céphalique 998 301 248 227
14 - Artère carotide commune (gauche) 428 712 488 913
15 - Artère subclavière (gauche) 429 387 219 377
16 - Arc aortique 219 877 549 277
17 - Ligament artériel 519 481 319 818
18 - Artère pulmonaire gauche 691 318 497 541
19 - Tronc pulmonaire 519 421 819 221
20 - Oreillette gauche du cœur 519 318 219 481
21 - Artère coronaire gauche 194 641 291 891
22 - Rameau circonflexe de l'artère coronaire gauche 619 471 218 514
23 - Rameau interventriculaire antérieur de l'artère coronaire gauche 364 891 291 471
24 - Rameau marginal gauche 589 714 210 481
25 - Veine cardiaque majeure 641 217 498 718
26 - Rameau latéral 491 316 218 714
27 - Rameaux interventriculaires septaux 691 314 219 718
28 - Sillon interventriculaire antérieur 909 817 398 787
29 - Ventricule gauche 589 348 914 918
30 - Apex du cœur 519 421 899 321

Image 184. **Les artères et les veines du cœur**
(face diaphragmatique)
514 816 914 317

1 - Apex du cœur 519 421 899 321
2 - Ventricule gauche 589 348 914 918
3 - Rameau atrial anastomotique 614 917 918 517
4 - Rameau marginal gauche 589 714 210 481
5 - Veine postérieure du ventricule gauche 429 318 719 888
6 - Rameau postérieur du ventricule gauche 467 548 219 741
7 - Rameau circonflexe de l'artère coronaire gauche 619 471 218 514
8 - Veine cardiaque majeure 641 217 498 718
9 - Veine oblique de l'atrium gauche 598 714 319 814
10 - Rameaux atriaux intermédiaires 594 781 978 471
11a - Veine pulmonaire postérieure gauche 549 671 298 471
11b - Veine pulmonaire inférieure gauche 598 649 219 714
12 - Atrium gauche 518 712 314 887

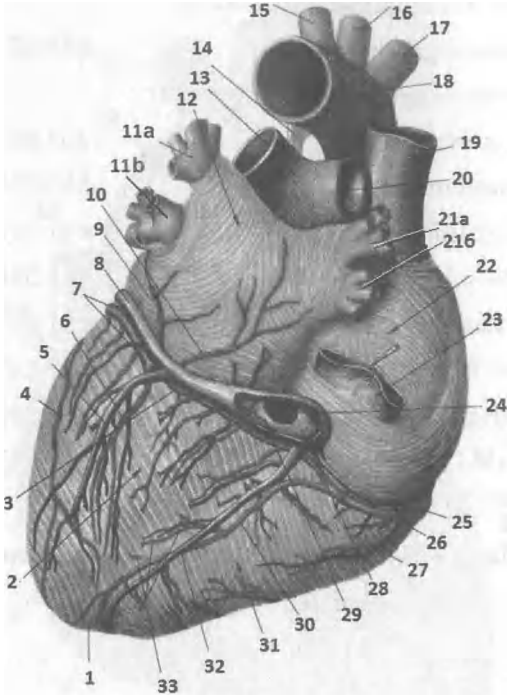

13 - Artère pulmonaire gauche	697 108 889 491
14 - Ligament artériel	519 481 319 818
15 - Artère subclavière (gauche)	429 387 219 377
16 - Artère carotide commune (gauche)	428 712 488 913
17 - Tronc brachio-céphalique	998 301 248 227
18 - Arc aortique	219 877 549 277
19 - Veine cave supérieure	398 712 988 012
20 - Artère pulmonaire droite	694 897 594 716
11a - Veine pulmonaire supérieure droite	691 894 319 712
11b - Veine pulmonaire inférieure droite	697 213 519 491
22 - Atrium droit	491 016 519 497
23 - Veine cave inférieure	549 671 919 871
24 - Orifice du sinus coronaire	548 641 219 712
25 - Petite veine cardiaque	598 712 918 322
26 - Artère coronaire droite	691 368 519 479
27 - Rameau postéro-latéral droit	479 691 319 814
28 - Valvule du sinus coronaire	584 316 219 479
29 - Sinus coronaire du cœur	578 916 219 316
30 - Rameau interventriculaire postérieur de l'artère coronaire droite	589 718 549 641
31 - Ventricule droit du cœur	598 371 988 011
32 - Veine cardiaque moyenne	589 641 298 791
33 - Rameaux interventriculaires septaux	691 314 219 718

Les veines du cœur

891 428 319 298

Image 185. **Les veines du cœur**

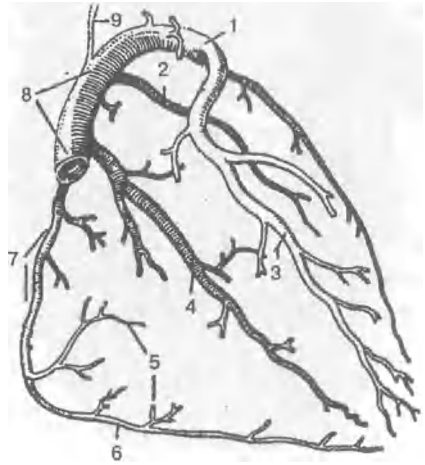

1 - Veine coronaire gauche	514 816 718 316
2 - Veine postérieure du ventricule gauche	429 318 719 888
3 - Veine interventriculaire antérieure	548 712 918 232

4 - Veine interventriculaire postérieure 548 716 328 916
5 - Veine antérieure du ventricule droit 548 213 898 263
6 - Veine marginale droite 597 361 326 891
7 - Petite veine cardiaque 598 712 918 322
8 - Sinus coronaire 578 916 219 316
9 - Veine oblique de l'atrium gauche 598 714 319 814

Le système cardionecteur

989 808 884 318

Image 186. **Le système cardionecteur**

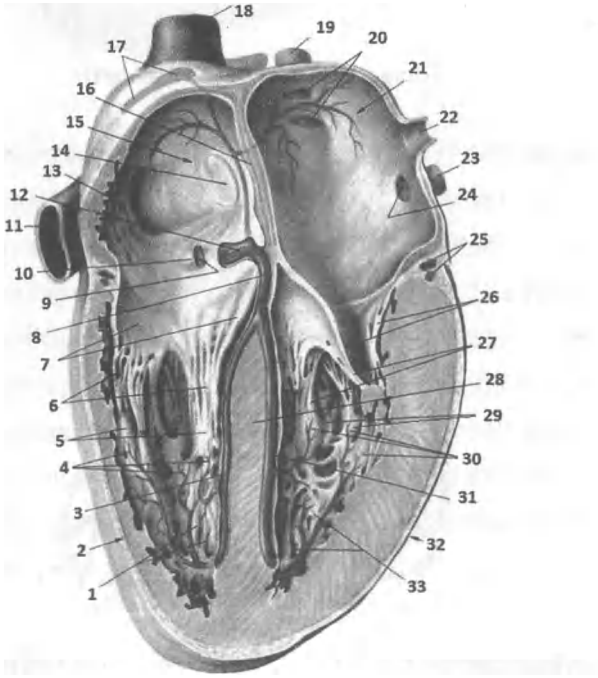

1 - Trabécules charnues 194 217 289 678
2 - Ventricule droit du cœur 598 371 988 011
3 - Branche droite du faisceau atrio-ventriculaire 319 728 549 641
4 - Branches sous-endocardiques du ventricule droit 641 218 514 017
5 - Muscles papillaires du ventricule droit 491 318 597 317
6 - Cordages tendineux de la valve tricuspide 641 318 219 748
7 - Valve atrio-ventriculaire droite (valve tricuspide) 389 412 819 322
8 - Faisceau atrio-ventriculaire de His 198 316 398 714
9 - Orifice du sinus coronaire 548 641 219 712
10 - Valvule du sinus coronaire du cœur 584 316 219 479
11 - Veine cave inférieure 549 671 919 871
12 - Nœud atrio-ventriculaire 169 381 219 714
13 - Muscles pectinés 391 689 598 714
14 - Fosse ovale 394 169 519 718
15 - Atrium droit 491 016 519 497
16 - Septum interatrial 894 158 019 617
17 - Nœud sinu-atrial 368 491 298 749
18 - Veine cave supérieure 398 712 988 012
19 - Veine pulmonaire supérieure droite 691 894 319 712
20 - Orifices des veines pulmonaires 589 671 298 491
21 - Atrium gauche 518 712 314 887
22 - Veine pulmonaire supérieure gauche (représentation partielle) 549 671 298 471
23 - Veine pulmonaire inférieure gauche 598 649 219 714
24 - Orifice de la veine pulmonaire inférieure gauche 498 712 219 714
25 - Vaisseaux cardiaques 549 648 519 716
26 - Valve atrio-ventriculaire gauche (valve mitrale) 598 517 818 617

27 - Cordages tendineux de la valve arrio-ventriculaire gauche 794 814 519 714

28 - Septum interventriculaire 548 581 218 491

29 - Muscles papillaires du ventricule gauche 467 219 519 712

30 - Branches sous-endocardiques du ventricule gauche 497 518 584 718

31 - Branche gauche du faisceau atrio-ventriculaire (faisceau de His) 649 191 218 549

32 - Ventricule gauche du cœur 589 348 914 918

33 - Trabécules charnues du ventricule gauche 468 791 298 745

Les artères et les veines de la tête et du cou

518 422 819 312

Image 187. **Les artères de la tête et du cou** (vue de droite)

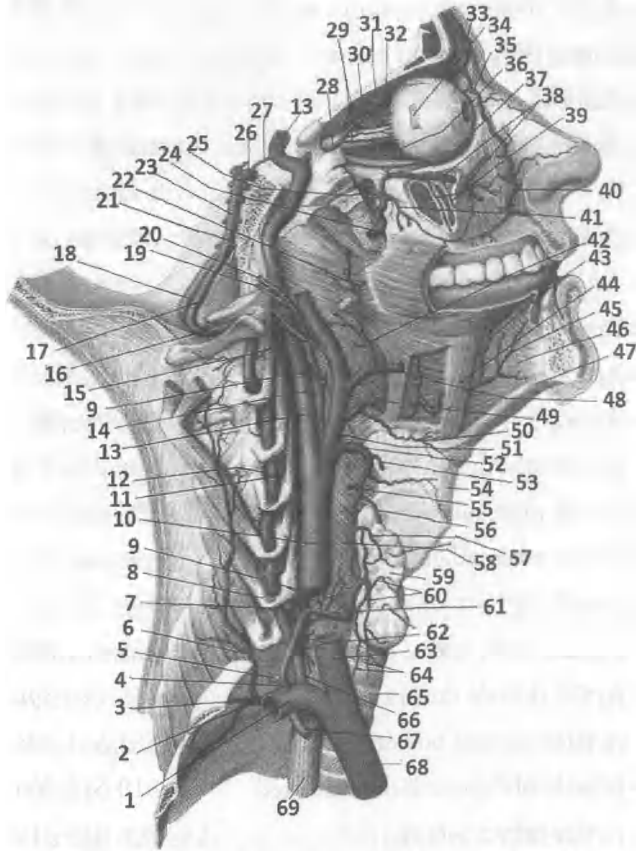

1 - Artère subclavière (droite) 598 317 819 227

2 - Tronc costo-cervical 549 641 898 714

3 - Artère intercostale suprême 589 716 549 818

4 - Tronc thyro-cervical 519 317 919 288

5 - Artère suprascapulaire 529 317 419 817

6 - Artère cervicale profonde 598 714 898 716

7 - Artère cervicale ascendante 749 814 719 414

8 - Quatrième vertèbre cervicale 568 314 819 714

9 - Rameaux pharyngiens 498 217 228 417

10 - Artère carotide commune (droite) 919 421 818 728

11 - Artère vertébrale (partie cervicale) 498 714 319 716

12 - Rameaux spinaux 584 314 819 417

13 - Artère carotide interne 549 712 810 248

14 - Artère pharyngienne ascendante 496 598 317 641

15 - Artère occipitale 581 214 608 491

16 - Artère vertébrale (partie cervico-occipitale) 918 317 948 561

17 - Artère vertébrale droite (partie intracrânienne) 364 819 498 471

18 - Artère vertébrale gauche (partie intracrânienne) 364 819 498 471

19 - Artère tympanique inférieure 894 168 941 987

20 - Artère méningée postérieure 594 162 398 714
21 - Clivus de la base du crâne 319 778 219 228
22 - Rameau tonsillaire 895 316 498 471
23 - Artère basilaire 851 478 594 814
24 - Artère maxillaire 648 517 284 917
25 - Artère sphénopalatine 598 491 374 816
26 - Artère cérébrale postérieure 594 361 809 491
27 - Artère communicante postérieure 548 641 298 781
28 - Artère ophtalmique 649 718 549 641
29 - Artères ciliaires postérieures courtes 496 391 898 671
30 - Artère ethmoïdale postérieure 594 716 298 491
31 - Artère infra-orbitaire 594 617 548 518
32 - Artère ethmoïdale antérieure 698 713 294 168
33 - Artère supra-trochléaire 798 791 694 814
34 - Muscle droit latéral de l'œil 328 421 898 712
35 - Artère dorsale du nez 368 142 598 714
36 - Artères ciliaires postérieures longues 581 641 294 818
37 - Muscle oblique inférieur de l'œil 319 618 204 881
38 - Artère infraorbitaire 898 048 319 061
39 - Artères alvéolaires supéro-antérieures 364 181 298 471
40 - Artère angulaire 288 919 069 789
41 - Artère alvéolaire supéro-postérieure 549 161 298 191
42 - Artère palatine ascendante 581 494 549 618
43 - Artère profonde de la langue 319 694 384 716
44 - Muscle hyo-glosse 368 142 498 641
45 - Artère sublinguale 784 981 294 671
46 - Muscle génio-glosse 218 614 319 718
47 - Muscle génio-hyoïdien 498 694 819 671
48 - Artère faciale 219 061 234 890
49 - Artère linguale 498 519 401 209
50 - Rameau suprahyoïdien 691 318 464 148
51 - Artère carotide externe 510 469 148 712
52 - Artère thyroïdienne supérieure 519 513 719 313
53 - Artère laryngée supérieure 389 461 894 171
54 - Ligament thyro-hyoïdien médian 584 691 219 478
55 - Rameau sterno-cleido-mastoïdien 519 614 431 548
56 - Rameau antérieur de l'artère thyroïdienne supérieure 698 517 401 469
57 - Rameau postérieur de l'artère thyroïdienne supérieure 014 981 564 168
58 - Pharynx 519 987 319 427
59 - Glande thyroïde 829 319 409 819
60 - Rameaux glandulaires 149 816 013 009
61 - Artère thyroïdienne inférieure 518 377 918 478
62 - Rameaux œsophagiens 519 512 319 812
63 - Artère carotide commune 894 317 212 847
64 - Rameaux trachéaux 919 810 499 310
65 - Trachée 429 318 919 888
66 - Artère vertébrale (partie prévertébrale) 109 467 219 891
67 - Artère thoracique interne 598 341 818 941
68 - Tronc brachio-céphalique 998 301 248 227
69 - Œsophage 598 381 698 711

Image 188. **Les veines de la tête et du cou** (vue de droite)
598 716 319 816

1 - Veine cervicale transverse 814 416 214 319
2 - Veine vertébrale 146 472 019 541
3 - Veine vertébrale antérieure 109 516 918 416
4 - Veine vertébrale accessoire 210 341 907 654

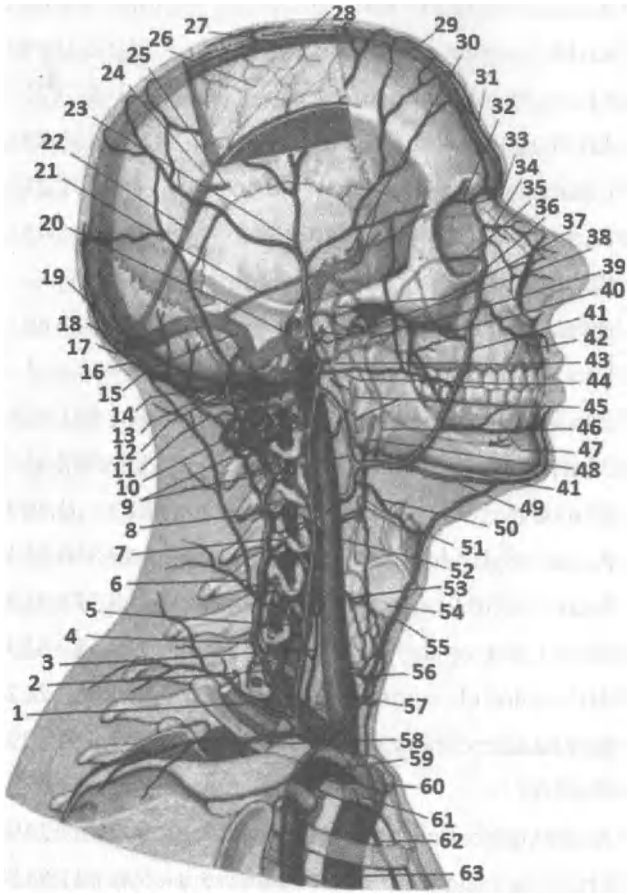

5 - Veine jugulaire externe 594 716 814 516

6 - Veine cervicale profonde 801 498 548 617

7 - Veine faciale 599 715 819 316

8 - Plexus veineux vertébraux externes 421 054 329 891

9 - Veine rétromandibulaire 364 817 384 199

10 - Bulbe supérieur de la veine jugulaire 448 546 891 479

11 - Veine occipitale 914 712 298 267

12 - Veine émissaire condylienne 648 513 694 817

13 - Veine auriculaire postérieure 368 198 549 617

14 - Veine émissaire mastoïdienne 391 849 501 011

15 - Sinus sigmoïde 109 516 397 894

16 - Sinus occipital 012 126 094 791

17 - Sinus transverse 549 716 398 471

18 - Veine émissaire occipitale 548 617 294 581

19 - Confluent des sinus 364 814 501 122

20 - Sinus pétreux inférieur 284 368 149 017

21 - Sinus pétreux supérieur 019 596 394 717

22 - Sinus droit 849 712 646 181

23 - Veines temporales superficielles 694 513 814 216

24 - Sinus sagittal inférieur 814 316 219 497

25 - Grande veine cérébrale 498 142 549 617

26 - Faux du cerveau 001 918 021 378

27 - Veine émissaire pariétale 349 161 894 717

28 - Veines diploétiques 148 564 219 617

29 - Sinus sagittal supérieur 914 715 514 292

30 - Sinus caverneux 846 139 948 581

31 - Veine supra-trochléaire 819 621 398 471

32 - Veine ophtalmique supérieure 909 610 549 798

33 - Veine naso-frontale 514 369 129 710

34 - Veine nasale externe 319 481 589 671

35 - Veine nasale inférieure 149 678 148 591

36 - Veine angulaire 693 146 590 310

37 - Veine méningée moyenne 018 531 219 641

38 - Veines de la glande parotide 516 949 140 510

39 - Plexus ptérygoïdien 591 248 791 260

40 - Veine faciale profonde 309 864 194 971

41 - Veine faciale 599 715 819 316

42 - Veine labiale supérieure 504 361 309 584

43 - Veine maxillaire 598 314 818 914

44 - Veine transversale de la face 698 713 294 167
45 - Veines pharyngiennes 019 818 594 614
46 - Veine palatine 548 316 819 471
47 -Veine labiale inférieure 547 218 599 641
48 - Veine linguale 318 586 389 471
49 - Veine submentale 194 368 594 817
50 - Veine thyroïdienne supérieure 648 471 201 199
51 - Os hyoïde 549 316 219 841
52 - Veine jugulaire interne 598 612 719 322
53 - Veine thyroïdienne moyenne 814 017 201 849
54 - Cartilage thyroïde 588 421 388 711
55 - Veine jugulaire antérieure 368 541 291 479
56 - Veine thyroïdienne inférieure 108 641 294 719
57 - Bulbe inférieur de la veine jugulaire 512 621 221 848
58 - Veine suprascapulaire 548 571 818 548
59 - Veine subclavière 598 317 898 214
60 - Veine brachio-céphalique (gauche) 219 378 919 278
61 - Veine brachio-céphalique (droite) 219 378 919 278
62 - Veine thoracique interne 491 316 894 198
63 - Veine cave supérieure 398 712 988 012

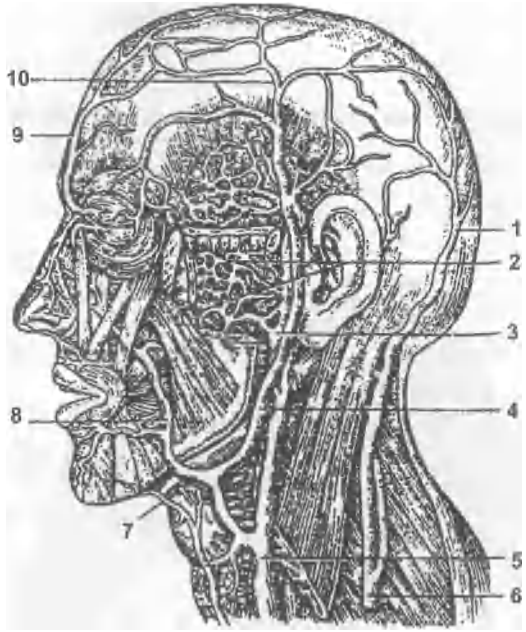

7 - Veine submentale 598 714 318 914
8 - Veine faciale 599 715 819 316
9 - Veine frontale 598 781 428 677
10 - Veine temporale superficielle 548 327 918 227

Image 189. **Les veines de la tête et du visage**
519 317 919 217

1 - Veine occipitale 914 712 298 267
2 - Plexus ptérygoïdien (veineux) 591 248 791 260
3 - Veine maxillaire 598 314 818 914
4 - Veine rétromandibulaire 898 314 718 914
5 - Veine jugulaire interne 598 612 719 322
6 - Veine jugulaire externe 594 716 814 516

Les artères cérébrales

Image 190. **Les artères cérébrales** (vue de dessous)
498 641 898 478

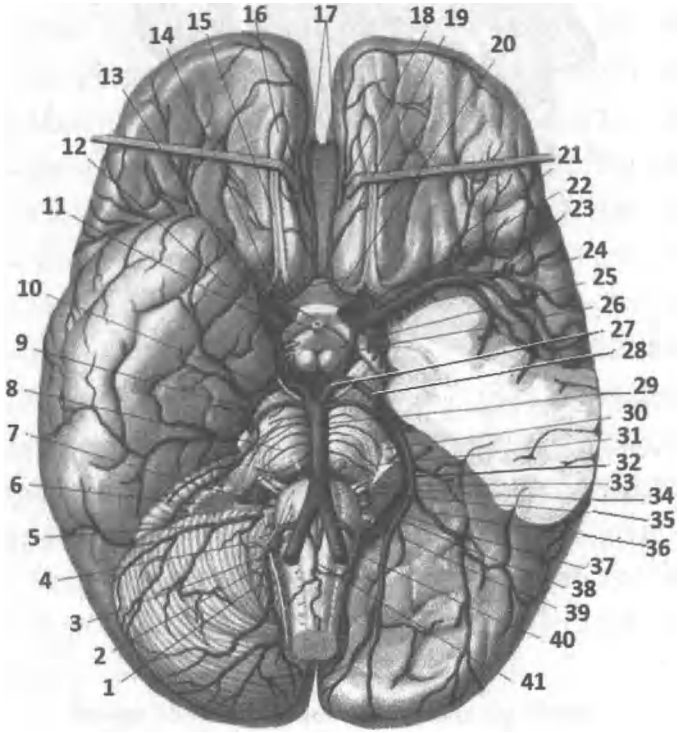

1 - Rameau de l'amygdale cérébelleuse 549 641 891 748
2 - Artère cérébelleuse postéro-inférieure 469 718 549 641
3 - Nerf hypoglosse 548 321 555 678
4 - Nerf crânien 584 647 289 741
5 - Artère cérébelleuse inféro-antérieure 598 691 798 641
6 - Flocculus 897 567 971 319
7 - Plexus vasculaire du quatrième ventricule 694 167 298 547
8 - Artères du pont 467 589 196 318
9 - Artère cérébelleuse supérieure 361 948 594 161
10 - Nerf oculomoteur 519 217 519 217
11 - Tractus optique 519 218 919 245
12 - Infundibulum hypothalamique 519 211 919 000
13 - Chiasma optique 010 216 319 517
14 - Trigone olfactif 518 642 319 716
15 - Tractus olfactif 718 217 458 917
16 - Bulbe olfactif 024 312 598 742
17 - Artères cérébrales antérieures (partie postcommunicante) 468 514 398 617
18 - Artère orbitofrontale médiale 518 641 201 009
19 - Artère communicante antérieure 641 478 594 641
20 - Artères cérébrales antérieures (partie précommunicante) 584 061 412 011
21 - Artère orbitofrontale latérale 618 531 214 712
22 - Artère carotide interne 549 712 810 248
23 - Artères insulaires 518 714 316 214
24 - Artère cérébrale moyenne 496 491 817 514
25 - Artère choroïdienne antérieure du plexus vasculaire 491 316 498 714
26 - Artère communicante postérieure 548 641 298 781
27 - Artère cérébrale postérieure (partie précommunicante) 548 641 798 521
28 - Artère cérébrale postérieure (partie postcommunicante) 316 594 218 749
29 - Artère basilaire 851 478 594 814
30 - Nerf trijumeau 549 319 818 711
31 - Nerf abducens 514 517 214 812

32 - Artère cérébrale postérieure (partie temporale) 498 671 291 491
33 - Nerf intermédiaire 219 381 648 719
34 - Nerf facial 999 811 319211
35 - Nerf vestibulo-cochléaire 548 217 918 421
36 - Artère occipitale latérale (partie finale) 619 012 504 794
37 - Artère occipitale médiale (partie finale) 581 704 916 219
38 - Nerf glossopharyngien 519 371 214 572
39 - Nerf vague 489 981 728 221
40 - Artère vertébrale gauche (partie intracrânienne) 364 819 498 471
41 - Artère spinale antérieure 617 281 707 914

Image 191. **Les artères cérébrales** (face médiale)
469 518 716 491

1 - Rameau frontal intermédio-médial 498 617 319 478
2 - Artère cérébrale antérieure 317 498 689 171
3 - Rameau frontal postéro-médial de l'artère cérébrale antérieure 781 496 319 641
4 - Scissure calloso-marginale 579 312 919 021
5 - Sillon du corps calleux 248 312 848 212
6 - Rameau cingulaire de l'artère cérébrale antérieure 497 101 398 712
7 - Corps calleux 498 712 328 071
8 - Fornix 648 314 589 716
9 - Rameau paracentral de l'artère cérébrale antérieure 364 817 294 317
10 - Rameau précunéen de l'artère cérébrale antérieure 694 171 894 214

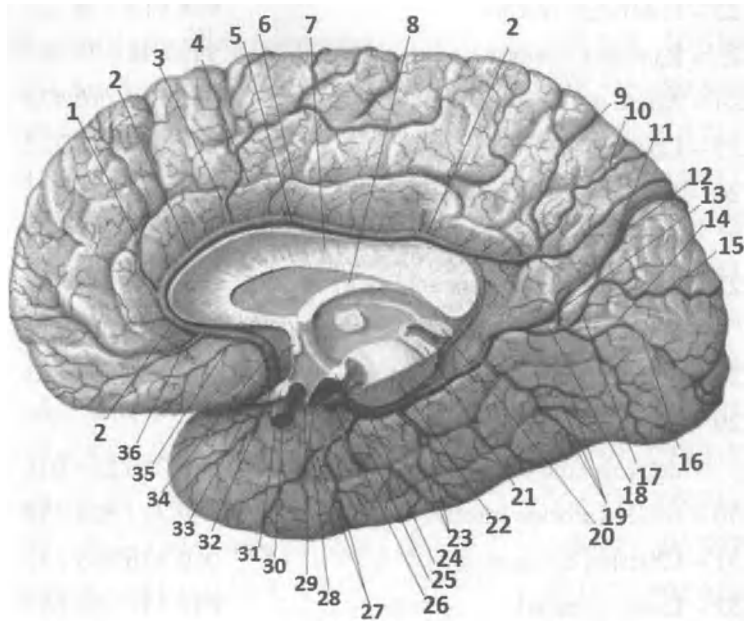

11 - Sillon pariéto-occipital 691 378 549 617
12 - Rameau pariéto-occipital de l'artère cérébrale postérieure 691 314 291 491
13 - Rameau pariétal de l'artère cérébrale postérieure 814 216 497 218
14 - Rameau occipito-temporal de l'artère cérébrale postérieure 514 618 319 481
15 - Rameau calcarin de l'artère cérébrale postérieure 564 814 219 417
16 - Scissure calcarine 214 318 414 888
17 - Artère cérébrale postérieure 594 361 809 491
18 - Artère occipitale médiale 581 704 916 219
19 - Rameaux temporaux postérieurs de l'artère cérébrale postérieure 649 371 298 481
20 - Glande pinéale (épiphyse) 489 641 399 042
21 - Lame tectale (quadrijumeau) 514 317 818 212

22 - Pédoncule cérébral 918 412 818 212
23 - Rameaux temporaux intermédiaires 549 648 391 361
24 - Artère occipitale latérale 496 819 716 478
25 - Corps mamillaire 534 817 214 712
26 - Artère cérébrale postérieure (partie temporale) 498 671 291 491
27 - Rameaux temporaux antérieurs de l'artère cérébrale latérale 648 531 219 471
28 - Artère communicante postérieure 548 641 298 781
29 - Récessus de l'infundibulum au fond du troisième ventricule cérébral 568 016 219 014
30 - Artère carotide interne 549 712 810 248
31 - Chiasma optique 010 216 319 517
32 - Lame terminale 048 541 298 647
33 - Commissure antérieure 389 691 974 846
34 - Artère communicante antérieure 641 478 594 641
35 - Artère orbitofrontale médiale (artère frontobasale latérale) 518 641 201 009
36 - Rameau frontal antéro-médial de l'artère cérébrale antérieure 698 142 489 716

Image 192. **Les artères cérébrales** (face supéro-latérale)
469 471 898 417

1 - Artère cérébelleuse inféro-postérieure 469 718 349 641
2 - Cervelet 828 219 328 299
3 - Lobe occipital 519 617 298 714
4 - Artère du gyrus angulaire 519 617 289 741
5 - Artère pariétale postérieure 164 816 319 471
6 - Artère pariétale antérieure 014 146 214 814
7 - Lobe pariétal 618 041 894 141
8 - Artère du sillon postcentral 102 348 410 514
9 - Artère du sillon central 648 318 489 316
10 - Artère du sillon précentral 584 216 218 714
11 - Lobe frontal 316 618 319 417
12 - Artère orbitofrontale latérale 618 531 214 712
13 - Insula 584 216 298 741
14 - Artères insulaires 518 714 316 214
15 - Artère cérébrale moyenne 496 491 817 514
16 - Artère temporale antérieure 689 371 298 681
17 - Artère temporale moyenne 618 591 294 317
18 - Lobe temporal 564 931 298 714
19 - Artère temporale postérieure 548 721 296 397
20 - Artère basilaire 851 478 594 814
21 - Pont 248 317 284 271
22 - Artère vertébrale (partie intracrânienne droite) 364 819 498 471

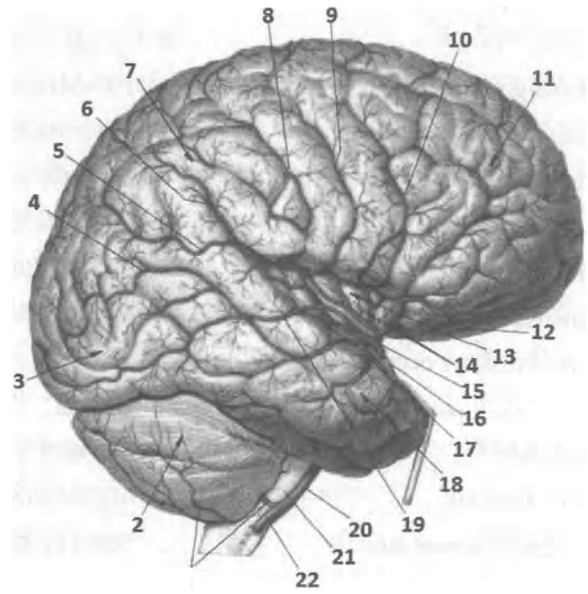

Image 193. **Les artères cérébrales superficielles**
(face supéro-latérale)
649 712 519 747

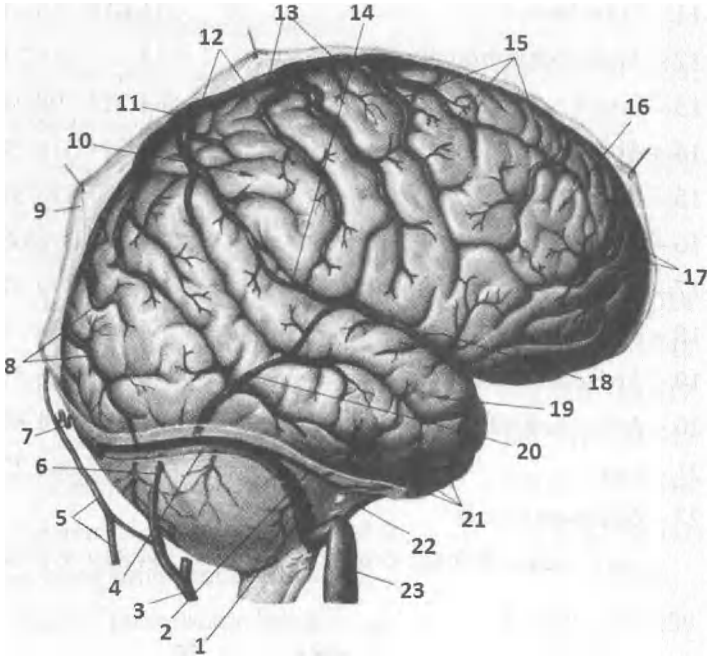

1 - Sinus sigmoïde 109 516 397 894
2 - Sinus pétreux supérieur 019 596 394 717
3 - Veine auriculaire postérieure 368 198 549 617
4 - Sinus transverse 549 716 398 471
5 - Veine occipitale 914 712 298 267
6 - Veine émissaire mastoïdienne 391 849 501 011
7 - Veine émissaire occipitale 548 617 294 581
8 - Veines occipitales 789 621 298 491
9 - Dure-mère 333 489 312 289
10 - Lobe pariétal 618 041 894 141
11 - Lacune veineuse latérale 569 317 398 471
12 - Veine pariétale 394 569 398 741
13 - Sinus sagittal supérieur 914 715 514 292
14 - Veine anastomotique supérieure 341 318 519 641
15 - Veines frontales 361 384 219 471
16 - Lobe frontal 316 618 319 417
17 - Veines préfrontales 598 641 298 791
18 - Veine superficielle moyenne du cerveau 694 178 394 516
19 - Lobe temporal 564 931 298 714
20 - Veine anastomotique inférieure 391 568 914 918
21 - Veines cérébrales inférieures 719 628 514 318
22 - Sinus pétreux inférieur 284 368 149 017
23 - Veine jugulaire interne 598 612 719 322

Image 194. **Les sinus de la dure-mère**
691 958 549 164

1 - Veine basale 202 464 891 319
2 - Grande veine cérébrale 498 142 549 617
3 - Sinus transverse 549 716 398 471
4 - Sinus occipital 012 126 094 791
5 - Veines diploétiques 148 564 219 617
6 - Confluent des sinus 364 814 501 122
7 - Quatrième ventricule 514 321 414 218
8 - Sinus droit 849 712 646 181
9 - Veines cérébrales supérieures 519 316 489 718
10 - Grande faux de la dure-mère 364 815 398 574
11 - Pont 248 317 284 271
12 - Veine cérébrale interne 541 219 319 471
13 - Toile choroïdienne du troisième ventricule 584 217 284 917

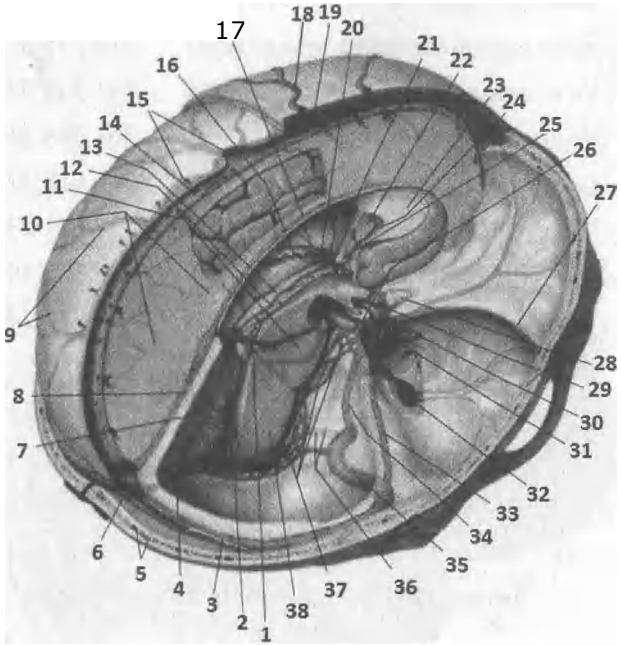

14 - Sinus sagittal supérieur	914 715 514 292
15 - Lacunes latérales	398 741 298 474
16 - Veine choroïdienne supérieure	518 361 987 241
17 - Sinus sagittal inférieur	814 316 219 497
18 - Veine temporale superficielle	548 327 918 227
19 - Veine émissaire pariétale	349 161 894 717
20 - Veines thalamo-striées supérieures	598 164 398 711
21 - Ventricule latéral	649 140 508 914
22 - Lame du septum lucidum	319 798 549 164
23 - Genou du corps calleux	148 512 319 417
24 - Veine antérieure du septum lucidum	849 617 219 514
25 - Colonne du fornix	168 794 598 716
26 - Sinus intercaverneux	514 019 598 411
27 - Sinus sphéno-pariétal	514 312 619 718
28 - Nerf optique	448 817 918 217
29 - Artère carotide interne	549 712 810 248
30 - Veine superficielle moyenne du cerveau	694 178 394 516
31 - Sinus caverneux	846 139 948 581
32 - Plexus veineux du foramen ovale	498 716 374 917
33 - Sinus pétreux supérieur	019 596 394 717
34 - Sinus pétreux inférieur	284 368 149 017
35 - Sinus sigmoïde	109 516 397 894
36 - Plexus veineux du conduit sublingual	598 611 998 164
37 - Plexus basal	691 319 819 471
38 - Moelle allongée	514 417 814 217

Les vaisseaux de la petite circulation

898 714 988 569

Les veines pulmonaires

309 428 519 421

Les vaisseaux de la grande circulation

598 716 588 317

Les branches de l’arc aortique

298 714 319 814

Image 195. **Les artères de l’aisselle et de l’épaule droites**
529 317 919 227

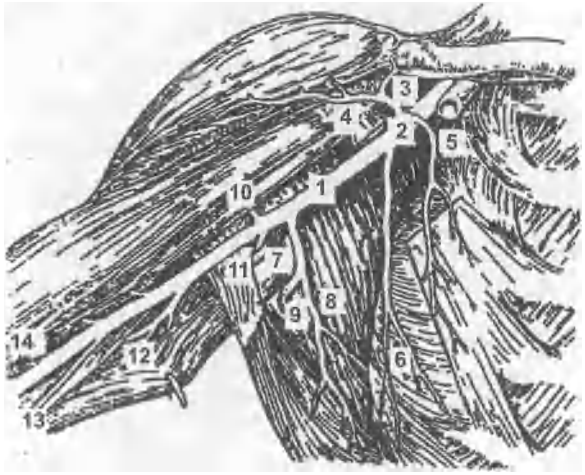

1 - Artère axillaire	539 891 319 988
2 - Artère thoraco-acromiale	981 516 719 312
3 - Rameau acromial	214 328 712 918
4 - Rameau deltoïdien	594 716 018 988
5 - Branches thoraciques	317 498 614 219
6 - Artère thoracique latérale	598 722 918 213
7 - Artère subscapulaire	598 718 419 087
8 - Artère thoraco-dorsale	594 715 319 812
9 - Artère circonflexe de l’omoplate	897 314 421 899
10 - Artère circonflexe antérieure de l’humérus	599 816 719 817
11 - Artère circonflexe postérieure de l’humérus	219 714 819 814
12 - Artère profonde du bras	317 818 917 918
13 - Artère collatérale ulnaire supérieure	891 047 089 517
14 - Artère brachiale	598 641 389 071

Les rameaux de la partie thoracique de l’aorte
548 617 908 614

Les rameaux de la partie abdominale de l’aorte
548 711 488 211

Image 196. **La partie thoracique et abdominale de l’aorte**
898 121 319 711

1 - Artère carotide commune gauche	428 712 488 913
2 - Artère subclavière gauche	429 387 219 377
3 - Artère thoracique interne	598 341 818 941
4 - Arc aortique	219 877 549 277
5 - Rameaux bronchiques	619 321 819 221
6 - Partie descendante de l’aorte	519 817 218 217
7 - Tronc cœliaque	594 315 894 715
8 - Artère mésentérique supérieure	398 712 888 422
9 - Diaphragme	219 289 228 317
10 - Aorte abdominale	598 316 488 916
11 - Artère mésentérique inférieure	598 361 988 712
12 - Artère iliaque commune	898 531 314 717
13 - Artère iliaque externe	819 415 919 215
14 - Artère iliaque interne	584 319 914 899
15 - Artère sacrée moyenne	598 713 818 213
16 - Artère iliolombaire	519 388 918 916
17 - Artère lombaire	489 712 319 272
18 - Artère ovarique	519 648 319 788
19 - Artère rénale droite	198 711 298 241
20 - Artère diaphragmatique inférieure	598 318 918 999

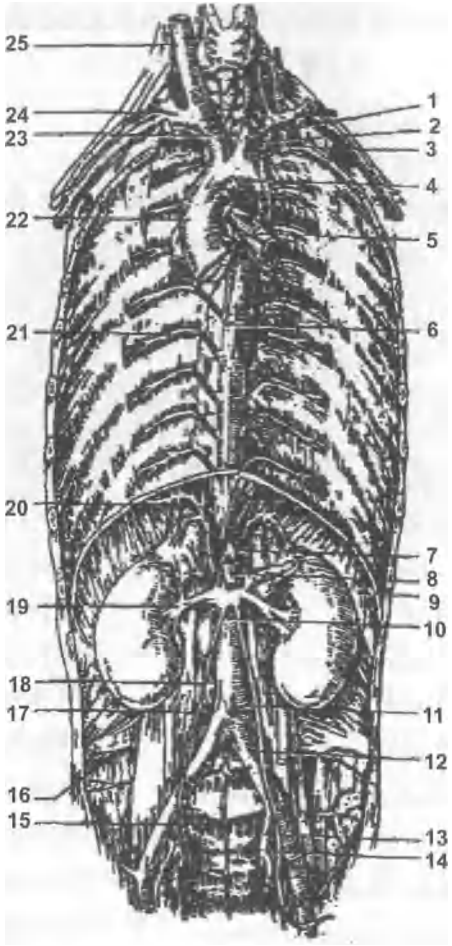

21 - Artère intercostale 548 316 689 766
22 - Partie ascendante de l'aorte 598 712 898 612
23 - Tronc brachiocéphalique 998 301 248 227
24 - Artère subclavière droite 598 317 819 227
25 - Artère carotide commune droite 919 421 818 728

Image 197. **Les artères du genou**
319 421 919 724

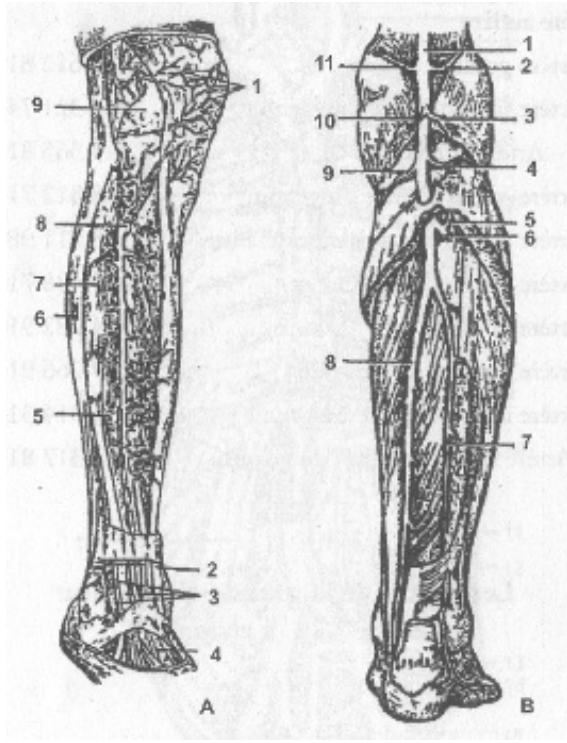

A - Vue de face

1 - Réseau articulaire du genou 518 471 219 140
2 - Tendon du muscle tibial antérieur 519 717 919 817
3 -Tendon du muscle long extenseur des orteils 319 488 519 318
4 - Artère dorsale du pied 481 319 409 816
5 - Muscle long extenseur de l'hallux 529 361 819 711
6 - Muscle long fibulaire 528 426 918 726
7 - Muscle long extenseur des orteils 318 512 818 064

8 - Artère tibiale antérieure 219 488 714 918

9 - Capsule articulaire du genou 589 412 919 812

B - Vue arrière

1 - Artère poplitée 988 612 818 719

2 - Artère supéro-latérale du genou 548 321 748 244

3, 10 - Artères surales 549 365 814 775

4 - Artère inféro-latérale du genou 528 312 718 422

5 - Artère récurrente tibiale postérieure 598 711 989 321

6 - Artère tibiale antérieure 219 488 714 918

7 - Artère fibulaire 594 782 914 882

8 - Artère fibulaire postérieure 589 766 914 861

9 - Artère inféro-médiale du genou 595 814 315 914

11 - Artère supéro-médiale du genou 514 317 814 919

Les veines de la grande circulation

419 641 819 317

Le système de la veine cave supérieure

898 317 419 217

Image 198. **Les veines des cavités thoracique et abdominale**

514 715 914 315

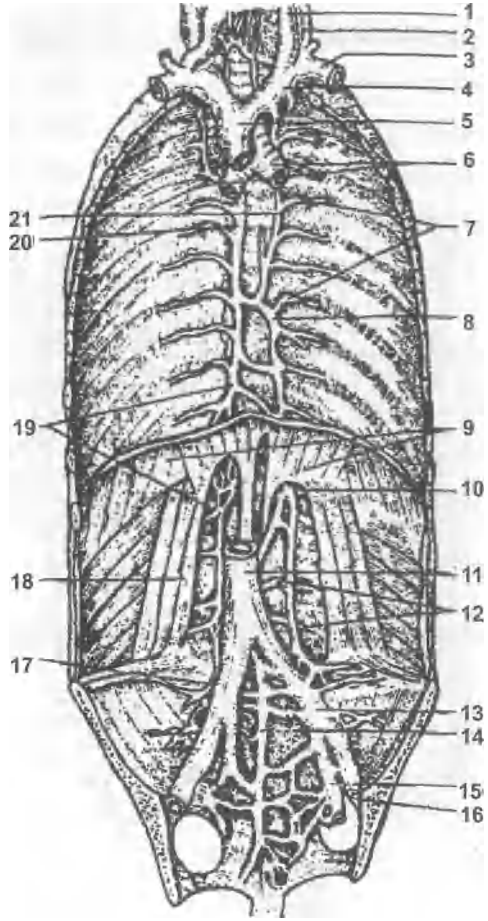

1 - Veine jugulaire interne 598 612 719 322

2 - Veine jugulaire externe 594 716 814 516

3 - Veine subclavière 519 371 919 871

4 - Veine brachio-céphalique 219 378 919 278

5 - Veine cave supérieure 398 712 988 012

6 - Bronches 519 318 619 228

7 - Veines intercostales 549 716 919 226

8 - Veine hémiazygos	529 317 818 227
9 - Diaphragme	219 289 228 317
10 - Début de la veine hémiazygos	548 712 898 326
11 - Veine cave inférieure	549 671 919 871
12 - Veines lombaires	589 712 919 261
13 - Veine iliaque commune	548 713 918 781
14 - Veine sacrée médiane	598 717 318 917
13 - Veine iliaque interne	549 316 814 787
16 - Veine iliaque externe	999 888 719 898
17 - Veine ilio-psoas	548 791 018 216
18 - Muscle carré des lombes	019 321 068 911
19 - Début de la veine azygos	519 217 918 757
20 - Veine azygos	729 329 898 888
21 - Veine hémiazygos accessoire	818 888 068 712

Le système de la veine cave inférieure

394 617 014 809

Le système de la veine porte

478 647 319 277

Image 199. **Le système de la veine porte**

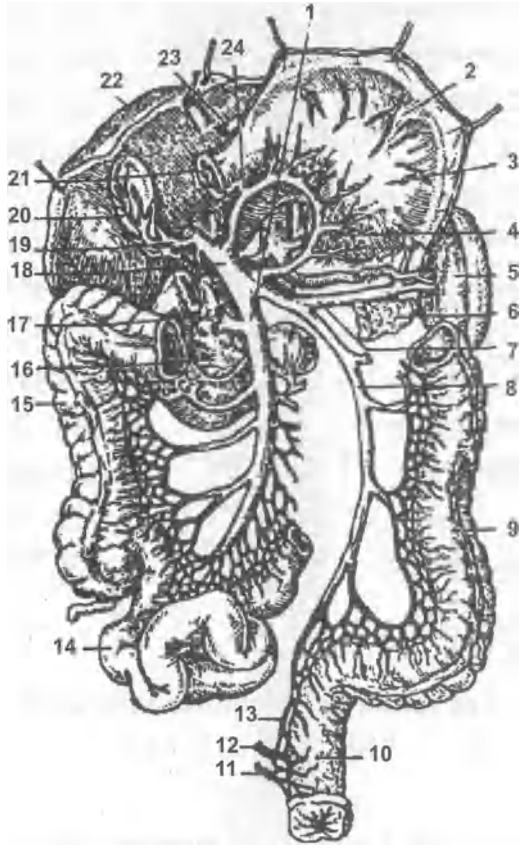

1 - Veine mésentérique supérieure	319 841 219 221
2 - Estomac	898 898 478 213
3 - Veine gastro-omentale gauche	428 816 968 989
4 - Veine gastrique gauche	319 817 298 061
5 - Rate	548 711 918 321

6 - Queue du pancréas 898 429 719 482
7 - Veine splénique 598 715 328 515
8 - Veine mésentérique inférieure 894 312 594 712
9 - Côlon descendant 248 389 428 999
10 - Rectum 598 714 898 314
11 - Veine rectale inférieure 594 316 814 216
12 - Veine rectale moyenne 499 371 819 281
13 - Veine rectale supérieure 519 371 918 991
14 - Iléon 394 897 594 377
15 - Côlon ascendant 599 213 988 713
16 - Tête du pancréas 319 487 914 917
17, 23 - Veine gastro-omentale droite 519 371 914 881
18 - Veine porte 319 817 919 417
19 - Veine cystique 419 387 918 297
20 - Vésicule biliaire 918712 418 912
21 - Duodénum 589 608 488 914
22 - Foie 219 712 919 222
24 - Veine pylorique 429 716 219 316

Les veines des membres inférieurs

589 712 319 614

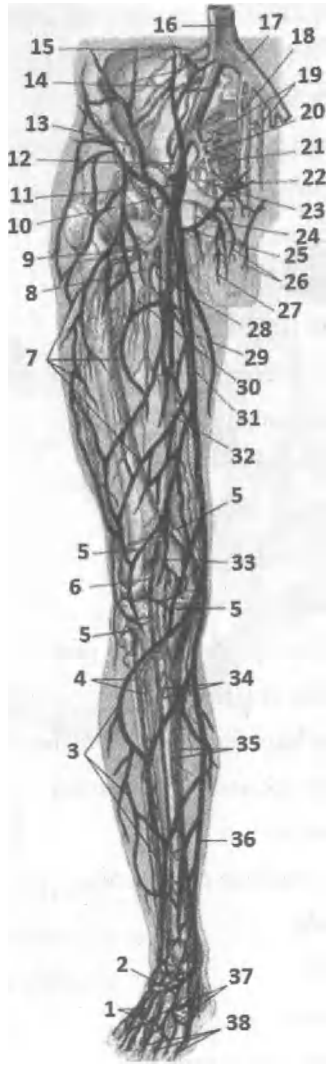

Image 200. **Les veines des membres inférieurs**

1 - Réseau veineux dorsal du pied 197 298 108 641
2 - Arcade veineuse dorsale du pied 194 389 794 216
3 - Réseau veineux du genou 784 594 316 497
4 - Veines tibiales antérieures 589 714 319 718
5 - Veines géniculées 817 316 368 491
6 - Veine petite saphène 169 381 379 149
7 - Réseau veineux de la cuisse 497 581 369 794
8 - Veine profonde de la cuisse 184 517 396 847
9 - Veines circonflexes latérales de la cuisse 649 132 389 714
10 - Veine circonflexe iliaque superficielle 317 849 178 471
11 - Veine épigastrique superficielle 491 694 218 713

12 - Veine iliaque externe	999 888 719 898
13 - Veine circonflexe iliaque profonde	721 394 549 718
14 - Veines ilio-lombaires	548 791 018 216
15 - Veine lombaire	589 712 919 261
16 - Veine cave inférieure	549 671 919 871
17 - Veine iliaque commune	548 713 918 781
18 - Veine sacrée médiane	598 717 318 917
19 - Veines sacrées latérales	549 316 298 711
20 - Veine iliaque interne	549 316 814 787
21 - Plexus veineux sacral	649 271 298 541
22 - Veines glutéales inférieures	497 189 369 141
23 - Veine pudendale interne	641 894 594 818
24 - Veine obturatrice	318 414 849 161
25 - Veine pudendale externe	648 143 019 549
26 - Veines dorsales superficielles du pénis	314 647 217 498
27 - Veines scrotales antérieures	541 314 819 317
28 - Veines circonflexes fémorales médiales	364 981 219 784
29 - Veine saphène accessoire de la jambe	369 489 598 716
30 - Veine perforante	414 548 374 811
31 - Veine grande saphène de la jambe	496 794 894 175
32 - Veine fémorale	316 584 912 848
33 - Veine poplitée	149 721 801 497
34 - Veines fibulaires	518 364 194 816
35 - Veines tibiales postérieures	479 514 194 817
36 - Veine grande saphène de la jambe	496 794 894 175
37 - Veines métatarsiennes dorsales du pied	648 564 817 219
38 - Veines digitales dorsales du pied	197 248 594 714

Les artères, les veines et les capillaires

219 387 919 887

Image 201. **Le lit microcirculatoire**

549 318 497 561

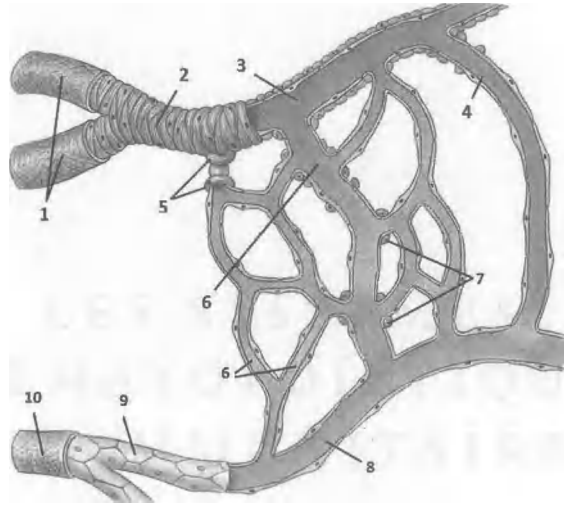

1 - Artère	894 547 284 717
2 - Artériole	694 574 895 601
3 - Artériole précapillaire	608 491 298 491
4 - Anastomose artérioveineuse	549 316 897 314
5 - Sphincters précapillaires	649 172 218 371
6 - Capillaires	479 821 294 364
7 - Sphincters capillaires	185 494 016 001
8 - Veinules postcapillaires	101 498 754 361
9 - Veinule	669 517 918 394
10 - Veine	149 621 818 318

LES SYSTÈMES HÉMATOPOÏÉTIQUE ET IMMUNITAIRE

219 648 317 918

Les systèmes hématopoïétique et immunitaire

219 648 317 918

Image 202. **Les organes du système immunitaire**

214 317 498 817

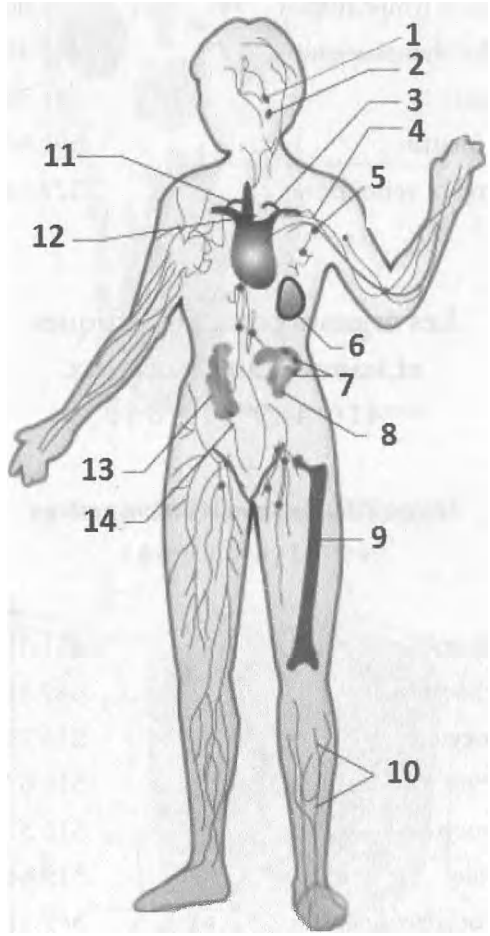

1 - Amygdale pharyngienne	471 219 319 819
2 - Amygdales palatines	428 641 478 591
3 - Conduit thoracique lymphatique	514 715 914 815
4 - Veine subclavière	598 317 898 214

5 - Nœuds lymphatiques 514 317 219 419
6 - Rate 548 711 918 321
7 - Follicules agminés 598 721 398 641
8 - Intestin grêle 528 317 428 717
9 - Moelle osseuse rouge 598 492 319 016
10 - Vaisseaux lymphatiques 598 064 571 389
11 - Conduit lymphatique droit 418 481 499 164
12 - Thymus 481 914 319 814
13 - Gros intestin 591 488 898 217
14 - Appendice vermiforme 529 317 899 228

Les organes hématopoïetiques et immunitaires centraux

416 489 319 641

Image 203. **La moelle osseuse rouge**

497 214 218 641

1 - Cellule-souche 451 618 719 481
2 - Thrombocytes 649 317 498 714
3 - Érythrocyte 214 719 319 818
4 - Monocyte 519 671 319 648
5 - Lymphocyte 516 318 948 714
6 - Basophile 319 648 719 814
7 - Granulocyte éosinophile 549 316 718 491
8 - Neutrophile polynucléaire 467 589 891 648
9 - Moelle osseuse rouge (hématopoïétique) 497 214 218 641
10 - Artère nourricière 641 849 317 914

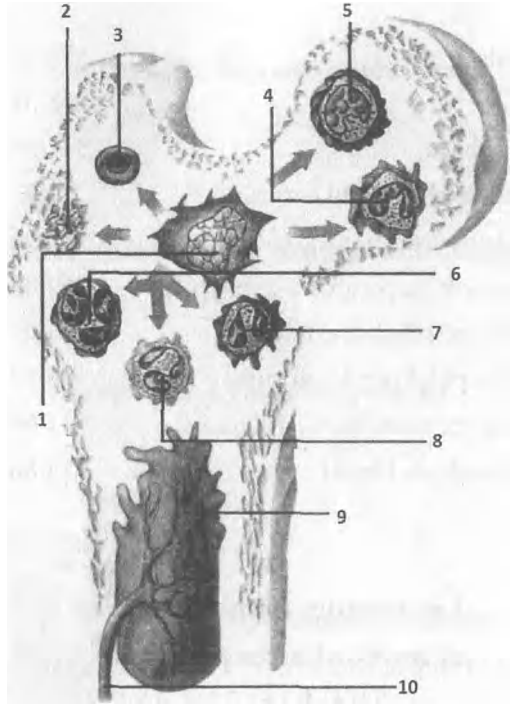

Image 204. **Le lobule du thymus**

519 713 219 498

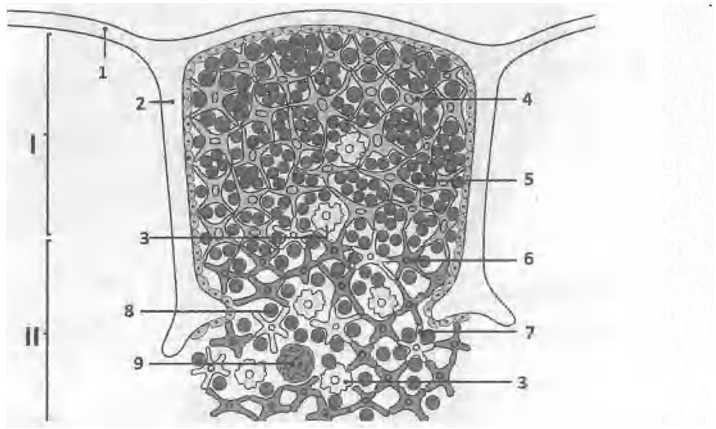

I - Substance corticale 519 648 219 714
II - Substance médullaire 319 498 516 814

1 - Capsule 598 317 948 567
2 - Septum 968 319 594 217
3 - Macrophage 947 368 249 714
4 - Cellule épithéliale du cortex
(cellule nourricière) 549 361 897 217
5 - Thymocyte du cortex 564 891 218 647
6 - Cellule épithéliale médullaire 574 016 217 498
7 - Cellule épithéliale dendritique 598 671 390 149
8 - Thymocyte médullaire 531 649 174 061
9 - Corpuscule de Hassal 914 864 719 472

Les organes hématopoïetiques et immunitaires périphériques

794 916 219 481

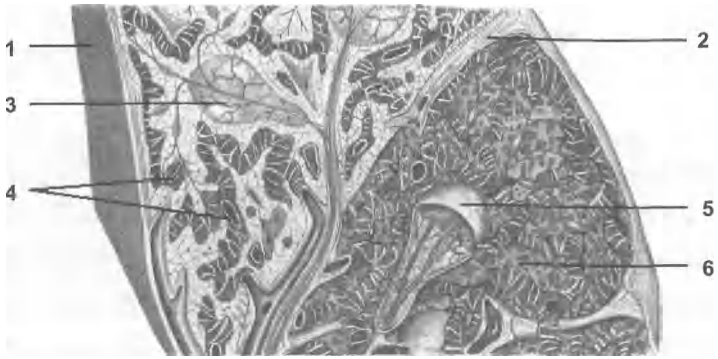

1 -Albuginée 589 491 317 548
2 - Trabécule splénique 317 489 896 104
3 - Follicules lymphatiques spléniques 517 218 496 471
4 - Sinus veineux 594 328 697 541
5 - Pulpe blanche 589 674 198 491
6 - Pulpe rouge 589 671 318 494

Les organes hématopoïétiques

498 712 818 292

Le système immunitaire unique des muqueuses

674 981 219 496

Image 205. **L'amygdale palatine**
514 218 319 671

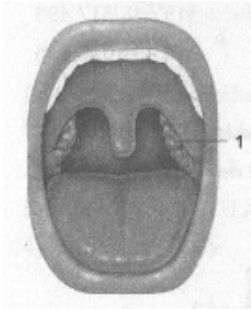

1 - Amygdale palatine
514 218 319 671

Image 206. **La structure de l'amygdale palatine**
514 218 319 671

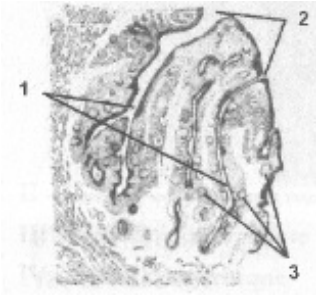

1 - Lacunes
894 316 548 917
2 - Follicules lymphatiques
598 641 317 214
3 - Orifices lacunaires
349 548 671 214

Image 207. **Les follicules lymphoïdes** (paroi de l'appendice)

319 648 317 498

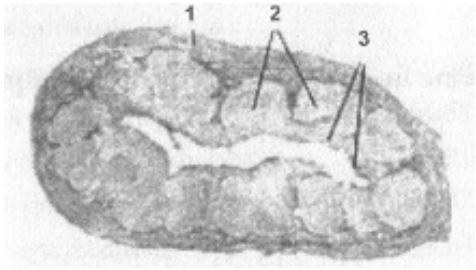

1 - Paroi de l'appendice	217 214 218 641
2 - Follicules lymphoïdes	319 648 317 498
3 - Revêtement épithélial	218 491 016 648

Image 208. **Les follicules lymphoïdes et les nodules lymphatiques agrégés dans la paroi de l'intestin grêle**

249 317 498 641

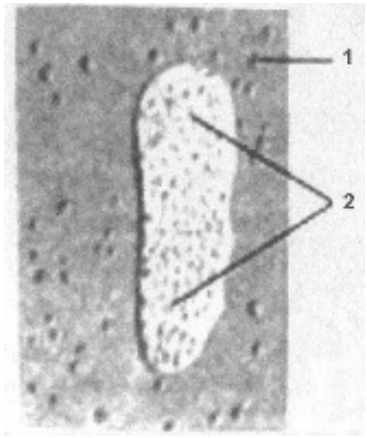

1 - Follicules lymphoïdes	548 547 198 678
2 - Nodule lymphatique agrégé	589 641 948 581

Image 209. **Les cellules présentant l'antigène** (CPA)

598 647 319 591

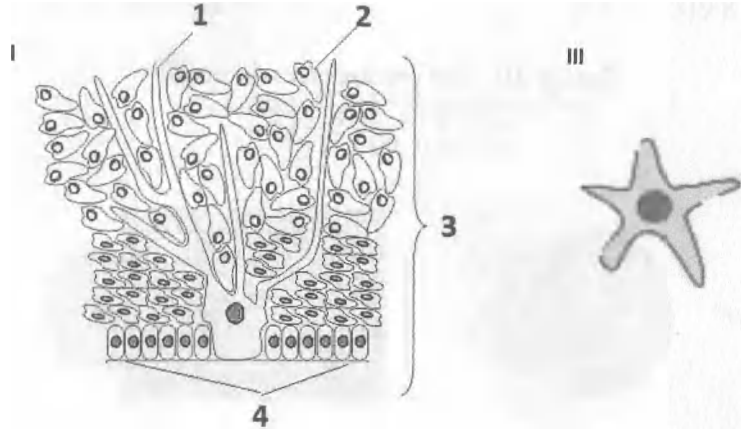

I - Cellule de Langerhans	548 491 619 891
1 - Cellule de Langerhans	548 491 619 891
2 - Kératinocyte	516 891 719 478
3 - Épiderme	598 718 889 888
4 - Membrane basale	689 497 597 814

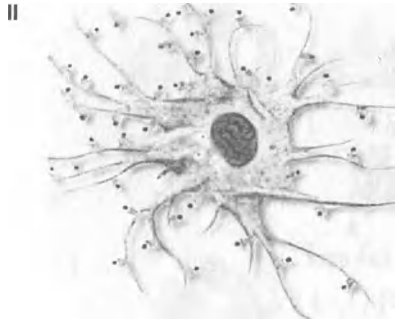

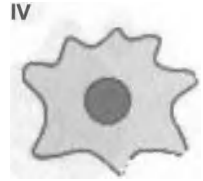

II - Cellule dendritique folliculaire	594 716 219 819
III - Cellule interdigitante	548 217 319 471
IV - Cellule dendritique des centres germinatifs	549 621 891 719

Les cellules sanguines

549 681 219 717

Image 210. **Les érythrocytes du sang**

467 198 219 814

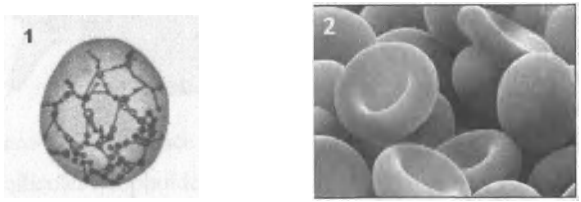

1 - Réticulocyte du sang (érythrocyte immature) 691 218 498 514

2 - Érythrocytes du sang 467 198 219 814

Image 211. **L'érythropoïèse**

489 617 519 318

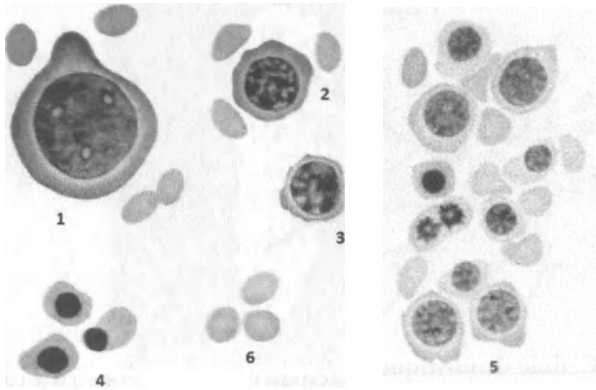

1 - Érythroblaste 589 649 218 717

2 - Réticulocyte 218 719 814 798

3 - Normocyte basophile 496 198 217 248

4 - Normocyte orthochromatiq 496 814 219 817

5 - Normocyte polychromat 598 694 197 281

6 - Érythro 214 719 319 818

Image 212. **La thrombopoïèse**

481 249 016 914

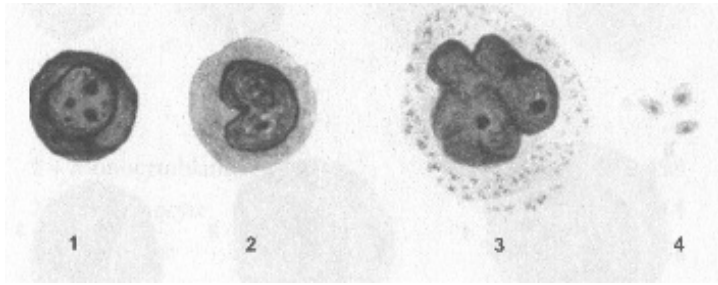

1 - Mégacaryoblaste 894 316 218 516

2 - Promégacaryocyte 481 216 318 491

3 - Mégacaryocyte 471 218 694 271

4 - Thrombocytes 649 317 498 714

La thrombopoïétine

890 648 019 312

Les leucocytes

694 218 574 271

Les agranulocytes

548 274 298 641

Image 213. **La lymphocytopoïèse**
648 041 298 471

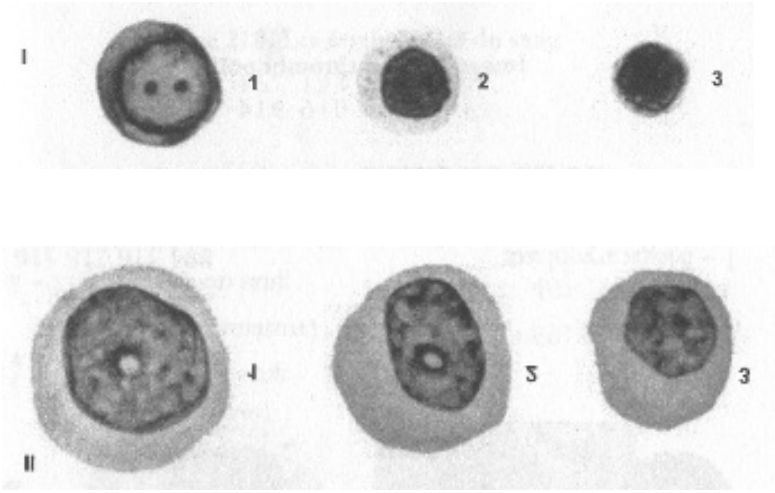

I - Lymphocytes B 518 541 316 218

1 - Lymphoblaste B 316 491 519 618

2 - Lymphocyte B immature 518 491 217 496

3 - Lymphocyte B mature 498 164 019 981

II - Lymphocytes T 467 198 964 217

1 - Lymphoblaste T 316 514 816 274

2 - Lymphocyte T immature 619 754 218 316

3 - Lymphocyte T mature 689 148 686 217

Image 214. **La monocytopoïèse**
(formation des monocytes et des macrophages)
496 514 218 471

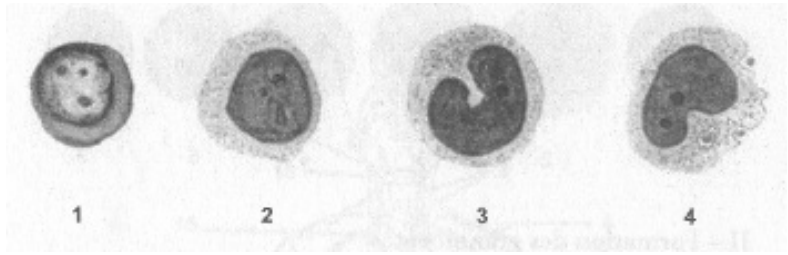

1 - Monocytoblaste 319 471 819 498

2 - Promonocyte 619 814 516 714

3 - Monocyte 519 671 319 648

4 - Macrophage 947 368 249 714

Les granulocytes
918 547 219 714

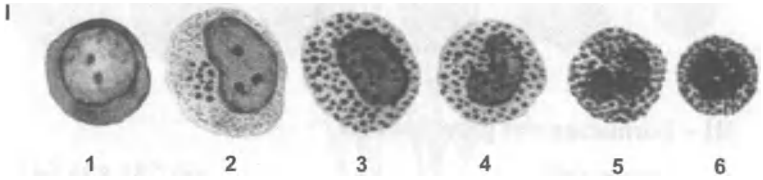

I - Formation des granulocytes basophiles 584 316 318 491

1 - Myéloblaste 549 641 894 317

2 - Promyélocyte 496 548 219 641

3 - Myélocyte 517 219 498 641

4 - Métamyélocyte 894 216 219 891

5 - Basophile non segmenté 217 214 619 061

6 - Basophile segmenté 648 918 818 491

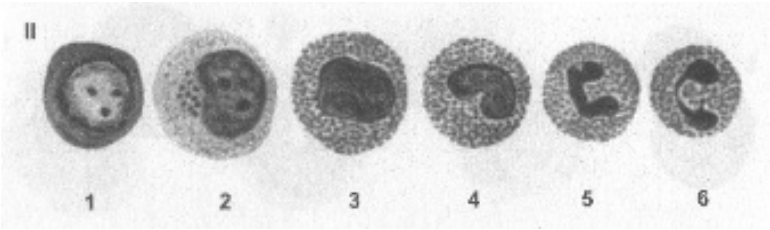

II - Formation des granulocytes éosinophiles 496 549 718 546

1 - Myéloblaste 549 641 894 317

2 - Promyélocyte 496 548 219 641

3 - Myélocyte 517 219 498 641

4 - Métamyélocyte 894 216 219 891

5 - Éosinophile non segmenté 549 648 598 748

6 - Éosinophile segmenté 548 461 719 496

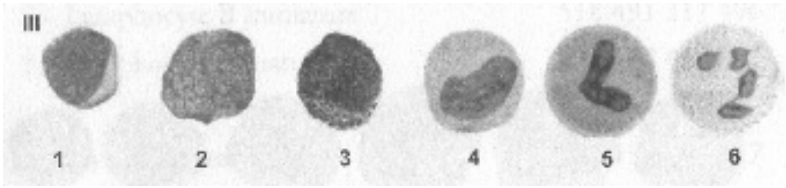

II - Formation des granulocytes neutrophiles 564 581 498 641

1 - Myéloblaste 549 641 894 317

2 - Promyélocyte 496 548 219 641

3 - Myélocyte 517 219 498 641

4 - Métamyélocyte 894 216 219 891

5 - Neutrophile non segmenté 568 191 219 714

6 - Neutrophile segmenté 894 961 068 971

Le système lymphatique

548 716 228 916

Image 215. **Le système lymphatique**

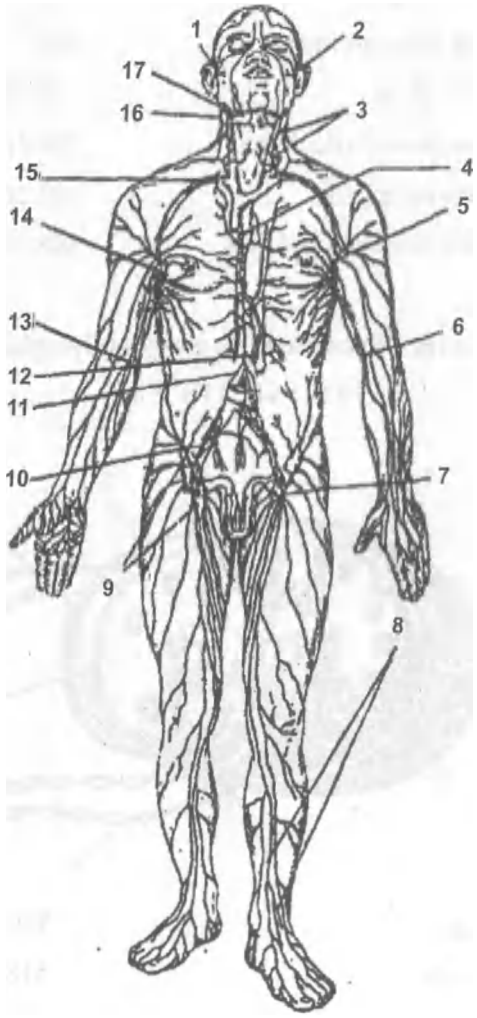

1 , 2 - Ganglions lymphatiques parotidiens 519 614 889 714

3 - Ganglions cervicaux 319 481 519 329

4 - Canal thoracique 514 715 914 815

5, 14 - Ganglions lymphatiques axillaires 518 712 818 912
6, 13 - Ganglions lymphatiques cubitaux 548 379 918 679
7, 9 - Ganglions lymphatiques inguinaux 214 387 914 297
8 - Vaisseaux lymphatiques superficiels du genou 548 961 558 711
10 - Ganglions iliaques 590 124 397 488
11 - Ganglions mésentériques 248 718 518 329
12 - Citerne du chyle 519 067 819 297
15 - Ganglions sous-claviculaires 598 714 998 294
16 - Ganglions occipitaux 319 261 819 811
17 - Ganglions submandibulaires 548 312 819 212

Image 216. **La structure du ganglion lymphatique**
591 148 319 888

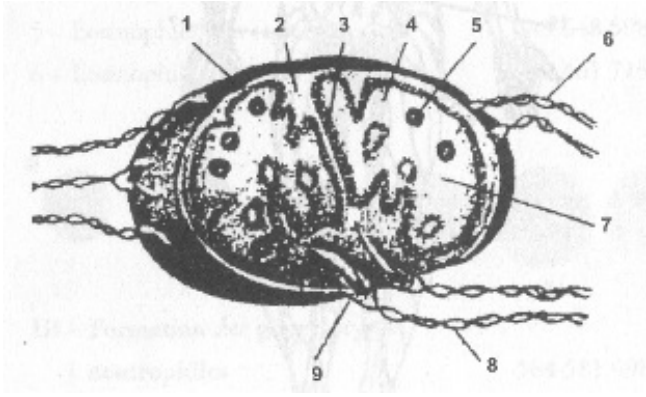

1 - Capsule 519 848 718 949
2 - Trabécule 518 716 918 317
3 - Travée 898 749 219 317
4 - Substance corticale 519 421 319 281
5 - Follicules 898 715 984 355
6, 8 - Vaisseaux lymphatiques afférents 598 741 288 511
7 - Substance médullaire 498 641 319 817
8 - Vaisseaux lymphatiques afférents 512 789 319 489
9 - Hile du ganglion lymphatique 598 681 724 918

LE SYSTÈME RESPIRATOIRE

598 788 428 317

La cavité laryngée

581 398 421 898

Image 217. **La cavité laryngée** (vue frontale)

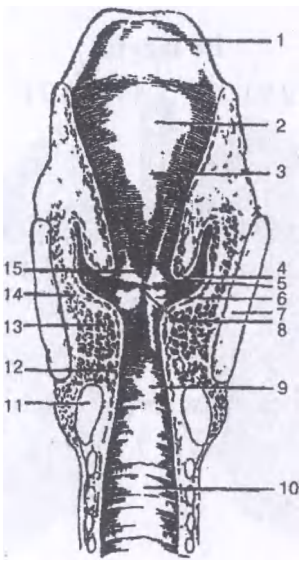

1 - Épiglotte	214 317 814 817
2 - Tubercule épiglottique	219 329 814 718
3 - Vestibule du larynx	519 481 299 811
4 - Pli vestibulaire	599 016 719 317
5 - Ventricule laryngé	528 391 919 811
6 - Pli vocal	598 718 319 421
7 - Cartilage thyroïde	588 421 388 711
8 - Fente vocale	528 742 318 014
9 - Cavité infraglottique	514 781 910 094
10 - Cavité trachéale	298 719 488 919
11 - Cartilage cricoïde	584 317 589 307

12 - Muscle crico-aryténoïdien latéral	219 387 919 227
13 - Muscle vocal	594 817 914 919
14 - Muscle thyro-aryténoïdien	513 819 014 912
15 - Fente vestibulaire	598 741 998 328

Le larynx

291 891 419 391

Les cartilages laryngés

529 319 489 518

Les muscles laryngés

594 318 719 214

La cavité nasale

428 317 818 227

La trachée et les bronches

428 714 008 914

Image 218. **La trachée, les bronches principales et les poumons**

891 321 511 981

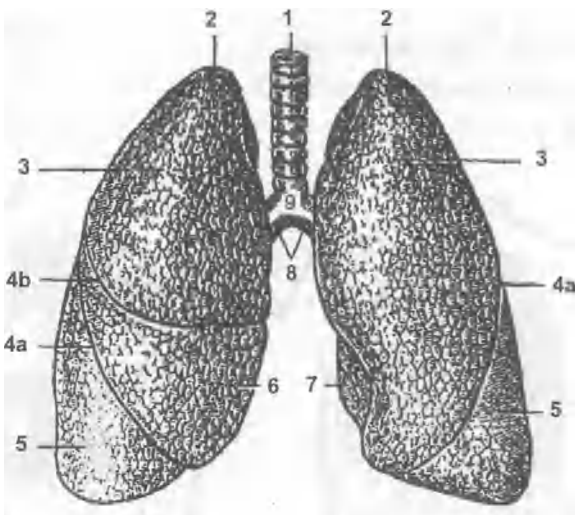

1 - Trachée	429 318 919 888
2 - Sommet du poumon	598 061 319 212
3 - Lobe supérieur	529 312 547 399
4a - Scissure oblique	498 712 818 918
4b - Scissure horizontale	819 321 918 898
5 - Lobe inférieur	214 318 718 912
6 - Lobe moyen	519 812 919 422
7 - Incisure cardiaque du poumon gauche	528 316 398 641
8 - Bronches principales	819 314 899 049
9 - Bifurcation trachéale	514 518 314 818

Les poumons

519 418 319 818

Image 219. **Les segments pulmonaires**

A - Vue de face

B - Vue arrière

C - Poumon droit (vue latérale)

D - Poumon gauche (vue latérale)

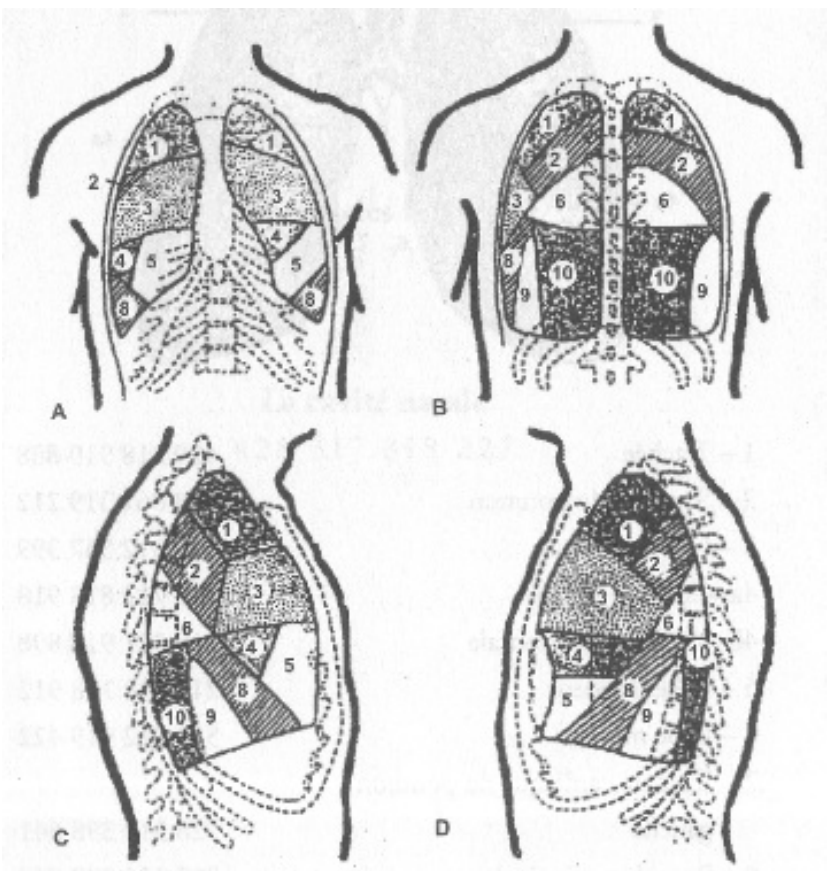

1er segment	914 818 312 898
2e segment	319 814 919 914
3e segment	219 318 919 818
4e segment	519 319 818 214
5e segment	918 319 819 212
6e segment	314 819 888 915
7e segment	219 319 812 794
8e segment	319 419 898 912
9e segment	319 892 219 844
10e segment	319 488 988 210

La plèvre et le médiastin

898 315 428 188

LES VISCÈRES

523 000 898 111

Le système digestif

541 928 741 588

Image 220. **Le tube digestif**

514 388 914 888

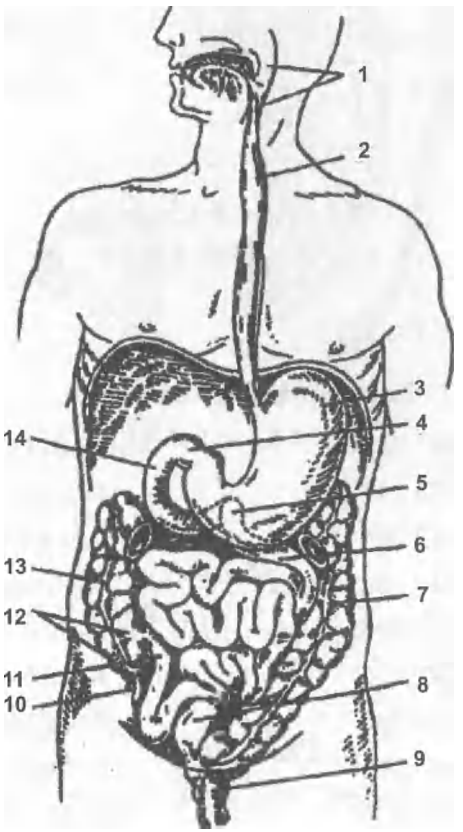

1 - Pharynx	519 987 319 427
2 - Œsophage	598 381 698 711
3 - Estomac	898 898 478 213
4 - Jonction gastro-duodénale	598 513 998 719
5 - Jonction duodéno-jéjunale	214 511 819 311

6 - Jéjunum	548 714 318 215
7 - Côlon descendant	248 389 428 999
8 - Côlon sigmoïde	319 812 519 427
9 - Rectum	598 714 898 314
10 - Appendice (vermiforme)	529 317 899 228
11 - Iléon	394 897 594 377
12 - Cæcum	519 489 319 788
13 - Côlon ascendant	599 213 988 713
14 - Duodénum	589 608 488 914

La cavité buccale

891 000 499 887

Les glandes de la bouche

319 841 319 811

Le pharynx

519 987 319 427

L'œsophage

598 381 698 711

L'estomac

898 898 478 213

Image 221. **L'estomac**

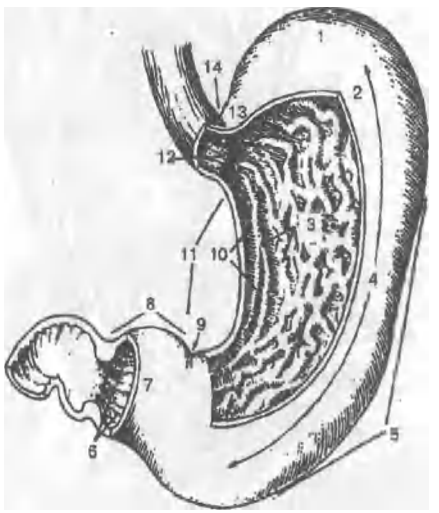

1 - Fond de l'estomac	898 319 899 214
2 - Paroi antérieure	514 878 917 887
3 - Plis gastriques	598 317 918 527
4 - Corps gastrique	889 919 389 418
5 - Grande courbure gastrique	489 981 948 513
6 - Canal pylorique	518 917 319 877
7 - Vestibule pylorique	548 711 919 411
8 - Partie pylorique	591 488 791 888
9 - Incisure angulaire	596 317 549 817
10 - Canal gastrique	599 481 799 811
11 - Petite courbure gastrique	418 728 319 348
12 - Cardia	528 481 798 711
13 - Partie cardiale de l'estomac	521 316 891 714
14 - Incisure cardiale	517 916 815 322

Image 222. **La tunique musculaire de l'estomac**
491 516 018 329

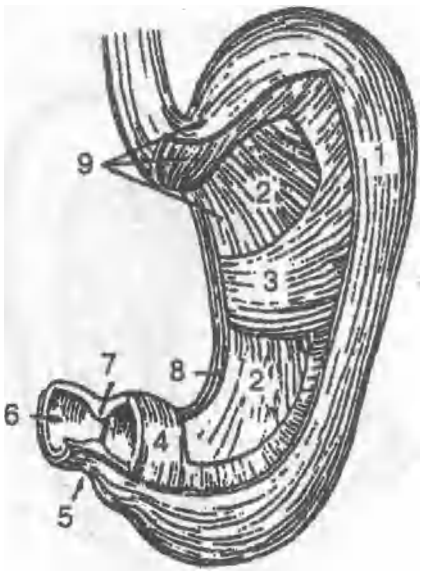

1 , 8 - Couche longitudinale	599 891 799 811
2 - Fibres obliques	534 981 814 917
3, 4 - Couche circulaire	599 317 819 417
5 - Pylore	598 421 918 511
6 - Orifice pylorique	598 714 818 314
7 - Sphincter pylorique	598 714 918 324
9 - Tunique musculaire	584 321 844 711

L'intestin grêle
528 317 428 717

Le foie, le duodénum, le pancréas
219 214 319 714

Image 223. **Le foie, le duodénum, le pancréas**

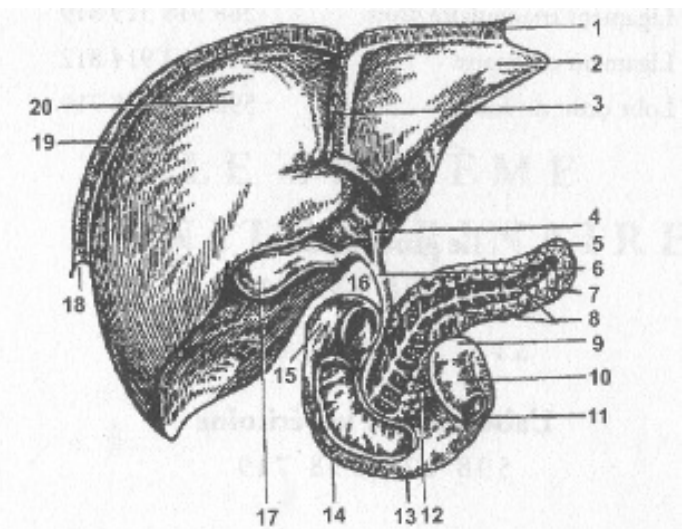

1 - Ligament triangulaire gauche	519 617 919 817
2 - Lobe gauche du foie	988 411 218 217
3 - Ligament falciforme du foie	214 311 714 811
4 - Canal hépatique commun	914 311 814 019
5 - Pancréas	589 317 919 877
6 - Conduit cholédoque	599 381 989 391
7 - Queue du pancréas	898 429 719 482
8 - Conduit pancréatique	599 316 739 928

9 - Angle duodéno-jéjunal 214 279 881 319
10 - Jéjunum 548 714 318 215
11 - Partie ascendante du duodénum 591 477 391 817
12 - Tête du pancréas 319 487 914 917
13 - Partie horizontale du duodénum 519 314 819 414
14 - Partie descendante du duodénum 019 819 319 417
15 - Partie ascendante du duodénum 519 811 919 311
16 - Conduit cystique 599 811 919 891
17 - Vésicule biliaire 918 712 418 912
18 - Ligament triangulaire droit 588 918 319 819
19 - Ligament coronaire 514 312 914 812
20 - Lobe droit du foie 598 614 298 719

Le gros intestin
591 488 898 217

L’abdomen et le péritoine
598 123 098 719

LE SYSTÈME GÉNITO-URINAIRE

898 398 412 842

Le rein

289 391 814 216

Image 224. **Le rein droit** (vue de face)

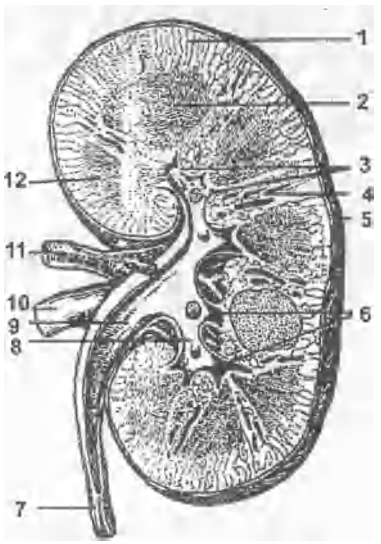

1 - Substance corticale	912 898 949 319
2 - Substance médullaire	598 716 399 008
3 - Papilles rénales	519 377 918 227
4 - Colonnes rénales	594 312 898 714
5 - Capsule fibreuse	980 841 218 329
6 - Calices rénaux mineurs	589 326 799 816
7 - Uretère	214 312 810 008
8 - Calice rénal majeur	989 217 519 487
9 - Bassinet rénal	928 899 499 711
10 - Veine rénale	518 914 319 528
11 - Artère rénale	198 711 298 241
12 - Pyramide rénale	539 871 491 001

Image 225. **La structure et la vascularisation du néphron**

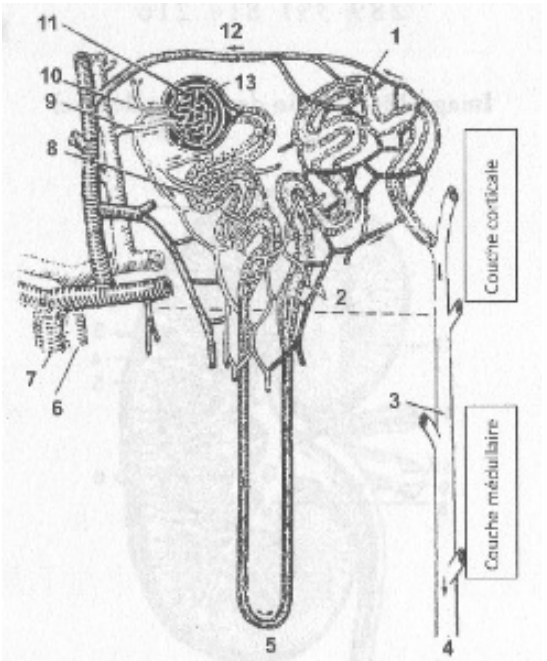

1 - Tube contourné distal	814 988 719 081
2 - Réseau capillaire	214 718 918317
3 - Tube collecteur	548 219 317 917
4 - Acheminement de l'urine vers le bassinet rénal	298 017 498 248
5 - Anse de Henle	518 319 888 910
6 - Artère rénale	198 711 298 241
7 - Veine rénale	518 914 319 528
8 - Tube contourné proximal	571 898 714 557
9 - Artériole afférente	889 014 219 893
10 - Artériole efférente	890 014 318 714
11 - Glomérule rénal	519 891 249 318
12 - Veinule	213 984 791 248
13 - Capsule de Bowman	298 788 489 791

Les uretères

214 312 810 008

La vessie

219 389 998 419

L'urètre

329 487 948 216

L’appareil génital masculin

519 007 898 367

Image 226. **Les organes génitaux masculins internes et externes**

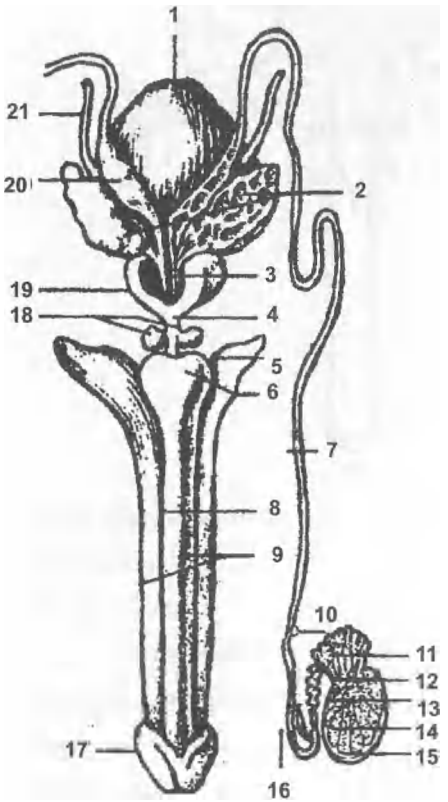

1 - Vessie
219 389 998 419

2 - Vésicule séminale
519 317 898 487

3 - Conduit éjaculateur
591 488 011 228

4 - Partie membraneuse de l’urètre
319 487 919 008

5 - Pilier du pénis
819 317 919 847

6 - Bulbe du pénis
528 719 048 317

7 - Canal déférent
398 755 819 455

8 - Corps spongieux
398 787 914 321

9 - Corps caverneux 598 721 598 311

10 - Appendice du testicule 519 488 299 318

11 - Canalicules efférents 548 371 818 211

12 - Réseau testiculaire 938 729 488 219

13 - Tubes séminiferes droits 419 871 989 311

14 - Tubes séminiferes contournés 498 712 819 212

15 - Albuginée du testicule 319 817 919 217

16 - Partie inférieure du canal déférent 519 891 499 217

17 - Gland du pénis 528 714 314 712

18 - Glande bulbo-urétrale 519 712 419 812

19 - Prostate 498 714 918 214

20 - Ampoule du canal déférent 418 918 971 998

21 - Uretère 214 312 810 008

Les organes génitaux féminins

519 814 089 319

Image 227. **Les organes génitaux féminins** (coupe longitudinale médiane)

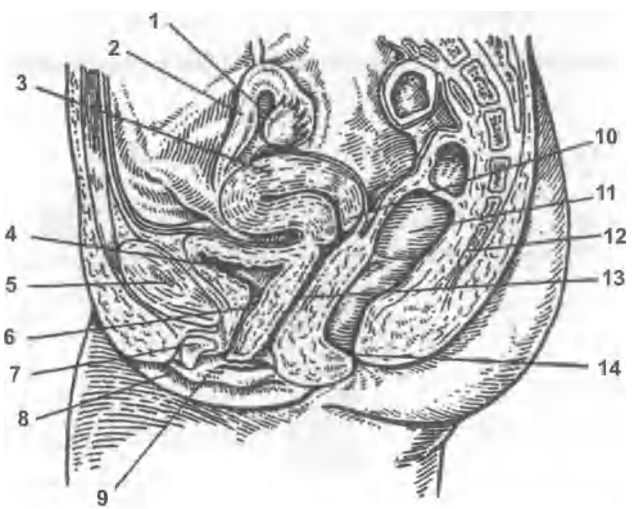

1 - Ovaire 914 814 917 218

2 - Salpinx 619 718 316 214

3 - Corps de l’utérus 689 514 218 471

4 - Vessie 219 389 998 419
5 - Os coxal (représentation partielle) 214 317 918 227
6 - Urètre 329 487 948 216
7 - Clitoris 689 568 319 818
8 - Grandes lèvres 598 711 008 512
9 - Petites lèvres 319 016 789 498
10 - Col de l'utérus 894 581 948 164
11 - Rectum 598 714 898 314
12 - Sacrum 514 716 814 226
13 - Vagin 889 491 619 819
14 - Anus 589 317 418 917

Les organes génitaux féminins internes

419 219 808 319

Image 228. **Les organes génitaux féminins internes**

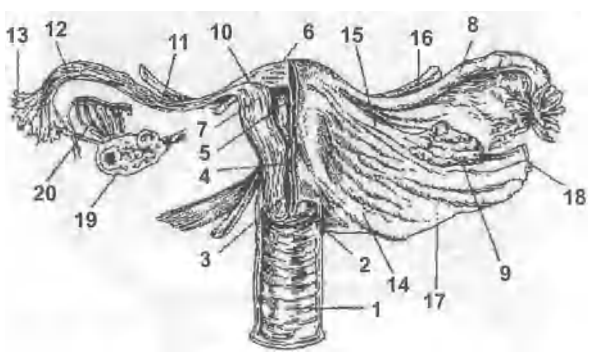

1 - Vagin 889 491 619 819
2 - Partie vaginale du col de l'utérus 548 988 581 497
3 - Canal cervical 614 891 719 489
4 - Isthme 549 691 289 784
5 - Cavité utérine 318 688 594 191
6 - Fundus de l'utérus 984 016 501 348
7 - Paroi utérine 841 369 519 471
8 - Salpinx 619 718 316 214
9 - Ovaire 914 814 917 218
10 - Partie interstitielle de la trompe 584 199 598 641
11 - Partie isthmique de la trompe 589 612 319 471
12 - Partie ampullaire de la trompe 894 316 498 561
13 - Fimbriae du tube utérine 589 617 289 748
14 - Ligament utérosacré 598 361 298 471
15 - Ligament utéro-ovarien 584 216 298 497
16 - Ligament suspenseur de l'ovaire 294 147 284 641
17 - Ligament large 549 581 369 471
18 - Ligament rond 948 371 296 497
19 - Projection de l'ovaire avec les follicules et le corps jaune 498 316 478 471
20 - Paroophore de Waldeyer 891 368 194 364

Image 229. **Présentation schématique de la coupe longitudinale de l'ovaire** (A) **et de la coupe transversale de l'utérus** (B)

A

1 - Follicule primordial 498 518 818 491
2 - Follicule en maturation 898 648 218 471
3 - Corps blanc 497 614 201 498
4 - Follicule de Graaf 481 684 371 016
5 - Corps jaune 818 401 616 214

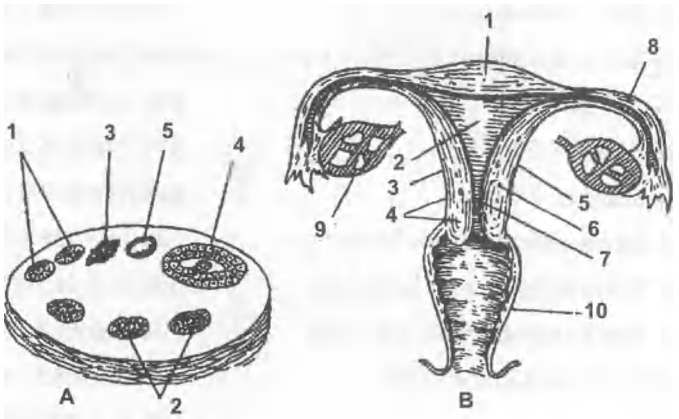

B

1 - Fundus de l’utérus	984 016 501 348
2 - Cavité utérine	318 688 594 191
3 - Corps de l’utérus	689 514 218 471
4 - Col de l’utérus	894 581 948 164
5 - Tunique superficielle de l’utérus, tunique séreuse (périmétrium)	848 147 218 417
6 - Tunique moyenne de l’utérus, tunique musculaire (myométrium)	198 316 949 101
7 - Tunique interne de l’utérus, tunique muqueuse (endomètre)	698 317 281 488
8 - Salpinx	619 718 316 214
9 - Ovaire	914 814 917 218
10 - Vagin	889 491 619 819

Les organes génitaux féminins externes

519 319 818 678

Image 230. **Les organes génitaux féminins externes**

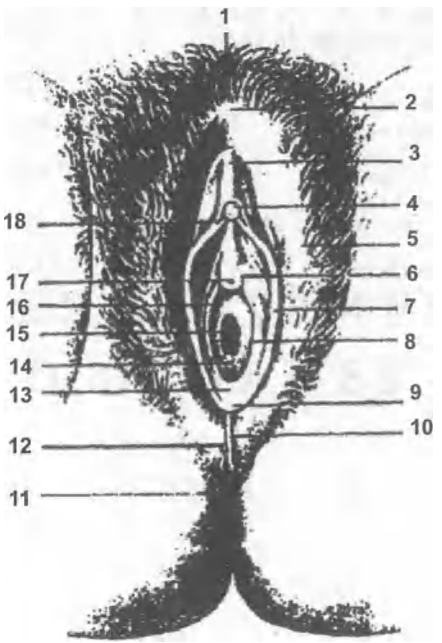

1 - Pubis	519 317 898 498
2 - Commissure antérieure des grandes lèvres	591 489 719 328
3 - Prépuce du clitoris	419 319 898 987
4 - Glande du clitoris	980 409 501 201
5 - Grandes lèvres	598 711 008 512
6 - Canaux para-urétraux	598 641 788 910
7 - Petites lèvres	319 016 789 498
8 - Canal de la glande vestibulaire majeure	889 014 317 489

9 - Frein des lèvres de la vulve 598 021 318 714
10 - Commissure postérieure des grandes lèvres 539 421 819 317
11 - Anus 589 317418 917
12 - Périnée 398 711 419 411
13 - Fosse du vestibule du vagin 589 471 219 889
14 - Hymen 529 314 789 064
15 - Orifice du vagin 591 472 918 223
16 - Vestibule du vagin 888 017 989 117
17 - Orifice externe de l'urètre 498 663 219 773
18 - Frein du clitoris 398 421 891 871

LES ORGANES

814 317 914 817

LES SYSTÈMES D'ORGANES

314 815 514 312

L'ORGANISME HUMAIN COMME UN TOUT UNIQUE

419 312 819 212

QUI EST
GRIGORI PETROVICH
GRABOVOÏ

Grigori Grabovoï est d'origine russe. Il est né le 14 novembre 1963 dans le petit village de Bogara, dans le district de Kirov, situé dans la région de Chimkent au Kazakhstan, en Asie centrale. Il fait partie de ce groupe d'êtres venus s'incarner sur Terre à des époques cruciales. Grabovoï est un académicien de l'Académie internationale de l'informatisation.

C'est un scientifique de génie, un clairvoyant, un guérisseur et un Maître.

Grâce à sa théorie, il démontre et enseigne comment, par la conscience de l'âme, on peut créer toute matière parfaite, changer instantanément le cours de tout événement négatif, guérir toutes les maladies, régénérer tous les organes du corps humain, ressusciter les morts, créer de nouvelles machines à énergie libre... Il a réalisé tout cela. Et bien plus encore.

Enfant, il est très calme. Il ne lève jamais le ton, il est anormalement pacifique.

Aux dires de sa mère, il n'a jamais été malade et n'a reçu aucun vaccin. À l'école, il a prévenu ses camarades de classe de plusieurs

accidents, guérissant et sauvant même certains d'entre eux de situations critiques.

Dès son plus jeune âge, Grigori Grabovoï étonne par ses idées originales et ses habiletés hors pair. Déjà à l'âge de trois ans, il est obsédé par la perspective de sauver le monde. Il voit dans le futur la menace d'une catastrophe majeure planer au-dessus du monde et alerte ses proches de la nécessité de faire quelque chose pour prévenir cette éventualité. Il agit en plaçant mentalement le globe terrestre dans son cœur et, sans relâche, il l'entoure d'amour, libérant toute tension existante.

Très jeune, il est déjà hautement clairvoyant. Il connaît sa mission et les raisons de sa présente incarnation. Il guérit les gens des maladies les plus graves. Il comprend le langage des plantes et des minéraux, converse avec les animaux et peut entendre des sons à de très grandes distances... Il poursuit ses études en mathématiques et en mécanique appliquées à l'Université de Tachkent, d'où il sera diplômé en 1986. Il obtient d'innombrables certifications et de hautes distinctions de plusieurs académies. Il devient par ailleurs docteur en biologie et en physique.

On a publiquement reconnu la capacité unique de clairvoyance, de prédiction et de guérison de Grigori Grabovoï. Il voit tout et dans les moindres détails, rien ne lui échappe. II a examiné à distance des centaines d'avions, ainsi que la station orbitale MIR et le vaisseau spatial Atlantis, alors en grave danger.

De plus, il a permis, par prémonition, de prévenir une catastrophe nucléaire majeure en 1999 à la centrale atomique bulgare de Kozloduy, qui aurait pu plonger une grande partie de la planète dans un hiver nucléaire. Il résout à distance tous ces problèmes scientifiques, en étant a priori conscient d'un résultat, ce qui lui vaut le titre de l'Homme Rayon X. Il faut savoir qu'aucun avion officiel russe ne décolle sans être passé « entre ses mains ». Il parvient même à réparer une pièce défectueuse en plein vol, par matérialisation et remplacement de celle-ci à distance. Mais les habiletés de Grabovoï dépassent et de loin celles de la stricte clairvoyance. Il possède des capacités personnelles de téléportation de matière physique à n'importe quelle distance, ce qui pourrait expliquer le comment de la construction de certains temples anciens, par exemple, les pyramides d'Egypte.

Dans des conditions expérimentales, il a fait des travaux sur la matérialisation, la dématérialisation, la téléportation, la résurrection des morts, la régénération de la matière détruite pour ne nommer que celles-là, et ces travaux ont été consignés dans la minute après l'événement. Notez que ces travaux sont réalisés par matérialisation et création sans destruction, et ils ont tous comme objectif d'empêcher les catastrophes.

Il a inventé des machines qui permettent par exemple la prévention d'explosions ou de tremblements de terre, d'accidents miniers, etc. Le 20 mars 2006, il a offert aux gouvernements du monde une transmission gratuite de ses inventions pour la prévention d'attaques terroristes. Les succès de Grabovoï sont innombrables et incontestables.

Tant en personne qu'à distance, il a réalisé des centaines de guérisons de malades au quatrième stade du cancer, du sida et d'autres maladies, avec attestations notariées à l'appui. Ces faits sont certifiés par l'ONU et par la médecine traditionnelle et prouvés par déclaration notariée des personnes guéries.

Dans plusieurs de ses livres, Grigori Grabovoï parle de la nouvelle médecine, celle de l'avenir qui existe déjà. Cette nouvelle médecine

se base sur la pratique de la résurrection. C'est cette dernière qui détermine les principes de la nouvelle médecine, surtout le principe de la reconstitution totale de la matière. Cette médecine a déjà commencé à accomplir sa mission la plus importante : faire en sorte que les gens ne meurent pas.

Grigori Grabovoï aborde dans ses livres des phénomènes comme la lévitation, la matérialisation et la dématérialisation, la télépathie, la télékinésie, la téléportation, etc. Depuis longtemps, ces phénomènes constituaient des énigmes. Le temps est venu de donner des réponses.

Grâce à cette approche, tout environnement soi-disant hostile peut être transformé en un élément non agressif de l'environnement primaire. Cela permettra d'établir une stratégie efficace de comportement afin d'éviter les catastrophes écologiques et d'assurer le développement ultérieur non destructif de l'environnement. Il faut garder à l'esprit que la résurrection est effectivement la gestion de tout l'espace sidéral.

On pourra assurer plus d'harmonie avec l'environnement en créant, par exemple, des matériaux qui ne s'useront pas ou des machines qui n'auront pas besoin de ressources supplémentaires substantielles au cours de leur utilisation. Tout ceci est complètement réel. Comme la résurrection. Tout est entre nos mains.

Nous devons toujours nous rappeler une vérité très simple: l'homme est né pour jouir d'une vie heureuse, dans l'infinie plénitude.

Selon Grabovoï, tout homme est capable des mêmes réalisations, à condition d'accepter le postulat qu'il est possible de créer à partir de la conscience, de l'âme. Ce qui revient à accepter l'idée de Dieu ou tout au moins d'une intelligence créatrice primordiale qui est PÈRE ET MÈRE à la fois, à laquelle tout est connecté et qui englobe tout ce qui est.

Grigori Grabovoï enseigne la façon de contrôler la matière pour la sauvegarde de la planète. Toute son œuvre est dirigée sur le « macrosauvetage », c'est-à-dire sur le salut de tous les hommes sans exception. Il reçoit ses informations en jet continu directement de l'océan de la conscience sidéral, qu'il traduit en langage scientifique moderne. La science de Grabovoï inclut la structure de l'esprit et de la conscience, la structure et le fonctionnement de l'âme. Selon lui, notre âme est la première émanation du Créateur. Le Créateur est présent en toute chose, donc en nous. Nous sommes des images parfaites de lui, mais nous nous sommes écartés de la perfection originelle, de notre état spirituel, de la NORME. C'est cette NORME qu'il nous faut retrouver, et il nous en donne les moyens.

La conscience est une création directe de l'âme qui sert à projeter notre réalité physique. Étant donné que nous sommes faits à l'image du Créateur, tout est dans notre conscience. Nous pouvons alors sans aucune limite changer notre réalité, car tout dans l'univers est information et peut être changé, modifié selon notre volonté qui rejoint la volonté du Créateur.

Grigori Grabovoï est incontestablement un être incomparable par son enseignement, ses découvertes et ses réalisations technologiques. Il n'existe, à notre connaissance, rien de connu pouvant les égaler.

Lorsque les gouvernements du monde se trouvent en difficulté, ils se tournent continuellement vers Grabovoï pour ses découvertes exceptionnelles qui visent la guérison, le sauvetage et le salut global. Il fournit à l'individu les conditions pour un épanouissement optimal. Par ses combinaisons chiffrées, il donne un accès facile aux connaissances, permettant d'augmenter la durée d'une vie saine, grâce aux technologies et à l'exploitation des structures de la conscience.

Par ses inventions, on peut scanner l'information et détecter les intentions des gens sans aller fouiller dans leurs poches ou dans leurs valises.

D'après ses plans et la technologie qu'il a développée, l'avion de demain ne pourra plus s'écraser. Il a fourni les instructions pour les modifier en conséquence.

Il est presque certain qu'il n'existe pas d'enseignements ou de technologies pouvant égaler ceux de Grabovoï.

Il est l'Hénoch et le Pythagore d'aujourd'hui, mais en plus grand dans ses réalisations. Il est venu pour matérialiser ce que ses prédécesseurs ont initié. Il est venu donner un sens à l'enseignement des grands prophètes, Moïse, Bouddha, Jésus, Mahomet et d'autres.

Jésus disait : « Je suis le Chemin et la Vie ; qui me voit, voit le Père. » Grabovoï fait appel au Créateur en chaque homme. Pour lui, l'âme est une parcelle du Créateur, une parcelle divine. Nous sommes créateurs. À ce que le CRÉATEUR veut et décrète, l'Univers obéit et se met à l'œuvre. Grabovoï nous invite à prendre conscience de ce fait et à créer positivement en laissant tomber nos bagages anciens et nos préjugés qui ne sont plus de mise dans le Nouveau Monde qui est en train de se créer sous nos yeux.

Les destructions se débarrassent de l'ancien. En nous libérant, en nous dépouillant pour vivre de l'essentiel, la vague ne pourra nous arracher que ce qui est en trop et qui nous encombre, nous alourdit.

Nous pourrons voir en nous-mêmes la voie qui est tracée par les Grands Maîtres comme Grigori Grabovoï. Aujourd'hui, la conscience humaine a grandement évolué. Nous sommes prêts à recevoir et à mettre en pratique ces enseignements qui sont ce qu'il y a de plus simple et de plus accessible à la masse des gens...

Grigori Grabovoï n'a pas échappé au traitement réservé à tout être pur ayant à cœur l'ascension de la planète Terre. Le 6 avril 2006, après qu'il a manifesté son intention de présenter sa candidature à la présidence de la Russie en 2008, il a été arrêté sous de fausses accusations et jeté en prison dans des conditions inhumaines...

Je suggère de lire la biographie complète du Dr Grabovoï, pour avoir une idée de la dimension de son œuvre. SI LES GOUVERNEMENTS DEVAIENT PAYER, IL N'Y AURAIT PAS ASSEZ D'OR DANS LE MONDE POUR LE FAIRE.

La plupart des grands hommes, des grands êtres venus en ce monde pour y apporter lumière et conscience ont été persécutés : Socrate a été condamné à boire de la ciguë, Jésus-Christ, le comte de Saint-Germain, Francis Bacon, Gandhi, etc. La liste est longue. Grigori Grabovoï est libre aujourd'hui. Il travaille avec les gouvernements du monde afin que la planète soit épargnée par les crises catastrophiques qui la menacent.

Le plus important message de Grigori Grabovoï reprend celui que Jésus-Christ nous a laissé il y a 2000 ans : LA VIE ÉTERNELLE.
À partir de maintenant, il n'est point besoin de passer par la mort pour y parvenir.

Ischaïa

POUR PLUS D'INFORMATIONS

www.ggrig.com/fr/introductory-course-grabovoi
www.ggrig.com/fr/plan-introductory-course-grabovoi
www.ggrig.com/en/sublicensees-info
www.saint-germain-morya.com

AUX ÉDITIONS SAINT-GERMAIN-MORYA

Babaji - Journal indien, Gaura Devi

Grigori Petrovich Grabovoï
L'homme des codes de guérison miracle, Serge Fitz

Le rayonnement du végétarisme, Jacques de Marquette

Le livre de l'homme nouveau
Parole des Maîtres ascensionnés

Icosameron - Voyage au cente de la Terre,
tomes 1 et 2, Casanova

Le comte de Saint-Germain
et les maîtres de l'Agartha, Jean-Pierre Wenger

L'alliance avec le Divin - Triomphe de la Lumière

Les Maîtres - Entretien avec I-EM-HOTEP, K. Barkel

La Terre intérieure
ou Le Paradis terrestre retrouvé, Willis George Emerson

Les clefs d'ascension
ou La parole des Maîtres de la Fraternité blanche

Le comte de Saint-Germain - Sa voix, son message,
ses révélations, sa promesse (CD)

Connexion, enracinement et conscience de soi (CD)